

И. А. ШАРАПИН

ТЕОРИЯ МЕХАНИЗМОВ И МАШИН

**ПОСОБИЕ ДЛЯ ВЫПОЛНЕНИЯ КОНТРОЛЬНОЙ
И КУРСОВОЙ РАБОТ**
ЧАСТИ 1 И 2



Министерство образования и науки Российской Федерации
Федеральное государственное бюджетное образовательное учреждение высшего образования
«САНКТ-ПЕТЕРБУРГСКИЙ ГОСУДАРСТВЕННЫЙ УНИВЕРСИТЕТ ПРОМЫШЛЕННЫХ ТЕХНОЛОГИЙ И ДИЗАЙНА»

И. А. ШАРАПИН

**ТЕОРИЯ МЕХАНИЗМОВ
И МАШИН**

ЧАСТИ 1 И 2

*Утверждено Редакционно-издательским советом
университета в качестве учебного пособия*

Издание 2-е, переработанное и дополненное

САНКТ-ПЕТЕРБУРГ
2016

УДК 531.8 (076)

ББК 30.12я73

Ш25

Рецензенты:

кандидат технических наук, доцент кафедры «Киновидеоаппаратура»
Санкт-Петербургского государственного института кино и телевидения
B. K. Сурков;

кандидат технических наук, профессор кафедры «Машиноведение»
Санкт-Петербургского государственного университета промышленных техно-
логий и дизайна *H. B. Рокотов;*

кандидат технических наук, доцент кафедры «Теоретическая и прикладная
механика» Санкт-Петербургского государственного университета
промышленных технологий и дизайна *A. Г. Усов*

Шарапин И. А.

Ш25 Теория механизмов и машин: учеб. пособие для выполнения конт-
рольной и курсовой работ. Ч. 1 и 2: / И. А. Шарапин – 2-е изд., испр. и
доп. – СПб.: ФГБОУВО «СПбГУПТД», 2016. – 151 с.

ISBN 978-5-7937-1239-2

Пособие содержит методические материалы по отдельным разде-
лам программы изучения курса ТММ: структуре пространственных
рычажных механизмов и кинематическому анализу сложных зубчатых
механизмов. К каждой рассматриваемой теме предлагается практиче-
ское задание. Наличие заданий с рекомендациями по их выполнению
позволяет использовать пособие для организации самостоятельной ра-
боты.

Для самостоятельного выбора варианта контрольной и курсовой
работ в задания включены 10 вариантов схем механизмов; к каждой
схеме приложены 10 вариантов числовых данных.

Предназначено в первую очередь для студентов, обучающихся по
направлениям: 15.03.02, 15.03.04, 18.03.01, 18.03.02, 20.03.01, 29.03.01,
29.03.02, 29.03.05.

Табл. 29. Ил. 96. Библиогр. 12 назв.

УДК 531.8 (076)
ББК 30.12я73

ISBN 978-5-7937-1239-2

© ФГБОУВО «СПбГУПТД», 2016
© Шарапин И. А., 2016

ВВЕДЕНИЕ

При изучении дисциплины «Теория механизмов и машин» помимо лекционных занятий студентам предлагается выполнение определенного количества самостоятельных работ и курсовое проектирование.

Представленное пособие позволяет студентам, в частности, заочной формы обучения самостоятельно (в соответствии с шифром зачетной книжки) выполнить оригинальную контрольную работу – две задачи на предложенные темы (часть I на с. 3), а также выбрать задание и числовые данные к нему для выполнения курсовой работы (часть 2 на с. 23).

Для самостоятельной проработки предложенных тем в *приложениях А, Б, В* даны необходимые методические материалы. Сформулированное условие индивидуального задания (пример) для выполнения работы представлено в *приложении Г*. Вопросы для самоконтроля по курсу ТММ – на с. 62 – 64.

Приложения А и Б содержат иллюстрации видов и классов кинематических пар, общие сведения о конструкциях манипуляторов, областях их применения. В *приложении В* приведены методы исследования кулачковых механизмов (структура закона движения толкателя, синтез оптимального профиля кулачка с применением аппарата безразмерных характеристических функций, определение допустимых величин углов давления, примеры расчетов).

В *приложении Г* представлен пример выбора варианта задания, подлежащего выполнению в качестве контрольной и курсовой работы (проекта) по дисциплине.

В *приложении Д* представлена распечатка расчетов кулачка с ПК (ЭВМ).

Выполнению курсовой работы (проекта) должно предшествовать тщательное ознакомление с требованиями к работе и ее содержанию. Для этого рекомендуется посещение занятий по расписанию сессии, а также самостоятельная работа с литературой, представленной в списке (с. 65). С целью изучения, содержанием дисциплины, ее месте в учебном процессе и т. д. можно ознакомиться на сайте *; с методическими рекомендациями к выполнению курсовой работы – на сайте **.

ЧАСТЬ 1

КОНТРОЛЬНАЯ РАБОТА СТРУКТУРНЫЙ И КИНЕМАТИЧЕСКИЙ АНАЛИЗ МЕХАНИЗМОВ

Контрольная работа состоит из двух заданий, в первом из которых проводится структурный анализ схемы пространственного механизма манипулятора (промышленного робота), а во втором выполняется кинематический анализ сложного зубчатого механизма.

* <http://tpm.sutd.ru/docs/tmm/tmm.pdf>

** http://tpm.sutd.ru/docs/tmm/metodi/tmm_zo.pdf

Выбор варианта задания

Шифром, по которому выбирается тот или иной вариант контрольной работы, является номер зачетной книжки (студенческого билета). Схему задания (вариант) следует выбирать по *последней* цифре шифра, вариант числовых значений определяется из таблицы данных по *предпоследней* цифре шифра.

Цифра «0» в шифре соответствует цифре «10» варианта работы (с. 14).

Оформление работы

1. Контрольная работа выполняется в ученической тетради (или листах А4).

2. На обложке тетради четко указывают номер контрольной работы, название дисциплины, фамилию и инициалы студента, его почтовый адрес и, по возможности, адрес его электронной почты.

3. Там же четко указывают свой полный шифр; на последней странице – полное наименование литературных источников, их авторов, года издания, по которым выполнялась контрольная работа. Все страницы тетради (работы) должны быть пронумерованы.

4. Решение каждого задания начинается на новой странице. Условие задания полностью переносится в тетрадь вместе с полученным рисунком и числовыми данными из таблицы. Далее пишется заголовок «Решение задания» и ниже выполняется все, что требуется для его решения.

5. Для записи возможных замечаний по работе вдоль боковой стороны листа следует оставлять поле шириной 25 – 30 мм.

6. В конце работы указываются дата ее выполнения и ставится подпись исполнителя.

Исправление ошибок в контрольной работе после рецензирования выполняется в той же тетради на оставшихся свободных листах. При этом необходимо представить подробные пояснения по замечаниям, сделанным рецензентом.

На защите контрольной работы, проводимой до сдачи зачета (экзамена), студент должен показать хорошие знания по материалам (тематике) выполненной работы и умение самостоятельно решать подобные задачи.

При составлении данного сборника заданий за основу были взяты «Методические указания и задания для контрольных работ и курсового проекта» по дисциплине «Теория механизмов и машин» для студентов–заочников высших учебных заведений инженерно-технических специальностей, выпущенные издательством «Высшая школа» в 1997 г.

Указания к выполнению задания 1

Дана схема манипулятора.

Следует определить количество степеней подвижности руки (схваты) манипулятора (W), а также пространственную (m) и базовую (m_b) маневренности схвата. Сделать выводы о работоспособности рассмотренной схемы. При необ-

ходимости (полученный вариант неработоспособен) предложить способы ее усовершенствования.

Манипулятор – механическое устройство, близкое по своей структуре и функциям к руке человека, способное выполнять сложные перемещения различных объектов в трехмерном пространстве. Манипулятор имеет, как правило, открытую кинематическую цепь.

Одними из основных этапов проектирования манипуляторов являются структурный анализ и синтез его кинематической цепи, в результате которого выбирается рациональная схема механизма и задаются его определенные кинематические свойства. Предлагаемое задание дает возможность усвоить и практически закрепить понятия и термины, положенные в основу структурного анализа (синтеза) механизмов манипуляторов.

Количество степеней подвижности (свобод движений) руки манипулятора определяется формулой Сомова-Малышева:

$$W = 6n - 5p_5 - 4p_4 - 3p_3 - 2p_2 - 1p_1, \quad (1)$$

где n – количество *подвижных* звеньев пространственной кинематической цепи, p_5, p_4, p_3, p_2, p_1 – количество кинематических пар пятого (одноподвижных), четвертого (двухподвижных), третьего (трехподвижных), второго (четырехподвижных) и первого (пятиподвижных) классов (*прил.. А*).

Общее число степеней подвижности манипулятора складывается из числа степеней подвижности устройства для позиционирования и устройства ориентации детали.

Менее шести степеней подвижности манипулятору достаточно иметь при симметрии перемещаемой детали, например, при захвате предмета, являющегося телом вращения.

Для работы с объектами, произвольно ориентированными в пространстве, манипулятору достаточно *шести степеней* подвижности. В этом случае возможно произвольное позиционирование центра тяжести детали и ее ориентация в некоторой области трехмерного пространства. Такой подвижностью обычно довольствуются в конструкциях самых сложных манипуляторов.

Механическая рука, обладающая семью степенями подвижности, в сочетании с движением схватывания, становится механизмом, способным во многих случаях выполнять функции руки человека (*рис. Б.6*).

С целью упростить управление в отдельных случаях удобно применять раздельное управление каждым движением (приводом). Однако при работе с предметами, образующими кинематическую связь с неподвижным объектом, шести степеней подвижности при раздельном управлении может оказаться недостаточно. *Например*: требуется вставить болт K в резьбовое отверстие и завернуть этот болт (*рис. 1.1*).

В таких случаях для выполнения заданной ориентации предмета и выполнения всей операции необходимо использовать сложную комбинацию из шес-

ти движений или оснастить манипулятор дополнительными подвижными звеньями с приводом (дополнительное вращение – ротацию, звенья переменной длины и т. д. (рис. 1.2)). Эти приводы будут включаться только в случае необходимости, в связи с чем вводится понятие *маневренности* манипулятора.

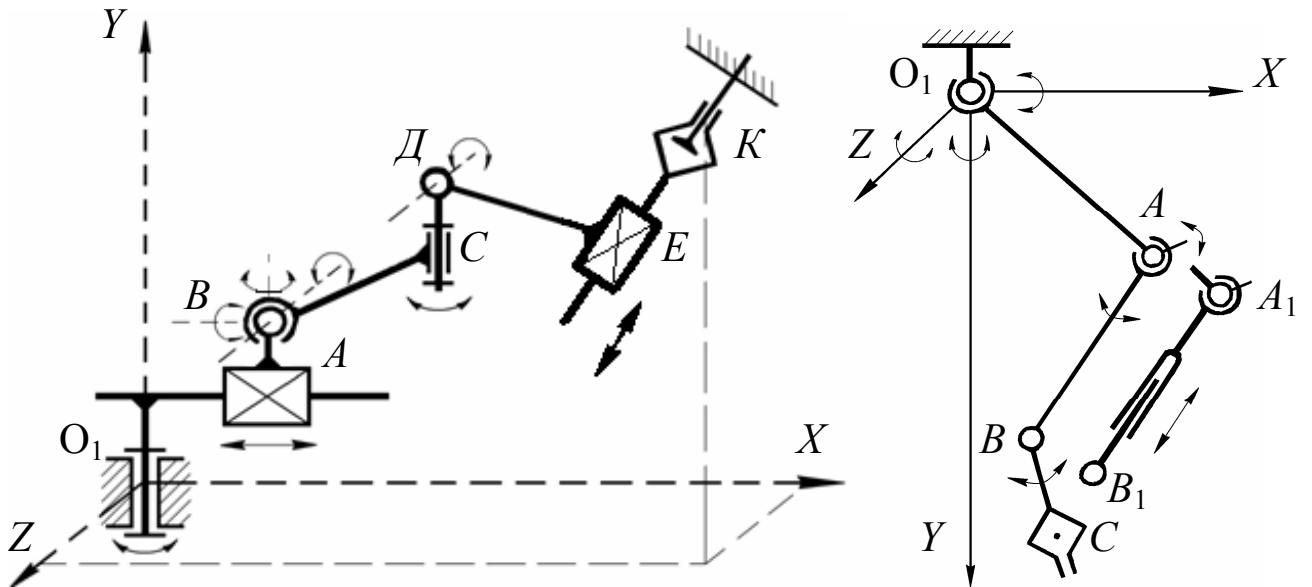


Рис. 1.1. Схема пространственной кинематической цепи манипулятора

Рис. 1.2. Манипулятор с дополнительными подвижными звеньями

Маневренность манипулятора определяется таким количеством степеней свободы движения, которое дает возможность манипулировать звеньями при *жестком соединении* губок схватка с неподвижным предметом.

Различают *пространственную* (общую) – m – и *базовую* – m_b – маневренности, определяемые по формулам, предложенным О. Г. Озолом

$$m = \sum f_{\text{пр}} - 6 = W - 6, \quad (2)$$

$$m_b = \sum f_b - 3, \quad (3)$$

где $\sum f_{\text{пр}}$ – сумма степеней свободы движения всех кинематических пар, обеспечивающих *пространственную* ориентацию схватка (общее число свобод = W);

$\sum f_b$ – сумма степеней свободы движения кинематических пар, обеспечивающих движение звеньев в *базовой плоскости* (например, в плоскости YO_1X – см. рис. 1.1) при неподвижном схватке.

Маневренность манипулятора (базовая) определяется таким количеством степеней свободы движения, которые позволяют манипулировать звеньями в *базовой плоскости* (например, в плоскости YO_1X) при жестком соединении губок схватка с неподвижным предметом. При этом возможны следующие варианты:

1. Если $m > 0$ и $m_6 > 0$, причем $m = m_6$, то манипулятор обладает маневренностью только в базовой плоскости и способен на произвольную ориентацию схвата в пространстве в пределах конструктивных параметров схемы.

2. Если $m > 0$ и $m_6 > 0$, причем $m < m_6$, то манипулятор обладает маневренностью в базовой плоскости, но имеет ограниченную общую маневренность и не способен обеспечить ряд положений схвата в пространстве. В этом случае необходимо изменить ориентацию носителя – основания манипулятора (подвижного и неподвижного).

3. Если $m > 0$ и $m_6 > 0$, причем $m > m_6$, то манипулятор наиболее универсален, он обладает маневренностью как в базовой плоскости, так и в пространстве и способен работать при неподвижном схвате.

4. Если $m \leq 0$ и $m_6 \leq 0$, то манипулятор способен выполнить ограниченные перемещения как в плоскости, так и в пространстве, но не способен работать с объектами, кинематически связанными с неподвижной базой, так как схема манипулятора в этом случае теряет всякую подвижность и превращается в жесткую ферму.

Во всех остальных случаях по показателям маневренности манипулятор своих функций не выполняет.

Повышенная маневренность увеличивает возможность выполнения сложных операций с объектом манипулирования наиболее рациональным путем при наличии препятствий в рабочей зоне, однако усложняет задачу управления таким манипулятором, поскольку приводит к неоднозначному решению задачи определения движения схвата.

Примечание. Выбор вида и комбинаций кинематических пар привода механической руки является компромиссным решением между различными требованиями, предъявляемыми к манипулятору.

Прямоугольная система координат (рабочая зона – параллелепипед) в устройствах позиционирования применяется в схемах специализированных роботов, выполняющих технологические операции, в частности сборочные. Здесь существенное значение имеет простота полного движения, представленного его составляющими по координатам (*прил. Б*), а также простота реализации этого движения (например, пневматикой).

Наибольшее распространение среди промышленных роботов, созданных для целей транспортировки, получили конструкции в цилиндрических координатных осях (рабочая зона – цилиндрический сегмент).

Сферическая система позиционирования (рабочая зона – сферический сегмент) позволяет сочетать компактность и повышенную жесткость, допускающие высокие динамические нагрузки.

Пример 1. На *рис. 1.1* приведена кинематическая схема манипулятора, содержащая шесть подвижных звеньев, образующих пять кинематических пар пятого класса (три вращательные – O_1, C, D ; две поступательные – A и E) и одну сферическую трехподвижную пару B .

1. Для рассматриваемой схемы имеем $n = 6$, $p_5 = 5$ и $p_3 = 1$. В этом случае количество свобод движения манипулятора составит

$$W = 6 \cdot 6 - 5 \cdot 5 - 3 \cdot 1 = 8.$$

2. Маневренность манипулятора в пространстве при неподвижном схвате (количество подвижных звеньев примем равным $n - 1$)

$$m = \sum f_{\text{пр}} - 6 = (1p_5 + 3p_3) - 6 = (1 \cdot 5 + 3 \cdot 1) - 6 = W - 6 = 8 - 2 = 2.$$

3. Маневренность манипулятора в базовой плоскости (например, в плоскости YO_1X) при неподвижном схвате будет обеспечиваться подвижностью кинематических пар A, D, E и одним из трех вращений сферической пары B .

$$m_6 = \sum f_6 - 3 = 4 - 3 = 1.$$

4. Исследование структуры манипулятора дает основание сделать вывод о том, что при $m = 2$ и $m_6 = 1$ манипулятор обладает маневренностью в пространстве и способен работать при неподвижном схвате (вариант 3 на с. 7).

Пример 2. Для трехзвенной цепи манипулятора, приведенной на рис. 1.2, звенья которого соединены парами третьего (O_1), четвертого (A) и пятого (B) классов, выполним следующие вычисления

$$W = 6 \cdot 3 - 5 \cdot 1 - 4 \cdot 1 - 3 \cdot 1 = 6;$$

$$m = (1p_5 + 2p_4 + 3p_3) - 6 = (1 \cdot 1 + 2 \cdot 1 + 3 \cdot 1) - 6 = W - 6 = 0;$$

$$m_6 = 3 - 3 = 0.$$

Таким образом, данный манипулятор способен ориентировать схват C в рабочем объеме, но не способен работать с предметами, кинематически связанными с неподвижными объектами (вариант 4 на с. 7).

Введение в цепь звена A_1B_1 переменной длины (дополнительная кинематическая пара E – телескопический разъем со своим приводом) дает возможность повысить маневренность этого манипулятора, выполнять более сложные движения в ограниченном рабочем объеме, уменьшить энергозатраты при перемещении объекта из одной точки в другую при наличии препятствий в зоне обслуживания (вариант 1 на с. 7).

В этом случае $W = 6 \cdot 4 - 5 \cdot 2 - 4 \cdot 1 - 3 \cdot 1 = 7$;

$$m = (1p_5 + 2p_4 + 3p_3) - 6 = (1 \cdot 2 + 2 \cdot 1 + 3 \cdot 1) - 6 = W - 6 = 1;$$

$$m_6 = 4 - 3 = 1.$$

Указания к выполнению задания 2

Для представленной схемы зубчатого механизма следует определить его общую степень подвижности, неизвестное число зубьев какого-либо колеса, передаточное отношение от входа до выхода механизма и частоты вращения отдельных его звеньев. Для каждой схемы перечень неизвестных параметров содержится в конце варианта задания табл. 1.1 (с. 19 – 22).

При определении неизвестных чисел зубьев в зубчатом механизме необходимо учесть условие соосности входа и выхода дифференциальной части механизма, а также то, что модули всех колес дифференциала (для упрощения расчетов) приняты одинаковыми.

Решение задачи по определению кинематических параметров сложного зубчатого механизма следует начать с выяснения структуры этого механизма. В нем необходимо выделить дифференциальную часть и зубчатые ряды, а затем составить выражения для передаточных отношений каждой из этих выделенных частей.

На рис. 1.3 в качестве примера представлена схема зубчатого механизма, предлагаемая для его кинематический анализ. Этот механизм можно отнести к плоским, определив степень его подвижности по формуле Чебышева

$$W = 3n - 2p_5 - 1p_4, \quad (4)$$

где n – количество подвижных звеньев плоской кинематической цепи;

p_5 – количество кинематических пар пятого класса (одноподвижных) – подшипниковых опор;

p_4 – количество кинематических пар четвертого класса (двухподвижных) – внешних и внутренних зубчатых зацеплений.

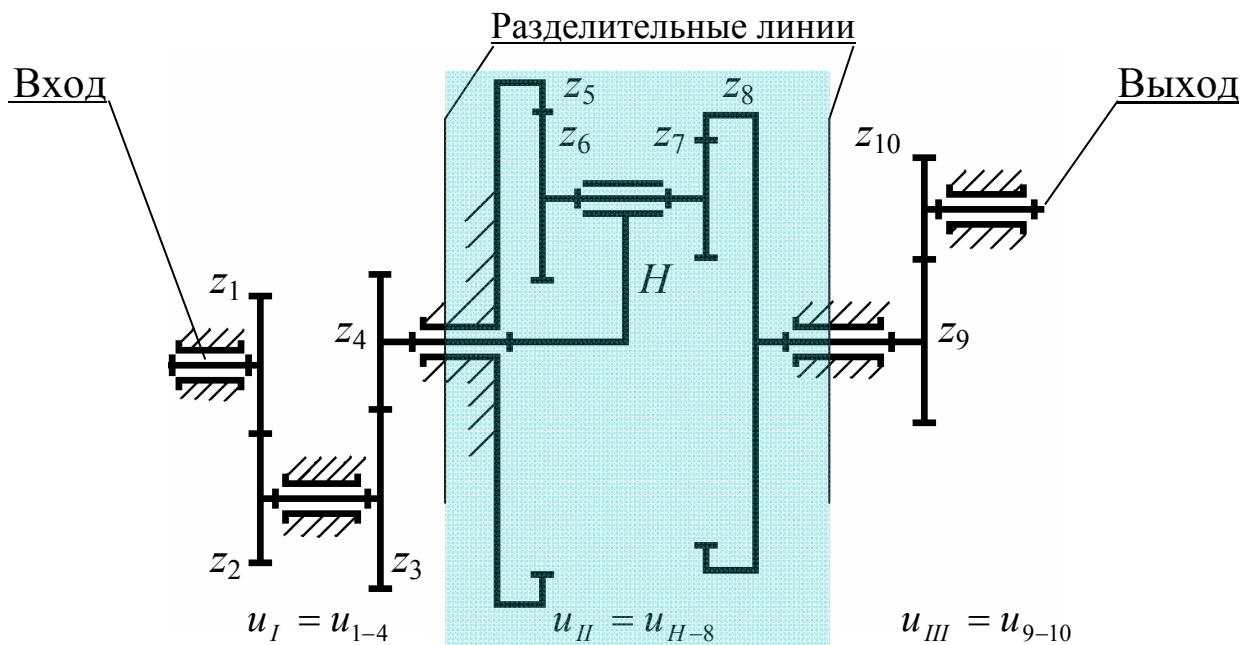


Рис. 1.3. Открытый сложный зубчатый механизм

Физический смысл числа, полученного из выражения (4), трактуется как количество одновременно входных (ведущих) звеньев зубчатого механизма.

Для расчетной схемы

$$n = 6; \quad p_5 = 6; \quad p_4 = 5; \quad W = 3 \cdot 6 - 2 \cdot 6 - 1 \cdot 5 = 1.$$

Примечание. Для получения достоверного результата каждое подвижное звено (вал) условно считаем опирающимся только на одну опору.

Здесь следует также напомнить, что в технической литературе меньшее колесо любой передачи принято называть *шестерней*, а большее – *колесом (зубчатым колесом)* [2].

Введение в оборот по ГОСТ 16530-83 термина «передаточное число» дублирует интернациональный термин «передаточное отношение»*. В иностранной литературе понятие «передаточное число» отсутствует.

Передаточное отношение – одна из важных характеристик механической передачи вращательного движения (зубчатой передачи). Передаточным отношением механизма, передающего вращательное движение, принято называть отношение угловой скорости входного (ведущего) звена $\omega_{\text{вх}}$ к угловой скорости выходного (ведомого) звена $\omega_{\text{вых}}$ и (без учета знаков ω_i) обозначать через $u_{\text{вх-вых}}$ (при $\omega_{\text{вх}} \neq \omega_{\text{вых}} = \text{const}$), т. е.

$$u_{\text{вх-вых}} = \frac{\omega_{\text{вх}}}{\omega_{\text{вых}}}.$$

Отношение числа зубьев колеса z_2 к числу зубьев шестерни z_1 принято называть *передаточным числом* (i_{1-2}) зубчатой передачи. Если ведущим зубчатым колесом является шестерня, то для такой передачи *передаточное отношение* (u_{1-2}) и *передаточное число* (i_{1-2}) представляют собой одну и ту же величину**.

Передаточное отношение – более общее понятие механики; оно применимо как к механической передаче с одной ступенью, так и к передачам с множеством ступеней. При этом передаточное отношение всей механической передачи равно произведению передаточных отношений всех ее ступеней.

В общем случае для цилиндрической зубчатой передачи (пары) запишем

$$|u_{1-2}| = \frac{\omega_1}{\omega_2} = \frac{n_1}{n_2} = \frac{r_{w2}}{r_{w1}} = \frac{z_2}{z_1} = i_{1-2} = \text{const.}$$

где n_1 и n_2 – частоты вращения колес, r_{w1} и r_{w2} – радиусы начальных окружностей колес, z_1 и z_2 – числа зубьев колес.

Формально механизм с передаточным отношением больше единицы называют редуктором; с передаточным отношением меньше единицы – мультипликатором. Фактически тот и другой механизмы в обиходе принято называть редуктором, добавляя лишь определение «понижающий» в случае с ($u > 1$) и «повышающий» в случае с ($u < 1$).

* http://studopedia.ru/6_48732_peredatochnoe-otnoshenie-peredatochnoe-chislo.html

** Гузенков, П. Г. Детали машин / П. Г. Гузенков. – М.: Высшая школа, 1986. – 358 с.

Расчетная схема механизма (*рис. 1.3*) состоит из двух простых зубчатых рядов и дифференциальной части. Первый зубчатый ряд включает зубчатые колеса $1 - 4$. Дифференциальный ряд (дифференциал) состоит из зубчатых колес $5 - 8$ и водила H (рычага, удерживающего сателлит в зацеплении). Второй зубчатый ряд состоит из колес $9 - 10$.

Из кинематической цепи механизма выделим цветом его **дифференциальную часть**. Это деление на части на *рис. 1.3* показано вертикальными линиями, проводимыми по неподвижным опорам – стойкам. Весь механизм теперь представим в виде трех фрагментов, имеющих свои передаточные отношения (передаточные числа)

$$u_{\text{вх-вых}} = u_{1-10} = u_I u_{II} u_{III} = u_{1-4} u_{H-8} u_{9-10} = \frac{n_1}{n_{10}} = \frac{n_{\text{вх}}}{n_{\text{вых}}}. \quad (5)$$

Передаточное отношение первой части – простого зубчатого ряда – определим отношением чисел зубьев колес, вошедших в этот ряд

$$u_{1-4} = (-1)^q \frac{z_2 z_4}{z_1 z_3} = \frac{n_1}{n_4},$$

где q – число *внешних* зацеплений в зубчатом ряду (здесь $q = 2$),
 n_1 и n_4 – частоты вращения колес 1 и 4 , с^{-1} .

Множитель $(-1)^q$ в зубчатых механизмах с *параллельными осями вращения* звеньев определяет знак передаточного отношения. Если q – четное число или 0 – передаточное отношение положительно, входное (звено I) и выходное (звено 4) звенья данного участка кинематической цепи вращаются в одну и ту же сторону. Если q – нечетное число – передаточное отношение отрицательно, входное и выходное звенья данного участка цепи будут вращаться в разные стороны.

Для определения передаточного отношения второй части – дифференциального ряда при остановленном водиле (по методу Виллиса) составим выражение передаточного отношения от крайнего левого до крайнего правого зубчатых колес дифференциала. Колеса внутреннего зацепления 5 и 8 принято называть центральными или *солнечными*; колеса 6 и 7 – *сателлитом*.

$$u_{5-8}^H = (-1)^0 \frac{z_6 z_8}{z_5 z_7} = \frac{n_5 - n_H}{n_8 - n_H} = \frac{-n_H}{n_8 - n_H}. \quad (6)$$

Разделив числитель и знаменатель правой части выражения (6) на n_8 , получим

$$u_{5-8}^H = \frac{-n_H / n_8}{1 - n_H / n_8}, \quad \text{где } \frac{n_H}{n_8} = u_{H-8}.$$

Теперь после преобразований имеем

$$u_{H-8} = \frac{u_{5-8}^H}{u_{5-8}^H - 1}.$$

Передаточное отношение третьей части – простого зубчатого ряда – определим отношением чисел зубьев колес 9 и 10, вошедших в этот ряд

$$u_{9-10} = (-1)^1 \frac{z_{10}}{z_9} = \frac{n_9}{n_{10}}.$$

При определении числа оборотов сателлита (колес 6 и 7) следует в дифференциальном ряду исключить все колеса до сателлита (с любой его стороны) – сделать сателлит конечным колесом дифференциала (*рис. 1.4*).

Для представленной схемы при решении этой задачи ($n_6 = n_7 = ?$) должны быть заданы числа зубьев всех колес и частота вращения водила.

Передаточное отношение от 5 к 6 звену при остановленном водиле H

$$u_{5-6}^H = (-1)^0 \frac{z_6}{z_5} = \frac{n_5 - n_H}{n_6 - n_H} = \frac{-n_H}{n_6 - n_H}. \quad (7)$$

Численное значение n_H определим из выражений

$$n_H = n_4; \quad u_{1-4} = \frac{n_1}{n_4}; \quad n_4 = n_H = \frac{n_1}{u_{1-4}};$$

полученное n_H подставим в формулу (7) для вычисления $n_6 = n_7$.

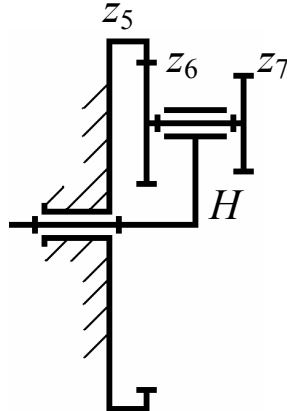


Рис. 1.4. К определению числа оборотов сателлита

Пример кинематического расчета замкнутого дифференциального зубчатого механизма

Схема механизма приведена на рис. 1.5. Заданы числа зубьев колес $1 - 2$ и $4 - 6$. Определению подлежит величина передаточного отношения от входного вала к корпусу барабана u_{1-3} и количество зубьев, нарезанных на торцевой части перегородки корпуса барабана (z_3).

Этот механизм представляет собой замкнутый дифференциальный редуктор грузоподъемного устройства. Колеса $1 - 3$ и водило H образуют дифференциальную часть (дифференциал), а колеса $4 - 6$ – простой зубчатый ряд.

Степень подвижности этого механизма определим из выражения

$$W = 3 \cdot 5 - 2 \cdot 5 - 1 \cdot 4 = 1.$$

Неизвестное число зубьев колеса 3 определим из условия соосности дифференциальной части, т. е.

$$R_3 = R_1 + 2R_2, \quad (8)$$

где R_1, R_2, R_3 – радиусы делительных окружностей колес $1 - 3$.

Эти радиусы далее следует заменить известным соотношением

$$R = mz/2,$$

где m – модуль зубчатого зацепления; z – число зубьев колеса.

При равенстве модулей всех колес выражение (8) представим в виде

$$z_3 = z_1 + 2z_2.$$

Передаточное отношение дифференциальной части определим из выражения

$$u_{1-3}^H = (-1)^1 \frac{z_3}{z_1} = \frac{n_1 - n_H}{n_3 - n_H}. \quad (9)$$

Здесь $n_3 = n_6$, $n_H = n_4$.

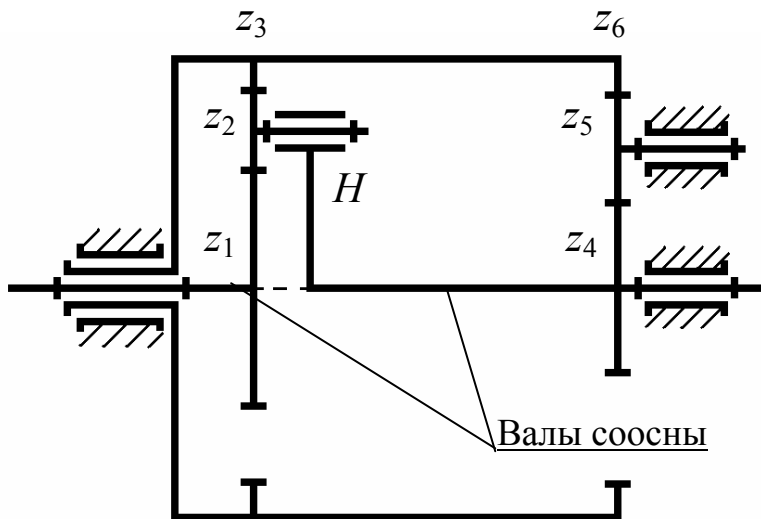


Рис. 1.5. Замкнутый сложный зубчатый механизм

Искомое соотношение u_{1-3} запишем в виде

$$u_{1-3} = \frac{n_1}{n_3}.$$

Разделим правую часть равенства (8) на n_3 и получим

$$u_{1-3}^H = -\frac{z_3}{z_1} = \frac{\cancel{n_1/n_3} - \cancel{n_H/n_3}}{1 - \cancel{n_H/n_3}} = \frac{u_{1-3} - u_{4-6}}{1 - u_{4-6}}. \quad (10)$$

Из (10) искомая величина будет равна

$$u_{1-3} = u_{1-3}^H (1 - u_{4-6}) + u_{4-6}.$$

Неизвестную на данный момент величину u_{4-6} – передаточное отношение простого зубчатого ряда – определим из выражения

$$u_{4-6} = (-1)^1 \frac{z_5 z_6}{z_4 z_5} = -\frac{z_6}{z_4}$$

и затем подставим в (10). Полученное уравнение решим относительно одного оставшегося неизвестного – u_{1-3} .

Далее приведены варианты заданий для выполнения контрольной работы.

Пример выбора исходных данных (прил. Г, с. 146). Общий принцип выбора варианта – на с. 3.

Шифр студента заканчивается цифрами **03**.

В этом случае следует брать:

- для задачи 1 *вариант схемы манипулятора – 3* (рис. 1.6, var. **3** на с. **15**);
- для задачи 2 *вариант схемы планетарного зубчатого механизма – 3* (рис. 1.7, var. **3** на с. **17**);
- для этой же задачи 2 *вариант числовых значений исходных данных для кинематического анализа планетарного зубчатого механизма – 10* (табл. 1.1, *задание 3* на с. **19**).

Варианты 1 – 10

Задача 1. Для заданной кинематической цепи манипулятора (рис. 1.6, вариант по шифру зачетной книжки – см. с. 15) определить количество свобод движения, пространственную (общую) и базовую маневренность, на основании которых сделать выводы о работоспособности предлагаемой схемы и, если это необходимо, предложить способы ее усовершенствования.

Задача 2. В планетарном зубчатом механизме (рис. 1.7, вариант по шифру зачетной книжки – см. с. 17) определить неизвестные кинематические параметры в соответствии с исходными данными, представленными в табл. 1.1.

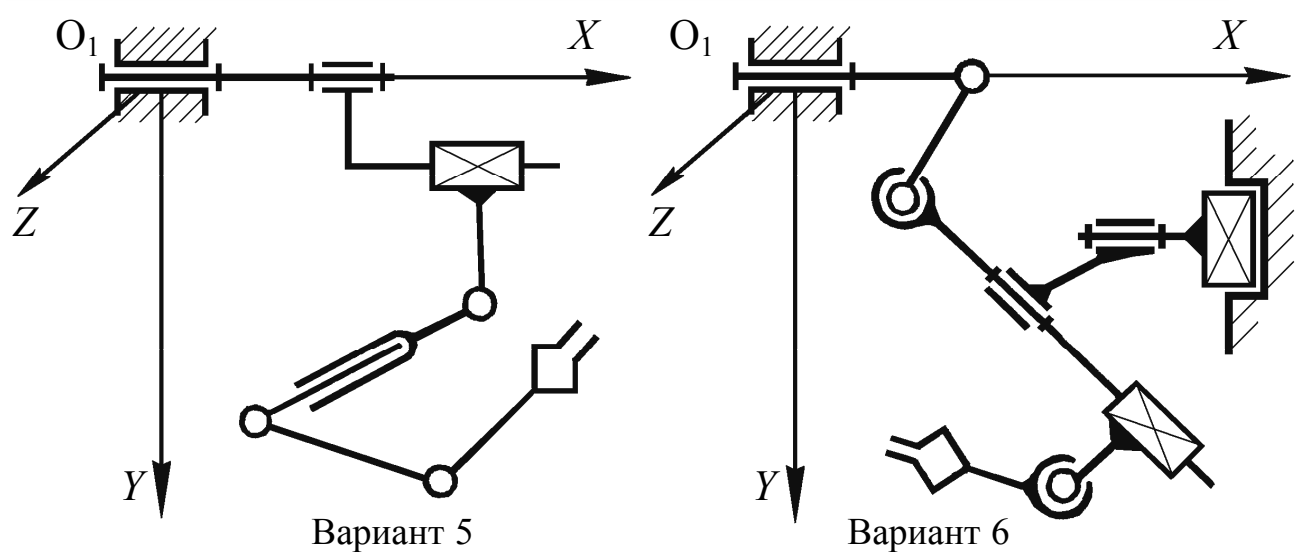
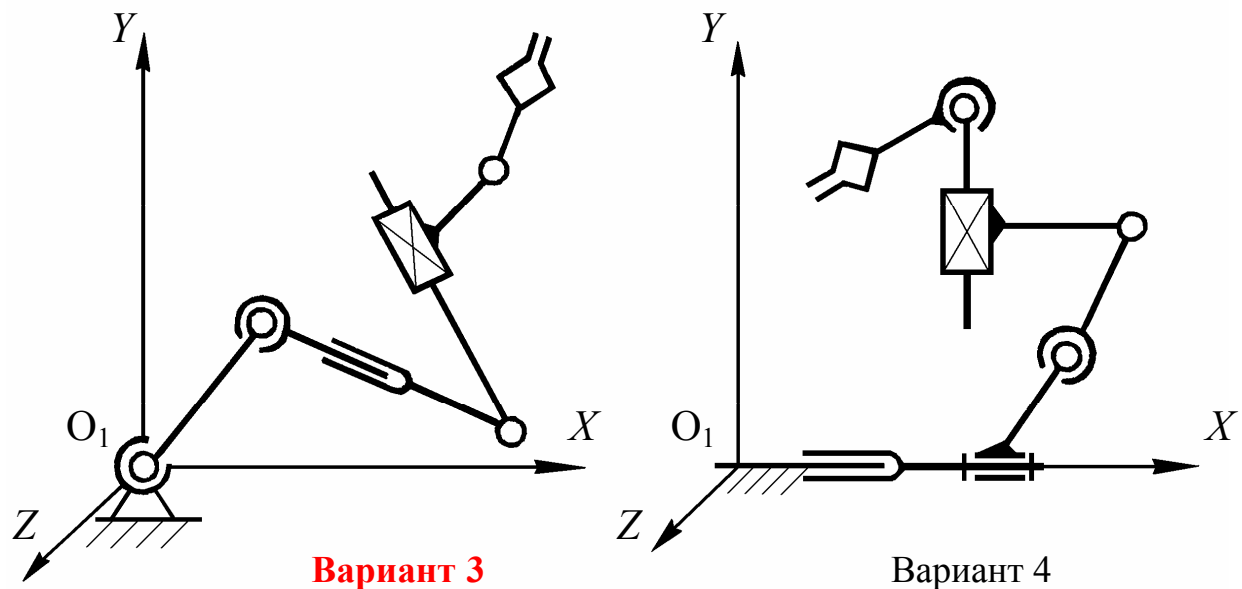
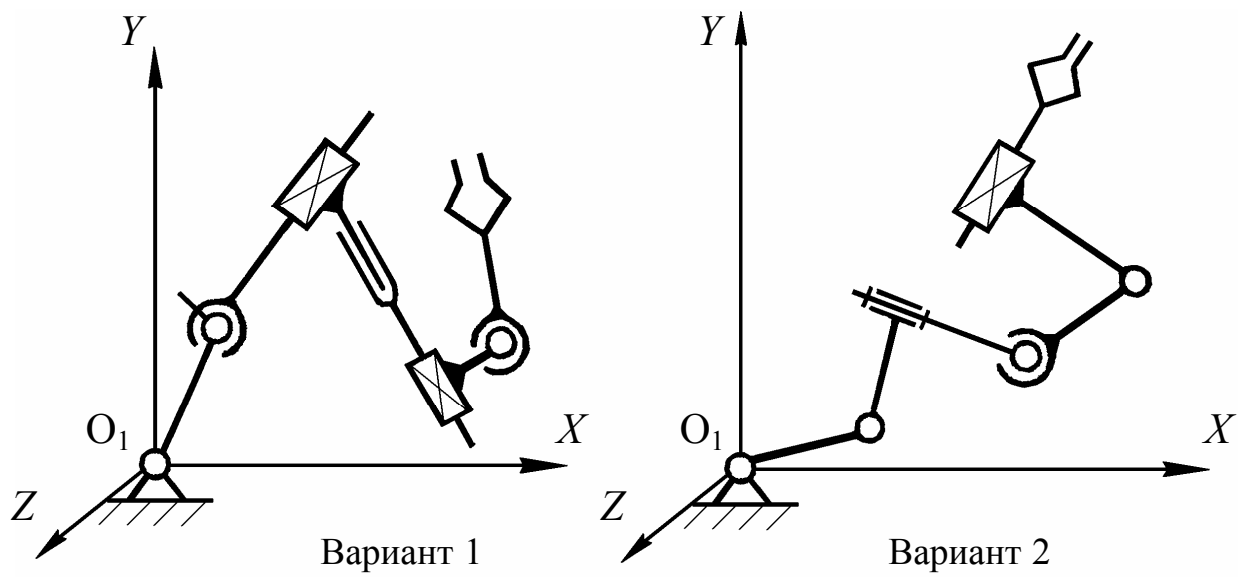


Рис. 1.6. Схемы манипуляторов

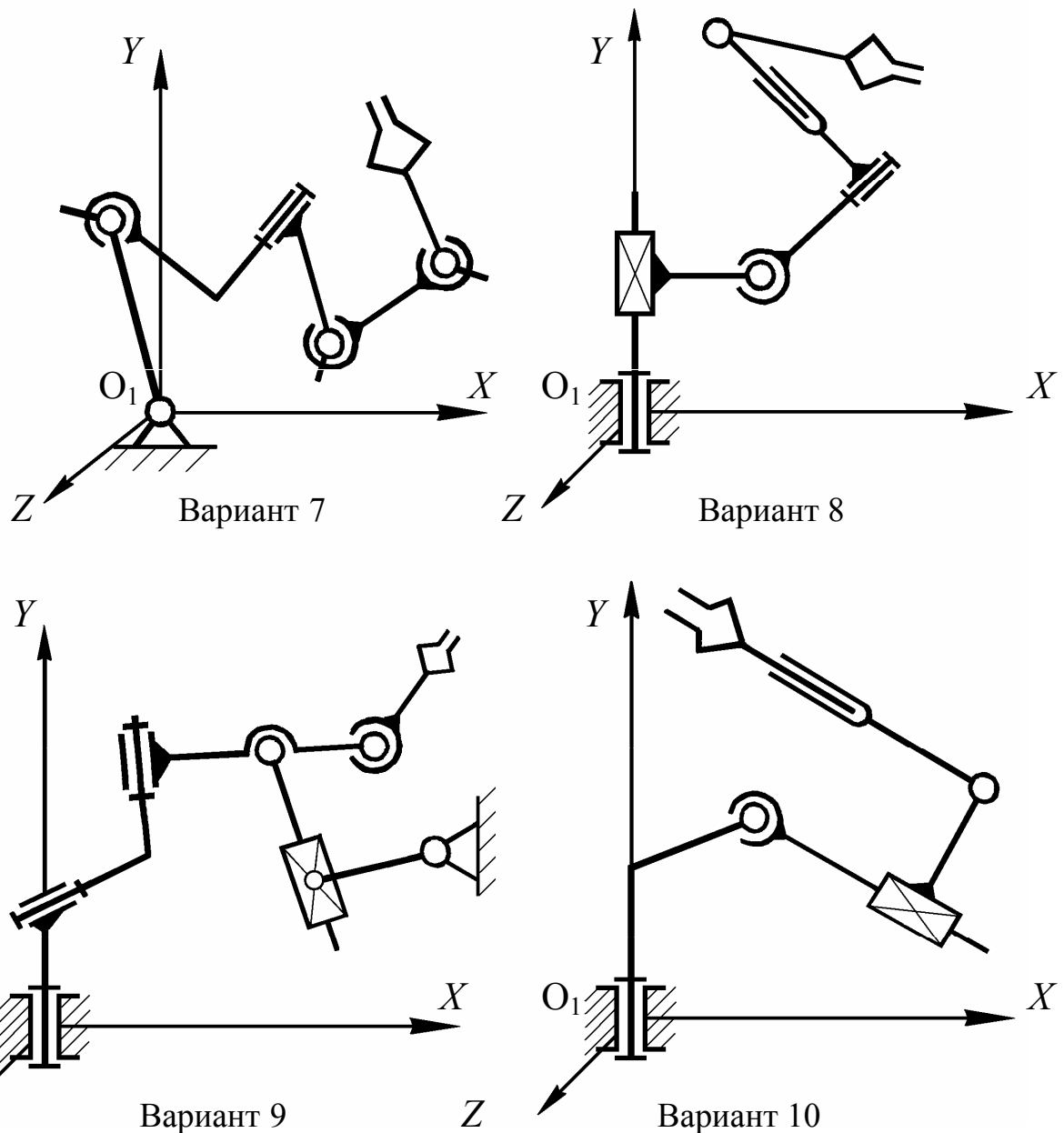


Рис. 1.6. Окончание (начало на с. 15)

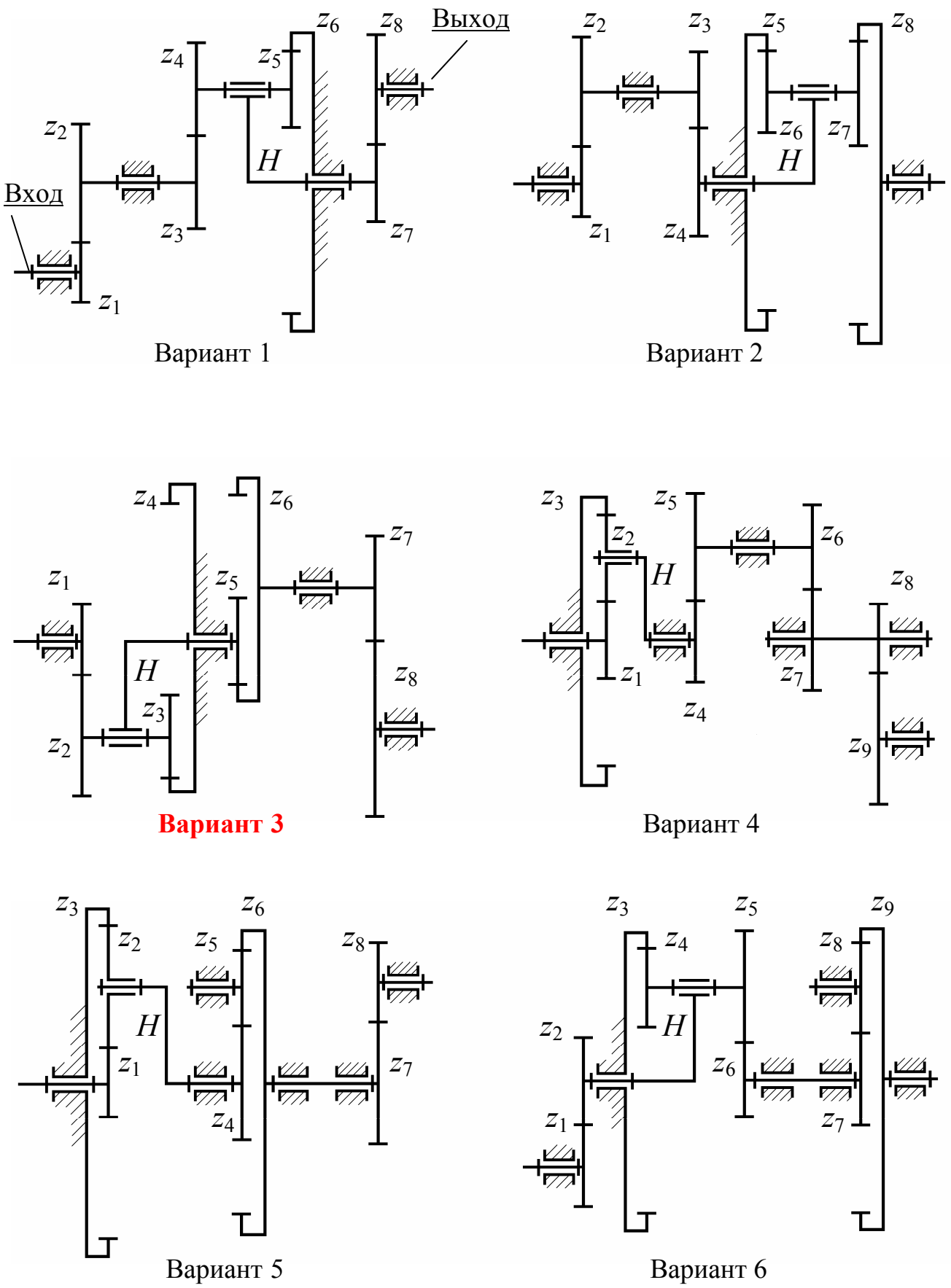
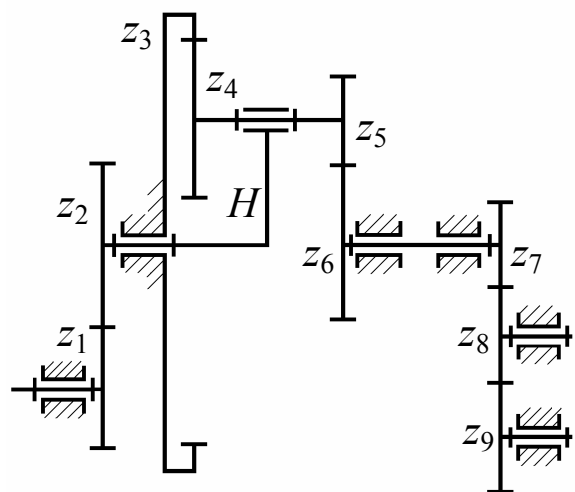
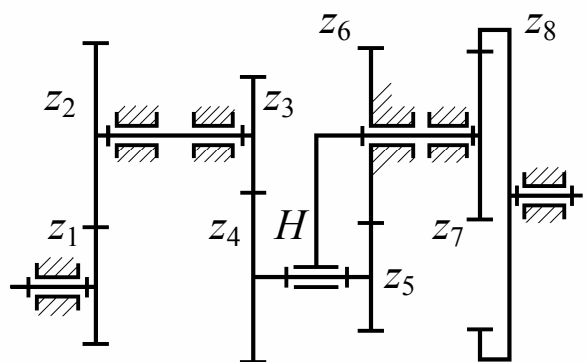


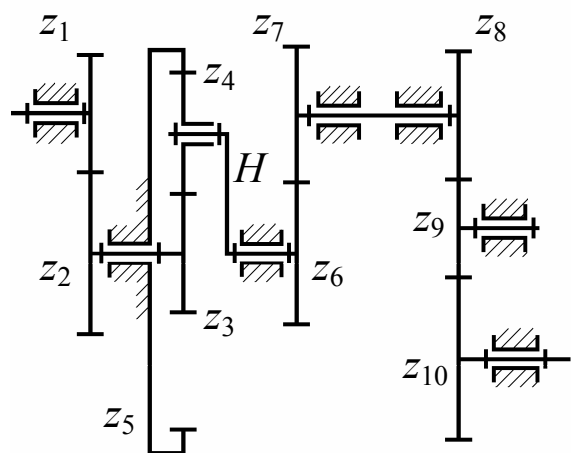
Рис. 1.7. Схемы планетарных зубчатых механизмов



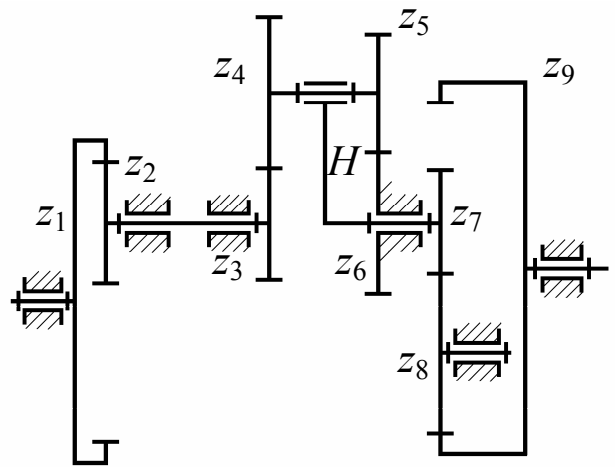
Вариант 7



Вариант 8



Вариант 9



Вариант 10

Рис. 1.7. Окончание (начало на с. 17)

Таблица 1.1. Исходные данные для решения задачи по кинематике зубчатых механизмов

Вариант схемы <i>(последняя цифра шифра зачетки)</i>	Вариант числовых значений <i>(предпоследняя цифра шифра зачетки)</i>	Частота вращения $n_1, \text{с}^{-1}$	Числа зубьев колес									
			z_1	z_2	z_3	z_4	z_5	z_6	z_7	z_8	z_9	z_{10}
1	1	8	50	60	40	60	40	?	35	50	—	—
	2	11	40	60	45	50	40	?	40	45	—	—
	3	9	35	50	40	45	40	?	35	40	—	—
	4	6	38	57	45	50	25	?	30	45	—	—
	5	4	35	45	50	75	35	?	25	40	—	—
	6	7	18	24	32	36	18	?	21	32	—	—
	7	8	19	27	20	32	21	?	18	38	—	—
	8	10	21	29	23	27	19	?	24	35	—	—
	9	5	23	42	31	25	22	?	21	43	—	—
	10	7	24	39	31	29	26	?	23	34	—	—
В варианте 1 определить: W , неизвестное число зубьев (z_6), u_{1-8} , n_H , n_4 , n_8 .												
2	1	11	40	60	50	60	100	40	?	110	—	—
	2	14	45	50	40	60	90	45	?	100	—	—
	3	10	40	45	35	50	120	40	?	140	—	—
	4	9	45	50	38	57	140	35	?	155	—	—
	5	8	50	75	35	45	120	40	?	125	—	—
	6	5	19	31	24	27	95	25	?	100	—	—
	7	4	21	27	24	36	97	26	?	90	—	—
	8	12	22	34	21	33	102	22	?	98	—	—
	9	17	24	37	32	41	94	24	?	93	—	—
	10	13	20	28	18	37	106	26	?	104	—	—
В варианте 2 определить: W , неизвестное число зубьев (z_7), u_{1-8} , n_H , n_6 , n_8 .												
3	1	14	19	24	?	64	21	97	23	34	—	—
	2	15	22	29	?	69	23	68	24	29	—	—
	3	9	18	27	?	68	25	71	22	31	—	—
	4	11	24	31	?	82	19	44	25	33	—	—
	5	12	27	34	?	88	25	72	27	40	—	—
	6	8	35	50	?	125	30	120	32	48	—	—
	7	11	40	60	?	135	35	105	35	50	—	—
	8	13	20	45	?	100	40	140	38	57	—	—
	9	7	45	35	?	120	45	120	42	49	—	—
	10	6	30	55	?	115	50	120	45	55	—	—
В варианте 3 определить: W , неизвестное число зубьев (z_3), u_{1-8} , n_H , n_3 , n_8 .												

Продолжение табл. 1.1

Вариант схемы (последняя цифра зачетки)	Вариант числовых значений (предыдущая цифра зачетки)	Частота вращения n_1, ω	Числа зубьев колес									
			z_1	z_2	z_3	z_4	z_5	z_6	z_7	z_8	z_9	z_{10}
4	1	7	30	?	110	50	60	40	60	45	49	—
	2	9	20	?	110	40	60	45	50	47	53	—
	3	11	40	?	140	35	50	40	45	42	48	—
	4	10	30	?	120	38	57	45	50	40	46	—
	5	13	35	?	115	35	45	50	75	50	62	—
	6	12	19	?	73	23	49	26	34	31	52	—
	7	17	22	?	78	21	34	26	41	23	38	—
	8	16	24	?	88	25	29	21	38	25	36	—
	9	11	27	?	99	24	32	27	35	31	39	—
	10	9	18	?	70	21	29	24	31	24	38	—
В варианте 4 определить: W , неизвестное число зубьев, u_{1-9}, n_H, n_2, n_9 .												
5	1	6	?	24	67	22	32	83	23	36	—	—
	2	7	?	27	75	20	23	64	27	35	—	—
	3	5	?	29	81	19	25	63	21	36	—	—
	4	9	?	32	82	18	25	65	24	29	—	—
	5	11	?	37	98	22	25	71	26	31	—	—
	6	12	?	30	85	30	50	120	32	48	—	—
	7	13	?	35	90	32	45	112	36	45	—	—
	8	9	?	35	104	40	48	126	38	57	—	—
	9	14	?	40	110	35	42	109	42	49	—	—
	10	15	?	45	130	25	39	98	45	50	—	—
В варианте 5 определить: W , неизвестное число зубьев, u_{1-8}, n_H, n_2, n_8 .												
6	1	11	18	24	72	19	?	29	21	24	66	—
	2	12	19	31	74	21	?	28	19	23	63	—
	3	9	21	27	82	23	?	32	22	27	72	—
	4	8	24	29	73	22	?	27	25	29	81	—
	5	7	18	26	76	18	?	32	20	27	71	—
	6	8	32	48	120	30	?	50	25	40	135	—
	7	11	36	45	125	25	?	60	35	45	135	—
	8	12	38	57	120	40	?	50	40	50	140	—
	9	9	42	49	115	35	?	50	50	45	145	—
	10	10	45	50	110	30	?	45	55	40	150	—
В варианте 6 определить: W , неизвестное число зубьев, u_{1-9}, n_H, n_4, n_9 .												

Продолжение табл. 1.1

Вариант схемы (последняя цифра шифра зачетки)	Вариант числовых значений (предпоследняя цифра шифра зачетки)	Частота вращения $n_1, \text{с}^{-1}$	Числа зубьев колес									
			z_1	z_2	z_3	z_4	z_5	z_6	z_7	z_8	z_9	z_{10}
7	1	11	21	27	73	21	24	?	21	25	32	—
	2	12	22	32	88	24	29	?	23	27	34	—
	3	13	24	29	75	19	25	?	19	26	34	—
	4	7	19	27	81	22	27	?	23	34	39	—
	5	14	25	33	90	25	28	?	18	29	37	—
	6	12	32	41	115	35	32	?	32	42	60	—
	7	13	42	49	125	35	36	?	36	37	60	—
	8	9	37	63	130	25	42	?	38	32	50	—
	9	8	43	54	125	30	38	?	42	30	49	—
	10	5	51	62	115	25	40	?	40	36	63	—
В варианте 7 определить: W , неизвестное число зубьев, u_{1-9} , n_H , n_5 , n_9 .												
8	1	7	19	25	?	27	21	24	23	72	—	—
	2	9	20	27	?	31	18	33	24	58	—	—
	3	11	21	28	?	28	20	30	21	65	—	—
	4	12	22	24	?	31	19	37	24	72	—	—
	5	13	23	33	?	32	18	35	25	69	—	—
	6	15	20	32	?	40	34	36	32	81	—	—
	7	12	40	55	?	50	40	55	36	78	—	—
	8	16	35	50	?	45	31	54	45	94	—	—
	9	14	38	57	?	50	42	53	54	96	—	—
	10	17	35	45	?	35	19	40	63	102	—	—
В варианте 8 определить: W , неизвестное число зубьев, u_{1-8} , n_H , n_5 , n_8 .												
9	1	11	25	40	25	?	75	30	40	30	42	46
	2	14	30	40	22	?	72	25	35	25	40	44
	3	12	27	36	28	?	78	32	40	28	42	50
	4	5	35	40	30	?	90	40	50	40	52	56
	5	7	32	40	32	?	92	30	44	25	29	36
	6	8	18	26	17	?	57	21	24	19	26	39
	7	9	19	23	18	?	62	22	27	21	25	36
	8	5	21	25	21	?	71	23	29	20	27	31
	9	7	22	26	22	?	76	24	27	22	28	32
	10	8	24	29	23	?	81	23	32	21	26	29
В варианте 9 определить: W , неизвестное число зубьев, u_{1-10} , n_H , n_4 , n_{10} .												

Окончание табл. 1.1

Вариант схемы (последняя цифра шифра зачетки)	Вариант числовых значений (предпоследняя цифра шифра зачетки)	Частота вращения $n_1, \text{с}^{-1}$	Числа зубьев колес									
			z_1	z_2	z_3	z_4	z_5	z_6	z_7	z_8	z_9	z_{10}
10	1	9	65	20	35	?	30	55	25	60	170	—
	2	11	73	30	32	?	40	40	22	50	175	—
	3	7	66	23	40	?	35	65	28	75	180	—
	4	5	70	20	38	?	40	55	30	60	180	—
	5	4	58	30	42	?	44	46	32	60	180	—
	6	11	43	21	20	?	22	22	17	50	130	—
	7	8	56	18	23	?	20	30	19	23	63	—
	8	12	70	24	17	?	19	31	18	22	60	—
	9	13	64	21	19	?	23	30	22	28	78	—
	10	14	71	23	23	?	18	32	19	27	71	—

В варианте 10 определить: W , неизвестное число зубьев, u_{1-9} , n_H , n_5 , n_9 .

ЧАСТЬ 2

КУРСОВАЯ РАБОТА

КИНЕМАТИЧЕСКОЕ И СИЛОВОЕ ИССЛЕДОВАНИЕ МЕХАНИЗМОВ

Курсовая работа состоит из двух заданий, в первом из которых проводится кинематический анализ рычажного механизма, во втором – синтез рабочего профиля кулачка в кулачковом механизме. Объем работы может незначительно корректироваться преподавателем, проводящим аудиторные занятия.

Выбор варианта задания

Шифром, по которому выбирается тот или иной вариант курсовой работы, является номер зачетной книжки (студенческого билета) исполнителя. Вариант задания (**схемы**) следует выбирать по **последней** цифре шифра, вариант **числовых значений** определяется **предпоследней** цифрой шифра. Цифра «**0**» в шифре соответствует цифре «**10**» варианта работы.

Оформление работы

Графическая часть каждого из двух заданий выполняется на отдельных листах формата А1 (594 x 841 мм). Оформление графической части должно соответствовать требованиям ЕСКД.

Расчетная часть в виде пояснительной записи выполняется в свободной форме на одной стороне листов бумаги формата А4.

Содержание работы

Лист 1 – кинематический анализ рычажного механизма – содержит:

- 6 совмещенных планов положений исходного механизма, изображенных относительно неподвижных опор;
- 6 планов скоростей для механизма, изображенные из общего полюса P_v ;
- 3 плана ускорений для механизма, изображенные из общего полюса P_a .

Лист 2 – синтез профиля кулачка – содержит:

- графики функции положения и двух передаточных функций ведомого звена кулачкового механизма;
- построение рабочего (теоретического и практического) профиля кулачка в кулачковом механизме;
- построение на теоретическом профиле кулачка (на рабочем и холостом ходах) углов давления в точках, соответствующих максимальному значению первой передаточной функции.

Пояснительная записка на проверку сдается в оформленном и сшитом виде. На первом – титульном листе – указываются название учебного заведения, кафедры и дисциплины, тема курсовой работы, шифр, группа и фамилия студента, дата выполнения работы и подпись автора. Второй лист – двухсторон-

ний бланк задания для исполнителя (копии схем рычажного и кулачкового механизмов) с вписанными в пустые клетки таблиц недостающими исходными данными по всем разделам курсовой работы. На последующих листах с комментариями излагается расчетная часть всей работы. В конце работы формулируются выводы и дается список использованной литературы. Все страницы пояснительной записки должны иметь сквозную нумерацию.

Во время защиты курсовой работы студент должен показать хорошие знания по выполненной им работе и умение самостоятельно решать аналогичные задачи.

При составлении пособия за основу брались «Контрольные задания» по теории механизмов и машин и прикладной механике для студентов высших учебных заведений инженерно-технических специальностей всех форм обучения, выпущенные на кафедре ТПМ СПГУТД в 2007 г.

Указания к выполнению листа 1

1. За исходное положение рычажного механизма следует принять положение, при котором его кривошип относительно стойки O_1 расположен горизонтально справа, т. е. угол поворота кривошипа (относительно оси X) $\varphi_1 = 0$. Поворот кривошипа от исходного положения на каждые 60° дает 6 положений ведомой части рычажного механизма.

2. Вращение входного звена следует принимать от исходного положения *против часовой стрелки*.

Указания к выполнению листа 2

1. На одной половине листе с учетом полученного варианта числовых данных изобразить следующие кинематические зависимости:

- функцию положения ведомого звена механизма $\beta_{\text{толк}} = \Pi(\varphi_K)$;
- первую геометрическую передаточную функцию $\beta'_{\text{толк}} = \Pi'(\varphi_K)$;
- вторую геометрическую передаточную функцию $\beta''_{\text{толк}} = \Pi''(\varphi_K)$.

На второй половине этого же листа в соответствии с выбранным вариантом построить профиль самого кулачка. При построении профиля использовать метод обращенного движения (*прил. В*).

2. Выполнение профиля кулачка начать с исходного (стартового) положения механизма – положения, при котором ведомое звено – толкатель начинает перемещение при сколь угодно малом повороте ведущего звена – кулачка.

3. Направление вращения кулачка задается направлением вращения кривошипа рычажного механизма и присутствием в кинематической цепи одной ступени внешнего зубчатого зацепления (*задания 1-10, с. 26 – 35*).

4. На построенном теоретическом профиле в пределах участков с максимальным значением первой передаточной функции (на рабочем и холостом ходах) также построением определить величины углов давления. Полученные значения углов сравнить с их предельными значениями для данного типа кулачковых механизмов и сделать выводы о работоспособности механизма.

По виду графиков первой и второй геометрических передаточных функций сделать выводы о динамической активности механизма по наличию жестких и мягких ударных нагрузок.

Далее приведены варианты заданий для выполнения курсовой работы.

Пример выбора исходных данных (прил. Г, с. 146 – 148). Общий принцип выбора варианта приведен на с. 23.

Шифр студента заканчивается, например, цифрами **03**.

В этом случае следует брать:

- вариант задания рычажного механизма для кинематического анализа – **3** (**ЗАДАНИЕ 3** на с. 28), которое копируется на формат А4 или А5;
- вариант числовых значений исходных данных для выполнения кинематического расчета – **10** (**схема 3** вар. **10** – табл. 2.11 на с. 36); эти данные (O_1A и n_1) копируются в пустые графы табл. 2.3 бланка своего задания;
- вариант схемы кулачкового механизма – **3** (вар. **3** на с. 38);
- вариант параметров кулачкового механизма для задания **3** (**вариант схемы механизма 3**, **вариант исходных данных 10**, – табл. 2.13 на с. 39); эти данные (r_0, ρ, e) вписываются в пустые графы табл. 2.12 также скопированной оборотной стороны бланка своего задания;
- вариант исходных данных для построения профиля кулачка – **10** (вар. **10** – табл. 2.23 на с. 60 – 62); данные, взятые отсюда (рабочий ход – $s_1, s_2, S_1, S_2, \lambda_{px}, \delta\beta_{px}, \Phi_{px}, \Phi_{dv}, S_{max}$; холостой ход – $s_1, s_2, s_1, s_2, \lambda_{xx}, \delta\beta_{xx}, \Phi_{xx}$), копируются в пустые графы табл. 2.12 бланка своего задания.

Министерство образования и науки Российской Федерации
 Федеральное государственное бюджетное образовательное учреждение
 высшего профессионального образования
 «САНКТ-ПЕТЕРБУРГСКИЙ ГОСУДАРСТВЕННЫЙ УНИВЕРСИТЕТ ПРОМЫШЛЕННЫХ
 ТЕХНОЛОГИЙ И ДИЗАЙНА»
 Кафедра «Теоретическая и прикладная механика»

Исполнитель
 проекта _____
 (Фамилия, И. О.)

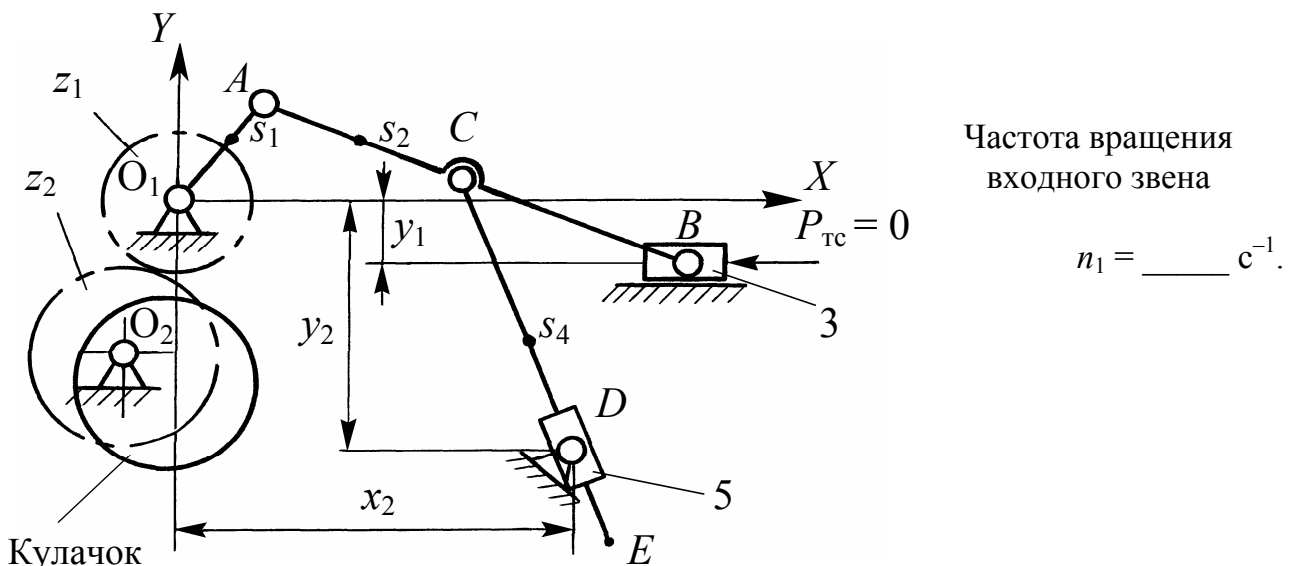
Руководитель
 проекта (работы) _____

Группа _____

Дата выдачи задания _____ 20 г.

Принял к исполнению _____
 (Дата, подпись и шифр студента)

ЗАДАНИЕ 1
(последняя цифра шифра зачетной книжки)



Содержание работы

- Лист 1. Кинематический анализ рычажного механизма.
 Лист 2. Синтез кулачкового механизма.

Таблица 2.1. Параметры рычажного механизма, м

O_1A	AB	AC	CE	x_2	y_1	y_2	O_1S_1	As_2	Cs_4
	0,18	0,1	0,17	0,1	0,02	0,1	—	—	—

Министерство образования и науки Российской Федерации
 Федеральное государственное бюджетное образовательное учреждение
 высшего профессионального образования
 «САНКТ-ПЕТЕРБУРГСКИЙ ГОСУДАРСТВЕННЫЙ УНИВЕРСИТЕТ ПРОМЫШЛЕННЫХ
 ТЕХНОЛОГИЙ И ДИЗАЙНА»
 Кафедра «Теоретическая и прикладная механика»

Исполнитель
 проекта _____
(Фамилия, И. О.)

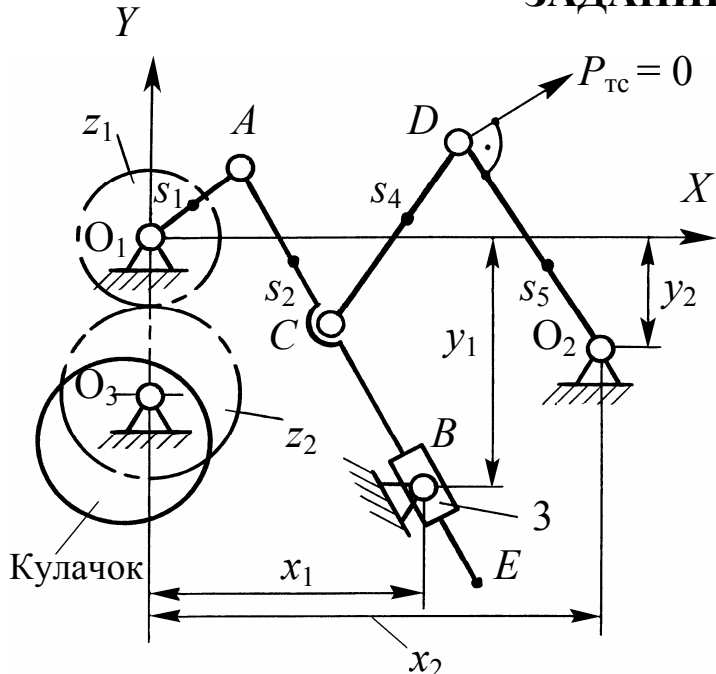
Руководитель
 проекта (работы) _____

Группа _____

Дата выдачи задания 20 г.

Принял к исполнению _____
(Дата, подпись и шифр студента)

ЗАДАНИЕ 2



Частота вращения входного звена

$$n_1 = \text{_____} \text{ c}^{-1}.$$

Содержание работы

- Лист 1. Кинематический анализ рычажного механизма.
 Лист 2. Синтез кулачкового механизма.

Т а б л и ц а 2.2. Параметры рычажного механизма, м

O_1A	AE	AC	CD	DO_2	x_1	x_2	y_1	y_2	O_1s_1	As_2	Cs_4	O_2s_5
0,27	0,08	0,16	0,12	0,15	0,23	0,1	0,02	—	—	—	—	—

Министерство образования и науки Российской Федерации
 Федеральное государственное бюджетное образовательное учреждение
 высшего профессионального образования
 «САНКТ-ПЕТЕРБУРГСКИЙ ГОСУДАРСТВЕННЫЙ УНИВЕРСИТЕТ ПРОМЫШЛЕННЫХ
 ТЕХНОЛОГИЙ И ДИЗАЙНА»
 Кафедра «Теоретическая и прикладная механика»

Исполнитель
 проекта _____
 (Фамилия, И. О.)

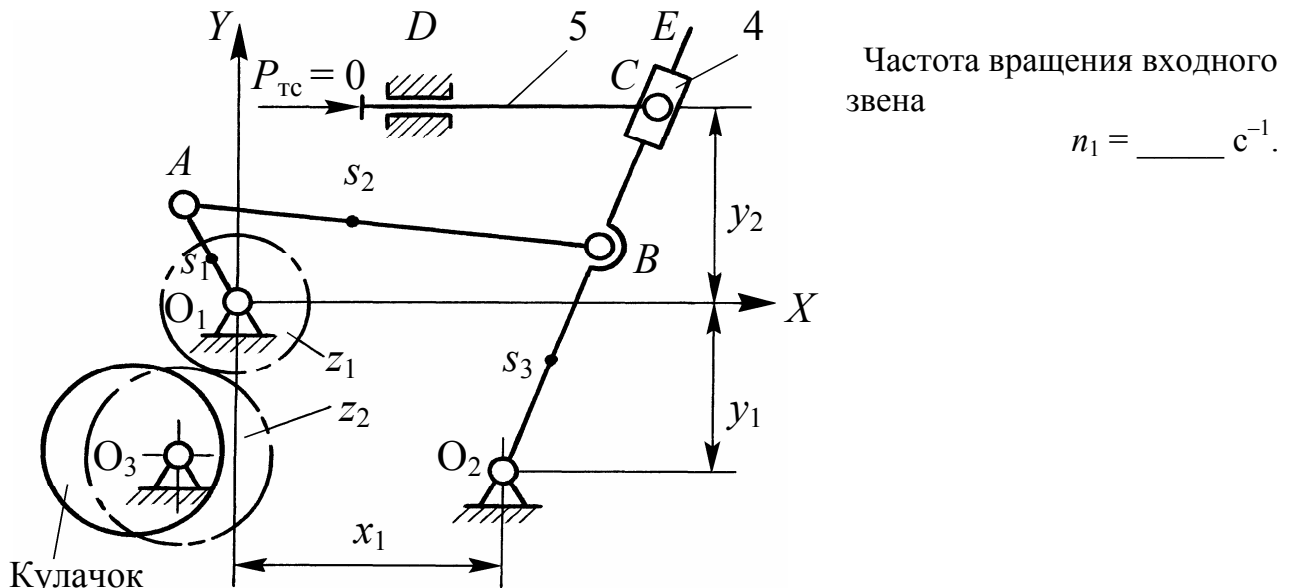
Руководитель
 проекта (работы) _____

Группа _____

Дата выдачи задания 20 г.

Принял к исполнению _____
 (Дата, подпись и шифр студента)

ЗАДАНИЕ 3



Содержание работы

- Лист 1. Кинематический анализ рычажного механизма.
 Лист 2. Синтез кулачкового механизма.

Т а б л и ц а 2.3. Параметры рычажного механизма, м

O_1A	AB	BO_2	EO_2	x_1	y_1	y_2	O_1s_1	As_2	O_2s_3
	0,2	0,18	0,3	0,2	0,11	0,14	—	—	—

Министерство образования и науки Российской Федерации
 Федеральное государственное бюджетное образовательное учреждение
 высшего профессионального образования
 «САНКТ-ПЕТЕРБУРГСКИЙ ГОСУДАРСТВЕННЫЙ УНИВЕРСИТЕТ ПРОМЫШЛЕННЫХ
 ТЕХНОЛОГИЙ И ДИЗАЙНА»
 Кафедра «Теоретическая и прикладная механика»

Исполнитель
 проекта _____
(Фамилия, И. О.)

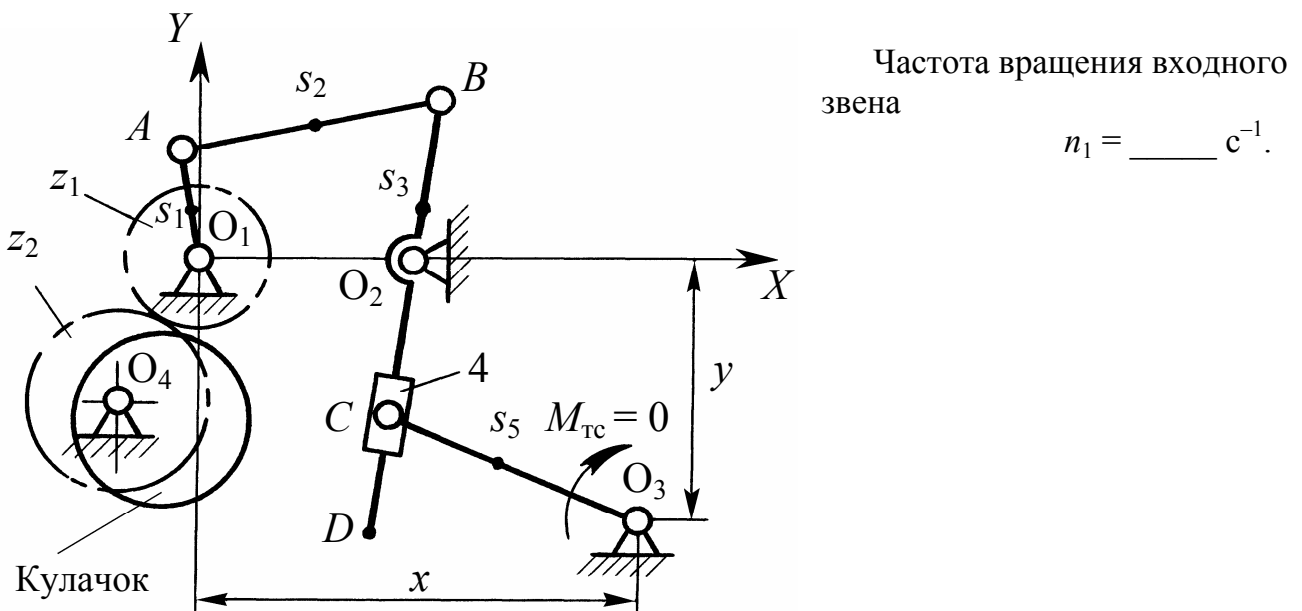
Руководитель
 проекта (работы) _____

Группа _____

Дата выдачи задания _____ 20 г.

Принял к исполнению _____
(Дата, подпись и шифр студента)

ЗАДАНИЕ 4



Содержание работы

- Лист 1. Кинематический анализ рычажного механизма.
 Лист 2. Синтез кулачкового механизма.

Таблица 2.4. Параметры рычажного механизма, м

O_1A	AB	BO_2	DO_2	CO_3	O_1O_2	x	y	O_1s_1	As_2	O_2s_3	O_3s_5
	0,12	0,09	0,05	0,09	0,11	0,16	0,1	—	—	—	—

Министерство образования и науки Российской Федерации
 Федеральное государственное бюджетное образовательное учреждение
 высшего профессионального образования
 «САНКТ-ПЕТЕРБУРГСКИЙ ГОСУДАРСТВЕННЫЙ УНИВЕРСИТЕТ ПРОМЫШЛЕННЫХ
 ТЕХНОЛОГИЙ И ДИЗАЙНА»
 Кафедра «Теоретическая и прикладная механика»

Исполнитель
 проекта _____
(Фамилия, И. О.)

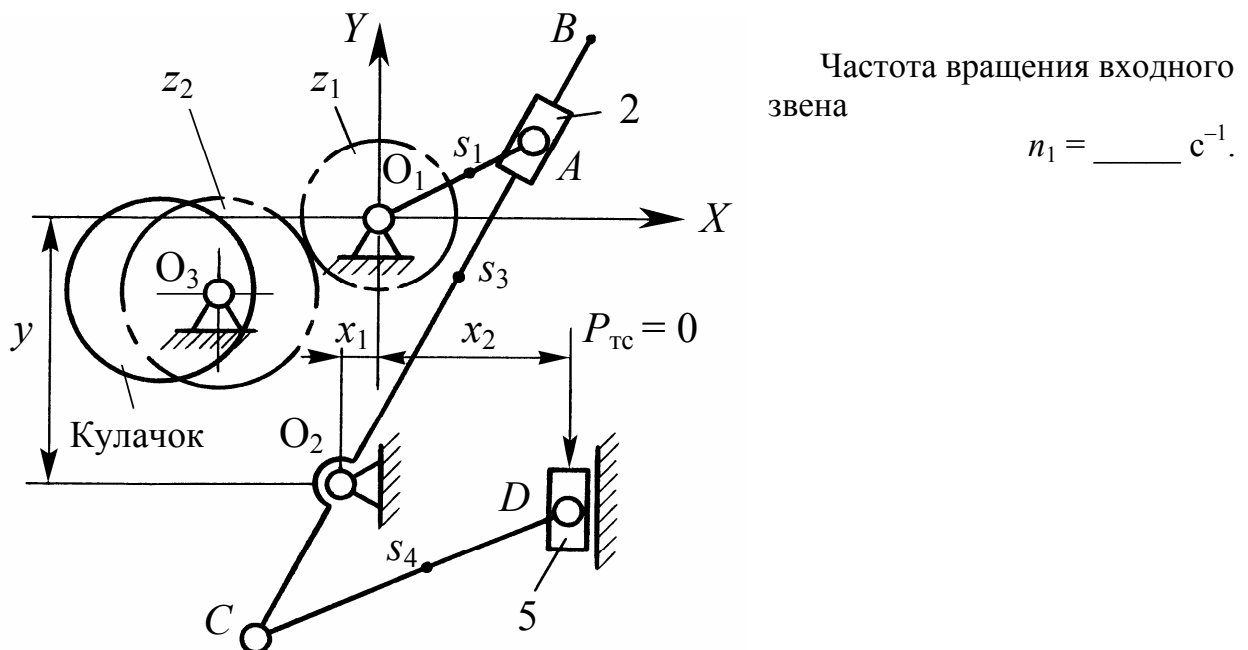
Руководитель
 проекта (работы) _____

Группа _____

Дата выдачи задания _____ 20 г.

Принял к исполнению _____
(Дата, подпись и шифр студента)

ЗАДАНИЕ 5



Содержание работы

- Лист 1. Кинематический анализ рычажного механизма.
 Лист 2. Синтез кулачкового механизма.

Таблица 2.5. Параметры рычажного механизма, м

O_1A	BO_2	CO_2	CD	x_1	x_2	y	O_1s_1	O_2s_3	Cs_4
	0,18	0,09	0,13	0,01	0,06	0,12	—	—	—

Министерство образования и науки Российской Федерации
 Федеральное государственное бюджетное образовательное учреждение
 высшего профессионального образования
 «САНКТ-ПЕТЕРБУРГСКИЙ ГОСУДАРСТВЕННЫЙ УНИВЕРСИТЕТ ПРОМЫШЛЕННЫХ
 ТЕХНОЛОГИЙ И ДИЗАЙНА»
 Кафедра «Теоретическая и прикладная механика»

Исполнитель
 проекта _____
(Фамилия, И. О.)

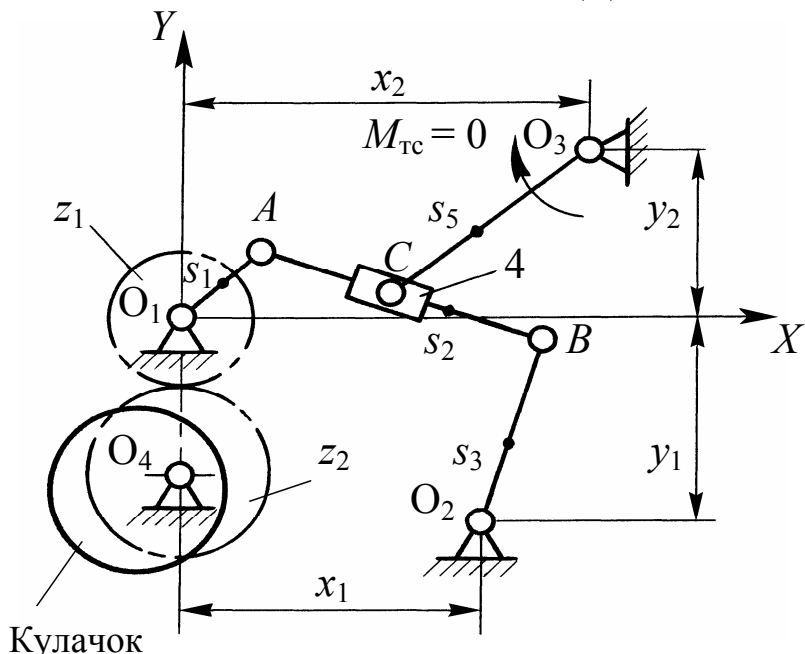
Руководитель
 проекта (работы) _____

Группа _____

Дата выдачи задания _____ 20 г.

Принял к исполнению _____
(Дата, подпись и шифр студента)

ЗАДАНИЕ 6



Частота вращения входного звена

$$n_1 = \text{_____} \text{ c}^{-1}$$

Содержание работы

- Лист 1. Кинематический анализ рычажного механизма.
 Лист 2. Синтез кулачкового механизма.

Т а б л и ц а 2.6. Параметры рычажного механизма, м

O_1A	AB	BO_2	CO_3	x_1	x_2	y_1	y_2	O_1s_1	As_2	O_2s_3	O_3s_5
	0,3	0,3	0,22	0,3	0,26	0,19	0,23	—	—	—	—

Министерство образования и науки Российской Федерации
 Федеральное государственное бюджетное образовательное учреждение
 высшего профессионального образования
 «САНКТ-ПЕТЕРБУРГСКИЙ ГОСУДАРСТВЕННЫЙ УНИВЕРСИТЕТ ПРОМЫШЛЕННЫХ
 ТЕХНОЛОГИЙ И ДИЗАЙНА»
 Кафедра «Теоретическая и прикладная механика»

Исполнитель
 проекта _____
(Фамилия, И. О.)

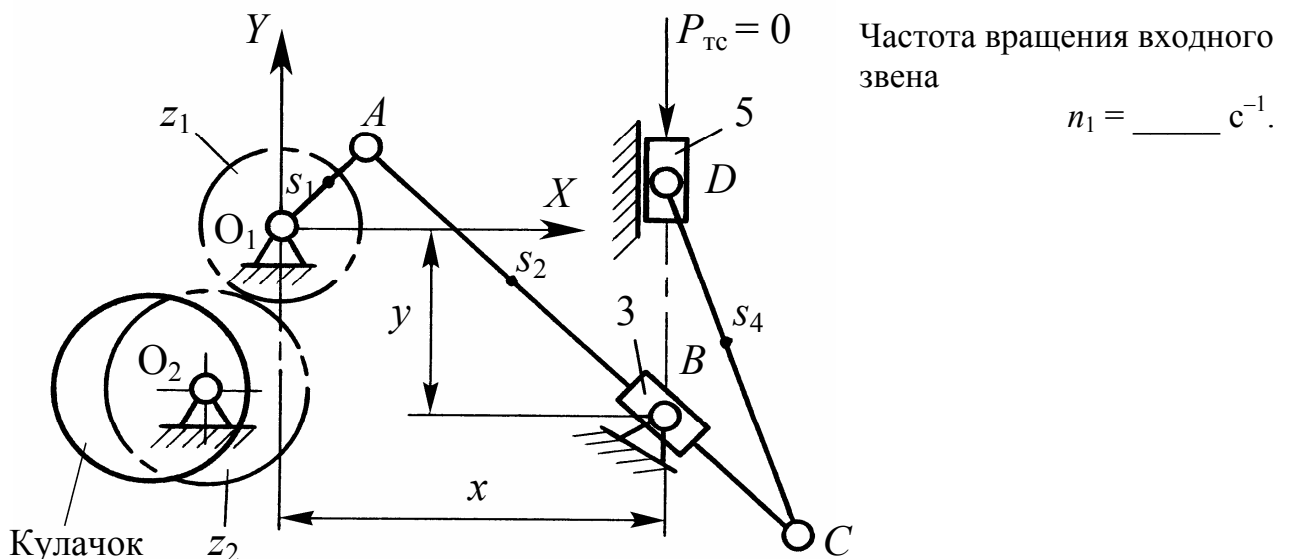
Руководитель
 проекта (работы) _____

Группа _____

Дата выдачи задания 20 г.

Принял к исполнению _____
(Дата, подпись и шифр студента)

ЗАДАНИЕ 7



Содержание работы

- Лист 1. Кинематический анализ рычажного механизма.
 Лист 2. Синтез кулачкового механизма.

Таблица 2.7. Параметры рычажного механизма, м

0_1A	AC	CD	x	y	0_1s_1	As_2	Cs_4
	0,32	0,22	0,2	0,08	—	—	—

Министерство образования и науки Российской Федерации
Федеральное государственное бюджетное образовательное учреждение
высшего профессионального образования
«САНКТ-ПЕТЕРБУРГСКИЙ ГОСУДАРСТВЕННЫЙ УНИВЕРСИТЕТ ПРОМЫШЛЕННЫХ
ТЕХНОЛОГИЙ И ДИЗАЙНА»
Кафедра «Теоретическая и прикладная механика»

Исполнитель
проекта _____
(Фамилия, И. О.)

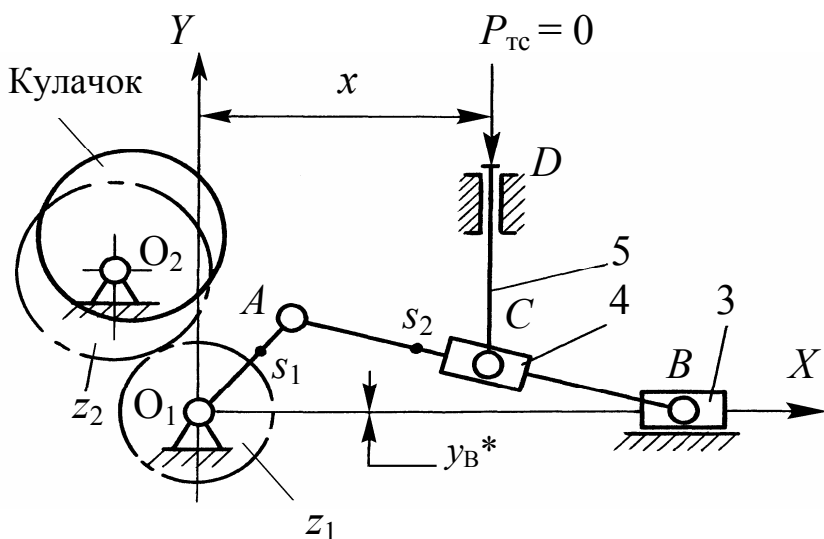
Руководитель проекта (работы)

Группа

Дата выдачи задания 20 г.

Принял к исполнению _____
(Дата, подпись и шифр студента)

ЗАДАНИЕ 8



Частота вращения входного звена

$$n_1 = \frac{\epsilon}{\pi} c^{-1}.$$

Содержание работы

Лист 1. Кинематический анализ рычажного механизма. Лист 2. Синтез кулачкового механизма.

Т а б л и ц а 2.8. Параметры рычажного механизма, м

0_1A	AB	x	y_B^*	0_1S_1	As_2
	0,15	0,07	$\pm 0,04$	—	—

Знак y_B^* – на усмотрение исполнителя.

Министерство образования и науки Российской Федерации
Федеральное государственное бюджетное образовательное учреждение
высшего профессионального образования
«САНКТ-ПЕТЕРБУРГСКИЙ ГОСУДАРСТВЕННЫЙ УНИВЕРСИТЕТ ПРОМЫШЛЕННЫХ
ТЕХНОЛОГИЙ И ДИЗАЙНА»
Кафедра «Теоретическая и прикладная механика»

Исполнитель
проекта _____
(Фамилия, И. О.)

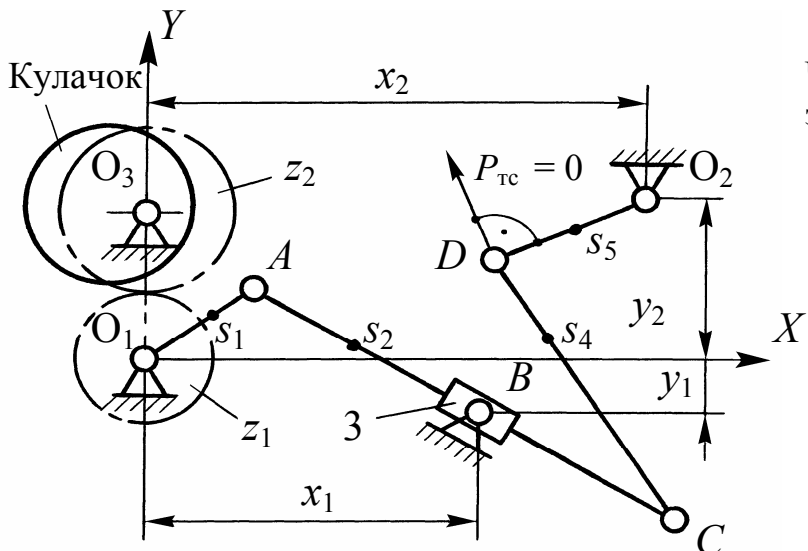
Руководитель проекта (работы)

Группа

Дата выдачи задания 20 г.

Принял к исполнению _____
(Дата, подпись и шифр студента)

ЗАДАНИЕ 9



Частота вращения входного звена

$$n_1 = \underline{\hspace{2cm}} c^{-1}.$$

Содержание работы

Лист 1. Кинематический анализ рычажного механизма.

Лист 2. Синтез кулачкового механизма.

Т а б л и ц а 2.9. Параметры рычажного механизма, м

Министерство образования и науки Российской Федерации
 Федеральное государственное бюджетное образовательное учреждение
 высшего профессионального образования
 «САНКТ-ПЕТЕРБУРГСКИЙ ГОСУДАРСТВЕННЫЙ УНИВЕРСИТЕТ ПРОМЫШЛЕННЫХ
 ТЕХНОЛОГИЙ И ДИЗАЙНА»
 Кафедра «Теоретическая и прикладная механика»

Исполнитель
 проекта _____
(Фамилия, И. О.)

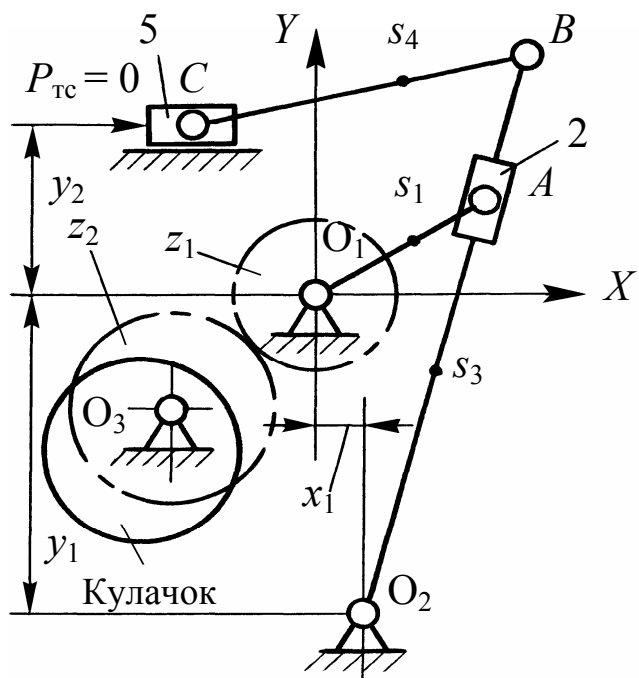
Руководитель
 проекта (работы) _____

Группа _____

Дата выдачи задания _____ 20 г.

Принял к исполнению _____
(Дата, подпись и шифр студента)

ЗАДАНИЕ 10



Частота вращения входного звена

$$n_1 = \text{_____} \text{ c}^{-1}.$$

Содержание работы

Лист 1. Кинематический анализ рычажного механизма.

Лист 2. Синтез кулачкового механизма.

Т а б л и ц а 2.10. Параметры рычажного механизма, м

O_1A	BO_2	BC	x_1	y_1	y_2	O_1s_1	O_2s_3	Bs_4
	0,3	0,2	0,02	0,17	0,08	—	—	—

Т а б л и ц а 2.11. Исходные данные для выполнения кинематического расчета рычажного механизма

Схема (последняя цифра шифра за- четки)	Вариант (предпоследняя цифра шифра за- четки)	Длина кривошипа O_1A , м	Частота вращения кривошипа n_1 , с^{-1}	Схема (последняя цифра шифра за- четки)	Вариант (предпоследняя цифра шифра за- четки)	Длина кривошипа O_1A , м	Частота вращения кривошипа n_1 , с^{-1}
1	1	0,032	7,5	2	1	0,033	6,8
	2		7,3		2		6,5
	3	0,04	7,1		3		6,2
	4		6,6		4		5,7
	5	0,05	6,5		5		5,3
	6		6,2		6		4,1
	7	0,05	6		7		4
	8		5,4		8		3,7
	9	0,06	5,2		9		3,4
	10		4,1		10		3,2
3	1	0,05	7,7	4	1	0,03	6
	2		7,6		2		6,2
	3	0,06	7,4		3		6,4
	4		6,9		4		5,8
	5	0,07	6,6		5		5,5
	6		6,3		6		4,3
	7	0,08	6		7		4,1
	8		5,7		8		3,3
	9		5,5		9		3,5
	10	0,09	4,7		10		3,2
5	1	0,022	7,3	6	1	0,05	6
	2		7,1		2		6,2
	3	0,03	7		3		6,4
	4		6,8		4		5,8
	5	0,035	6,5		5		5,5
	6		6,2		6		4,3
	7	0,045	6		7		4,1
	8		5,8		8		3,3
	9	0,05	5,5		9		3,5
	10		4,6		10		3,2

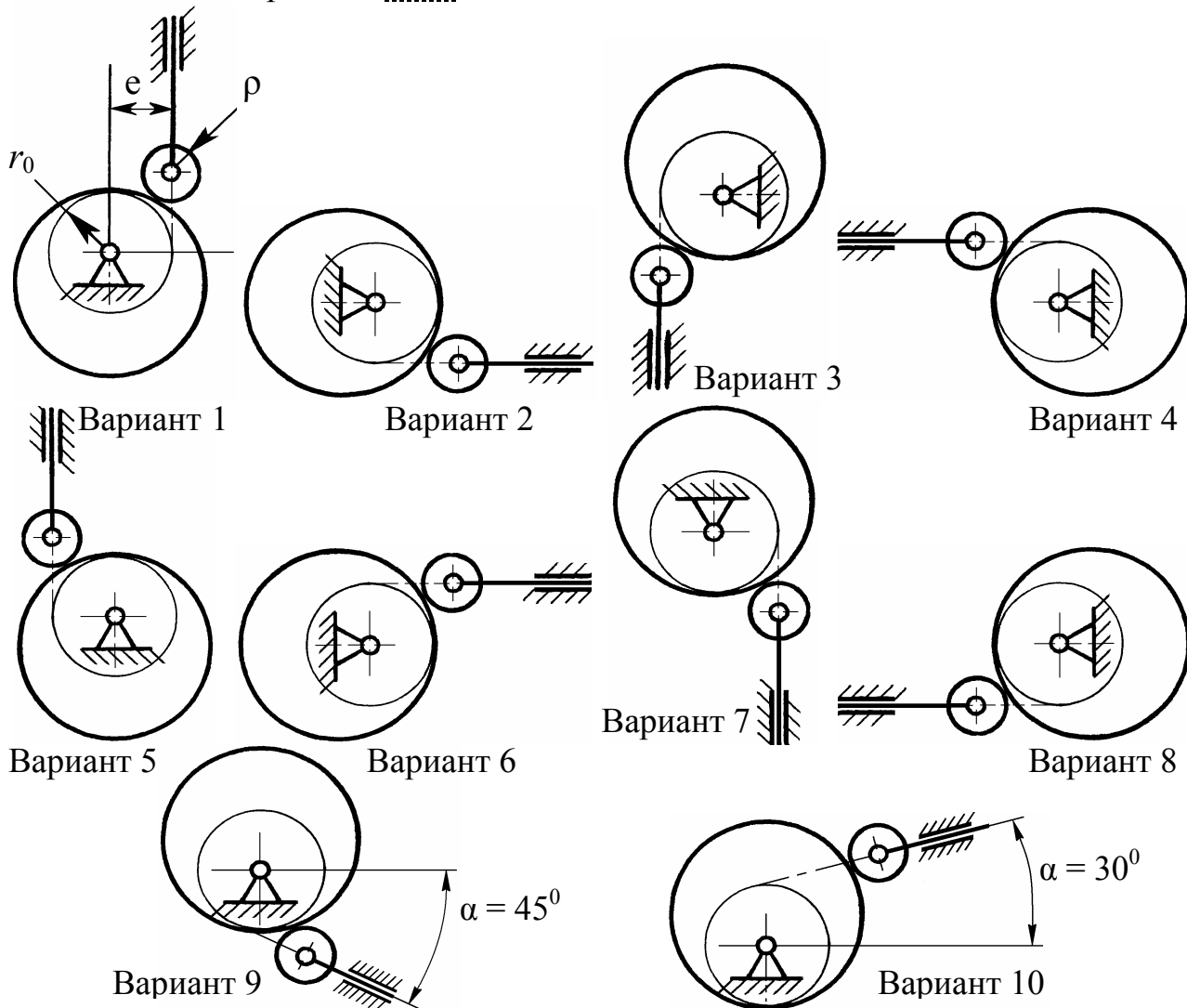
Окончание табл. 2.11

Схема <i>(последняя</i> цифра шифра за- четки)	Вариант <i>(предпоследняя</i> цифра шифра за- четки)	Длина кривошипа O_1A , м	Частота вращения кривошипа n_1 , с^{-1}	Схема <i>(последняя</i> цифра шифра за- четки)	Вариант <i>(предпоследняя</i> цифра шифра за- четки)	Длина кривошипа O_1A , м	Частота вращения кривошипа n_1 , с^{-1}
7	1	0,04	7,5	8	1	0,02	6
	2		7,3		2		6,2
	3	0,05	7		3	0,025	6,4
	4		6,7		4		5,8
	5	0,06	6,5		5	0,03	5,5
	6		6,2		6		4,3
	7	0,07	6		7	0,04	4,1
	8		5,7		8		3,3
	9	0,08	5,5		9	0,05	3,5
	10		4,9		10		3,2
9	1	0,03	7,6	10	1	0,04	6,8
	2		7,2		2		6,2
	3	0,04	7		3	0,045	6,4
	4		6,6		4		5,8
	5	0,05	6,3		5	0,05	5,5
	6		6		6		4,3
	7	0,06	6,1		7	0,06	4,1
	8		5,7		8		3,3
	9	0,07	5,2		9	0,07	3,5
	10		4		10		3,1

Таблица 2.12. Параметры и схемы кулачковых механизмов

Вариант схемы механизма (<i>последняя</i> цифра шифра зачетки)	Вариант <i>исходных</i> <i>данных</i> (<i>предпоследняя</i> цифра шифра зачетки)	Размеры механизма, мм				Углы поворота кулачка, угл. градусы				
		r_0	ρ	e	S_{max} (β_{III})	Рабочий ход, Φ_{PX}	Дальний выстой, Φ_{dv}	Холостой ход, Φ_{XX}		
Законы безразмерного ускорения ведомого звена										
Рабочий (прямой) ход (PX)					Холостой (обратный) ход (XX)					
Разбег	Выбег	λ_{PX}	$\delta\beta_{PX}$	Разбег	Выбег	λ_{XX}	$\delta\beta_{XX}$			
s_1	s_2			s_1	s_2					

Варианты *схем* механизмов (*последняя* цифра шифра зачетки)



Т а б л и ц а 2.13. Параметры кулачкового механизма

Вариант <u>схемы</u> механизма (<u>последняя</u> цифра шифра зачетки)	Вариант <u>исходных данных</u> (<u>предпоследняя</u> цифра шифра зачетки)	Размеры механизма, мм		
		r_0	ρ	e
1	1	120	12	
	2	122	10	
	3	124	8	45
	4	126	6	
	5	108	24	
	6	116	16	
	7	118	14	
	8	114	18	40
	9	112	20	
	10	110	22	
2	1	70	12	
	2	72	10	
	3	74	8	20
	4	76	6	
	5	78	5	
	6	68	14	
	7	66	16	
	8	64	18	25
	9	62	20	
	10	60	22	
3	1	60	14	
	2	70	5	
	3	68	6	24
	4	66	8	
	5	64	10	
	6	62	12	
	7	58	16	
	8	56	18	
	9	54	20	
	10	67	7	15

Продолжение табл. 2.13

Вариант <u>схемы</u> механизма (<u>последняя</u> цифра шифра зачетки)	Вариант <u>исходных данных</u> (<u>предпоследняя</u> цифра шифра зачетки)	Размеры механизма, мм		
		r_0	ρ	e
4	1	62	12	26
	2	64	10	
	3	66	8	
	4	68	6	
	5	70	6	
	6	60	14	22
	7	58	16	
	8	56	18	
	9	54	20	
	10	52	22	
5	1	140	10	45
	2	138	12	
	3	136	14	
	4	134	16	
	5	132	18	
	6	130	20	52
	7	128	22	
	8	126	24	
	9	124	26	
	10	122	28	
6	1	138	12	40
	2	140	10	
	3	142	8	
	4	136	14	
	5	134	16	
	6	132	18	55
	7	130	20	
	8	128	22	
	9	126	24	
	10	124	26	

Продолжение табл. 2.13

Вариант <u>схемы</u> механизма (<u>последняя</u> цифра шифра зачетки)	Вариант <u>исходных данных</u> (<u>предпоследняя</u> цифра шифра зачетки)	Размеры механизма, мм		
		r_0	ρ	e
7	1	80	10	
	2	82	8	
	3	84	6	25
	4	86	5	
	5	78	12	
	6	76	14	
	7	74	16	
	8	72	18	30
	9	70	20	
	10	68	22	
8	1	87	9	
	2	83	13	
	3	85	11	32
	4	81	15	
	5	90	6	
	6	79	17	
	7	77	19	
	8	91	5	36
	9	89	7	
	10	92	6	
9	1	110	20	
	2	115	15	
	3	120	10	44
	4	125	5	
	5	100	30	
	6	112	18	
	7	114	16	
	8	105	25	
	9	98	32	
	10	95	35	50

Окончание табл. 2.13

Вариант схемы механизма (последняя цифра шифра зачетки)	Вариант исходных данных (предпоследняя цифра шифра зачетки)	Размеры механизма, мм		
		r_0	ρ	e
10	1	124	8	
	2	120	12	
	3	118	14	35
	4	116	16	
	5	122	10	
	6	114	18	
	7	112	20	
	8	110	22	40
	9	108	24	
	10	106	26	

Варианты исходных данных для построения профиля кулака

Таблица 2.14. ВАРИАНТ 1 (предпоследняя цифра шифра зачетной книжки)

Законы безразмерного ускорения ведомого звена											
Рабочий (прямой) ход (РХ)				Холостой (обратный) ход (ХХ)							
Разбег		Выбег		$\lambda_{\text{РХ}}$	$\delta\beta_{\text{РХ}}$	Разбег		Выбег		$\lambda_{\text{ХХ}}$	$\delta\beta_{\text{ХХ}}$
s_1	s_2	s_1	s_2			s_1	s_2	s_1	s_2		
0,4	0,3	0,2	0,2	1,7	0,35	1	0	0,4	0,6	1	0
Рабочий ход толкателя											
Участок разбега											
$\Phi_{\text{кул}}$, град				$\beta_{\text{толк}}$, мм		$\beta'_{\text{толк}}$, мм		$\beta''_{\text{толк}}$, мм			
0 – точка 0 (см. рис. В.14)				0		0		0			
4,77				0,03		1,2		27,5			
9,5				0,25		4,5		50,7			
14,3				0,8		9,4		66,3			
19				1,8		15,2		71,7			
23,7				3,4		21,2		71,7			
28,6				5,4		27,2		71,7			
33,4				8		33		71,7			
38,2				11		39		62			
43				14,3		43		36			
47,72 – точка I				18		44,6		0			

Окончание табл. 2.14

Рабочий ход толкателя			
Участок постоянной скорости			
$\varphi_{кул}$, град	$\beta_{толк}$, мм	$\beta'_{толк}$, мм	$\beta''_{толк}$, мм
<u>47,72</u> – точка I	18		
50,9	20,4		
<u>54</u>	23		
57,2	25,3		
<u>60,3</u>	27,8		
63,5	30,2	44,6	0
<u>66,6</u>	32,7		
69,8	35		
<u>72,9</u>	37,6		
76	40		
<u>79,22</u> – точка II	42,5		
Участок выбега			
<u>79,22</u> – точка II	42,5	44,6	0
86,3	48	42,6	-29,8
<u>93,4</u>	53	38	-42,2
100,5	57,3	32,7	-42,2
<u>107,5</u>	61	27,5	-42,2
114,6	64	22,3	-42,2
<u>121,7</u>	66,5	17	-42,2
128,8	68,3	12	-42,2
<u>135,8</u>	69,4	6,6	-42,2
143	69,9	1,9	-29,8
<u>150</u> = $\varphi_{РХ}$ – точка III	70 = $S_{max}(\beta_{III})$	0	0
Холостой ход толкателя			
Участок разбега			
<u>170</u> = $\varphi_{ДВ}$ – точка IV	70	0	0
176	69,9	-0,9	-17,6
<u>182</u>	69,7	-3,7	-34,8
188	69	-8,2	-51
<u>194</u>	68	-14,3	-66,2
200	66	-22	-79,6
<u>206</u>	63,3	-31	-91
212	59,6	-41	-100
<u>218</u>	54,7	-52	-107
224	48,7	-63,3	-111
<u>230</u> – точка V	41,4	-75	-113

Окончание табл. 2.14

Холостой ход толкателя				
Участок постоянной скорости отсутствует				
Участок выбега				
$\Phi_{кул}$, град		$\beta_{толк}$, мм	$\beta'_{толк}$, мм	$\beta''_{толк}$, мм
<u>230</u> – точка VI		41,4	-75	0
236		33,6	-73,5	29
<u>242</u>		26	-69	56,3
248		19,3	-62	79,6
<u>254</u>		13,3	-52,5	97,5
260		8,3	-41,7	109
<u>266</u>		4,6	-30	113
272		2	-18,5	104
<u>278</u>		0,6	-9	79,6
284		0,08	-2,3	43
<u>290</u> = $\Phi_{РХ} + \Phi_{ДВ} + \Phi_{ХХ}$ – точка VII		0	0	0

Т а б л и ц а 2.15. ВАРИАНТ 2 (предпоследняя цифра шифра засчетной книжки)

Законы безразмерного ускорения ведомого звена									
Рабочий (прямой) ход (РХ)					Холостой (обратный) ход (ХХ)				
Разбег		Выбег		$\lambda_{РХ}$	$\delta\beta_{РХ}$	Разбег		Выбег	
s_1	s_2	s_1	s_2			s_1	s_2	s_1	s_2
0,5	0,5	0,25	0,3	1,25	0,15	0	1	0,3	0,25
Рабочий ход толкателя									
Участок разбега									
$\Phi_{кул}$, град					$\beta_{толк}$, мм		$\beta'_{толк}$, мм		$\beta''_{толк}$, мм
<u>0</u> – точка 0 (см. рис. В.14)					0		0		0
7,4					0,04		0,96		15
<u>14,7</u>					0,3		3,8		28,3
22,1					1,1		8,1		39
<u>29,5</u>					2,5		13,6		45,85
36,8					4,6		19,7		48,2
<u>44,2</u>					7,5		25,8		45,85
51,6					11,2		31,3		39
<u>58,9</u>					15,5		35,7		28,3
66,3					20,3		38,5		15
<u>73,67</u> – точка I					25,36		39,46		0

Продолжение табл. 2.15

Рабочий ход толкателя			
Участок постоянной скорости			
$\Phi_{кул}$, град	$\beta_{толк}$, мм	$\beta'_{толк}$, мм	$\beta''_{толк}$, мм
<u>73,67</u> – точка I	25,36		
75	26,3		
<u>76,3</u>	27,2		
77,6	28		
<u>78,9</u>	29		
80,2	30	39,46	0
<u>81,5</u>	30,8		
82,8	31,7		
<u>84,1</u>	32,6		
85,4	33,5		
<u>86,74</u> – точка II	34,36		
Участок выбега			
<u>86,74</u> – точка II	34,36	39,46	0
94	39,4	38,2	-19,3
<u>101</u>	44	34,7	-33,4
109	48,2	30	-38,6
<u>116</u>	51,7	25	-38,6
123	54,6	20,2	-38,6
<u>131</u>	56,9	15,2	-38,6
138	58,5	10,3	-38,6
<u>145</u>	59,5	5,4	-36,7
153	59,9	1,5	-22,7
<u>160</u> = $\varphi_{РХ}$ – точка III	60 = $S_{max}(\beta_{III})$	0	0
Холостой ход толкателя			
Участок разбега			
<u>170</u> = $\varphi_{ДВ}$ – точка IV	60	0	-57,4
177	59,5	-7,2	-56,7
<u>184</u>	58,2	-14,3	-54,6
192	56	-21	-51,2
<u>199</u>	53	-27,1	-46,4
206	49	-32,7	-40,6
<u>213</u>	44,7	-37,4	-33,7
221	39,7	-41,2	-26
<u>228</u>	34,3	-44	-17,7
235	28,6	-45,6	-9
<u>242,4</u> – точка V	22,8	-46,2	0

Окончание табл. 2.15

Холостой ход толкателя			
Участок постоянной скорости отсутствует			
Участок выбега			
$\Phi_{кул}$, град	$\beta_{толк}$, мм	$\beta'_{толк}$, мм	$\beta''_{толк}$, мм
<u>242,4</u> – точка VI	22,8	-46,2	0
248	18,3	-44,4	33,7
<u>254</u>	14	-39,8	54,6
260	10,3	-34	57,4
<u>265</u>	7,1	-28,3	57,4
271	4,6	-22,6	57,4
<u>277</u>	2,6	-16,8	57,4
283	1,2	-11	57,4
<u>288</u>	0,4	-5,5	49,7
294	0,05	-1,5	28,7
<u>300</u> = $\varphi_{РХ} + \varphi_{ДВ} + \varphi_{ХХ}$ – точка VII	0	0	0

Т а б л и ц а 2.16. ВАРИАНТ 3 (*предпоследняя* цифра шифра зачетной книжки)

Законы безразмерного ускорения ведомого звена											
Рабочий (прямой) ход (РХ)				Холостой (обратный) ход (ХХ)							
Разбег		Выбег		$\lambda_{РХ}$	$\delta\beta_{РХ}$	Разбег		Выбег		$\lambda_{ХХ}$	$\delta\beta_{ХХ}$
s_1	s_2	s_1	s_2			s_1	s_2	s_1	s_2		
0,4	0,2	1	0	1,2	0,2	0,2	0,4	0,5	0,5	1	0
Рабочий ход толкателя											
Участок разбега											
$\Phi_{кул}$, град				$\beta_{толк}$, мм	$\beta'_{толк}$, мм	$\beta''_{толк}$, мм					
<u>0</u> – точка 0 (см. рис. В.14)				0	0	0					
6,2				0,04	1	19,7					
<u>12,5</u>				0,3	4,2	36,5					
18,7				1	8,8	47,6					
<u>25</u>				2,3	14,3	51,6					
31,2				4,1	20	51,6					
<u>37,4</u>				6,6	25,5	51,6					
43,7				9,7	31	51,6					
<u>50</u>				13,4	36,8	51,6					
56,1				17,7	41,8	36,5					
<u>62,39</u> – точка I				22,38	43,9	0					

Продолжение табл. 2.16

Рабочий ход толкателя			
Участок постоянной скорости			
$\Phi_{кул}$, град	$\beta_{толк}$, мм	$\beta'_{толк}$, мм	$\beta''_{толк}$, мм
<u>62,39</u> – точка I	22,38		
64	23,6		
<u>65,5</u>	24,8		
67,1	26		
<u>68,6</u>	27,2		
70,2	28,4	43,9	0
<u>71,8</u>	29,6		
73,3	30,8		
<u>75</u>	32		
76,5	33,2		
<u>78</u> – точка II	34,4		
Участок выбега			
<u>78</u> – точка II	34,4	43,9	-43
87,2	41	37	-42,4
<u>96,4</u>	46,3	30,3	-41
106	50,6	24	-38,3
<u>115</u>	54	18	-34,8
124	56,5	13	-30,4
<u>133</u>	58,2	8,4	-25,3
142	59,2	4,8	-19,5
<u>152</u>	59,8	2,1	-13,3
161	59,9	0,5	-6,7
<u>170</u> = $\varphi_{РХ}$ – точка III	60 = $S_{max}(\beta_{III})$	0	0
Холостой ход толкателя			
Участок разбега			
<u>190</u> = $\varphi_{ДВ}$ – точка IV	60	0	0
196	59,9	-2,4	-45,7
<u>202</u>	59,4	-8,4	-64,6
208	58,2	-15	-64,6
<u>213</u>	56,3	-21,5	-64,6
219	53,8	-28	-64,6
<u>225</u>	50,6	-34,7	-64,6
231	46,7	-41	-59,7
<u>237</u>	42,3	-46,5	-45,7
243	37,3	-50	-24,7
<u>248,34</u> – точка V	32	-51,4	0

Окончание табл. 2.16

Холостой ход толкателя			
Участок постоянной скорости отсутствует			
Участок выбега			
$\Phi_{кул}$, град	$\beta_{толк}$, мм	$\beta'_{толк}$, мм	$\beta''_{толк}$, мм
<u>248,34</u> – точка VI	32	– 51,4	0
256	25,8	– 50,2	19,9
<u>263</u>	19,7	– 46,5	37,9
270	14,2	– 40,8	52,2
<u>277</u>	9,6	– 33,6	61,4
284	5,8	– 25,7	64,5
<u>291</u>	3	– 17,8	61,4
299	1,4	– 10,6	52,2
<u>306</u>	0,4	– 4,9	37,9
313	0,05	– 1,3	19,9
<u>320</u> = $\Phi_{РХ} + \Phi_{ДВ} + \Phi_{ХХ}$ – точка VII	0	0	0

Т а б л и ц а 2.17. ВАРИАНТ 4 (*предпоследняя* цифра шифра зачетной книжки)

Законы безразмерного ускорения ведомого звена											
Рабочий (прямой) ход (РХ)				Холостой (обратный) ход (ХХ)							
Разбег		Выбег		$\lambda_{РХ}$	$\delta\beta_{РХ}$	Разбег		Выбег		$\lambda_{ХХ}$	$\delta\beta_{ХХ}$
s_1	s_2	s_1	s_2			s_1	s_2	s_1	s_2		
0,25	0,25	0,4	0	1,15	0,12	0	1	0,5	0,5	1	0
Рабочий ход толкателя											
Участок разбега											
$\Phi_{кул}$, град				$\beta_{толк}$, мм		$\beta'_{толк}$, мм		$\beta''_{толк}$, мм			
<u>0</u> – точка 0 (см. рис. В.14)				0		0		0			
<u>8,9</u>				0,08		1,5		18,6			
<u>17,9</u>				0,6		5,4		30			
<u>26,9</u>				1,8		10,3		31,6			
<u>35,8</u>				3,8		15,2		31,6			
<u>44,8</u>				6,6		20,2		31,6			
<u>53,7</u>				10		25		31,6			
<u>62,7</u>				14,4		30		31,6			
<u>71,6</u>				19,5		35		30			
<u>80,6</u>				25,3		39		18,6			
<u>89,5</u> – точка I				31,5		40,38		0			

Продолжение табл. 2.17

Рабочий ход толкателя			
Участок постоянной скорости			
$\varphi_{кул}$, град	$\beta_{толк}$, мм	$\beta'_{толк}$, мм	$\beta''_{толк}$, мм
<u>89,5</u> – точка I	31,5		
90,7	32,4		
<u>92</u>	33,2		
93,1	34		
<u>94,3</u>	35		
95,4	35,7	40,38	0
<u>96,7</u>	36,6		
97,8	37,4		
<u>99</u>	38,3		
100,2	39		
<u>101,4</u> – точка II	39,9		
Участок выбега			
<u>101,4</u> – точка II	39,9	40,38	-27,5
111	46,5	35,6	-27,5
<u>121</u>	52,2	31	-27,5
131	57	26,2	-27,5
<u>141</u>	61,2	21,5	-27,5
151	64,5	16,8	-27,5
<u>161</u>	67	12	-27,5
170	68,7	7,4	-25,4
<u>180</u>	69,6	3,5	-19,4
190	69,9	0,9	-10,5
<u>200</u> = φ_{PX} – точка III	70 = $S_{max}(\beta_{III})$	0	0
Холостой ход толкателя			
Участок разбега			
<u>230</u> = $\varphi_{ДВ}$ – точка IV	70	0	-88,2
236	69,5	-9,2	-87,1
<u>242</u>	68	-18,2	-83,9
248	65,7	-26,7	-78,6
<u>254</u>	62,5	-34,6	-71,4
260	58,5	-41,6	-62,4
<u>266</u>	53,8	-47,6	-51,8
272	48,6	-52,4	-40
<u>278</u>	43	-55,9	-27,3
284	37	-58,1	-13,8
<u>290</u> – точка V	30,8	-58,8	0

Окончание табл. 2.17

Холостой ход толкателя				
Участок постоянной скорости отсутствует				
Участок выбега				
$\Phi_{кул}$, град	$\beta_{толк}$, мм	$\beta'_{толк}$, мм	$\beta''_{толк}$, мм	
<u>290</u> – точка VI	30,8	-58,8	0	
296	24,7	-57,4	27,3	
<u>302</u>	19	-53,2	51,8	
308	13,6	-46,7	71,4	
<u>314</u>	9,1	-38,5	83,9	
320	5,6	-29,4	88,2	
<u>326</u>	3	-20,3	83,9	
332	1,3	-12,1	71,4	
<u>338</u>	0,4	-5,6	51,8	
344	0,05	-1,4	27,3	
<u>350</u> = $\Phi_{РХ} + \Phi_{ДВ} + \Phi_{ХХ}$ – точка VII	0	0	0	

Т а б л и ц а 2.18. ВАРИАНТ 5 (предпоследняя цифра шифра зачетной книжки)

Законы безразмерного ускорения ведомого звена											
Рабочий (прямой) ход (РХ)					Холостой (обратный) ход (ХХ)						
Разбег		Выбег		$\lambda_{РХ}$	$\delta\beta_{РХ}$	Разбег		Выбег		$\lambda_{ХХ}$	$\delta\beta_{ХХ}$
s_1	s_2	s_1	s_2			s_1	s_2	s_1	s_2		
0,2	0,3	1	0	1,7	0,25	0,5	0,5	0,4	0,2	1,2	0

Рабочий ход толкателя				
Участок разбега				
$\Phi_{кул}$, град		$\beta_{толк}$, мм	$\beta'_{толк}$, мм	$\beta''_{толк}$, мм
<u>0</u> – точка 0 (см. рис. В.14)		0	0	0
5,8		0,06	1,8	33,8
<u>11,6</u>		0,45	6,2	47,8
17,4		1,3	11	47,8
<u>23,2</u>		2,7	15,8	47,8
29		4,5	20,7	47,8
<u>34,8</u>		6,9	25,5	47,8
40,6		9,7	30,4	47,8
<u>46,4</u>		13	35	41,4
52,2		16,7	38,4	24
<u>57,98</u> – точка I		20,7	39,6	0

Продолжение табл. 2.18

Рабочий ход толкателя			
Участок постоянной скорости			
$\Phi_{кул}$, град	$\beta_{толк}$, мм	$\beta'_{толк}$, мм	$\beta''_{толк}$, мм
<u>57,98</u> – точка I	20,7		
60,5	22,4		
<u>63</u>	24,2		
65,6	26		
<u>68</u>	27,7		
70,6	29,4	39,6	0
<u>73,2</u>	31,2		
75,7	33		
<u>78,2</u>	34,7		
80,8	36,4		
<u>83,31</u> – точка II	38,2		
Участок выбега			
<u>83,31</u> – точка II	38,2	39,6	-28,1
96	46,3	33,4	-27,8
<u>108,6</u>	53	27,4	-26,7
121,3	58,4	21,6	-25,1
<u>134</u>	62,6	16,3	-22,8
146,6	65,6	11,6	-20
<u>159,3</u>	67,7	7,56	-16,5
172	69	4,32	-12,8
<u>184,7</u>	69,7	1,94	-8,7
197,3	69,9	0,487	-4,4
<u>210</u> = $\phi_{РХ}$ – точка III	70 = $S_{max}(\beta_{III})$	0	0
Холостой ход толкателя			
Участок разбега			
<u>250</u> = $\phi_{ДВ}$ – точка IV	70	0	0
255	69,9	-2	-45,5
<u>260</u>	69,5	-8	-86,6
265,2	68,4	-17	-119
<u>270,2</u>	66,4	-28,6	-140
275,3	63,4	-41,4	-147
<u>280,3</u>	59	-54,2	-140
285,4	53,8	-65,8	-119
<u>290,5</u>	47,6	-75	-86,6
295,5	40,7	-80,8	-45,5
<u>300,58</u> – точка V	33,4	-82,8	0

Окончание табл. 2.18

Холостой ход толкателя				
Участок постоянной скорости отсутствует				
Участок выбега				
$\Phi_{кул}$, град		$\beta_{толк}$, мм	$\beta'_{толк}$, мм	$\beta''_{толк}$, мм
<u>300,58</u> – точка VI		33,4	– 82,8	0
305,5		26,4	– 79	87
<u>310,5</u>		20	– 69,3	123
315,4		14,5	– 58,7	123
<u>320,3</u>		9,9	– 48,2	123
325,3		6,2	– 37,6	123
<u>330,2</u>		3,4	– 27	123
335,2		1,5	– 16,7	113
<u>340</u>		0,5	– 8	87
345		0,06	– 2,05	47
<u>350</u> = $\varphi_{РХ} + \varphi_{ДВ} + \varphi_{ХХ}$ – точка VII		0	0	0

Т а б л и ц а 2.19. ВАРИАНТ 6 (предпоследняя цифра шифра зачетной книжки)

Законы безразмерного ускорения ведомого звена											
Рабочий (прямой) ход (РХ)				Холостой (обратный) ход (ХХ)							
Разбег		Выбег		$\lambda_{РХ}$	$\delta\beta_{РХ}$	Разбег		Выбег		$\lambda_{ХХ}$	$\delta\beta_{ХХ}$
s_1	s_2	s_1	s_2			s_1	s_2	s_1	s_2		
0,2	0,4	0	1	1,5	0,25	0,5	0,5	1	0	1,2	0

Рабочий ход толкателя				
Участок разбега				
$\Phi_{кул}$, град		$\beta_{толк}$, мм	$\beta'_{толк}$, мм	$\beta''_{толк}$, мм
<u>0</u> – точка 0 (см. рис. В.14)		0	0	0
5,3		0,05	1,7	35,2
<u>10,5</u>		0,4	5,8	49,7
15,8		1,1	10,4	49,7
<u>21,1</u>		2,3	15	49,7
26,4		3,9	19,6	49,7
<u>31,7</u>		5,9	24,2	49,7
37		8,3	28,6	45,9
<u>42,2</u>		11,2	32,4	35,2
47,5		14,3	35	19
<u>52,77</u> – точка I		17,6	35,8	0

Продолжение табл. 2.19

Рабочий ход толкателя			
Участок постоянной скорости			
$\Phi_{кул}$, град	$\beta_{толк}$, мм	$\beta'_{толк}$, мм	$\beta''_{толк}$, мм
<u>52,77</u> – точка I	17,6		
55,8	19,4		
<u>58,8</u>	21,3		
61,8	23,2		
<u>64,8</u>	25		
67,8	27	35,8	0
<u>70,8</u>	28,8		
73,8	30,7		
<u>76,8</u>	32,6		
79,8	34,4		
<u>82,77</u> – точка II	36,3		
Участок выбега			
<u>82,77</u> – точка II	36,3	35,8	0
92,5	42,4	35,4	-5,2
<u>102,2</u>	48,3	34	-10,2
112	54	32	-15,1
<u>121,7</u>	59	29	-19,5
131,4	63,7	25,3	-23,4
<u>141</u>	67,6	21	-26,8
150,8	70,8	16,3	-29,5
<u>160,5</u>	73	11	-31,5
170,3	74,5	5,6	-32,7
<u>180 = $\phi_{РХ}$</u> – точка III	75 = $S_{max}(\beta_{III})$	0	-33,2
Холостой ход толкателя			
Участок разбега			
<u>200 = $\phi_{ДВ}$</u> – точка IV	75	0	0
205,4	74,9	-2,1	-43
<u>211</u>	74,5	-8	-81,6
216,4	73,3	-17,3	-112
<u>221,8</u>	71	-29	-132
227,3	67,7	-42	-139
<u>232,7</u>	63	-55	-132
238,2	57,3	-67	-112
<u>243,6</u>	50,4	-76	-81,6
249,1	43	-82	-43
<u>254,55</u> – точка V	35	-84	0

Окончание табл. 2.19

Холостой ход толкателя				
Участок постоянной скорости отсутствует				
Участок выбега				
$\Phi_{кул}$, град		$\beta_{толк}$, мм	$\beta'_{толк}$, мм	$\beta''_{толк}$, мм
<u>254,55</u> – точка VI		35	-84	116
261,1		26	-71	114
<u>267,6</u>		18,7	-58	110
274,2		12,8	-46	103
<u>280,7</u>		8,2	-34,7	93,6
287,3		4,8	-24,7	81,8
<u>293,8</u>		2,5	-16	68
300,4		1,1	-9,2	52,5
<u>307</u>		0,3	-4	35,8
313,4		0,04	-1	18,1
<u>320</u> = $\Phi_{РХ} + \Phi_{ДВ} + \Phi_{ХХ}$ – точка VII		0	0	0

Т а б л и ц а 2.20. ВАРИАНТ 7 (предпоследняя цифра шифра зачетной книжки)

Законы безразмерного ускорения ведомого звена											
Рабочий (прямой) ход (РХ)				Холостой (обратный) ход (ХХ)							
Разбег		Выбег		$\lambda_{РХ}$	$\delta\beta_{РХ}$	Разбег		Выбег		$\lambda_{ХХ}$	$\delta\beta_{ХХ}$
s_1	s_2	s_1	s_2			s_1	s_2	s_1	s_2		
0,5	0,5	0	1	1,2	0,15	1	0	0,25	0,25	1	0
Рабочий ход толкателя											
Участок разбега											
$\Phi_{кул}$, град					$\beta_{толк}$, мм		$\beta'_{толк}$, мм		$\beta''_{толк}$, мм		
<u>0</u> – точка 0 (см. рис. В.14)					0		0		0		
6,6					0,04		1		17,7		
<u>13,2</u>					0,3		4		33,7		
19,8					1		8,7		46,3		
<u>26,4</u>					2,3		14,5		54,4		
33					4,4		21		57,3		
<u>39,6</u>					7,2		27,5		54,4		
46,2					10,7		33,3		46,3		
<u>52,8</u>					14,8		38		33,7		
59,4					19,4		41		17,7		
<u>66,03</u> – точка I					24		42		0		

Продолжение табл. 2.20

Рабочий ход толкателя			
Участок постоянной скорости			
$\Phi_{кул}$, град	$\beta_{толк}$, мм	$\beta'_{толк}$, мм	$\beta''_{толк}$, мм
<u>66,03</u> – точка I	24		
67,5	25,3		
<u>69</u>	26,4		
70,4	27,4		
<u>72</u>	28,5		
73,4	29,6	42	0
<u>75</u>	30,7		
76,3	31,8		
<u>77,8</u>	32,8		
79,3	33,9		
<u>80,76</u> – точка II	35		
Участок выбега			
<u>80,76</u> – точка II	35	42	0
88,7	40,8	41,5	-7,5
<u>96,6</u>	46,4	40	-14,7
105	51,8	37,4	-21,7
<u>112</u>	56,7	34	-28
120	61,2	29,7	-33,7
<u>128</u>	65	24,7	-38,6
136	68	19,1	-42,5
<u>144</u>	70,2	13	-45,4
152	71,5	6,57	-47,1
<u>160</u> = $\phi_{РХ}$ – точка III	72 = $S_{max}(\beta_{III})$	0	-47,7
Холостой ход толкателя			
Участок разбега			
<u>190</u> = $\phi_{ДВ}$ – точка IV	72	0	0
197	71,9	-0,9	-14,4
<u>205</u>	71,7	-3,7	-28,5
212	71	-8,2	-42
<u>219</u>	69,5	-14,3	-54,3
227	67,2	-22	-65,3
<u>234</u>	64	-31	-74,7
241	59,3	-41	-82,2
<u>248</u>	53,4	-51,8	-87,8
256	46	-63,3	-91,2
<u>263,1</u> – точка V	37	-75	-92,3

Окончание табл. 2.20

Холостой ход толкателя			
Участок постоянной скорости отсутствует			
Участок выбега			
$\Phi_{кул}$, град	$\beta_{толк}$, мм	$\beta'_{толк}$, мм	$\beta''_{толк}$, мм
<u>263,1</u> – точка VI	37	-75	0
269	30	-72	54,2
<u>274</u>	23	-65	87,8
280	17	-55,8	92,3
<u>286</u>	12	-46,7	92,3
292	7,8	-37,5	92,3
<u>297</u>	4,5	-28,3	92,3
303	2,1	-19,2	92,3
<u>309</u>	0,7	-10	87,8
314	0,09	-2,8	54,2
<u>320</u> = $\varphi_{РХ} + \varphi_{ДВ} + \varphi_{ХХ}$ – точка VII	0	0	0

Т а б л и ц а 2.21. ВАРИАНТ 8 (предпоследняя цифра шифра зачетной книжки)

Законы безразмерного ускорения ведомого звена									
Рабочий (прямой) ход (РХ)					Холостой (обратный) ход (ХХ)				
Разбег		Выбег			Разбег		Выбег		
s_1	s_2	s_1	s_2	$\lambda_{РХ}$	$\delta\beta_{РХ}$	s_1	s_2	s_1	s_2
1	0	0,3	0,25	1,25	0,3	0,4	0,2	0,5	0,5
Рабочий ход толкателя									
Участок разбега									
$\Phi_{кул}$, град				$\beta_{толк}$, мм	$\beta'_{толк}$, мм	$\beta''_{толк}$, мм			
<u>0</u> – точка 0 (см. рис. В.14)				0	0	0			
7,6				0,03	0,6	9,6			
<u>15,3</u>				0,2	2,5	19			
23				0,8	5,6	27,7			
<u>30,5</u>				1,8	10	36			
38				3,4	15,2	43,2			
<u>45,8</u>				5,9	21,3	49,4			
53,4				9,2	28,3	54,5			
<u>61</u>				13,4	35,8	58			
68,7				18,7	43,7	60,4			
<u>76,3</u> – точка I				25,1	51,8	61			

Продолжение табл. 2.21

Рабочий ход толкателя			
Участок постоянной скорости			
$\Phi_{кул}$, град	$\beta_{толк}$, мм	$\beta'_{толк}$, мм	$\beta''_{толк}$, мм
<u>76,3</u> – точка I	25,1		
79	27,6		
<u>81,9</u>	30		
84,6	32,6		
<u>87,4</u>	35		
90,2	37,7	51,8	0
<u>93</u>	40,2		
95,8	42,7		
<u>98,6</u>	45,2		
101	47,7		
<u>104,14</u> – точка II	50,26		
Участок выбега			
<u>104,14</u> – точка II	50,26	51,8	0
112	57	49,8	-28,7
<u>119</u>	63,3	44,7	-46,5
127	68,8	38,3	-49
<u>134</u>	73,4	31,8	-49
142	77,2	25,3	-49
<u>150</u>	80	18,8	-49
157	82,2	12,4	-49
<u>165</u>	83,4	6,2	-42,3
172	83,9	1,7	-24,4
<u>180</u> = $\varphi_{РХ}$ – точка III	84 = $S_{max}(\beta_{III})$	0	0
Холостой ход толкателя			
Участок разбега			
<u>200</u> = $\varphi_{ДВ}$ – точка IV	84	0	0
206	83,9	-2	-38,6
<u>211</u>	83,5	-7,3	-71,3
217	82,4	-15,3	-93,2
<u>222</u>	80,5	-24,8	-101
228	77,7	-34,5	-101
<u>233</u>	74	-44,2	-101
239	69	-54	-101
<u>244</u>	63,4	-63,7	-101
250	56,8	-72,5	-71,3
<u>255,3</u> – точка V	49,6	-76	0

Окончание табл. 2.21

Холостой ход толкателя				
Участок постоянной скорости отсутствует				
Участок выбега				
$\Phi_{кул}$, град		$\beta_{толк}$, мм	$\beta'_{толк}$, мм	$\beta''_{толк}$, мм
<u>255,3</u> – точка VI		49,6	-76	0
263		39,8	-74,2	28,3
<u>270</u>		30,4	-68,8	54
278		22	-60,4	74,2
<u>285</u>		14,7	-49,8	87,2
293		9	-38	92
<u>300</u>		4,8	-26,3	87,2
308		2	-15,7	74,2
<u>315</u>		0,6	-7,3	54
322		0,08	-1,9	28,3
<u>330</u> = $\varphi_{РХ} + \varphi_{ДВ} + \varphi_{ХХ}$ – точка VII		0	0	0

Т а б л и ц а 2.22. ВАРИАНТ 9 (предпоследняя цифра шифра зачетной книжки)

Законы безразмерного ускорения ведомого звена											
Рабочий (прямой) ход (РХ)						Холостой (обратный) ход (ХХ)					
Разбег		Выбег		$\lambda_{РХ}$	$\delta\beta_{РХ}$	Разбег		Выбег		$\lambda_{ХХ}$	$\delta\beta_{ХХ}$
s_1	s_2	s_1	s_2			s_1	s_2	s_1	s_2		
0	1	0,4	0,3	1,6	0,3	0,4	0,4	1	0	1	0
Рабочий ход толкателя											
Участок разбега											
$\Phi_{кул}$, град					$\beta_{толк}$, мм		$\beta'_{толк}$, мм		$\beta''_{толк}$, мм		
<u>0</u> – точка 0 (см. рис. В.14)					0		0		47,6		
6,2					0,3		5		47		
<u>12,3</u>					1		10		45,3		
18,5					2,4		14,8		42,4		
<u>24,6</u>					4,3		19,2		38,5		
30,8					6,5		23		33,7		
<u>37</u>					9,2		26,4		28		
43					12,2		29		21,6		
<u>49,3</u>					15,4		31		14,7		
55,4					18,8		32,2		7,4		
<u>61,59</u> – точка I					22,3		32,6		0		

Продолжение табл. 2.22

Рабочий ход толкателя			
Участок постоянной скорости			
$\Phi_{кул}$, град	$\beta_{толк}$, мм	$\beta'_{толк}$, мм	$\beta''_{толк}$, мм
<u>61,59</u> – точка I	22,3		
65	24,3		
<u>68,4</u>	26,2		
71,9	28,2		
<u>75,3</u>	30		
78,7	32	32,6	0
<u>82</u>	34		
85,6	36		
<u>89</u>	38		
92,4	40		
<u>95,86</u> – точка II	41,8		
Участок выбега			
<u>95,86</u> – точка II	41,8	32,6	0
104	46,5	31,5	-15
<u>113</u>	51	28,4	-25,8
121	54,8	24,2	-29,8
<u>129,5</u>	58	20	-29,8
138	60,7	15,5	-29,8
<u>146</u>	62,6	11	-29,8
155	64	6,9	-27,5
<u>163</u>	64,7	3,3	-21
171,6	64,9	0,85	-11,4
<u>180</u> = $\phi_{РХ}$ – точка III	$65 = S_{max}(\beta_{III})$	0	0
Холостой ход толкателя			
Участок разбега			
<u>200</u> = $\phi_{ДВ}$ – точка IV	65	0	0
204,7	64,9	-2,4	-57
<u>209,5</u>	64,5	-9,1	-105
214	63,3	-19,3	-137
<u>219</u>	61,3	-31,2	-150
223,6	58,2	-43,5	-150
<u>228,4</u>	54	-55,8	-150
233	49	-67,7	-137
<u>237,8</u>	43	-78	-105
242,6	36,2	-84,6	-57
<u>247,3</u> – точка V	29	-87	0

Окончание табл. 2.22

Холостой ход толкателя			
Участок постоянной скорости отсутствует			
Участок выбега			
$\Phi_{кул}$, град	$\beta_{толк}$, мм	$\beta'_{толк}$, мм	$\beta''_{толк}$, мм
<u>247,3</u> – точка VI	29	-87	149
252,6	21,7	-73,4	147
<u>257,8</u>	15,6	-60	141
263	10,6	-47,5	132
<u>268,4</u>	6,8	-36	120
273,6	4	-25,5	105
<u>279</u>	2	-16,6	87
284,2	0,9	-9,5	67,5
<u>289,5</u>	0,26	-4,3	46
294,7	0,03	-1,1	23
<u>300</u> = $\Phi_{РХ} + \Phi_{ДВ} + \Phi_{ХХ}$ – точка VII	0	0	0

Т а б л и ц а 2.23. **ВАРИАНТ 10** (*предпоследняя* цифра шифра зачетной книжки)

Законы безразмерного ускорения ведомого звена											
Рабочий (прямой) ход (РХ)					Холостой (обратный) ход (ХХ)						
Разбег		Выбег		$\lambda_{РХ}$	$\delta\beta_{РХ}$	Разбег		Выбег		$\lambda_{ХХ}$	$\delta\beta_{ХХ}$
s_1	s_2	s_1	s_2			s_1	s_2	s_1	s_2		
0,5	0,5	1	0	1,8	0,3	0,3	0,4	0,2	0,2	1	0
Рабочий ход толкателя											
Участок разбега											
$\Phi_{кул}$, град				$\beta_{толк}$, мм	$\beta'_{толк}$, мм	$\beta''_{толк}$, мм					
<u>0</u> – точка 0 (см. рис. В.14)				0	0	0					
5,46				0,035	1,1	22,7					
<u>10,9</u>				0,27	4,25	43,1					
16,4				0,9	9,18	59,3					
<u>21,8</u>				2,1	15,4	69,8					
27,3				3,9	22,3	73,3					
<u>32,8</u>				6,3	29,1	69,8					
38,2				9,4	35,3	59,3					
<u>43,7</u>				13	40,3	43,1					
49,2				17	43,4	22,7					
<u>54,63</u> – точка I				21,2	44,5	0					

Продолжение табл. 2.23

Рабочий ход толкателя			
Участок постоянной скорости			
$\Phi_{кул}$, град	$\beta_{толк}$, мм	$\beta'_{толк}$, мм	$\beta''_{толк}$, мм
<u>54,63</u> – точка I	21,2		
57,3	23,3		
<u>60</u>	25,4		
62,7	27,5		
<u>65,4</u>	29,6		
68,1	31,7	44,5	0
<u>70,8</u>	33,8		
73,5	36		
<u>76,2</u>	38		
79	40		
<u>81,66</u> – точка II	42,2		
Участок выбега			
<u>81,66</u> – точка II	42,2	44,5	-40,7
91,5	49,3	37,6	-40,2
<u>101,3</u>	55	30,8	-38,8
111,2	60	24,3	-36,3
<u>121</u>	63,5	18,4	-33
130,8	66,2	13	-28,8
<u>140,7</u>	68	8,5	-24
150,5	69,2	4,85	-18,5
<u>160,3</u>	69,7	2,18	-12,6
170,2	69,9	0,55	-6,37
<u>180</u> = $\phi_{РХ}$ – точка III	70 = $S_{max}(\beta_{III})$	0	0
Холостой ход толкателя			
Участок разбега			
<u>220</u> = $\phi_{ДВ}$ – точка IV	70	0	0
225,3	69,9	-2,7	-56,8
<u>230,7</u>	69,3	-10	-98,3
236	67,9	-20,2	-114
<u>241,4</u>	65,6	-30,8	-114
246,7	62,2	-41,4	-114
<u>252</u>	57,9	-52	-114
257,4	52,5	-62,3	-105
<u>262,7</u>	46,3	-71	-80,3
268,1	39,4	-77	-43,4
<u>273,41</u> – точка V	32,1	-78,9	0

Окончание табл. 2.23

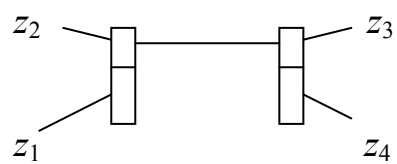
Холостой ход толкателя			
Участок постоянной скорости отсутствует			
Участок выбега			
$\Phi_{кул}$, град	$\beta_{толк}$, мм	$\beta'_{толк}$, мм	$\beta''_{толк}$, мм
<u>273,41</u> – точка VI	32,1	– 78,9	0
278,1	25,8	– 75,5	80,3
<u>282,7</u>	20	– 67,2	114
287,4	15	– 57,9	114
<u>292</u>	10,5	– 48,7	114
296,7	7	– 39,5	114
<u>301,4</u>	4,1	– 30,2	114
306	2	– 21	114
<u>310,7</u>	0,7	– 11,8	114
315,3	0,09	– 3,4	80,3
<u>320</u> = $\Phi_{РХ} + \Phi_{ДВ} + \Phi_{ХХ}$ – точка VII	0	0	0

Примечание. Приведенные в табл. 2.14 – 2.23 числовые значения параметров для удобства их использования округлены. Примеры фактических расчетных значений представлены в прил. Д.

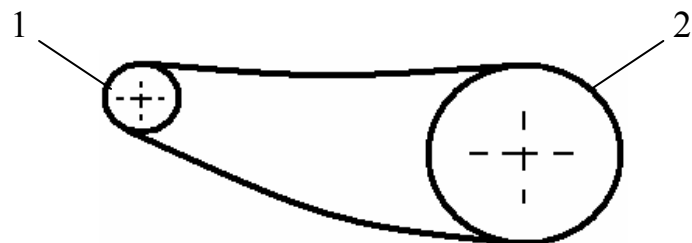
ВОПРОСЫ для самоконтроля по курсу «Теория механизмов и машин»

1. Приведите определение машины, механизма.
2. Приведите определение кинематической пары, кинематической цепи.
3. По какому признаку кинематические пары делятся на классы?
4. В каких механизмах используются незамкнутые кинематические цепи?
5. Объясните термины: кривошип, ползун, шатун, коромысло, кулиса.
6. Назовите виды механических передач.
7. Объясните геометрический смысл коэффициентов в формулах для определения степеней свободы механизма.
8. По какому признаку кинематические пары подразделяются на высшие и низшие классы? Что такое кинематический элемент?
9. Каков физический смысл значения W для плоских и пространственных кинематических цепей?
10. Что такое зона обслуживания манипулятора, сервис манипулятора?
11. Что называется трением скольжения, качения и верчения?
12. Что такое передаточное отношение и передаточное число?
13. Что такое механический коэффициент полезного действия механизма?
14. Опишите принцип действия зубчатой передачи.

15. Что представляет собой модуль зубчатого зацепления?
16. Что такое ступенчатая зубчатая передача (передача с кратным зацеплением)?
17. Что представляет собой планетарный и дифференциальный зубчатые механизмы? Что вам известно о кинематике дифференциальных и планетарных механизмах?
18. Что представляют собой зубчатые передачи с пересекающимися и скрещивающимися осями?
19. Как определяется КПД зубчатого зацепления?
20. Что представляют собой винтовые, гидравлические и пневматические механизмы?
21. В чем состоят сходство и различие редукторов, коробок скоростей и вариаторов?
22. Что такое редуктор? Каковы его основные параметры? Приведите примеры их условных обозначений и объясните смысл основных параметров.
23. По каким критериям выбирается редуктор?
24. При помощи каких передач можно соединить валы с параллельными осями, пересекающимися осями или перекрещающимися осями?
25. Опишите комбинированные передаточные механизмы.
26. Назовите и кратко опишите устройства для плавного регулирования скорости движения машины.
27. Что такое передаточные функции и каков их физический смысл?
28. Назовите и поясните основные критерии работоспособности кулачковых механизмов.
29. В чем состоит оптимизация закона движения выходного звена кулачковых механизмов?
30. Что такое мягкие и жесткие удары в законах движения элементов кулачковых механизмов?
31. Дайте определения угловой скорости и углового ускорения звеньев механизма.
32. Назовите механизмы с передачей движения гибкой связью.
33. Как устроены клиновые ремни?
34. Из каких материалов изготавливаются плоские и круглые ремни?
35. В чем преимущества и недостатки ременных передач в сравнении с другими передачами?
36. Назовите известные Вам способы регулирования угловой скорости рабочего вала машины.
37. Перечислите устройства для ступенчатого регулирования скорости.
38. Определите частоту вращения (n) колеса 4, если
- $z_1 = 20, z_2 = 40, z_3 = 25,$
 $z_4 = 50, n_1 = 80 \text{ мин}^{-1}.$



39. Определите частоту вращения выходного вала n_2 втулочно-роликовой цепной передачи, если дано $n_1 = 60 \text{ мин}^{-1}$, $z_1 = 30$, $z_2 = 75$.



40. Определите угловую скорость ведомого шкива ременной передачи, если $\omega_1 = 10 \text{ рад/с}$, $D_1 = 100 \text{ мм}$, $D_2 = 250 \text{ мм}$.

41. Сформулируйте краткие сведения по следующим темам: основы виброзащиты механизмов и машин, вибродинамика, динамическое гашение колебаний, балансировка вращающихся деталей (узлов).

ЗАКЛЮЧЕНИЕ

В процессе выполнения данной работы предполагается приобретение исполнителем определенного кругозора в вопросах последовательности этапов анализа машины в целом, узлов механических систем и т. д.

За пределами изложенной темы в силу ограничения объема материала остались многие вопросы, в частности, вопросы оптимизации геометрических, кинематических и динамических параметров предложенных к рассмотрению конструкций. Это, в некоторой степени, «бесконечная» тема, связанная в первую очередь с серийностью производства, степенью ответственности узла, технологическим оснащением предприятия-изготовителя, квалификацией исполнителей и многими другими факторами.

БИБЛИОГРАФИЧЕСКИЙ СПИСОК ОСНОВНАЯ ЛИТЕРАТУРА

1. Артоболевский, И. И. Теория механизмов и машин / И. И. Артоболевский. – М.: Альянс, 2011. – 640 с.
2. Теория механизмов и механика машин / под ред. К. В. Фролова. – М.: Высшая школа, 2003. – 493 с.

ДОПОЛНИТЕЛЬНАЯ ЛИТЕРАТУРА К ЧАСТИ 1

3. Юревич, Е. И. Основы робототехники: учебник для вузов / Е. И. Юревич. – Л.: Машиностроение, 1985. – 271 с.
4. Элементы теории роботов и манипуляторов: учеб. пособие / сост. М. З. Коловский, В. И. Маслов. – Л.: ЛПИ, 1981. – 60 с.
5. Кинематический анализ зубчатых передач: учеб. пособие / сост. И. А. Шарапин. – СПб.: ИПЦ СПГУТД, 2008. – 90 с.
6. Расчет элементов зубчатой передачи: учеб. пособие / сост. И. А. Шарапин, Т. Г. Шиянова. – СПб.: РИЦ СПГУТД, 2011. – 104 с.

ДОПОЛНИТЕЛЬНАЯ ЛИТЕРАТУРА К ЧАСТИ 2

7. Теория механизмов и машин. Сборник задач по разделу «Структурный анализ плоских рычажных механизмов»: метод. указания / сост. И. А. Шарапин. – СПб.: ИПЦ СПГУТД, 2007. – 39 с.
8. Теория механизмов и машин. Сборник заданий для выполнения контрольной и курсовой работ: учеб. пособие для студентов вузов / сост. И. А. Шарапин. – СПб.: ИПЦ СПГУТД, 2007. – 68 с.
9. Теория механизмов и машин. Кулакковые механизмы. Синтез законов движения толкателя: учеб. пособие для студентов вузов / сост. И. И. Вульфсон и др. – СПб.: ФГБОУВПО СПГУПТД, 2015. – 111 с.
10. Синтез профиля кулачка: метод. указания к курсовому проектированию для студентов всех форм обучения / сост. И. А. Шарапин и др. – СПб.: РИО СПГУТД, 1998. – 29 с.
11. Синтез профиля кулачка: метод. указания к курсовому проектированию по дисциплинам «Теория механизмов и машин», «Техническая механика», «Прикладная механика» для студентов всех форм обучения / сост. А. В. Орестова и др. – СПб.: ИПЦ СПГУТД, 2008. – 31 с.
12. Расчет колебаний привода машины: учеб. пособие для вузов. – 2-е издание, испр. и дополн. / сост. И. И. Вульфсон, И. А. Шарапин, М. В. Преображенская. – СПб.: ФГБОУВПО «СПГУТД», ИПЦ, 2013 г. - 180 с.

СТРУКТУРА МЕХАНИЗМОВ. КИНЕМАТИЧЕСКИЕ ПАРЫ И ИХ КЛАССИФИКАЦИЯ

Механизм представляет собой кинематическую цепь (КЦ), звенья которой обладают полной определенностью движения. В свою очередь последовательно каждые два звена КЦ соединяются между собой кинематическими парами.

Кинематическая пара (КП) – подвижное соединение двух звеньев. Способы соединения звеньев с помощью КП весьма разнообразны. При соединении двух (или нескольких) звеньев посредством КП на их относительное движение накладывается некоторое число ограничений, называемых *связями*, зависящее от характера кинематических элементов звеньев.

Кинематический элемент (КЭ) – точка, линия или поверхность, по которой происходит соединение звеньев КП.

В общем случае всякое свободно движущееся в пространстве абсолютно твердое тело *ABC* (рис. А.1) обладает **шестью степенями свободы**. Движение такого тела может быть представлено как одновременное скольжение вдоль трех произвольно выбранных взаимно перпендикулярных (\perp) осей *X*, *Y*, *Z* и вращение вокруг этих же осей.

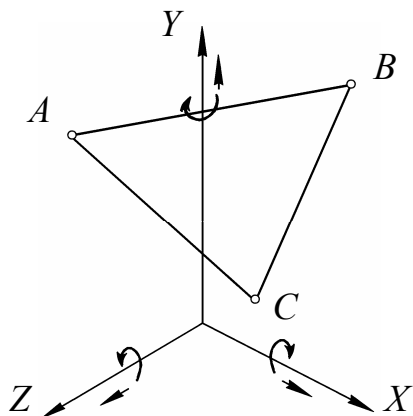


Рис. А.1

Вхождение звена в КП с другим звеном налагает на движение этих звеньев друг относительно друга определенные условия связи. Очевидно, что число этих условий связи может быть только целым числом и должно быть менее 6, так как в том случае, когда число условий связи равно числу степеней свободы, звенья теряют относительную подвижность и КП переходит в жесткое соединение двух звеньев (статическую пару).

Точно так же число условий связи не может быть меньше 1, так как в случае, когда число условий связи равно 0, звенья не могут соприкасаться, следовательно, КП перестает существовать и мы будем иметь два свободных тела, движущихся в пространстве независимо друг от друга.

Продолжение прил. А

Таким образом, число условий связи, наложенных на относительное движение каждого звена КП, изменяется в пределах от 1 до 5. Следовательно, число степеней свободы звена КП в относительном движении может быть выражено условием

$$H = 6 - S, \quad (\text{A.1})$$

где H – число степеней свободы звена после его присоединения в КП;

S – число условий связи, налагаемых КП.

Из (А.1) следует, что H также может изменяться только от 1 до 5.

Итак, связи, наложенные на относительное движение звеньев КП, ограничивают те возможные относительные движения, которыми обладают звенья.

Рассмотрим пример плоского движения (*рис. А.2*).

Свободное тело на плоскости обладает 3 степенями свободы, т. е. тело I и тело II (каждое) имеют по 3 степени свободы. Соединим их между собой так, чтобы осталось только одно возможное относительное движение между ними. На теле I, например, наварим шип, а в теле II просверлим отверстие, соответствующее наружному диаметру этого шипа. После соединения этих двух тел у них из общих 6 останется лишь 4 степени свободы: 3 возможные совместные движения и 1 вращение друг относительно друга.

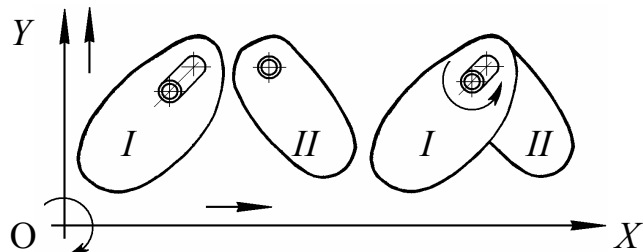


Рис. А.2

Соответствующим подбором соприкасающихся элементов звеньев можно устраниТЬ одно из вращательных движений вокруг какой-либо оси или одно из поступательных движений вдоль какой-либо оси или одно вращательное и одно поступательное одновременно или два вращательных одновременно и т. д.

Оставшиеся возможные движения могут быть независимыми друг от друга или же могут быть связаны друг с другом каким-либо дополнительным геометрическим условием. Эти дополнительные условия можно выразить в виде некоторых уравнений, позволяющих определить зависимость между связанными движениями.

Оставшиеся независимые возможные движения будут характеризовать число степеней свободы звеньев КП в их относительном движении.

Рассмотрим КП с различными независимыми возможными движениями звеньев. Все КП подразделяются на 5 основных классов по количеству связей, наложенных на относительное движение звеньев.

Продолжение прил. А

Кинематические пары I класса – такие КП, в которых на относительное движение каждого звена наложено *одно* ограничение (рис. А.3) [1].

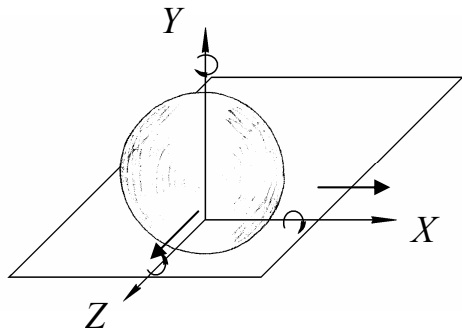


Рис. А.3

Здесь число условий связи (число ограничений) $S = 1$, число степеней свободы (степеней подвижности) $H = 5$, возможные движения: 3 вращения и 2 поступательные движения.

2-й вид пары I класса: 2 вращения и 3 поступательные движения создать нельзя, так как если мы будем иметь соприкосновение каких-либо двух геометрических элементов, то относительное поступательное движение в направлении нормали к этим элементам уже является невозможным. Например, при соприкосновении шара с плоскостью невозможно его поступательное движение в направлении оси Y , которая служит нормалью к соприкасающимся телам. Иначе говоря, нельзя подобрать форму элемента КП, которая при соприкосновении допускала бы наличие трех поступательных движений. Всегда хотя бы одно поступательное движение будет исключено.

Кинематические пары II класса налагают на относительное движение каждого из входящих в них звеньев *два* ограничения (число связей $S = 2$). Число степеней свободы $H = 4$. Пары 1-го вида допускают 3 вращения и 1 поступательное движение каждого из звеньев (рис. А.4). Пример: ядро в гладком орудийном стволе.

1-й вид:

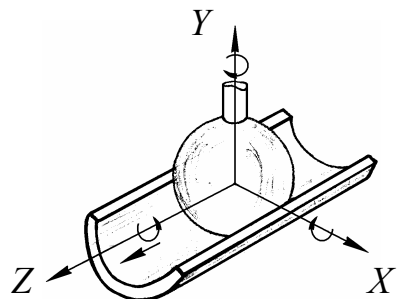


Рис. А.4

Пары II класса 2-го вида допускают 2 вращения и 2 поступательные движения каждого из звеньев (рис. А.5).

2-й вид:

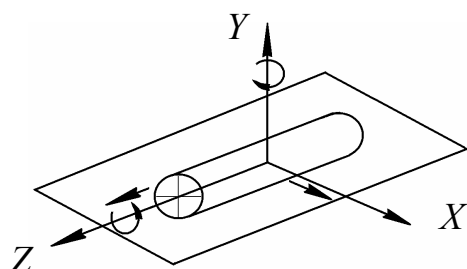


Рис. А.5

Теоретически возможны пары *II* класса 3-го вида, допускающие 1 вращение и 3 поступательные движения. На практике же эти пары воспроизведены быть не могут.

Кинематические пары III класса налагаются на относительное движение каждого из входящих в них звеньев *три* ограничения (число связей $S = 3$). Число степеней свободы $H = 3$. Пары 1-го вида допускают только 3 вращения каждого из звеньев (пространственный шарнир Гука или сферический шарнир).

1-й вид (*рис. А.6*):

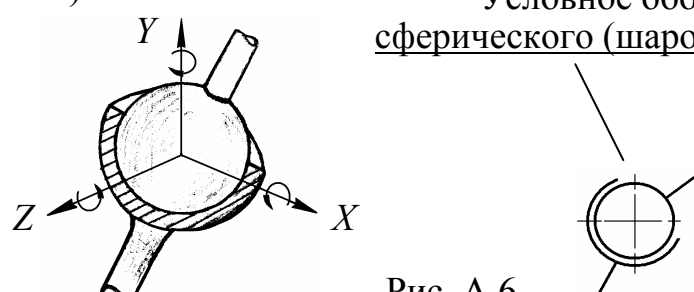


Рис. А.6

Условное обозначение на схеме сферического (шаровидного) шарнира

Пары *III* класса 2-го вида допускают 2 вращения и 1 поступательное движение каждого из звеньев (*рис. А.7*).

2-й вид:

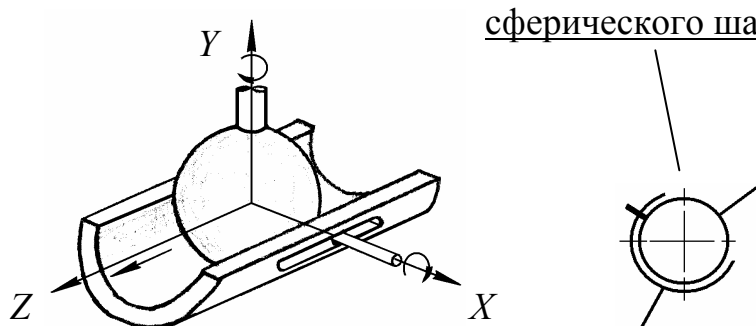


Рис. А.7

Условное обозначение на схеме сферического шарнира с пальцем

Пары *III* класса 3-го вида допускают 2 поступательные движения и 1 вращение каждого из звеньев (*рис. А.8*).

3-й вид:

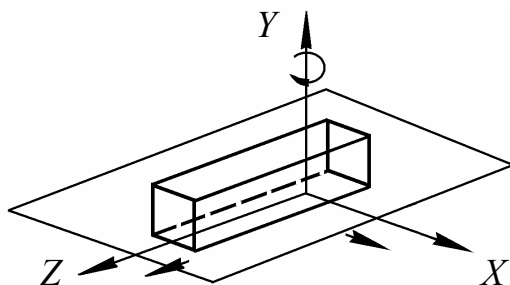


Рис. А.8

Пары *III* класса 4-го вида (3 поступательные движения) – клиновой механизм – на практике воспроизведены быть не могут.

Кинематические пары IV класса налагают на относительное движение каждого из входящих в них звеньев *четыре* ограничения ($S = 4$). Число степеней свободы $H = 2$. Пары *IV* класса 1-го вида допускают 2 вращения каждого из звеньев (рис. А.9).

1-й вид:

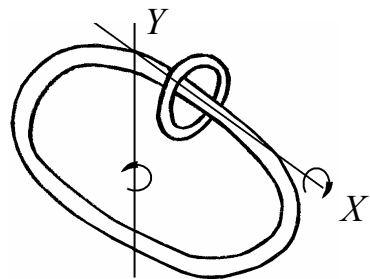
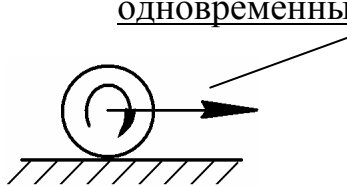


Рис. А.9

Пары *IV* класса 2-го вида допускают 1 вращение и 1 поступательное движение каждого из звеньев (рис. А.10).

2-й вид:



Качение цилиндра по плоскости с одновременным его проскальзыванием

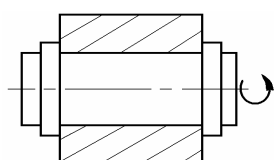
Рис. А.10

Кинематические пары V класса налагают на относительное движение каждого из входящих в них звеньев *пять* ограничений ($S = 5$). Число степеней свободы $H = 1$. Пары *V* класса 1-го вида допускают только 1 вращение каждого из звеньев (вращательная пара, плоский шарнир).

Пары *V* класса 2-го вида допускают только 1 поступательное движение каждого из звеньев (поступательная пара).

Продолжение прил. А

1-й вид (рис. А.11):



Условные обозначения на схеме вращательной (шарнирной) пары – плоского шарнира

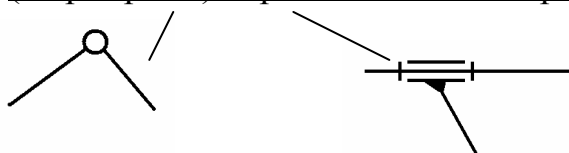
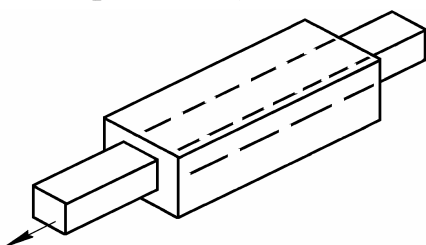


Рис. А.11

2-й вид (рис. А.12):



Условные обозначения на схеме поступательной пары

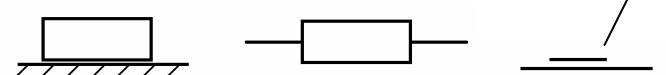


Рис. А.12

Осуществление заданного относительного движения соединением звеньев в КП так, чтобы один элемент пары находился в непосредственном контакте с другим элементом, в некоторых случаях оказывается нецелесообразным.

Соединяя, например, во вращательную пару два звена, мы часто в качестве промежуточного звена вводим шарикоподшипник с целью уменьшения трения в паре. Так мы получаем соединение, которое, строго говоря, не представляет собой КП, так как имеет в своем составе ряд подвижных звеньев.

Нетрудно увидеть, что если отнести шарикоподшипник к одному из сочленяемых основных звеньев пары, то относительное движение звеньев пары не изменится. Таким образом, это соединение будет парой *V* класса.

При рассмотрении возможных движений, которыми обладают звенья пар в их относительном движении, необходимо иметь в виду, что эти движения следует рассматривать лишь как возможные для данного момента времени.

Рассмотренные КП относились к парам, для которых мгновенные возможные движения их звеньев не зависят друг от друга.

В технике встречаются КП, для которых относительные движения их звеньев связываются какой-либо дополнительной геометрической зависимостью. В качестве примера рассмотрим случай такой КП, наиболее часто встречающейся в механизмах.

Представим, что определенному углу поворота (ϕ) одного звена относительно другого соответствует вполне определенное поступательное движение (S) вдоль той же оси, задаваемое уравнением дополнительной связи $S = f(\phi)$. Такая пара является КП *V* класса и носит название *винтовой пары*.

Продолжение прил. А

По виду кинематического элемента (КЭ) КП делятся на высшие и низшие.

Высшими КП называют пары, в которых соприкосновение элементов КП происходит в точке или по линии (рис. А.13, а, б).

Низшими КП называются пары, в которых соприкосновение элементов КП происходит по поверхности (рис. А.13, в).

Для постоянного соприкосновения элементов в паре они должны быть замкнуты. Замыкание КП может быть кинематическим или силовым. *Кинематическое замыкание* реализуется конструктивной формой элементов, входящих в пару. *Силовое замыкание* реализуется использованием силы веса, упругости замыкающей пружины и т. д.

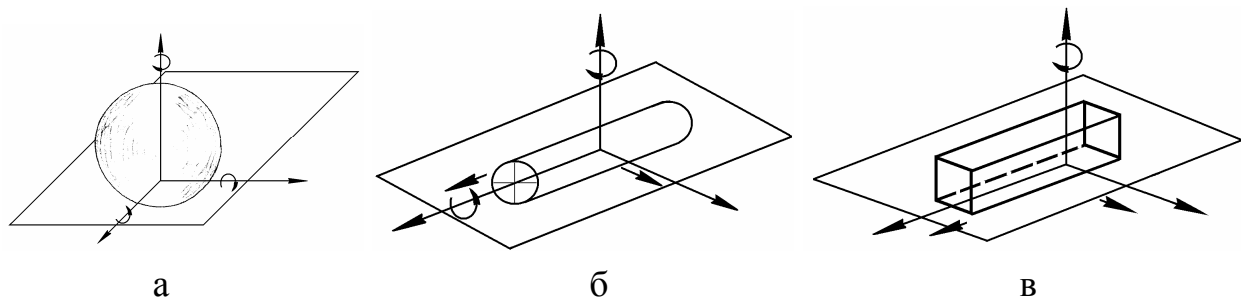


Рис. А.13. Высшие КП: *а* – контакт в точке, *б* – контакт по линии, *в* – низшая КП – контакт по поверхности

СВОЙСТВА НИЗШИХ КП

1. У низших КП относительные траектории совпадающих точек звеньев, входящих в пару, тождественны. Низшие пары, таким образом, обладают обратимостью движения, т. е. вид траектории в относительном движении не зависит от того, какое из звеньев принято за неподвижное. Во вращательной КП траектории точки М (рис. А.14) – окружности одинаковых радиусов независимо от того, какое из звеньев вращается (1 или 2).

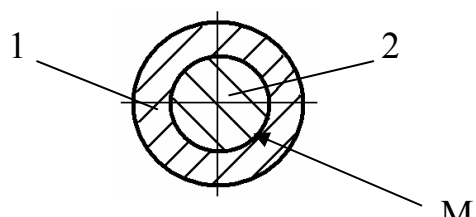


Рис. А.14

В поступательной паре совпадают отрезки контактных прямых, в винтовой паре совпадают винтовые линии.

2. Давление между поверхностями у низших КП распределяется по площадям конечных размеров; удельное давление (следовательно, и поверхностный износ звеньев) оказывается сравнительно меньше, чем у высших пар.

3. Низшие пары просты и относительно дешевы в изготовлении.
4. Задача синтеза механизмов с низшими парами до настоящего времени в общем виде не решена.

5. Трение в низших КП представляет собой трение скольжения; потери на трение в этом случае достигают значительных величин.

6. Поверхности соприкосновения низших КП должны быть такой формы, чтобы звенья могли перемещаться друг относительно друга без нарушения их контакта. Однако существуют только 3 формы поверхностей, при которых они могут перемещаться одна относительно другой:

- цилиндрические поверхности могут скользить одна по другой вдоль их образующей;
- поверхности вращения могут вращаться вокруг их общей оси симметрии;
- винтовые поверхности могут перемещаться одна по другой.

Отсюда следует, что низшие пары могут быть только 3-х типов: поступательными, вращательными и винтовыми.

СВОЙСТВА ВЫСШИХ КП

Свойство 1. По отношению к системам отсчета, связанными с различными звеньями траектории совпадающих точек звеньев в высших парах, как правило, различны, т. е. высшие пары не обладают свойством обратимости движения (вид траектории в относительном движении зависит от того, какое из звеньев принято за неподвижное).

Например: 1. Траекторией точки *B*, принадлежащей толкателю (*рис. А.15*) относительно кулачковой шайбы является профиль этой шайбы; траекторией точки, принадлежащей шайбе в системе отсчета, связанной с толкателем, является некоторая кривая, проходящая через точку *B*.

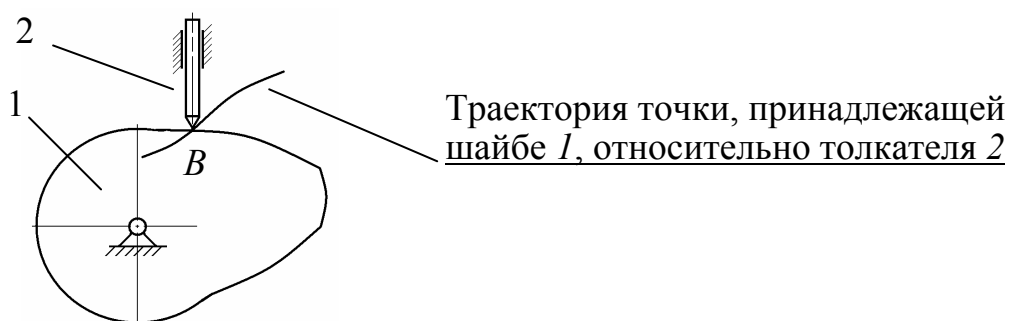


Рис. А.15

2. Если взять колесо на рельсе, то вместе они представляют собой высшую КП (*рис. А.16 а*). Точка *A* колеса при качении по рельсу без проскальзывания в системе отсчета, связанной с рельсом, опишет *циклоиду* или ее виды (*рис. А.16, б, г, д*); та же точка *A*, принадлежащая рельсу, при его обкатывании без проскальзывания вокруг колеса опишет *эвольвенту окружности* (*рис. А.16, в*).

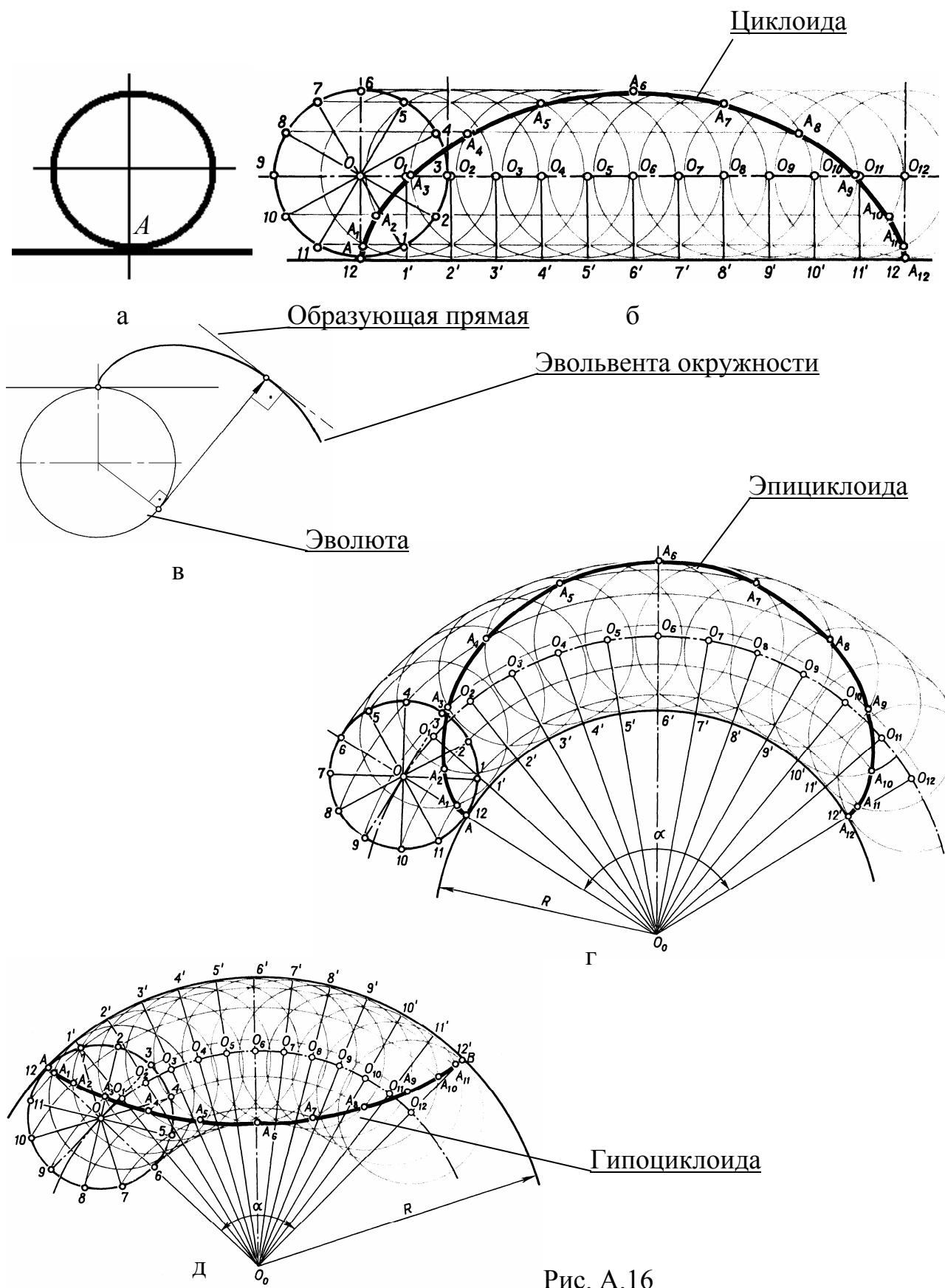


Рис. А.16

При обкатывании колеса без проскальзывания по выпуклой кривой точка A колеса в системе отсчета, связанной с этой кривой, опишет эпициклоиду; по вогнутой кривой – гипоциклоиду.

Свойство 2. Износ в высших КП весьма велик. Соприкосновение по точкам или линиям ведет к теоретически бесконечно большим удельным давлениям в точках контакта элементов пары.

Свойство 3. Высшие пары сложны и дороги в изготовлении.

Свойство 4. Повышенный износ поверхностей соприкосновения влечет за собой изменение геометрических характеристик деталей механизмов. Это в свою очередь вызывает изменение характера траекторий относительного движения звеньев. В качестве компенсации следует применять методы поверхностного упрочнения элементов КП (азотирование, цементация с последующей закалкой и т. д.), что также вызывает удорожание их изготовления.

Свойство 5. Трение в высших КП меньше, чем в низших (здесь преимущественно имеет место трение качения).

Свойство 6. Высшие КП могут осуществлять более разнообразные виды относительных движений.

По виду связи КП делятся на *удерживающие* и *неудерживающие*.

Для работы КП с неудерживающей связью требуется ее силовое замыкание (рис. А.17).

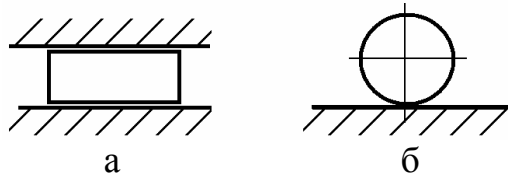


Рис. А.17. Кинематические пары: *а* – удерживающая; *б* – неудерживающая

По виду относительного движения КП делятся на *плоские* и *пространственные*. Все точки звеньев, связанных плоскими КП, перемещаются в одной или параллельных (за счет толщины звеньев) плоскостях; при пространственных КП – в пространстве.

Форма элементов КП и их конструктивное оформление играет большую роль в конструировании машин. В первую очередь возникает вопрос о связи формы элементов пар с их прочностью и износостойкостью. По этим характеристикам предпочтительно применение низших КП. Высшие КП имеют свои значительные достоинства.

Использование не только низших, но и высших КП в большинстве случаев упрощает конструкции механизмов, уменьшает их габариты, позволяет осуществить требуемое движение меньшим количеством звеньев и т. д.

Во многих современных быстроходных машинах широко применяются и, очевидно, будут применяться такие механизмы с высшими парами, как кулачковые, малтийские кресты, цевочные и многие другие.

ПРОСТРАНСТВЕННЫЕ СИСТЕМЫ КООРДИНАТ ПЕРЕМЕЩЕНИЯ СХВАТА МАНИПУЛЯТОРА

Трем степеням подвижности (свободам движения) устройства позиционирования механической руки – схвата манипулятора – соответствуют три обобщенные координаты. В зависимости от выбора этих координат различают устройства манипуляторов с прямоугольной (плоской или пространственной), полярной или ангулярной (цилиндрическими или сферическими) координатными системами [3], [4].

В прямоугольной системе координат точка схвата перемещается вдоль осей X , Y , Z . В цилиндрической системе координат – вдоль радиус-вектора R , управляемого углом его поворота ϕ в одной из плоскостей системы координат X , Y , Z . В сферической системе координат – вдоль радиус-вектора R , управляемого углом его поворота ϕ в одной из плоскостей системы координат X , Y , Z и углом его поворота γ в другой плоскости той же системы координат.

При позиционировании в прямоугольных координатах схват не меняет своей ориентации. При позиционировании в цилиндрической и сферической координатных системах добавляются кинематические пары, компенсирующие повороты схвата. Дополнительные пары, работающие в своей системе координат, действуют в обратном направлении по отношению к соответствующим кинематическим парам в основной координатной системе. Компенсирующие пары всегда того же типа, что и их «антитиподы» (вращение – вращение и т. д.).

Под *рабочим пространством* (*рабочей зоной*) манипулятора понимаются пределы, в которых возможно управляемое перемещение исполнительного органа (схвата). У манипуляторов различают четыре основные исполнения.

Исполнение П с прямоугольной (декартовой) системой координат. Рабочее пространство выходного звена – *параллелепипед*. Кинематическая схема и конструкция такого манипулятора представлена на *рис. Б.1*.

Для позиционирования схвата используют три поступательных движения, для ориентирования – два вращения. Манипуляторы исполнения П нашли преимущественное применение в технологических операциях, в частности – на сборке, при обслуживании автоматических линий, обеспечивая точное прямолинейное движение детали.

Недостаток исполнения П – чрезмерные габариты устройства. Кроме этого, при последовательном перемещении детали по трем координатным осям несколько увеличивается общее время выполнения операции.

Исполнение Ц с цилиндрической системой координат. Рабочее пространство выходного звена – *цилиндрический сегмент* или полый цилиндр. Кинематическая схема и конструкция такого манипулятора представлена на *рис. Б.2*.

Среди промышленных роботов, используемых для выполнения многократно повторяющихся операций, эта схема нашла наибольшее применение.

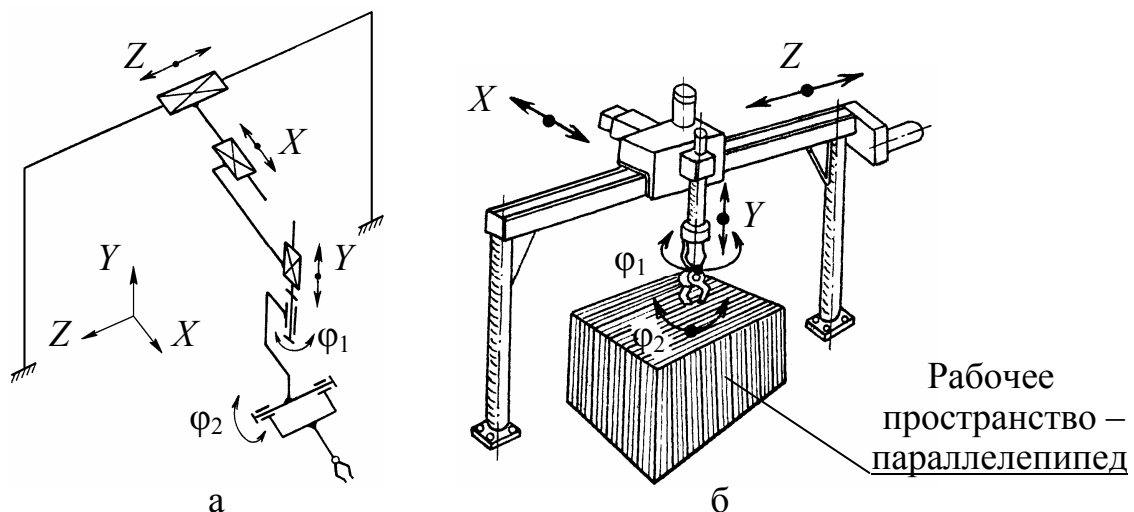


Рис. Б.1. Исполнение П:
а – кинематическая схема; б – конструктивное исполнение

В конструкциях таких манипуляторов для позиционирования схвата используются два поступательных и одно вращательное движения, для ориентирования – два вращения. Их программирование максимально упрощено.

Недостаток исполнения Ц – затрудненность обслуживания при обработке деталей, расположенных на небольшой высоте – уменьшена рабочая зона манипулятора.

Исполнение С со сферической (полярной) системой координат. Рабочее пространство выходного звена – *сферический сегмент*. Кинематическая схема и конструкция такого манипулятора представлена на рис. Б.3. Для позиционирования схвата предусмотрены одно поступательное движение и два вращения; для его ориентирования – два вращения. Такие исполнения манипуляторов применяются преимущественно на операциях, не требующих большой точности отработки движений схвата – при окраске, нанесении защитных покрытий и т. д. Используемые схемы сочетают компактность и повышенную жесткость, допуская значительные динамические нагрузки. Манипуляторы с этой системой координат, как правило, сложнее, чем исполнение Ц, однако они более компактны в сравнении с исполнением Ц.

Все конструкции (рис. Б.3) до схвата имеют пять степеней подвижности; вместе с движением схватывания рука имеет шесть подвижностей.

В настоящее время появилось большое количество новых схем, различным образом реализующих всевозможные движения. В частности, это шарнирные антропоморфные (подобные руке человека) манипуляторы исполнения У с угловой (ангуллярной) системой координат (рис. Б.4, а). Их рабочее пространство в плане – окружность (рис. Б.4, б), на виде сбоку – составной сегмент (рис. Б.4, в).

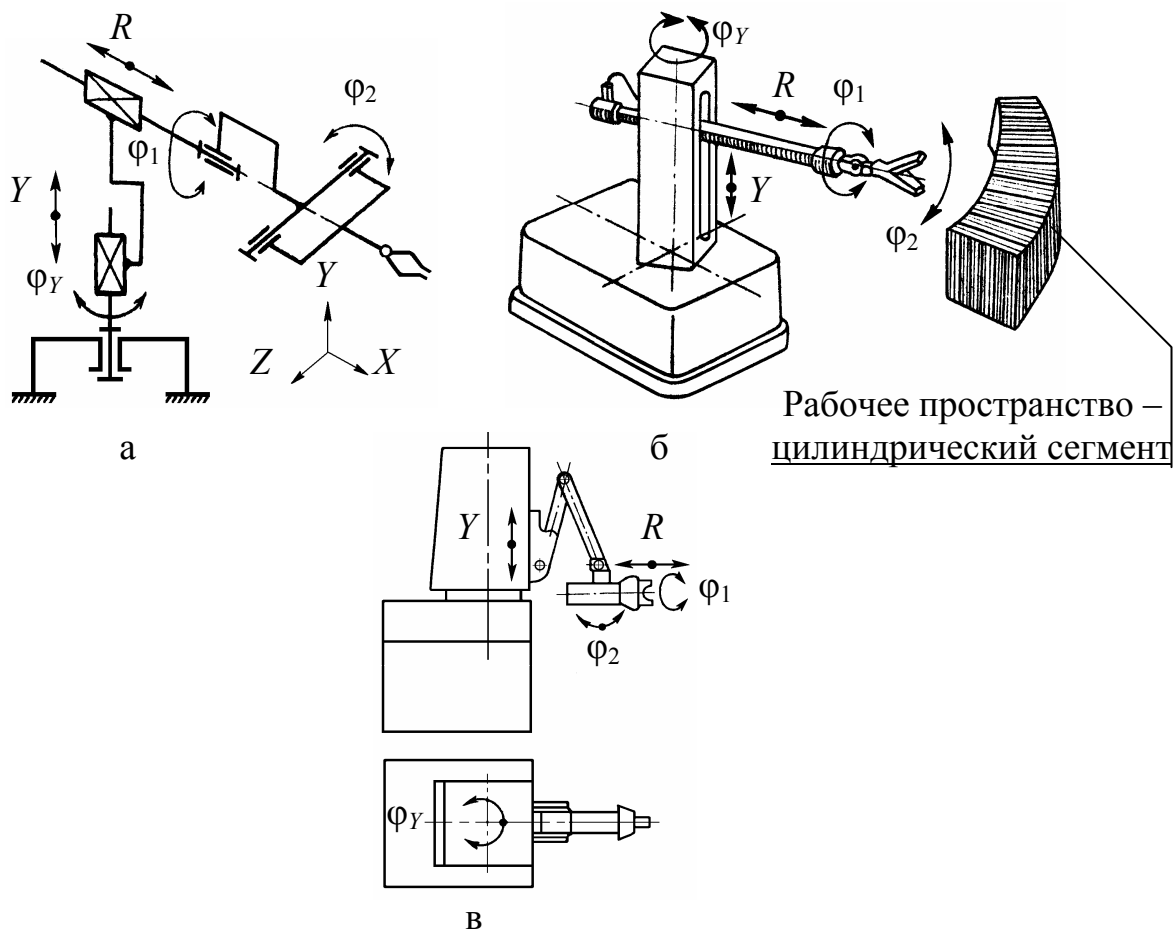


Рис. Б.2. Исполнение Ц:
а – кинематическая схема; б, в – конструктивные исполнения

Они имеют только вращательные кинематические пары; по схеме напоминают руку человека (рис. Б.6). Благодаря возможности складываться обладают наибольшей компактностью, способны обходить препятствия, однако наиболее сложны в управлении.

На практике манипуляторы механических систем обладают избыточностью числа степеней подвижности; в них чаще всего реализуются различные комбинации упомянутых основных типов исполнений.

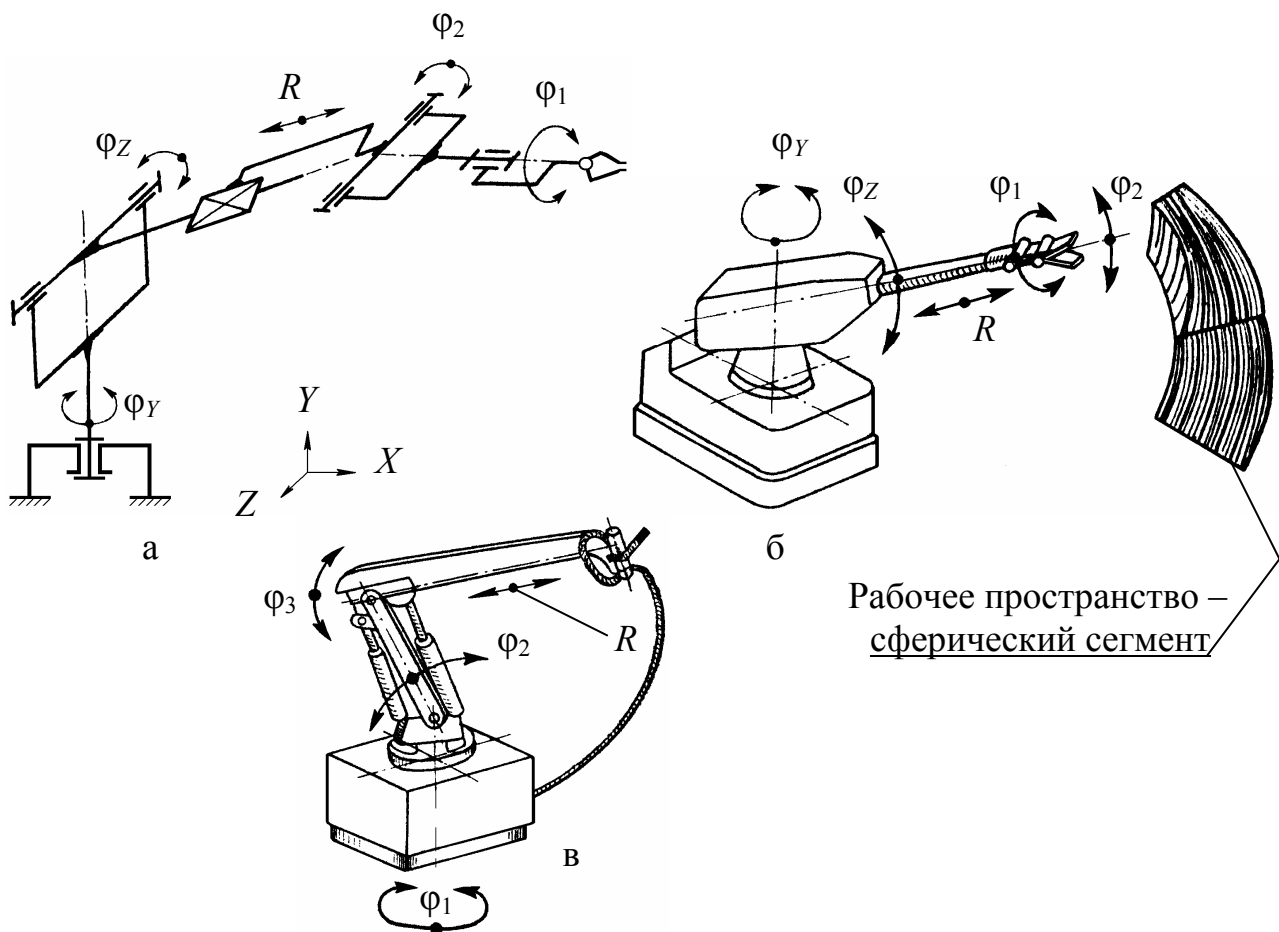


Рис. Б.3. Исполнение С:
а – кинематическая схема; б, в – конструктивные исполнения

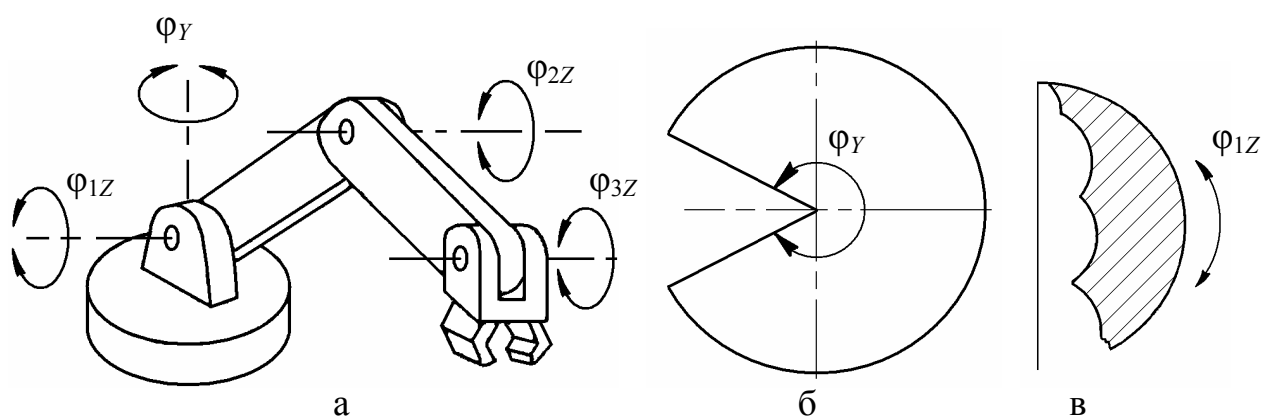


Рис. Б.4. Исполнение У:
а – кинематическая схема; б – рабочее пространство в плане;
в – рабочее пространство на боковом виде

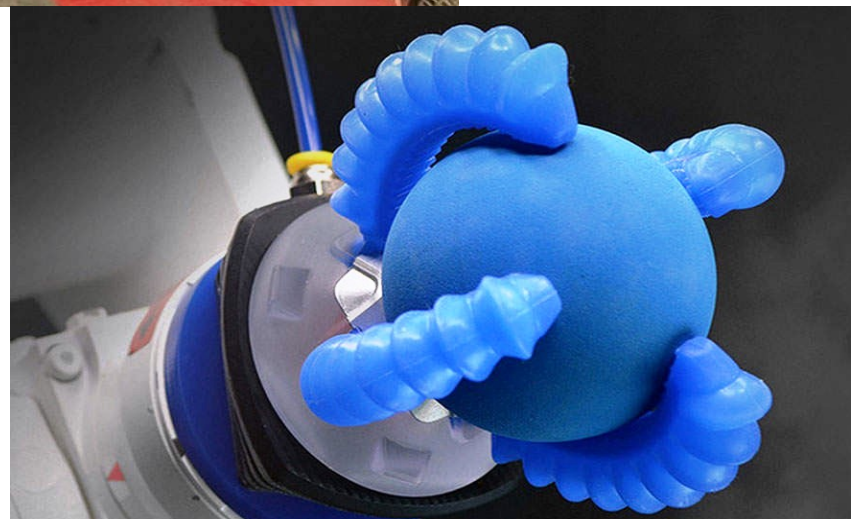
Многозвенные манипуляторы

В идеале эти исполнительные механизмы в трехмерном пространстве могут принимать любую форму; поэтому они состоят из множества элементов, способных перемещаться по отношению к соседним с ними элементам (*рис. Б.5, а, б*).

С появлением непосредственно управляемых манипуляторов такие многозвенные исполнительные механизмы могут в ближайшее время получить широкое применение. Это связано с тем обстоятельством, что существует значительное количество задач, которые не могут быть выполнены манипуляторами обычных типов, таких, например, как проход через ограниченную область типа люка или узкого лаза.



а



б

Рис. Б-5. Многозвенные схемы манипуляторов:

а – исполнительный механизм с множеством сочленений; *б* – гибкий схват

Маневренность манипулятора

В процессе выполнения различных операций с перемещением объектов наиболее часто манипуляторы имитируют движение рук человека. По этой причине структурная схема манипулятора должна обладать кинематическими характеристиками, аналогичными характеристиками рук человека.

Подвижности, имеющиеся у руки человека (без учета подвижности пальцев), можно обеспечить (в первом приближении) с помощью пространственной цепи, приведенной на рис. Б.6. Рука имеет в плече и запястье сферические вращательные пары III класса (сферические шарниры), в локте – вращательную пару V класса (плоский шарнир). Используя для оценки подвижности руки человека формулу Сомова-Малышева, без учета движения кисти (фаланг и пальцев руки), получим $W = 7$; с учетом работы механизма схватка $W = 8$; с учетом подвижности всех звеньев и в самой кисти $W = 27$ [2].

Этот результат достигается, в частности, тем, что скелет руки человека состоит из 30 костей, из которых 26 образуют кисть. Моторика руки уникальна. Ее строение позволяет перемещать предметы в пространстве несколькими способами*.

Опыт работы с неориентированными объектами показывает, что манипулятор должен иметь не менее 7 степеней подвижности. Три степени необходимы для перемещения инструмента в любую точку зоны обслуживания, еще три – для ориентации инструмента, например, электрододержателя, краскопульта и т. д. И, как минимум, одна степень свободы должна быть у схватка.

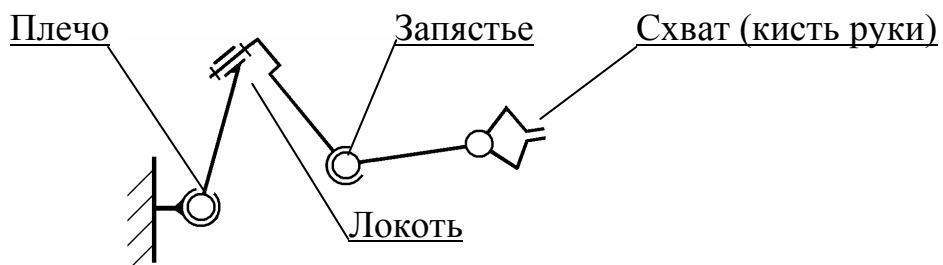


Рис. Б.6. Пространственная кинематическая цепь – аналог руки человека

Каждая степень подвижности управляет индивидуальным приводом; в результате их работы исполнительный орган (схват) получает вполне определенное направленное движение.

Напомним, что основное предназначение манипулятора – замена физических функций руки человека при выполнении монотонных, опасных и вредных работ, а также работ в среде, недопустимой для жизни человека.

Все движения манипулятора условно можно разделить на три основные группы движений: глобальные, региональные и локальные.

* <https://ru.wikipedia.org/wiki/Рука>

Продолжение прил. Б

Глобальные движения реализуются перемещением подвижного основания манипулятора. В стационарных установках глобальные движения отсутствуют.

Региональные движения – перемещения схвата манипулятора в различные зоны рабочего пространства, определяемого размерами звеньев механизма.

Локальные движения – перемещения схвата манипулятора, соизмеримые с его размерами (ориентация в малой зоне рабочего пространства).

В некоторых случаях глобальные и региональные движения носят названия *транспортирующих*, а локальные – *ориентирующих*.

Возможность совершать независимые движения по шести координатам принципиально обеспечивает минимально необходимые для промышленного робота манипуляции. Увеличение числа степеней подвижности свыше шести придает манипулятору ценное свойство *маневренности*.

Избыточные степени подвижности позволяют выбирать наиболее удобный вариант движения (манипуляция при наличии препятствий). Это свойство характерно для узко специализированных манипуляторов. В промышленных конструкциях увеличение числа управляемых координат связано со значительным усложнением всей конструкции, ведет к возрастанию ее стоимости и снижению точности позиционирования.

Большинство универсальных манипуляторов имеют (без учета движения схватывания) пять-шесть степеней подвижности и маневренность, равную нулю. Численность парка манипуляторов с $W > 7$ в настоящее время составляет не более 10 %.

Маневренность зависит от количества подвижных звеньев механизма, количества и класса применяемых кинематических пар и их расположения в кинематической цепочке. Она может быть достаточно легко устранена, если вместо одной пары *III* класса ввести в механизм пару *IV* класса – повысить номер класса одной из кинематических пар. При этом вместо схемы на *рис. Б.7, а* (аналог руки человека) получим схему *рис. Б.7, б*.

Манипулятор, представленный на *рис. Б.7, а*, имеет число степеней подвижности $W = 7$, подвижность при закрепленном схвате – *маневренность – m = 1*. В этом случае остается возможность его вращения относительно оси $k - k$.

Определим теперь, к примеру, маневренность манипулятора, изображенного на *рис. 7, б*. При этом имеем $n = 2$, $p_5 = 1$, $p_4 = 1$, $p_3 = 1$, $p_2 = 0$, $p_1 = 0$; тогда

$$m = W - 6 = 6 \cdot 2 - 5 \cdot 1 - 4 \cdot 1 - 3 \cdot 1 - 2 \cdot 0 - 1 \cdot 0 = 0.$$

Если в первом случае маневренность манипулятора равнялась единице, то во втором случае получим $m = 0$, т. е. исчезла возможность вращения относительно оси $k - k$.

Маневренность манипулятора зависит не только от класса, но и от взаимного расположения кинематических пар. На маневренность также влияет изменение числа подвижных звеньев механизма.

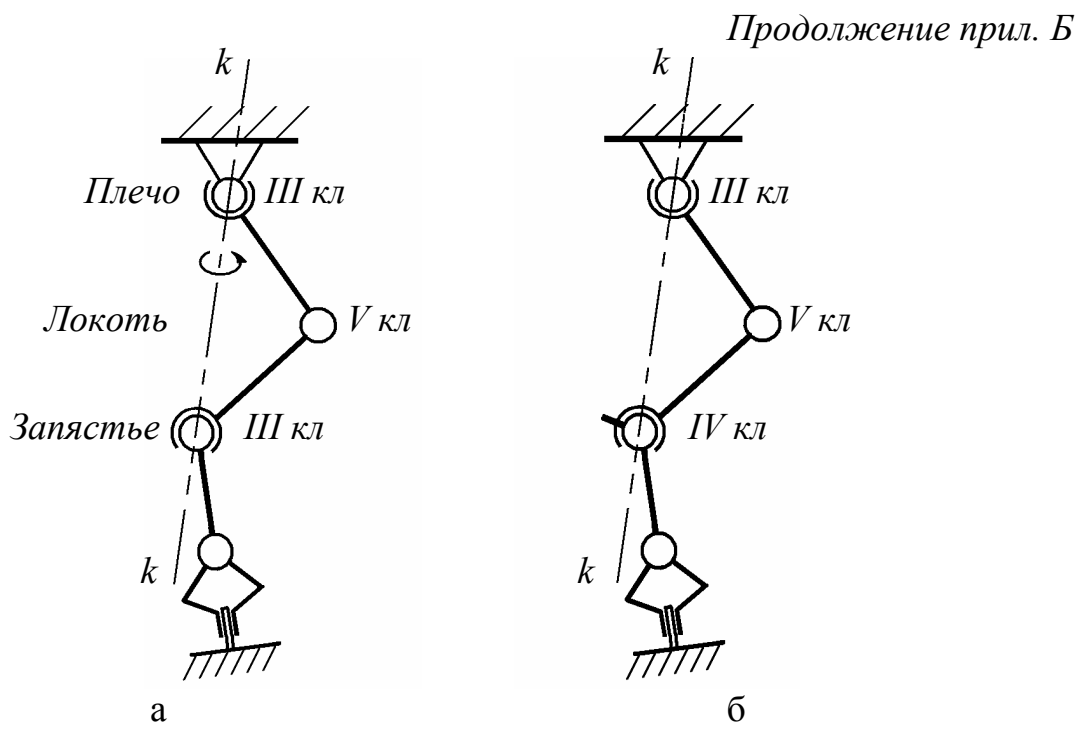


Рис. Б.7. Маневренность манипулятора

Конструктивно наиболее просто осуществить привод вращательных пар V класса. Кинематические цепи с парами $I - IV$ классов можно заменить эквивалентными им цепями ($W = \text{const}$) с парами только V класса. При этом, однако, существенно увеличивается общее число звеньев цепи (рис. Б.8).

Кинематическую схему механизма, содержащую только пары V класса, иногда называют *основной схемой*, а имеющую высшие пары – *эквивалентной*.

В качестве примера проиллюстрируем основную и эквивалентную схемы механизма манипулятора «Маскот», а также его конструктивное исполнение (рис. Б.9).

Для основной схемы (рис. Б.9, а) число степеней подвижности манипулятора:

$$W = 6 \cdot 6 - 5 \cdot 6 - 4 \cdot 0 - 3 \cdot 0 - 2 \cdot 0 - 1 \cdot 0 = 6;$$

маневренность общая:

$$m = \sum f_{\text{пр}} - 6 = (1p_5) - 6 = 1 \cdot 6 - 6 = W - 6 = 0;$$

маневренность в базовой плоскости (например, в плоскости YO_1X):

$$m_6 = \sum f_6 - 3 = 3 - 3 = 0.$$

Для эквивалентной схемы (рис. Б.9, б):

$$W = 6 \cdot 3 - 5 \cdot 0 - 4 \cdot 3 - 3 \cdot 0 - 2 \cdot 0 - 1 \cdot 0 = 6;$$

$$m = \sum f_{\text{пр}} - 6 = (2p_4) - 6 = 2 \cdot 3 - 6 = W - 6 = 0;$$

$$m_6 = \sum f_6 - 3 = 3 - 3 = 0.$$

Вывод о работоспособности схемы – вариант 4 на с. 7.

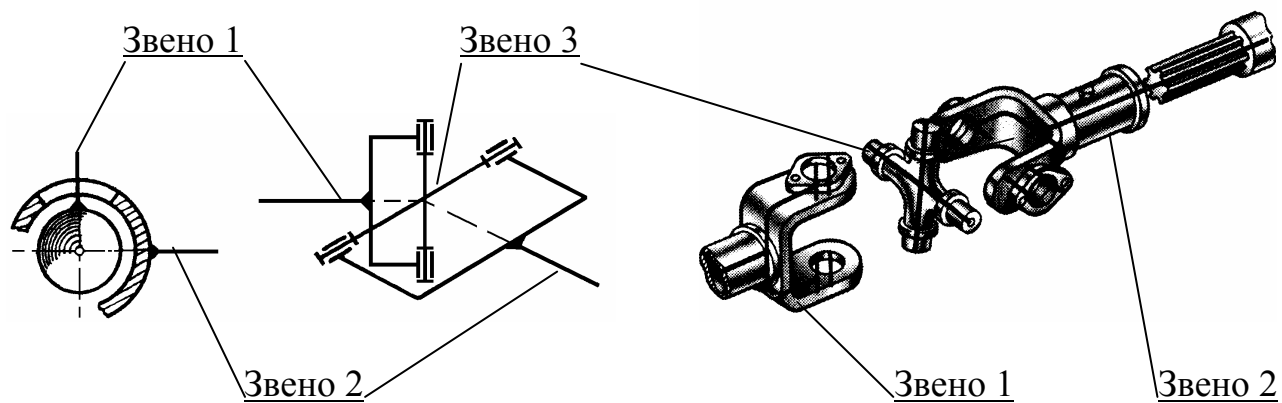


Рис. Б.8. Сферический шарнир с пальцем (p_4) и его конструктивное исполнение

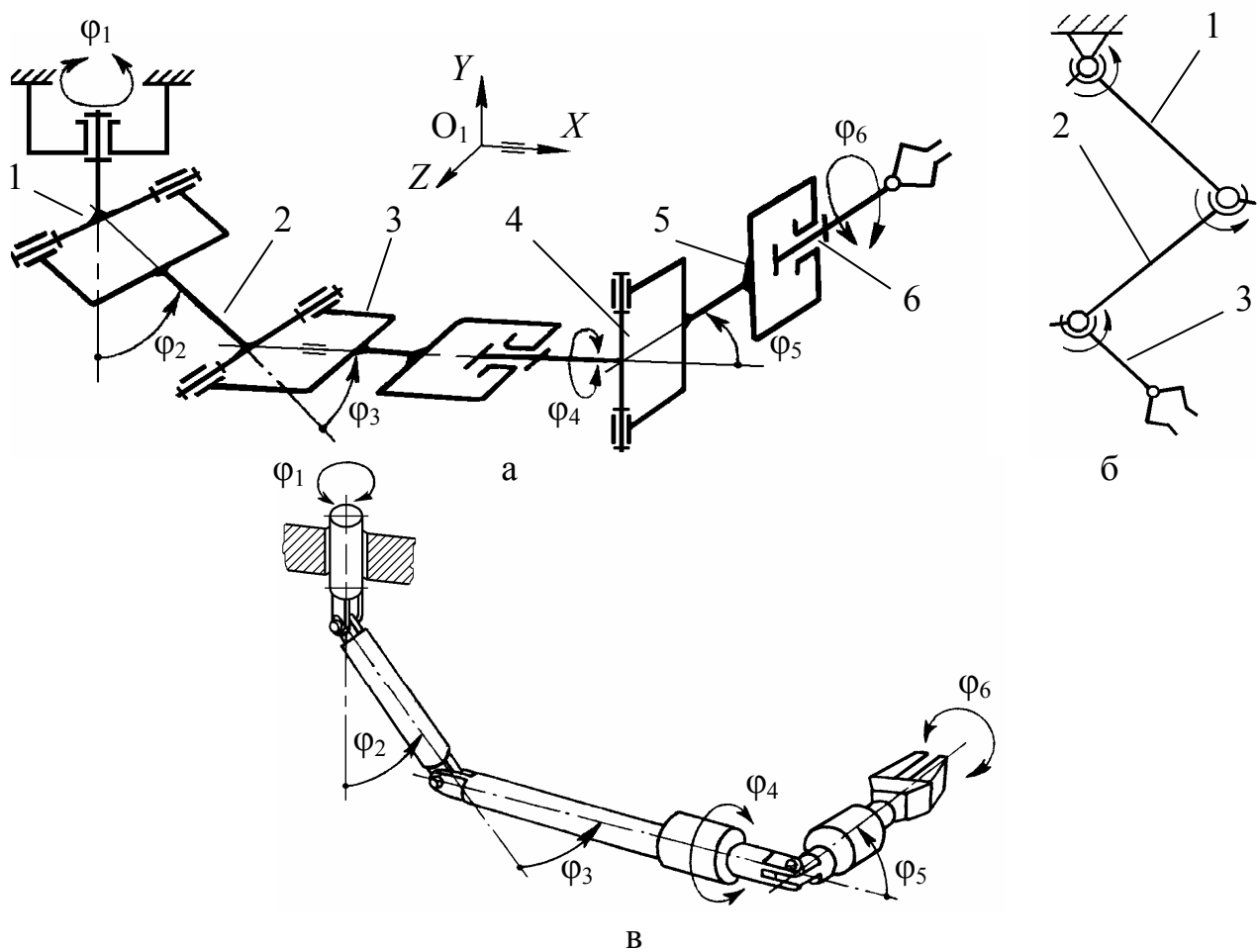


Рис. Б.9. Схемы манипулятора «Маскот»:
а – основная; б – эквивалентная; в – конструктивное исполнение

Сервис манипулятора

Незамкнутая кинематическая цепь манипулятора с несколькими степенями подвижности позволяет схвату занимать различные положения в некотором объеме рабочего пространства, ограниченном длинами звеньев и конструкциями кинематических пар.

Рабочим объемом манипулятора принято называть объем, ограниченный поверхностью, огибающей все возможные положения схвата. Классификация возможных движений руки манипулятора представлена в табл. Б.1 и показана на рис. Б.10.

Идеальная форма рабочего объема манипулятора – сфера. Движению схвата в полном рабочем объеме всегда препятствуют некоторые структурные и конструктивные ограничения в кинематических парах, габариты, характеристики приводов и т. д. Эти ограничения не позволяют подводить схват к заданной точке рабочего пространства под любым углом. В результате, в рабочем объеме появляются так называемые зоны сервиса (зоны обслуживания).

Для каждой точки рабочего объема манипулятора можно определить некоторый телесный угол ψ , внутри которого схват можно подвести к этой точке.

Угол ψ принято называть углом сервиса, а отношение $\Theta = \psi/4\pi$ – коэффициентом сервиса в данной точке. Здесь 4π – полный телесный угол.

Значения Θ может меняться от нуля (для точек, расположенных на границе рабочего пространства) до единицы (для точек зоны 100 % или полного сервиса), в которых схват совершает полное сферическое движение.

Полным коэффициентом сервиса манипулятора называется средняя величина коэффициента сервиса в рабочем пространстве.

Таблица Б.1. Классификация движений руки манипулятора

Номер класса движения схвата (класс КП)	Ограничения, накладываемые на движение схвата в рабочем объеме
I	Ограничения отсутствуют (рис. Б.9, а)
II	Имеется посторонний объект, который необходимо обойти произвольным образом (рис. Б.9, б)
III	Схват должен двигаться по заданной плоской или пространственной кривой (рис. Б.9, в)
IV	Имеется посторонний объект, а также необходимость движения схвата по заданной траектории (рис. Б.9, г)

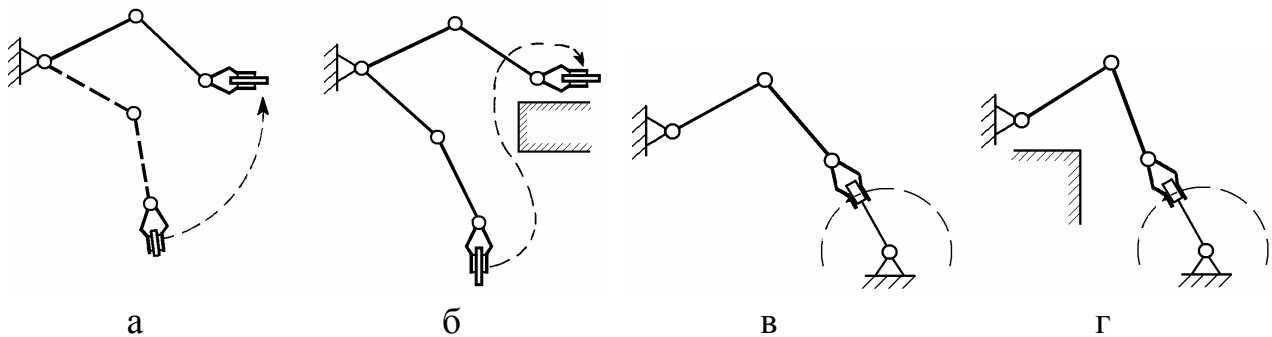


Рис. Б.10

У реального манипулятора с ограничениями на движение во всех шарнирах величина коэффициента сервиса всегда меньше единицы. Однако оценка кинематических свойств манипулятора с помощью коэффициента сервиса позволяет выбрать наиболее выгодный вариант конструкции.

В состав любого робота (от чешского *robo* – тяжелый подневольный труд) помимо исполнительного устройства, как правило, одного или нескольких манипуляторов – механических рук, входит система их автоматического управления. Эта система включает в себя чувствительные (сенсорные) устройства – «органы чувств» робота, устройство обработки и хранения информации (вычислитель) – «мозг» робота, устройство управления приводами манипуляторов, а также устройства передвижения (у подвижных роботов).

Робот – машина автоматического действия, которая объединяет свойства машин рабочих и информационных, являясь, таким образом, принципиально новым видом машин. Один из предшественников робота – автопилот, изобретенный в 1913 г.; устройство управляло полетом самолета. При отклонении самолета от заданного маршрута, автопилот вносил необходимые корректизы.

В наши дни роботы совершенствуются; многие адаптивные конструкции реагируют на изменение условий внешней среды и воспринимают словесные команды.

Гибкие автоматизированные производства (ГАПы), создаваемые на базе промышленных роботов, позволяют решать задачи автоматизации на предприятиях с широкой номенклатурой продукции, в том числе при мелкосерийном и штучном производстве. Копирующие манипуляторы (КМ), управляемые человеком-оператором, необходимы при выполнении работ с радиоактивными материалами. Подобные устройства незаменимы при выполнении работ в космическом пространстве, под водой, в химически агрессивных средах. Промышленные роботы и копирующие манипуляторы, таким образом, являются важными составными частями современного промышленного производства.

Распределение подобных механизмов по отраслям приведено в табл. Б.2.

Продолжение прил. Б

Одна из основных задач робототехники – замена рабочих, занятых в первую очередь на вспомогательных операциях. Притом, что стоимость вспомогательных операций в три-четыре раза ниже, чем основных, степень их автоматизации также почти вдвое ниже, чем основных. В результате, около половины рабочих, занятых в промышленности, работают на таких наименее престижных и не требующих высокой квалификации ручных операциях.

Высвобождение занятых на подсобных операциях рабочих за счет применения ПР является не только одним из основных путей решения проблемы трудовых ресурсов, но и наиболее рациональным их использованием, т. е. имеет большое социальное значение.

Роботизированные технологические комплексы, в которых ПР используются на вспомогательных операциях по обслуживанию основного технологического оборудования, как и сами ПК, классифицируются по виду основного технологического процесса или выполняющего его основного технологического оборудования. Основными по значению, таким образом, становятся ПР механообработки, штамповки, прессования пластмасс, горячей ковки и штамповки, литья под давлением, внутрицехового транспорта и т. д.

Т а б л и ц а Б.2. Распределение парка промышленных роботов (ПР) в мире по областям применения, % (основное производство)

Всего в мире	Сварка	Окраска, отделка	Сборка	Литье	Загрузо- разгрузочные работы	Прочие
	24,5	14	8,2	6	40,3	7

Распределение ПР по вспомогательным операциям в различных областях их применения в машиностроении следующее, %:

- механообработка – 33;
- штамповка холодная – 46;
- литье – 2;
- гальваника – 3;
- транспортирование – 10;
- прочие – 6.

Подобным образом ПР классифицируются в отраслях, где работы применяются на вспомогательных операциях и в немашиностроительных отраслях. Некоторые примеры этого приведены в табл. Б.3.

Продолжение прил. Б

**Т а б л и ц а Б.3. Примеры использования средств робототехники
в немашиностроительных областях**

Операция	Основные требования к манипуляторам
<i>Угольная и горнодобывающая промышленности</i>	
Установка крепи в забое	Подвижный робот с техническим зрением и двумя манипуляторами
Бурение шурпов	Многоманипуляторный подвижный робот-бурильщик с навигационной системой
Отделение угля от породы	Робот с техническим зрением и другими средствами чувствования
Погрузка горной массы. Погрузо-разгрузочные работы в обогатительном производстве	Подвижный робот-погрузчик
<i>Металлургия</i>	
Загрузка чушек и металломолома в печь	Манипулятор с ручным управлением
Ремонт оgneупорной кладки печей, домен. Пробивка корки шлака и устранение анодного эффекта при электролизе алюминия. Извлечение штырей в электролизерах и их перестановка. Укладка и обвязка пакетов чушек, их погрузка и доставка	Подвижный робот
<i>Сельское хозяйство</i>	
Уборка овощей и фруктов. Прополка и прореживание овощей	Робот с техническим зрением для работы в комплексе с прореживателем
Обслуживание теплиц	Подвижный робот (для выращивания рассады, уборки продукции и т. д.)
Товарная доработка плодовоовощной продукции (сортировка и загрузка в контейнеры). Обслуживание свиноводческих комплексов и комплексов для крупного рогатого скота.	—

Продолжение табл. Б.3

Операция	Основные требования к манипуляторам
<i>Сельское хозяйство</i>	
Дойка и санитарная обработка вымени коров. Стрижка овец. Погрузо-разгрузочные работы сельскохозяйственной продукции, сена, силюса, удобрений и т. д. Вождение тракторов и других сельскохозяйственных машин	— Робот-тракторист
<i>Лесозаготовительное производство</i>	
Валочно-пакетирующие работы для лесосек	Наличие специализированного манипулятора
<i>Деревообрабатывающее производство</i>	
Погрузочные работы	Работы, аналогичные применяемым в машиностроительном производстве
<i>Строительная промышленность</i>	
Укладка кирпичей. Сортировка кирпичей на конвейере. Загрузка и выгрузка печей кирпичом	Робот-каменщик. Робот с техническим зрением и дальномерной системой.
Облицовочные работы	Робот для монтажа облицовочных плиток (в том числе по определенному рисунку)
Монтаж металлоконструкций (зданий, мостов, резервуаров и т. п.). Окрасочные работы	Робот-монтажник-высотник. Робот-маляр
<i>Легкая и пищевая промышленность</i>	
Обслуживание основного технологического оборудования (прядильных и швейных машин, агрегатов, формирующих синтетические нити, прессов горячей вулканизации, печей для обжига керамических изделий и т. д.). Внутрицеховые погрузо-разгрузочные и транспортные работы. Раскрой кожи и других материалов. Укладка в тару конфет, овощей (при консервировании) и т. д. Погрузо-разгрузочные работы в холодильниках	—

Окончание табл. Б.3

Операция	Основные требования к манипуляторам
<i>Транспорт</i>	
Погрузо-разгрузочные работы. Регламентное обслуживание железнодорожных путей. Шагающие транспортные машины	—
<i>Медицина</i>	
Хирургия (микрохирургия, дистанционная хирургия, стерильная хирургия, хирургия внутренних органов с введением внутрь манипулятора или мини-робота). Протезирование конечностей. Уход за больными и инвалидами. Помощь при передвижении слепых людей, при реабилитации инвалидов и больных	Робот-сиделка. Робот-поводырь, робот для массажа, физических упражнений и тренировки
<i>Сфера обслуживания</i>	
Погрузо-разгрузочные работы. Уборка помещений. Мойка окон высотных зданий. Уход за детьми	Робот-домохозяйка. Робот-нянька и игрушка
<i>Специальные виды работ</i>	
Подводные, космические и иные	—

Некоторые примеры использования средств робототехники в различных отраслях промышленности, сельского хозяйства и в быту приведены на *рис. Б.11*.

Примечание. Подробнее с этой тематикой можно ознакомиться, например, на сайте:

<https://yandex.ru/images/search?text=%D0%BF%D1%80%D0%B8%D0%BC%D0%B5%D0%BD%D0%B5%D0%BD%D0%B8%D0%BC%D0%BD%D0%BD%D0%BB%D1%8F%D1%82%D0%BE%D1%80%D0%BE%D0%B2&stype=image&lr=2&noreask=1&parent-reqid=1490016912116029-6505259763207174396478002-sas1-1439&source=wiz>

Окончание прил. Б

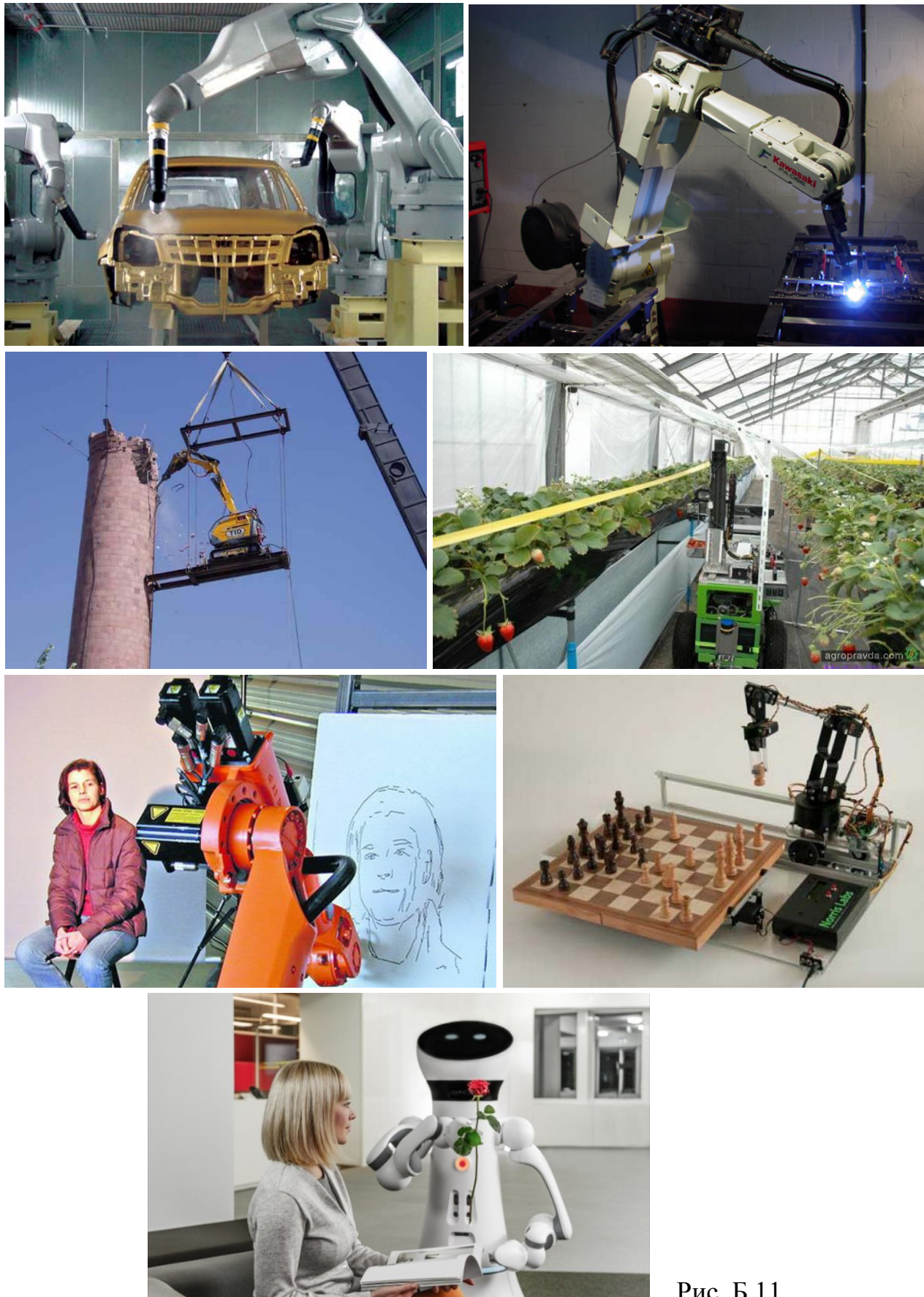


Рис. Б.11

Приложение В

КУЛАЧКОВЫЕ МЕХАНИЗМЫ. ОБЩИЕ СВЕДЕНИЯ

При проектировании машин механизмы подбирают так, чтобы выходное звено (звенья) совершало движение по заданному закону. Рабочие процессы многих машин вызывают необходимость иметь в их составе механизмы, движение выходных звеньев которых следует выполнять с паузами и согласовывать с движением других механизмов. Наиболее надежными, простыми и компактными для выполнения такой задачи являются *кулачковые механизмы* (КМ); воспроизведение движения выходного звена – *толкателя (коромысла)* – они реализуют теоретически точно. Их входное звено называется *кулачком*.

Эти механизмы обладают широкими возможностями выполнения сложных законов движения выходных звеньев. Кулачковыми механизмами можно осуществить точный выстой (остановку толкателя при движущемся кулачке) или несколько выстоев на определенных участках цикла работы машины, что практически исключается при работе рычажных механизмов. Заданная функция положения реализуется профилированием рабочих поверхностей кулачка. Чем сложнее реализуемый закон движения, тем ощутимее преимущества кулачковых механизмов в сравнении с рычажными аналогами.

Все кулачковые механизмы по характеру движения точек звеньев можно разделить на две основные группы: механизмы *плоские* и *пространственные*. Проектирование и изготовление пространственных механизмов более сложно в сравнении с плоскими, но их применение часто упрощает общую кинематическую схему автоматического устройства, так как при этом отпадает необходимость применения дополнительных пространственных передач.

В машинах-автоматах с жесткими связями кулачковые механизмы реализуют «жесткое» программирование выполняемого технологического процесса. В машинах-автоматах с электрическими, гидравлическими и пневматическими связями кулачковые механизмы часто выполняют функции управления с помощью следящих устройств. Однако, несмотря на явные преимущества, ограниченное применение кулачковых механизмов связано с рядом их недостатков.

Кинематическая пара «кулак-толкатель» относится к «высшим» парам, где контакт между соприкасающимися звеньями теоретически происходит по линии или в точке, но практически с учетом упругости звеньев – по площадке. При этом в зоне контакта возникают значительные удельные давления и, следовательно, большой износ поверхностей; поэтому рабочая поверхность кулачка подлежит упрочнению химическим, химико-термическим либо механическим способами.

Основным требованием качественной работы механизмов является непрерывный контакт в кинематической паре «кулак-толкатель». При работе кулачковых механизмов в высокоскоростных машинах возможна потеря контакта (отрыв) за счет значительных величин сил инерции при движении толкателя. Это обстоятельство ведет к нарушению технологического цикла, а следовательно, к снижению качества конечного продукта.

Такой недостаток можно исправить оптимальным выбором закона ускорения толкателя, при котором следует учитывать колебательные процессы, происходящие в кулачковых механизмах. Выбор закона движения толкателя достаточно часто осуществляется с помощью метода безразмерных характеристических функций [9].

Из многообразия сведений о кулачковых механизмах остановимся лишь на исследовании геометрии профиля вращающегося кулачка (анализе или синтезе закона движения толкателя). Это в свою очередь связано с одной из тем выполняемого студентами курсового проекта (работы) «Синтез профиля кулачка и выбор оптимальных конструктивных размеров кулачкового механизма при заданных в безразмерной форме законах ускорения толкателя»*.

Кулачковый механизм представляет собой трехзвенный механизм, состоящий из стойки, входного (ведущего) звена – кулачка и выходного (ведомого) звена – толкателя (*рис. В.1*).

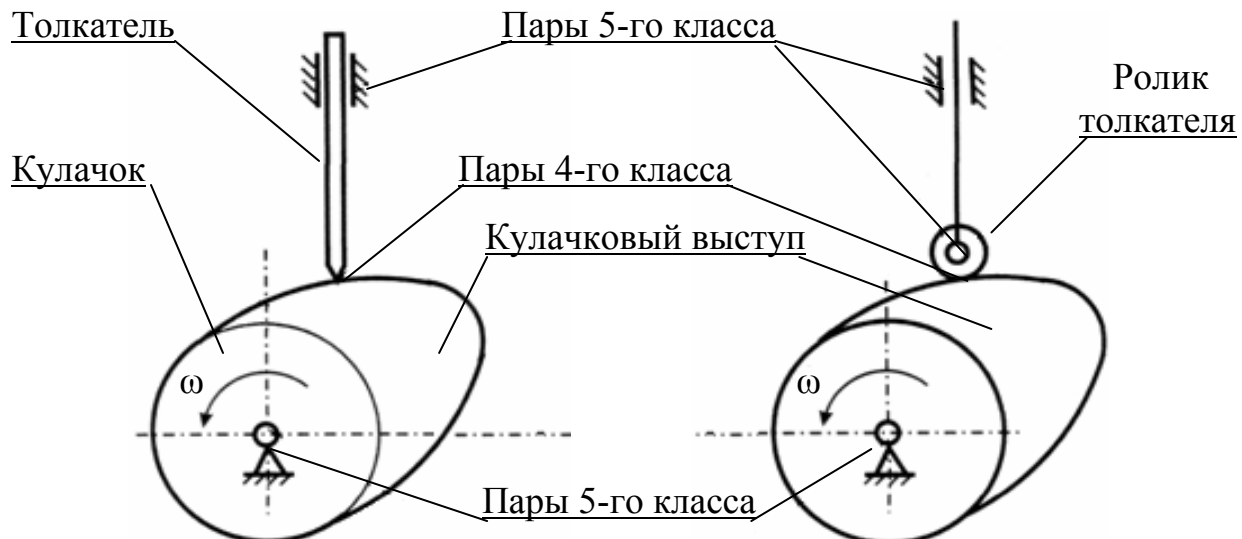


Рис. В.1. Кулачковые механизмы общего вида

На *рис. В.1* представлены механизмы с поступательным движением толкателя, оканчивающегося острием или роликом (пассивным звеном).

Степень подвижности кулачкового механизма без учета присутствия ролика определяется формулой Чебышева.

$$W = 3n - 2p_5 - 1p_4 = 3 \cdot 2 - 2 \cdot 2 - 1 \cdot 1 = 1,$$

где n – число подвижных звеньев ($n = 2$);

p_5 – число кинематических пар 5-го класса – подшипниковых опор ($p_5 = 2$);

p_4 – число кинематических пар 4-го класса – высших пар ($p_4 = 1$).

* http://tpm.sutd.ru/docs/tmm/metodi/sintez_kp.pdf

Продолжение прил. В

Согласно теории построения машин механизм (в том числе кулачковый), у которого $W = 1$, имеет одновременно только одно входное звено. На рис. В.2 приведены различные типы подобных кулачковых механизмов.

Ролик кулачкового механизма – пассивное звено, служащее только для уменьшения потерь на трение в p_4 (увеличение КПД). Учет подвижности ролика в формуле Чебышева даст заведомо неверный результат.

Профиль кулачка выполняется по некоторой криволинейной поверхности, задающей движение толкателю. Одной из самых простых и наименее трудоемких в изготовлении подобных криволинейных поверхностей кулачка является окружность (эксцентрик – окружность со смещенным центром ее вращения).

Кулачковые механизмы могут быть плоскими (рис. В.2, а – ж) и пространственными (рис. В.2, з). При этом толкатель кулачкового механизма может совершать следующие виды движения:

- поступательное,
- вращательное,
- сложное (плоское или пространственное).

На рис. В.3 представлены механизмы с поступательным движением толкателя (рис. В.3, а, в, г, д, ж, з, к) и вращательным движением толкателя – коромысла (рис. В.3, б, е, и).

Примечание. Подробнее с этой тематикой можно ознакомиться, например, на сайте:

<https://yandex.ru/images/search?text=%D0%BA%D1%83%D0%BB%D0%B0%D1%87%D0%BA%D0%BE%D0%B2%D1%8B%D0%B5%20%D0%BC%D0%B5%D1%85%D0%B0%D0%BD%D0%BA%D0%BC%D0%BC%D1%8B%2C%20%D1%80%D0%B8%D8%D1%81%D1%83%D0%BD%D0%BA%D0%B8&stype=image&lr=2&noreask=1&source=wiz>

Для исключения отскока выходного звена (толкателя) постоянный контакт толкателя и кулачка в высшей КП (p_4) обеспечивается ее силовым или кинематическим замыканием. Силовое замыкание реализуется действием пружины, силой тяжести или давлением жидкости (рис. В.2, а, б, г, д; рис. В.3, и). Кинематическое – установкой контркулака (рис. В.2, ж), толкателя в виде рамки (рис. В.2, в) или пазовых кулачков (рис. В.2, е, з; рис. В.3, б, в, г, д, е, к).

На рис. В.3, л приведен многокулачковый (распределительный) вал ДВС.

Вибративность любого механизма определяется колебательной нагрузкой, передаваемой со стороны этого механизма на привод машины и через опоры не ее корпус. Снижение вибративности механической системы и динамических ошибок – одна из центральных проблем динамического синтеза, решение которой во многом определяет производительность и техническое совершенство машинного оборудования. Одно из направлений решения этой проблемы связано с рациональным синтезом законов движения, обладающих оптимальными свойствами, выбранных с учетом динамического критерия.

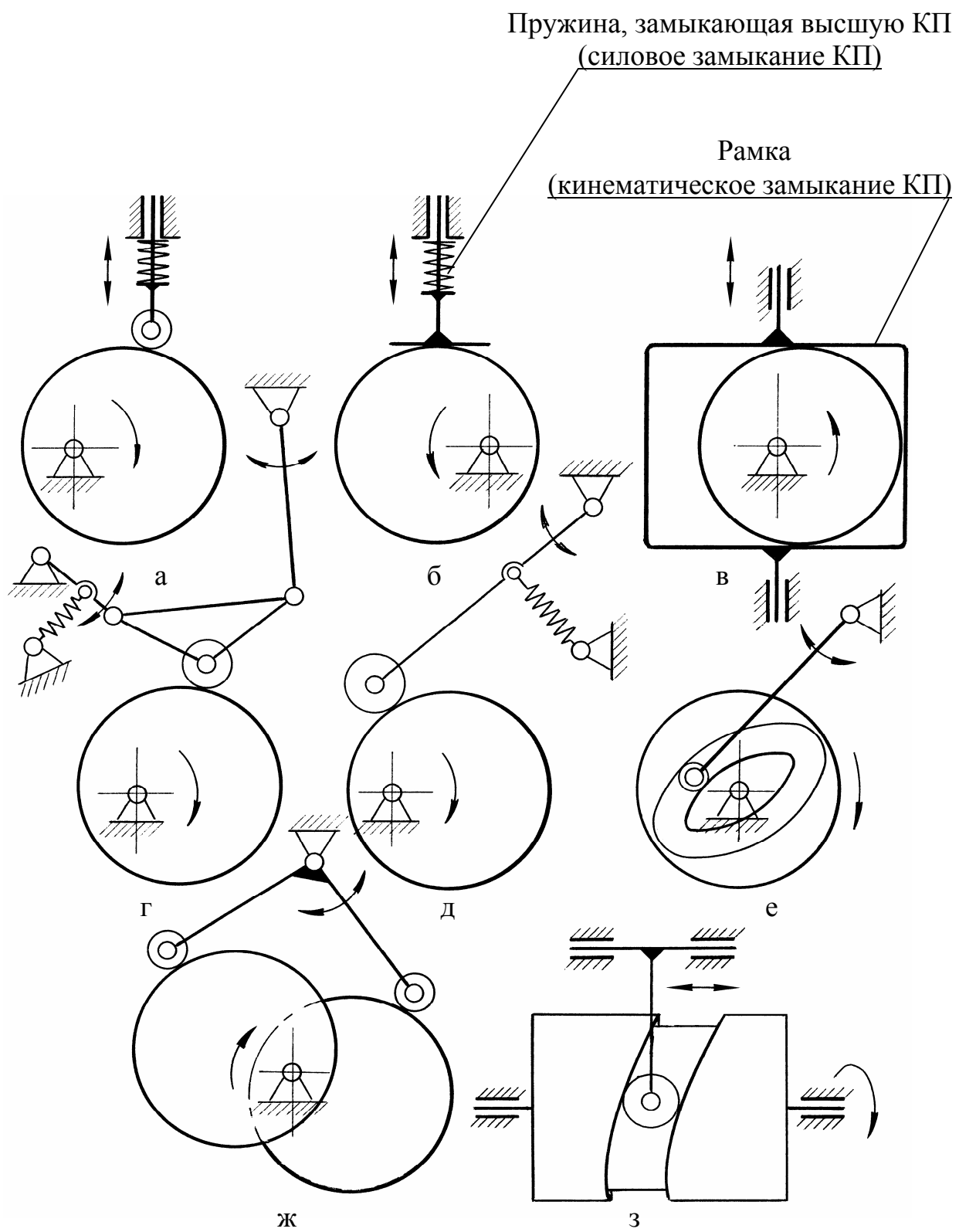


Рис. В.2. Основные типы кулачковых механизмов

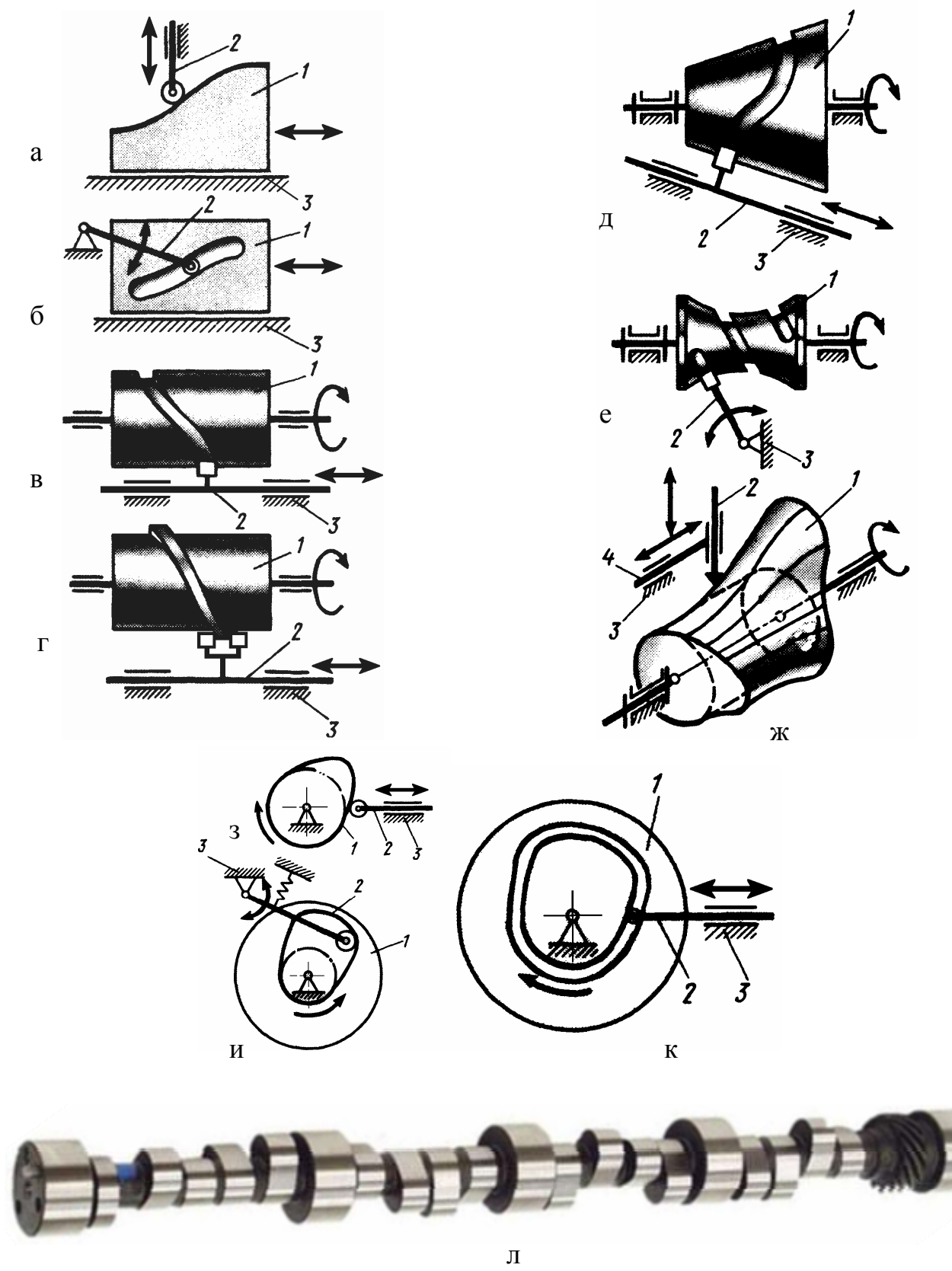


Рис. В.3. Модели кулачковых механизмов и кулачковый вал;
1 – кулачок, 2 – толкатель; 3 – стойка, 4 – направляющая толкателя

ОСНОВНЫЕ ОПРЕДЕЛЕНИЯ И ОБОЗНАЧЕНИЯ В КУЛАЧКОВЫХ МЕХАНИЗМАХ

Далее приведем основные определения и обозначения, используемые при анализе и синтезе кулачковых механизмов.

Ввиду значительного многообразия существующих конструкций в данной работе подробно рассмотрим лишь два типа плоских кулачковых механизмов: механизмы с поступательным и вращательным движениями толкателя.

Механизмы с поступательным толкателем – центральные и внецентренные.

Центральный кулачковый механизм – механизм с поступательно движущимся толкателем, при этом линия движения толкателя проходит через ось вращения кулачка (*рис. В.4*).

Нецентральный (внецентренный) кулачковый механизм – механизм с поступательным движением толкателя, при этом линия движения толкателя смещена в какую-либо сторону относительно оси вращения кулачка (*рис. В.5*). Это смещение называется *эксцентризитетом* и обозначается символом «*e*». В координатных осях эксцентризитет может принимать как положительное, так и отрицательное значения.

Закон движения толкателя определяется профилем кулачка. Если толкатель оканчивается роликом, то различают *практический* и *теоретический* профили кулачка:

практический профиль – кривая, ограничивающая внешнюю поверхность тела кулачка, на которой происходит контакт толкателя (ролика толкателя) с кулачком;

теоретический профиль – кривая, проходящая через центр ролика и проведенная эквидистантно (равноудалено) по нормали к практическому профилю на расстоянии, равном радиусу ролика (ρ).

Начальная шайба – окружность с наименьшим радиусом профиля кулачка, проведенная из его центра вращения;

r_0 – радиус начальной шайбы *практического профиля*;

$R_0 = r_0 + \rho$ – радиус начальной шайбы *теоретического профиля*, где ρ – радиус ролика.

Профиль кулачка, обеспечивающий закон движения толкателя, делится на участки с соответствующими профильными углами.

Профильные углы:

- угол профиля удаления ($\gamma_{уд}$) – под действием этого профиля происходит удаление толкателя из нулевого в крайнее дальнее положение;
- угол профиля дальнего выстоя ($\gamma_{дст}$) – под действием этого профиля происходит выстой толкателя в крайнем дальнем положении. Кривая профиля

Продолжение прил. В

представляет собой дугу, проведенную из центра вращения кулачка;

- угол профиля возврата ($\gamma_{\text{воз}}$) – под действием этого профиля толкатель возвращается в нулевое (исходное) положение;

- угол профиля ближнего выстоя ($\gamma_{\text{бст}}$) – под действием этого профиля толкатель выстаивает в нулевом положении. Кривая профиля представляет собой дугу окружности радиуса начальной шайбы.

Сумма профильных углов (γ) равна 2π или 360^0 :

$$\gamma_{\text{уд}} + \gamma_{\text{дст}} + \gamma_{\text{воз}} + \gamma_{\text{бст}} = 360^0.$$

При изготовлении профиля кулачка, в частности, на станках с ЧПУ в расчет принимаются его профильные углы (γ); при анализе и синтезе механизма – *поворотные углы* (ϕ) кулачка.

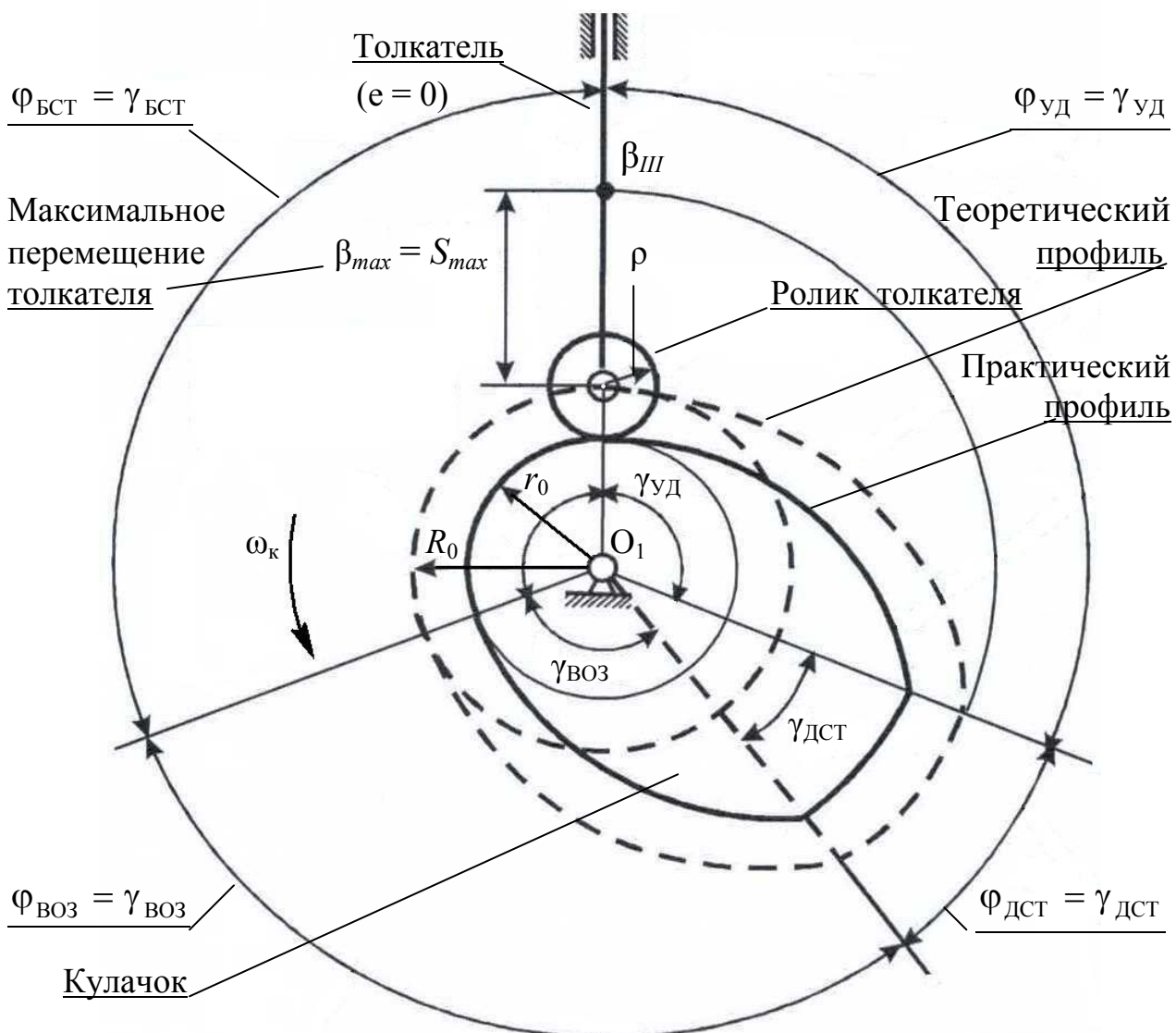


Рис. В.4. Центральный кулачковый механизм

Поворотные углы:

- *поворотный угол удаления* ($\varphi_{уд}$) – при повороте кулачка на этот угол происходит удаление толкателя из нулевого положения в крайнее дальнее;
- *поворотный угол дальнего выстоя* ($\varphi_{дст}$) – при повороте кулачка на этот угол происходит выстой толкателя в крайнем дальнем положении;
- *поворотный угол возвращения* ($\varphi_{воз}$) – при повороте кулачка на этот угол толкатель возвращается в нулевое (исходное) положение;
- *поворотный угол ближнего выстоя* ($\varphi_{бст}$) – при повороте кулачка на этот угол толкатель выстаивает в нулевом положении.

Сумма поворотных углов так же, как и углов профильных, равна 360^0 :

$$\varphi_{уд} + \varphi_{дст} + \varphi_{воз} + \varphi_{бст} = 360^0.$$

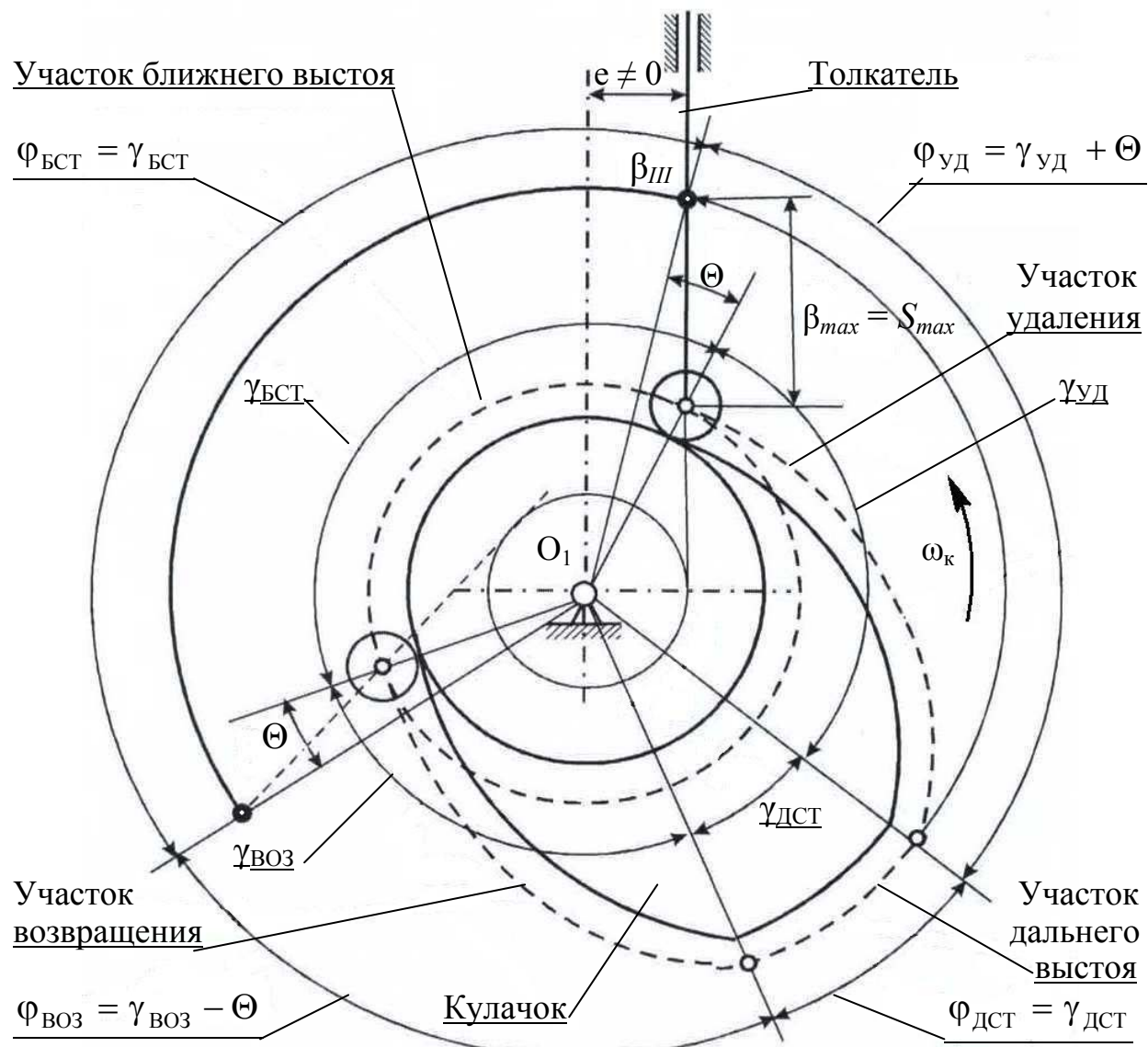


Рис. В.5. Нецентральный (внецентренный) кулачковый механизм

Продолжение прил. В

В *центральном* кулачковом механизме поворотные и профильные углы равны между собой

$$\Phi_{уд} = \gamma_{уд}, \quad \Phi_{дст} = \gamma_{дст}, \quad \Phi_{воз} = \gamma_{воз}, \quad \Phi_{бст} = \gamma_{бст}.$$

Во *внекентрном* кулачковом механизме поворотные и профильные углы на участках удаления и возвращения отличаются на некоторый дополнительный угол Θ (*рис. В.5*).

При положительном эксцентризите (*рис. В.21, а*)

$$\Phi_{уд} = \gamma_{уд} + \Theta, \quad \Phi_{воз} = \gamma_{воз} - \Theta.$$

При отрицательном эксцентризите (*рис. В.21, б*)

$$\Phi_{уд} = \gamma_{уд} - \Theta, \quad \Phi_{воз} = \gamma_{воз} + \Theta.$$

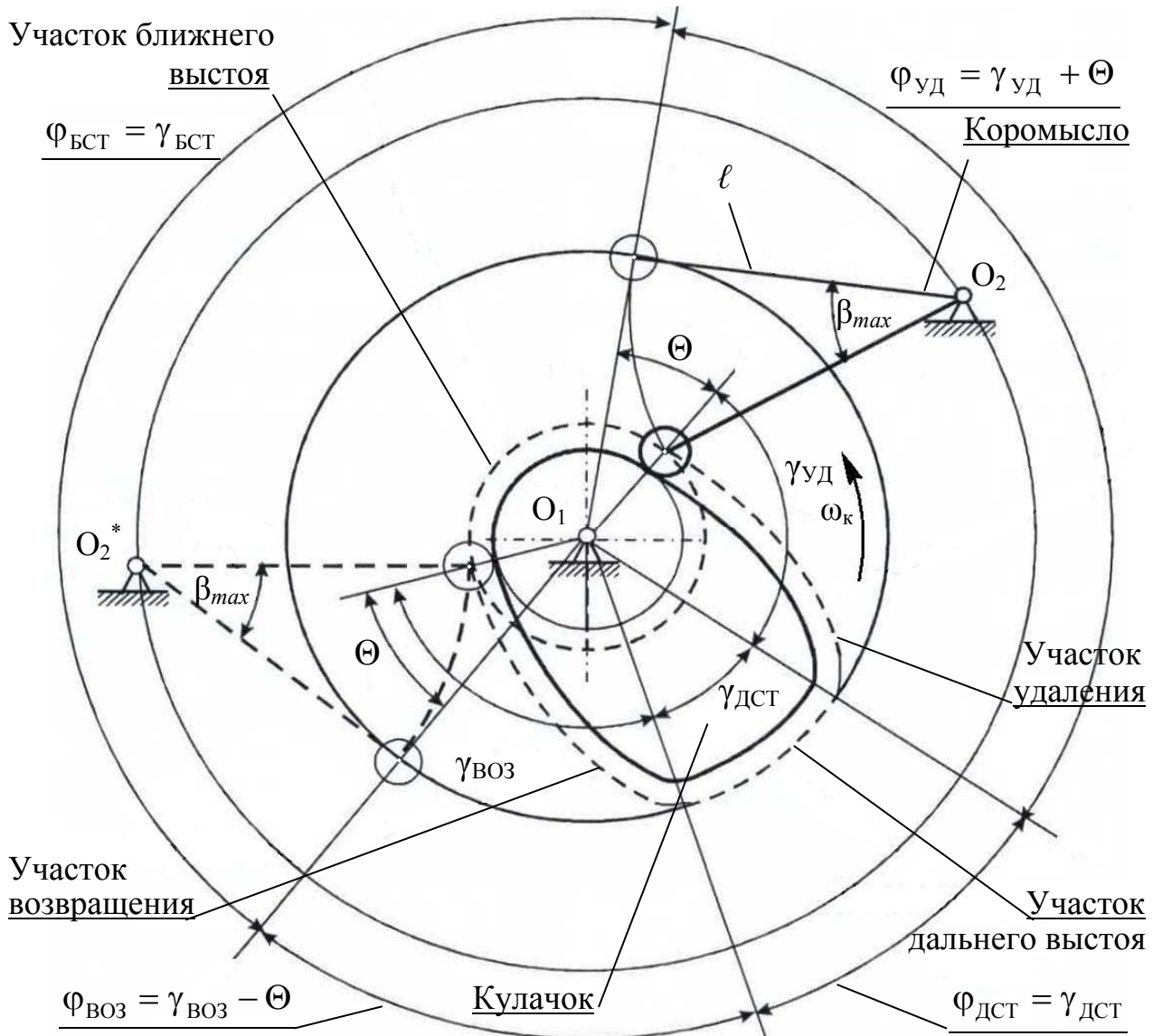


Рис. В.6. Коромысловый кулачковый механизм

Продолжение прил. В

На участках дальнего и ближнего выстоев поворотные и профильные углы равны между собой

$$\Phi_{ДСТ} = \gamma_{ДСТ}, \quad \Phi_{БСТ} = \gamma_{БСТ}.$$

Коромысловый кулачковый механизм – механизм с вращающимся на некоторый угол вокруг O_2 толкателем – коромыслом (рис. В.6). В коромысловом механизме поворотные и профильные углы также отличаются на дополнительный угол θ .

СТРУКТУРА ЗАКОНА ДВИЖЕНИЯ И БЕЗРАЗМЕРНЫЕ ХАРАКТЕРИСТИКИ

Инженерная практика в настоящее время широко использует всевозможные аналитические методы синтеза (исследования) кулачковых механизмов, опирающиеся, в том числе, на использование аппарата безразмерных характеристик (безразмерных характеристических функций) законов движения.

Применение этого метода существенно облегчает процесс выполнения расчетов и дает возможность сопоставлять кинематические и динамические свойства различных законов движения выходного звена.

Функция положения $\Pi = \Pi(\phi)$ кулачкового механизма связывает перемещение толкателя β с углом поворота кулачка ϕ (рис. В.7)

$$\beta = \Pi(\phi). \quad (\text{B.1})$$

При поступательном движении толкателя координата β имеет размерность длины, при коромысловом толкателе – размерность угла его поворота. Продифференцируем (В.1) по времени:

$$\frac{d\beta}{dt} = \frac{d\Pi}{d\phi} \frac{d\phi}{dt}, \quad \frac{d^2\beta}{dt^2} = \frac{d^2\Pi}{d\phi^2} \left[\frac{d\phi}{dt} \right]^2 + \frac{d\Pi}{d\phi} \frac{d^2\phi}{dt^2},$$

где $\frac{d\beta}{dt} = \dot{\beta}$ и $\frac{d^2\beta}{dt^2} = \ddot{\beta}$ – соответственно скорость и ускорение толкателя;

$\frac{d\Pi}{d\phi} = \Pi'(\phi)$ и $\frac{d^2\Pi}{d\phi^2} = \Pi''(\phi)$ – соответственно первая и вторая передаточные функции.

Как и в рычажных механизмах, $\Pi'(\phi)$ обозначается как *аналог скорости*, а $\Pi''(\phi)$ – как *аналог ускорения*.

При установившемся движении угловая скорость кулачка $\omega = \frac{d\phi}{dt}$ является величиной постоянной, поэтому скорость и ускорение толкателя изменяются по законам, определяемым функциями $\Pi'(\phi)$ и $\Pi''(\phi)$, т. е.

$$\dot{\beta}_2 = V_2 = \omega \Pi'(\phi); \quad \ddot{\beta}_2 = a_2^\tau = \omega^2 \Pi''(\phi).$$

Синтез закона движения выходного звена предполагает определение функций $\Pi(\phi)$, $\Pi'(\phi)$ и $\Pi''(\phi)$, на основании которых появляется возможность рассчитать и построить профиль кулачка, обеспечивающий заданное программное перемещение толкателя.

Перемещение толкателя может соответствовать прямому ($\Pi'(\phi) > 0$) или обратному ($\Pi'(\phi) < 0$) ходам. Алгоритмы расчетов прямого и обратного ходов идентичны, расчетные формулы – также, поэтому подробно остановимся лишь на прямом ходе толкателя.

В настоящее время в кулачковом механизме наиболее прогрессивным считается трехпериодная структура закона перемещения ведомого звена $\beta(\phi)$. Она предполагает наличие последовательности трех участков – *разбега* толкателя (1), его *равномерного движения* (2) – постоянной скорости и *выбега* (3) выходного звена. При этом подразумевается отсутствие ударов на границах этих участков.

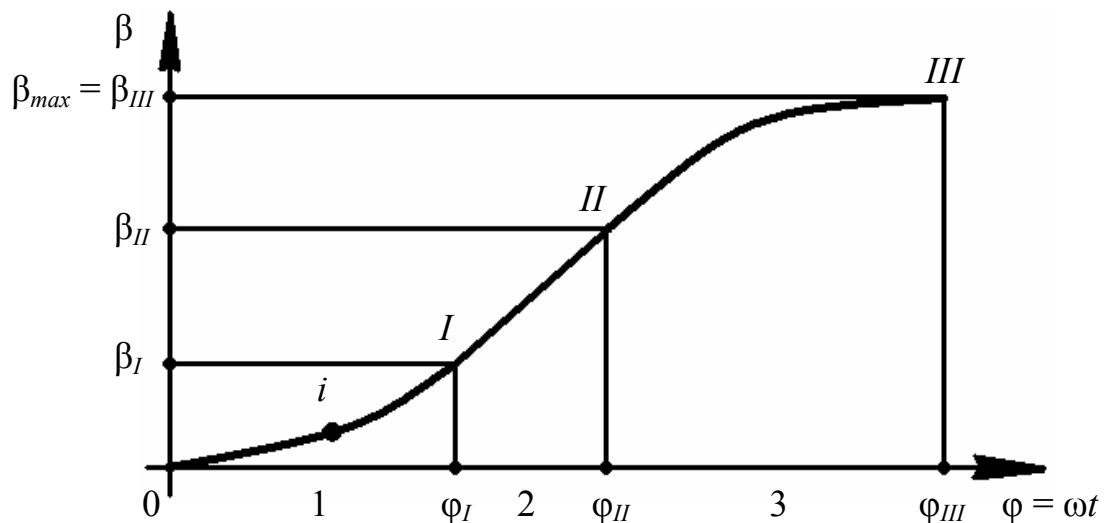


Рис. В.7. Трехпериодный закон перемещения толкателя (коромысла)

Участок разбега

Здесь $0 \leq \beta_1 \leq \beta_I$ и $0 \leq \phi_1 \leq \phi_I$. $\Pi'(\phi) > 0$, $\Pi''(\phi) > 0$.

Рассмотрим некоторое текущее значение β на участке разбега, соответствующее, например, точке i (рис. В.7).

Далее запишем

$$\frac{\phi_i}{\phi_I} = \tau_1; \quad \frac{\beta_i}{\beta_I} = \Theta_1(\tau_1) \text{ – безразмерная характеристическая функция (типовое безразмерное перемещение) – закон движения толкателя на участке его разбега, изменяющаяся по координатным осям в пределах от 0 до 1 (рис. В.8).}$$

Параметр $\tau_1 \in [0;1]$ – безразмерное время движения на участке разбега.

Продолжение прил. В

При $\phi = 0$ получим $\beta = 0$; при $\phi = \phi_1$ имеем $\beta = \beta_1$. По этой причине при изменении τ в пределах от 0 до 1 функция $\Theta_1(\tau_1)$ меняется в тех же пределах.

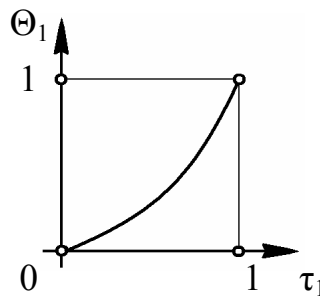


Рис. В.8. Безразмерное перемещение ведомого звена

Если функция $\Theta_1(\tau_1)$ задана, текущее перемещение толкателя $\beta_i = \beta_1$ и соответствующий ему угол поворота кулачка $\phi_i = \phi_1$ определим из выражений:

$$\beta_1 = \beta_I \Theta_1(\tau_1); \quad \phi_1 = \varphi_I \tau_1.$$

Для определения передаточных функций $\Pi'(\phi_1)$ и $\Pi''(\phi_1)$ продифференцируем $\beta_1 = \beta_I \Theta_1(\tau_1)$ как сложную функцию:

$$\begin{aligned} \Pi'(\phi_1) &= \frac{d\beta_1}{d\phi_1} = \beta_I \frac{d\Theta_1}{d\tau_1} \frac{d\tau_1}{d\phi_1} = \frac{\beta_I}{\varphi_I} \Theta'_1(\tau_1); \\ \Pi''(\phi_1) &= \frac{d\Pi'}{d\phi_1} = \frac{\beta_I}{\varphi_I} \frac{d\Theta'_1}{d\tau_1} \frac{d\tau_1}{d\phi_1} = \frac{\beta_I}{\varphi_I^2} \Theta''_1(\tau_1). \end{aligned}$$

Функция $\Theta'_1(\tau_1)$ монотонно возрастает от 0 до $\Theta'_{1\max} = \Theta'_1(1)$.

Максимальное значение $\Theta'_{1\max}$ называют **пиком безразмерной скорости**. Эта постоянная показывает, во сколько раз максимальная скорость на данном участке больше ее среднего значения на этом же участке.

Типовой график безразмерной скорости представлен на рис. В.9.

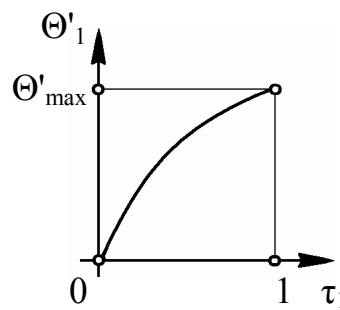


Рис. В.9. Безразмерная скорость движения ведомого звена

По аналогии постоянную $\Theta''_{1\max}$ называют **пиком безразмерного ускорения**.

Эта постоянная показывает, во сколько раз максимальное ускорение на данном участке больше его среднего значения на этом же участке.

Продолжение прил. В

Расположение максимального значения (пика) Θ''_{max} относительно границ участка может быть различным и зависит от вида выбранной безразмерной характеристики. Разновидности законов безразмерного ускорения выходного звена достаточно многообразны; некоторые их варианты представлены на с. 107 – 108 и на рис. В.10.

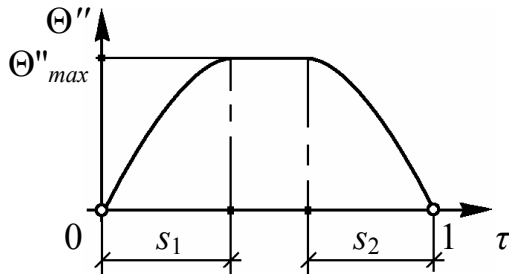


Рис. В.10. Безразмерное ускорение (модифицированная трапеция общего вида) при движении ведомого звена

Участок постоянной скорости

Здесь $\beta_I \leq \beta_2 \leq \beta_{II}$ и $\phi_I \leq \phi_2 \leq \phi_{II}$ (рис. В.7).

Рассуждая аналогично предыдущему, запишем

$$\begin{aligned} \beta_2 &= \beta_I + \frac{\beta_{II} - \beta_I}{\phi_{II} - \phi_I} (\phi_2 - \phi_I); \quad \Pi'(\phi_2) = \frac{d\beta_2}{d\phi_2} = \frac{\beta_{II} - \beta_I}{\phi_{II} - \phi_I} = \text{const}; \\ \Pi''(\phi_2) &= 0. \end{aligned}$$

Участок выбега

Здесь $\beta_{II} \leq \beta_3 \leq \beta_{III}$ и $\phi_{II} \leq \phi_3 \leq \phi_{III}$. (рис. В.7).

На этом участке промежуточная точка проходит отрезок кривой от II до III.

В качестве безразмерных характеристик примем

$$\frac{\beta_{III} - \beta_3}{\beta_{III} - \beta_{II}} = \Theta_3(\tau_3), \quad \frac{\phi_{III} - \phi_3}{\phi_{III} - \phi_{II}} = \tau_3.$$

Далее получим $\beta_3 = \beta_{III} - (\beta_{III} - \beta_{II})\Theta_3(\tau_3)$, $\phi_3 = \phi_{III} - (\phi_{III} - \phi_{II})\tau_3$,

$$\Pi'(\phi_3) = \frac{d\beta_3}{d\phi_3} = \frac{\beta_{III} - \beta_{II}}{\phi_{III} - \phi_{II}} \Theta'_3(\tau_3),$$

$$\Pi''(\phi_3) = \frac{d^2\beta_3}{d\phi_3^2} = -\frac{\beta_{III} - \beta_{II}}{(\phi_{III} - \phi_{II})^2} \Theta''_3(\tau_3).$$

Смысл функций Θ_3 , Θ'_3 , Θ''_3 и Θ_1 , Θ'_1 , Θ''_1 между собой одинаков, поэтому подробный анализ, проведенный для участка разбега, относится и к выбегу.

Функциями положения и передаточными функциями на участках разбега и выбега управляет безразмерная характеристика $\Theta(\tau)$ и ее производные $\Theta'(\tau)$ и $\Theta''(\tau)$.

$\Theta''(\tau)$. Множители, стоящие перед ними, исполняют роль масштабных коэффициентов. Безразмерные характеристические функции можно задавать аналитически или в виде таблиц, что существенно облегчает процесс синтеза искомого профиля кулачка.

Анализ работы кулачковых механизмов позволяет сделать вывод, что во многих случаях проектирования (синтеза) профиля кулачка хорошие результаты дает использование закона ускорений в виде «*модифицированной трапеции общего вида*» (см. также Фурье-анализ). Для этого типа закона движения график функции $\Theta''(\tau)$ представляет собой трапецию, боковые стороны которой образованы отрезками синусоиды (рис. В.10).

Проекции боковых сторон определяются параметрами s_1 и s_2 , с помощью которых можно эффективно управлять законом программного движения.

Варьирование числовых значений абсцисс этих синусоид s_1 и s_2 позволяет синтезировать множество рациональных видов безразмерных характеристик.

При $s_1 = 0$ и $s_2 = 0$ имеем прямоугольный закон ускорений; при $s_1 = s_2 = 0,5$ – синусоидальный; при $s_1 = 0$ и $s_2 = 1$ – косинусоидальный. В настоящее время для быстроходных механизмов большое распространение получил закон равнобокой трапеции (например, при $s_1 = s_2 = 0,25$).

При абсолютно жестких звеньях наиболее рациональным законом изменения ускорения является прямоугольный закон, так как ему соответствует наименьшее значение $\Theta''_{\max} = 2$. В реальных механизмах звенья всегда обладают определенными упругими свойствами. Скачкообразное изменение ускорения (его разрыв на некоторую величину) – **мягкий удар** – возбуждает свободные колебания системы звеньев как упругой системы, в результате чего закон изменения ускорения может оказаться значительно искаженным (рис. В.11).

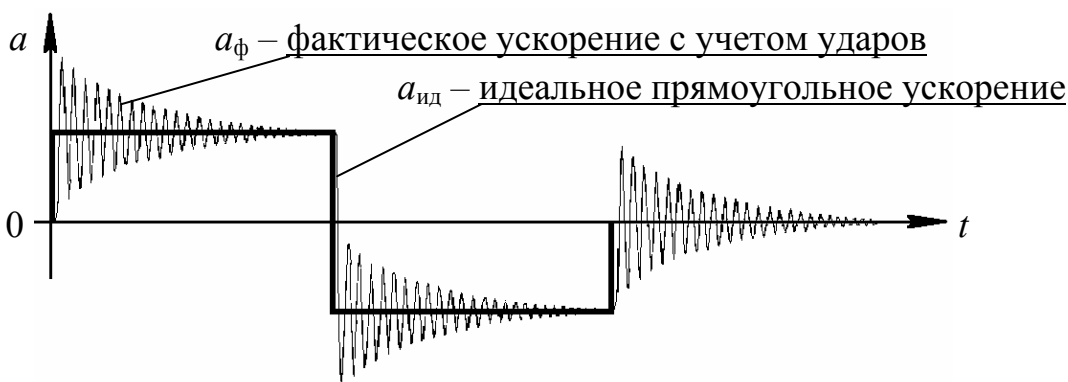


Рис. В.11

При скачках скорости (**жестких ударах**) дополнительные ускорения достигают еще более значительных величин.

Динамический эффект при наличии жесткого удара возрастает с ростом угловой скорости входного звена и величины собственной частоты системы. Жесткие удары могут наблюдаться в механизме, например, при его переключении.

Продолжение прил. В

ниях, связанных с выборкой зазоров, подключению дополнительных кинематических цепей с помощью муфт, а также при фиксации каких-либо промежуточных положений выходного звена.

При скачке ускорения (*мягких ударах*) в начале движения максимальное ускорение возрастает практически *в два раза*, а при скачке, связанном с изменением знака, оно может возрасти *втрое*. Представленные цифры ориентировочные; они не учитывают эффект от сопровождающих колебаний, возбуждаемых в предыдущих циклах движения. В быстроходных механизмах текстильных машин (машин легкой промышленности) следует использовать законы движения без мягких и, тем более, без жестких ударов, т. е. при s_1 и $s_2 > 0$.

Ввиду того, что при малых значениях s_i плавное изменение ускорения толкателя на практике эквивалентно мягкому удару, с запасом следует принимать время прохождения $s_i \rightarrow \Delta t > (2 \div 3)T$, где $T = 2\pi/k$ – период свободных колебаний. В дополнение к этому в диаграмме ускорения ведомого звена следует, по возможности, устранять скачки производных более высоких порядков.

При всем этом нельзя предложить закон движения, который был бы оптимальным во всех случаях независимо от частотных характеристик механизма.

Множество вариантов синтеза, связанное с различными значениями максимальных перемещений толкателя, углами поворота кулачка с разными соотношениями между участками движения и скоростными режимами, отражается постоянными множителями, стоящими перед безразмерными функциями.

СВОЙСТВА БЕЗРАЗМЕРНЫХ ХАРАКТЕРИСТИК

На участках разбега и выбега толкателя его движение задается в виде некоторого закона безразмерного ускорения. Константы безразмерных характеристик $\Theta'_1{}_{max}$ и $\Theta''_1{}_{max}$ – основные параметры,ываемые при синтезе оптимальных законов движения. Значениями $\Theta'_1{}_{max}$ и $\Theta''_3{}_{max}$ характеризуются максимальные скорости; значениями $\Theta''_1{}_{max}$ и $\Theta''_3{}_{max}$ – максимальные ускорения толкателя на разбеге и выбеге.

Постоянные, заложенные в безразмерных характеристиках, определяются из свойств (теорем) 1 и 2.

Свойство 1

Пик безразмерной скорости Θ'_{max} обратно пропорционален значению $1 - \tau_{Ц}$, где $\tau_{Ц}$ – абсцисса центра тяжести эпюры безразмерного ускорения, т. е.

$$\Theta'_{max} = \frac{1}{1 - \tau_{Ц}}.$$

Следствия

- для всех симметричных эпюр безразмерных ускорений пик безразмерной скорости $\Theta'_{max} = 2$, так как эпюры $\Theta''(\tau)$ такого вида всегда имеют $\tau_{Ц} = 0,5$;

- несимметричным эпюрам безразмерных ускорений соответствуют значения Θ'_{max} , отличные от 2, где при $\tau_{Ц} < 0,5$ $\Theta'_{max} < 2$. При $\tau_{Ц} > 0,5$ $\Theta'_{max} > 2$.

Свойство 2

Пик безразмерного ускорения Θ''_{max} прямо пропорционален значению пика безразмерной скорости Θ'_{max} и обратно пропорционален коэффициенту заполнения (μ), т. е.

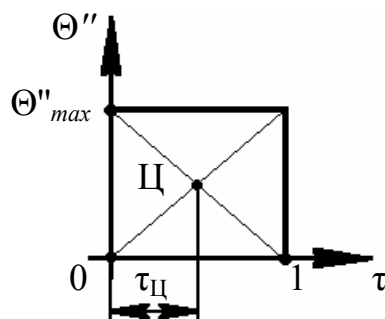
$$\Theta''_{max} = \frac{\Theta'_{max}}{\mu} = \frac{1}{\mu(1 - \tau_{\Pi})}, \quad \mu = \frac{\Theta'_{max}}{\Theta''_{max}} = \frac{F_{\Phi}}{F_{\text{оп}}},$$

где F_{Φ} – фактическая площадь фигуры безразмерного ускорения $\Theta''(\tau)$;

$F_{\text{оп}}$ – площадь прямоугольника, описанного вокруг фигуры безразмерного ускорения (см. примеры).

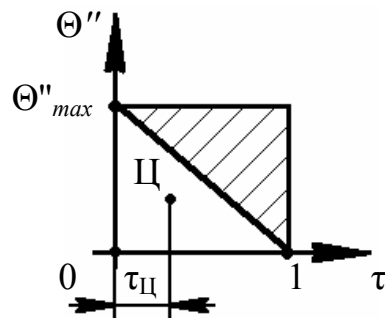
ПРИМЕРЫ

- *прямоугольный закон изменения безразмерного ускорения*



Здесь $\tau_{\Pi} = 0,5$, $\mu = 1$, откуда $\Theta'_{max} = 2$; $\Theta''_{max} = 2$ (с. 105).

- *треугольный закон изменения безразмерного ускорения*



Здесь $\tau_{\Pi} = 1/3$, $\mu = 1/2$, откуда $\Theta'_{max} = 1/(1-1/3) = 3/2$; $\Theta''_{max} = 3/(2 \cdot 0,5) = 3$.

- *косинусоидальный закон изменения безразмерного ускорения*

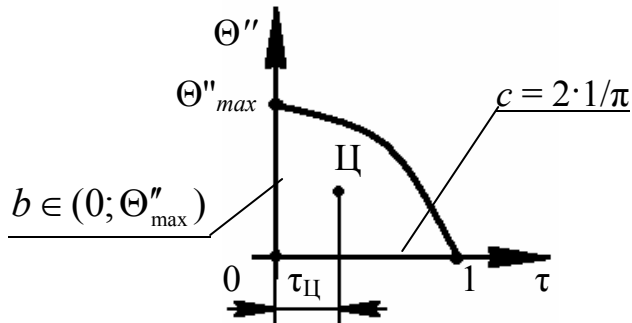
Примечание. Если какая-либо площадка ограничена функцией \sin или \cos , аргумент которой изменяется в пределах от 0 до $\pi/2$, то параметры этой площадки определяются соотношениями

$$F_{\Phi} = 2ab/\pi; \quad c = 2a/\pi,$$

где a – длина основания эпюры ($a = 1$); b – наибольшая ордината ($b = \Theta''_{max}$);

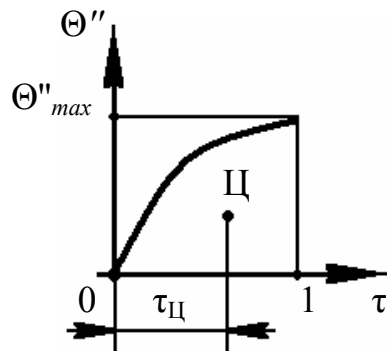
c – расстояние по оси 0- τ от центра тяжести эпюры (Π) до точки, в которой ордината кривой обращается в 0. Координата центра тяжести такой фигуры определим из

$$\tau_{\Pi} = 1 - \frac{2}{\pi}.$$



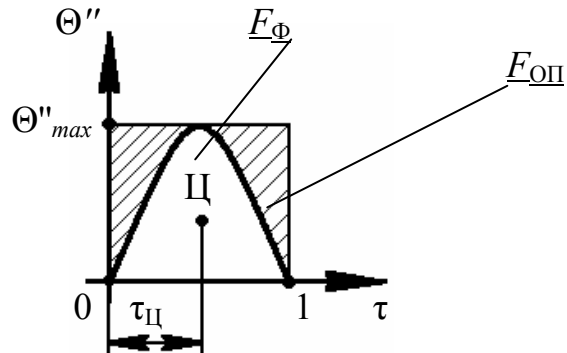
Здесь $\tau_{\Pi} = 1 - c = 1 - (2 \cdot 1/\pi)$; $F = 2 \cdot 1 \cdot \Theta''_{max}/\pi$, откуда $\Theta'_{max} = \pi/2 = 1,5708$;
 $\Theta''_{max} = \pi^2/4 = 2,467$.

- полусинусоидальный закон изменения безразмерного ускорения



Здесь $\tau_{\Pi} = 2 \cdot 1/\pi$; $F = 2 \cdot 1 \cdot \Theta''_{max}/\pi$, откуда $\Theta'_{max} = 2,752$; $\Theta''_{max} = 4,323$.

- синусоидальный закон изменения безразмерного ускорения



Здесь $\tau_{\Pi} = 0,5$; $\Theta'_{max} = 2$; $\Theta''_{max} = \pi$.

СИНТЕЗ ЗАКОНА ПЕРЕМЕЩЕНИЯ ТОЛКАТЕЛЯ

Кроме безразмерных характеристик $\Theta_1(\tau_1)$ и $\Theta_3(\tau_3)$ закон движения толкателя характеризуется *шестью* структурными параметрами: $\beta_I, \varphi_I, \beta_{II}, \varphi_{II}, \beta_{III}, \varphi_{III}$. Параметры эти не могут задаваться произвольно – они в свою очередь связаны двумя условиями безударного перехода на границах участка постоянной скорости:

$$\frac{\beta_I}{\varphi_I} \Theta'_{1max} = \frac{\beta_{II} - \beta_I}{\varphi_{II} - \varphi_I} \quad \text{и} \quad \frac{\beta_{II} - \beta_I}{\varphi_{II} - \varphi_I} = \frac{\beta_{III} - \beta_{II}}{\varphi_{III} - \varphi_{II}} \Theta'_{3max}.$$

При синтезе закона движения толкателя можно задать, таким образом, всего *четыре* дополнительных условия, диктуемые требованиями конкретной задачи. Эти условия достаточно разнообразны и здесь имеет смысл ограничиться только тремя типовыми задачами, имеющими наибольшее применение в инженерной практике. Решая эти типовые задачи, рассмотрим синтез закона движения толкателя лишь для рабочего (прямого) хода.

Задача 1

Дано: $\beta_{III}, \varphi_{III}, \Theta_1(\tau_1), \Theta_3(\tau_3), \delta\beta = \frac{\beta_{II} - \beta_I}{\beta_{III}}, f = \frac{\varphi_{III} - \varphi_{II}}{\varphi_I}$,

где β_{III} – максимальное перемещение (ход) толкателя при его поступательном движении, задаваемое в линейных размерах, мм; при вращении толкателя (коромысла) – в угловых размерах, угл. градусах, рад;

φ_{III} – угол поворота кулачка, соответствующий этому максимальному перемещению толкателя;

$\Theta_1(\tau_1), \Theta_3(\tau_3)$ – безразмерные характеристики на участках разбега и выбега.

Параметр $\delta\beta$ – безразмерная функция, определяющая относительную величину участка постоянной скорости (*долю постоянной скорости по перемещению*).

Параметр f – *коэффициент асимметрии* – отношение углов поворота кулачка (или времени) выбега и разбега. Если $f = 1$, то разбег и выбег происходят за одно и то же время.

Помимо заданных условий для исключения возможных жестких ударов при $\varphi = \varphi_I$ и $\varphi = \varphi_{II}$ необходимо обеспечить непрерывность закона движения и его производных.

Требуется определить структурные параметры $\beta_I, \varphi_I, \beta_{II}, \varphi_{II}$.

Для решения *задачи 1* обозначим

$$v_1 = \frac{\Theta'_{1max}}{\Theta'_{3max}}.$$

Используя предыдущее соотношение, получим расчетные зависимости

Продолжение прил. В

$$\beta_I = \frac{(1-\delta\beta)\beta_{III}}{1+f\nu_1}, \quad \beta_{II} = \frac{(1+f\nu_1\delta\beta)\beta_{III}}{1+f\nu_1}.$$

Параметр $\delta\phi$ – доля *постоянной скорости* – безразмерная характеристика участка постоянной скорости (*по углу поворота кулачка*)

$$\delta\phi = \frac{\Phi_{II} - \Phi_I}{\Phi_{III}} = \frac{(1+\nu_1 f)\delta\beta}{(1+\nu_1 f)\delta\beta + (1-\delta\beta)(1+f)\Theta'_{1\ max}},$$

откуда

$$\Phi_I = \frac{(1-\delta\phi)\Phi_{III}}{1+f} \quad \text{и} \quad \Phi_{II} = \frac{(1+f\delta\phi)\Phi_{III}}{1+f}.$$

Порядок выполнения расчетов:

- определить $\delta\phi$;
- определить $\beta_I, \Phi_I, \beta_{II}, \Phi_{II}$.

Задача 2

Дано: $\beta_{III}, \Phi_{III}, \Theta_1(\tau_1), \Theta_3(\tau_3), \delta\beta = \frac{\beta_{II} - \beta_I}{\beta_{III}}, \lambda = \frac{\ddot{\beta}_{1\ max}}{|\ddot{\beta}_{3\ max}|} = \frac{\Pi''_{1\ max}}{|\Pi''_{3\ max}|}$,

где $\ddot{\beta}_{1\ max} (\Pi''_{1\ max})$ и $|\ddot{\beta}_{3\ max} (\Pi''_{3\ max})|$ – максимальные значения ускорений (второй передаточной функции) на разбеге и выбеге.

Требуется определить структурные параметры $\beta_I, \Phi_I, \beta_{II}, \Phi_{II}$.

Для решения *задачи 2* обозначим

$$\nu_2 = \frac{\Theta''_{1\ max}}{\Theta''_{3\ max}} \quad \text{и} \quad f = \frac{\Phi_{III} - \Phi_{II}}{\Phi_I} = \lambda \frac{\nu_1}{\nu_2}.$$

Теперь *задача 2* сводится к условиям *задачи 1*.

Порядок выполнения расчетов:

- определить ν_1 и ν_2 ;
- определить f ;
- определить $\delta\phi$;
- определить $\beta_I, \Phi_I, \beta_{II}, \Phi_{II}$.

Задача 3

Дано: $\beta_{III}, \Phi_{III}, \lambda, \Pi'_{max} = \frac{1}{K}$.

Требуется определить структурные параметры $\beta_I, \Phi_I, \beta_{II}, \Phi_{II}$.

Эта задача синтеза возникает в случае, когда толкатель должен перемещаться на некотором участке с заданной постоянной скоростью или с заданным постоянным соотношением скоростей входного и выходного звеньев.

Продолжение прил. В

Пример – синтез профиля кулачка в механизме раскладчика нити, синтез профилей кулачков в механизмах металлорежущих станков-автоматов и т. д.

Решение *задачи 3* выполним по следующему алгоритму:

- при заданном значении Π'_{max} фиксируем угол наклона прямой I-II (рис. B.7), отображающий функцию перемещения $\beta(\phi)$ на участке постоянной скорости.

При этом $\frac{\Delta\beta}{\Delta\phi} = \Pi'_{max} = \frac{1}{K}$, где $\Delta\beta = \beta_{II} - \beta_I$, $\Delta\phi = \phi_{II} - \phi_I$.

Отсюда $\Delta\phi = K\Delta\beta$. Обозначим далее $U = \frac{1 + \lambda v_1/v_2}{1 + \lambda v_1^2/v_2}$.

При $\lambda \rightarrow 0$ имеем $U \rightarrow 1$, а при $\lambda \rightarrow \infty$ функция U стремится к значению $1/v_1$.

В тех случаях, когда на разбеге и выбеге приняты безразмерные характеристики с одинаковыми значениями Θ'_{max} (например, $\Theta'_{1max} = \Theta'_{3max}$ или $v_1 = 1$), функция U независимо от значения λ обращается в 1.

- далее запишем

$$\delta\phi = \frac{\Delta\phi}{\phi_{III}} = \frac{\beta_{III} K \Theta'_{1max} U - \phi_{III}}{(\Theta'_{1max} U - 1)\phi_{III}}, \quad \delta\beta = \frac{\Delta\beta}{\beta_{III}} = \frac{\beta_{III} K \Theta'_{1max} U - \phi_{III}}{\beta_{III} K (\Theta'_{1max} U - 1)}.$$

Приведенные соотношения позволяют свести данную задачу к исходным условиям *задачи 2*. Существование решений *задачи 3* возможно при учете следующих требований:

- $\Delta\beta \geq 0$ и $\Delta\phi \geq 0$;
- значения $\Delta\beta$ и $\Delta\phi$ должны быть меньше значений β_{III} и ϕ_{III} ; только в этом случае участки разбега и выбега отличны от нуля, т. е.

$$\beta_{III} K < \phi_{III} \leq \beta_{III} K \Theta'_{1max} U.$$

Для решения *задачи 3* сформулируем порядок выполнения расчетов:

- определить v_1 и v_2 ;
- определить U ;
- проверить возможность решения по последнему неравенству;
- определить $\delta\phi$ и $\delta\beta$;
- определить f ;
- определить $\beta_I, \phi_I, \beta_{II}, \phi_{II}$.

Пример выполнения расчетов по синтезу профиля кулачка

Рассмотрим синтез закона движения толкателя на примере, подобном *задаче 2*. Такой пример с числовыми данными представлен в работе [9].

Заданы следующие параметры (табл. 2.12 и 2.13):

- тип проектируемого кулачкового механизма с основными размерами (по

заданию на кулачковый механизм);

- угловая скорость кулачка – ω ;
- максимальный ход толкателя – β_{III} или S_{max} ;
- угол удаления (рабочий ход) – φ_{px} ;
- угол дальнего выстоя (дальнего стояния) – φ_{dv} ;
- угол возврата (холостой ход) – φ_{xx} .

Отдельно для рабочего и холостого ходов задаются:

- $\delta\beta_{px}$ и $\delta\beta_{xx}$ – параметры, характеризующие относительную величину участка постоянной скорости на рабочем и холостом ходах;
- λ_{px} и λ_{xx} – параметры, характеризующие отношение максимальных значений ускорений (вторых передаточных функций) на разбеге и выбеге РХ и ХХ;
- $\Theta''_1(\tau_1)$ и $\Theta''_3(\tau_3)$ для *рабочего хода* – законы ускорения толкателя для участков разбега и выбега в виде эпюр модифицированной трапеции (*рис. В.12*) с соответствующими значениями s_1 и s_2 (для *рабочего хода*);
- s_1 и s_2 для *разбега рабочего хода* и s_1 и s_2 (для *выбега рабочего хода*);
- $\Theta''_1(\tau_1)$ и $\Theta''_3(\tau_3)$ для *холостого хода* – законы ускорения толкателя для участков разбега и выбега в виде эпюр модифицированной трапеции (*рис. В.13*) с соответствующими значениями s_1 и s_2 (для *холостого хода*);
- s_1 и s_2 для *разбега холостого хода* и s_1 и s_2 (для *выбега холостого хода*).

Для других типовых задач решение выполняется аналогичным способом при задании соответствующих исходных данных.

В связи с тем, что методика расчета для рабочего и холостого ходов одна и та же, пример приведем только для рабочего хода толкателя механизма.

При решении *примера* выполним следующие этапы:

1. Определим постоянные $\Theta'_{1max}(\tau_1)$, $\Theta'_{3max}(\tau_3)$, $\Theta''_{1max}(\tau_1)$ и $\Theta''_{3max}(\tau_3)$ – величины пиков безразмерных скоростей и ускорений выходного звена.
2. Определим вспомогательные параметры v_1 , v_2 , f , $\delta\varphi$.
3. Определим структурные параметры β_I , β_{II} , φ_I , φ_{II} .
4. Построим диаграммы $\beta = \Pi(\varphi)$, $\beta' = \Pi'(\varphi)$ и $\beta'' = \Pi''(\varphi)$.
5. Построим профиль кулачка.

Здесь все определяемые величины зависят от вида эпюры безразмерного ускорения, т. е. от параметров s_1 и s_2 для рабочего и холостого ходов.

Этап 1. Определение пиков безразмерных скоростей и ускорений

$$\Theta'_{1max}(\tau_1), \quad \Theta'_{3max}(\tau_3), \quad \Theta''_{1max}(\tau_1), \quad \Theta''_{3max}(\tau_3).$$

На участке *разбега* рабочего хода эпюру безразмерного ускорения представим, например, в виде асимметричной модифицированной трапеции (*рис. В.12*).

Продолжение прил. В

При заданных s_1 и s_2 площадь всей эпюры состоит из трех площадей:

F_1 – площадь фигуры, ограниченной синусоидой с основанием, равным s_1 ;

F_2 – площадь прямоугольника с основанием, равным $1 - (s_1 + s_2)$;

F_3 – площадь фигуры, ограниченной косинусоидой с основанием s_2 .

Общая площадь эпюры безразмерных ускорений определится из формулы

$$F_{\Sigma} = F_1 + F_2 + F_3.$$

Для определения пика безразмерной скорости $\Theta'_{1max}(\tau_1)$ используем соотношения

$$\Theta'_{1max} = \frac{1}{1 - \tau_{\text{ЦI}}}, \quad \tau_{\text{ЦI}} = \frac{F_1 \tau_{C_1} + F_2 \tau_{C_2} + F_3 \tau_{C_3}}{F_1 + F_2 + F_3}, \quad (\text{B.2})$$

где $\tau_{\text{ЦI}}$ – абсцисса центра тяжести эпюры безразмерного ускорения $\Theta''_1(\tau_1)$.

Определим площади отдельных фигур и абсциссы их центров тяжести:

$$\begin{aligned} F_1 &= 2ab/\pi = 2s_1 \Theta''_{1max}/\pi; \quad \tau_{C_1} = 2a/\pi = 2s_1/\pi; \\ F_2 &= [1 - (s_1 + s_2)]\Theta''_{1max}; \quad \tau_{C_2} = \left[\frac{1 - (s_1 + s_2)}{2} \right] + s_1; \\ F_3 &= 2ab/\pi = 2s_2 \Theta''_{1max}/\pi; \quad \tau_{C_3} = 1 - 2a/\pi = 1 - 2s_2/\pi. \end{aligned}$$

Полученные значения подставим в (B.2) и найдем Θ'_{1max} .

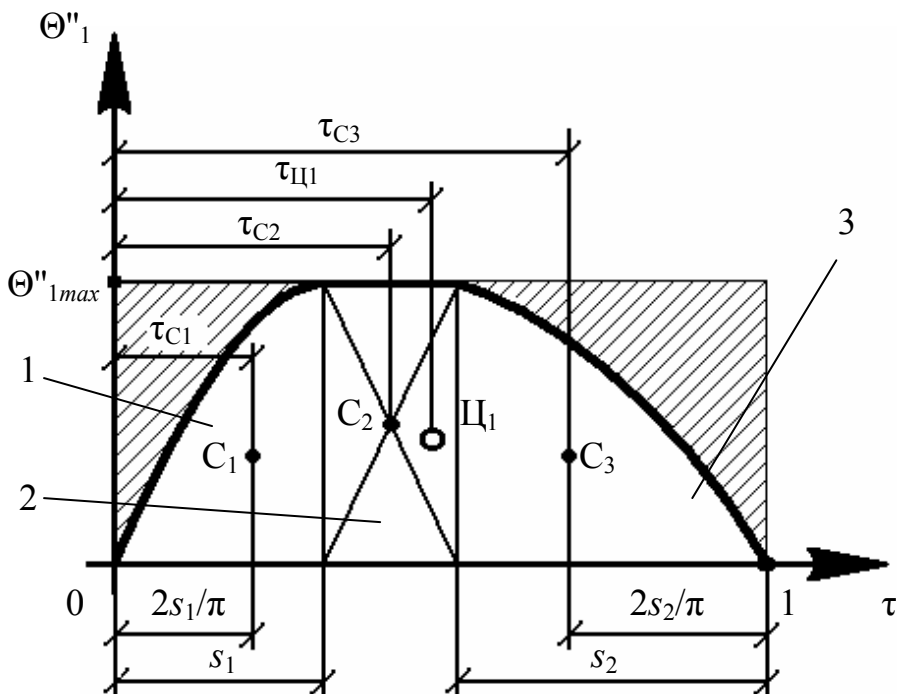


Рис. В.12. Эпюра безразмерного ускорения на участке *разбега* рабочего хода

Для расчета пика безразмерного ускорения предварительно определим величину коэффициента заполнения μ

$$\mu = \frac{F_{\Phi}}{F_{\text{оп}}} = \frac{F_{\Sigma}}{F},$$

где $F = 1 \cdot \Theta''_{1\max}$ – площадь описанного около эпюры $\Theta''_1(\tau_1)$ прямоугольника.

Затем рассчитаем

$$\Theta''_{\max} = \frac{\Theta'_{\max}}{\mu} = \frac{1}{\mu(1 - \tau_{\text{Ц}})}.$$

На участке *выбега* рабочего хода эпюру безразмерного ускорения представим, например, в виде «урезанной» модифицированной трапеции, состоящей всего лишь из двух участков (*рис. В.13*).

Основными расчетными зависимостями здесь будут

- общая площадь эпюры безразмерных ускорений $F_{\Sigma} = F_1 + F_2$;
- пик безразмерной скорости $\Theta'_{3\max} = \frac{1}{1 - \tau_{\text{Ц3}}}$, где $\tau_{\text{Ц3}} = \frac{F_1 \tau_{C_1} + F_2 \tau_{C_2}}{F_1 + F_2}$.

Найдем площади отдельных фигур и абсциссы их центров тяжести из:

$$F_1 = 2ab/\pi = 2s_1 \Theta''_{3\max}/\pi; \quad \tau_{C_1} = 2a/\pi = 2s_1/\pi;$$

$$F_2 = (1 - s_1)\Theta''_{3\max}; \quad \tau_{C_2} = \frac{1 - s_1}{2} + s_1.$$

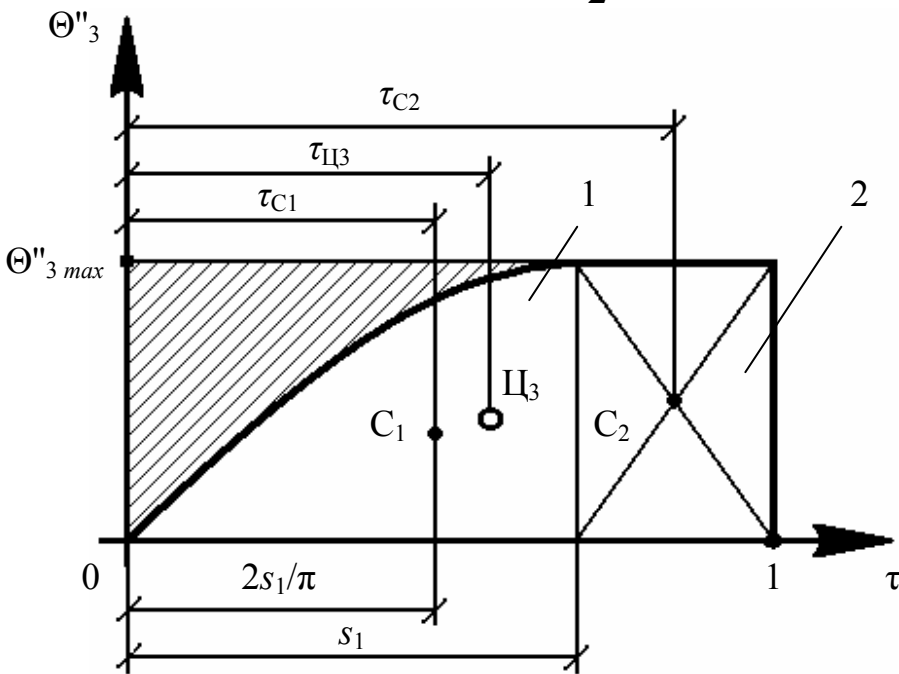


Рис. В.13. Эпюра безразмерного ускорения на участке *выбега* рабочего хода

Для расчета пика безразмерного ускорения предварительно определим коэффициент заполнения μ

$$\mu = \frac{F_{\Phi}}{F_{\text{оп}}} = \frac{F_{\Sigma}}{F},$$

где $F = 1 \cdot \Theta''_{3\max}$ – площадь описанного около эпюры $\Theta''_3(\tau_3)$ прямоугольника.

Затем рассчитаем

$$\Theta''_{3\max} = \frac{\Theta'_{3\max}}{\mu}.$$

Этап 2. Определение вспомогательных параметров $v_1, v_2, f, \delta\phi$.

Эти параметры определим по формулам:

$$v_1 = \frac{\Theta'_{1\max}}{\Theta'_{3\max}}; \quad v_2 = \frac{\Theta''_{1\max}}{\Theta''_{3\max}}; \quad f = \lambda \frac{v_1}{v_2};$$

$$\delta\phi = \frac{(1 + v_1 f) \delta\beta}{(1 + v_1 f) \delta\beta + (1 - \delta\beta)(1 + f) \Theta'_{1\max}}.$$

Этап 3. Определение структурных параметров $\beta_I, \beta_{II}, \phi_I, \phi_{II}$.

Эти параметры определим по формулам:

$$\beta_I = \frac{(1 - \delta\beta)\beta_{III}}{1 + fv_1} \text{ мм}; \quad \beta_{II} = \frac{(1 + fv_1 \delta\beta)\beta_{III}}{1 + fv_1} \text{ мм};$$

$$\phi_I = \frac{(1 - \delta\phi)\phi_{III}}{1 + f} \text{ угл. град}; \quad \phi_{II} = \frac{(1 + f\delta\phi)\phi_{III}}{1 + f} \text{ угл. град.}$$

Максимальное перемещение толкателя ($\beta_{III} = S_{\max}$) и рабочий угол поворота кулачка при дальнем выстое толкателя (ϕ_{III}) **заложены** в исходных данных.

Этап 4. Построение диаграмм $\beta = \Pi(\phi), \beta' = \Pi'(\phi)$ и $\beta'' = \Pi''(\phi)$.

Для построения диаграмм используем распечатку, полученную с ПК после проверки основных параметров расчета. В распечатке для участков разбега, постоянной скорости и выбега на рабочем и холостом ходах выдаются по 10 значений определяемых параметров (ϕ_i, β_i), а также значения углов давления в этих же точках.

Этап 5. Построение профиля кулачка.

Этот этап на примерах будет пояснен далее.

СИНТЕЗ ПРОФИЛЯ КУЛАЧКА ДЛЯ РАЗЛИЧНЫХ ВИДОВ КУЛАЧКОВЫХ МЕХАНИЗМОВ

Профиль кулачка можно спроектировать каким-либо из двух методов: графоаналитическим или аналитическим. Графоаналитический метод – приближенный. Он применим для проверки расчетов, выполненных аналитическим методом, когда при расчете и изготовлении кулачка используется ПК (ЭВМ).

Для синтеза профиля кулачка необходимы кинематическая схема механизма и закон перемещения толкателя $\beta = \Pi(\phi)$, который в настоящее время наиболее рационально можно получить с использованием аппарата безразмерных характеристических функций.

Основные параметры диаграммы $\beta = \Pi(\phi)$

На рис. В.14 представлена диаграмма перемещения толкателя $\beta = \Pi(\phi)$, где β – линейное (или угловое) перемещение толкателя, ϕ – угол поворота кулачка.

Диаграмму перемещения толкателя представим в виде последовательности трех участков:

- участка рабочего (прямого) хода;
- участка дальнего выстоя;
- участка холостого (обратного) хода.

(Участок ближнего выстоя, как правило, не рассматривается).

Эти участки характеризуются следующими особенностями:

- на участке разбега скорость толкателя изменяется от нуля до максимума;
- на участке постоянной скорости величина скорости толкателя постоянна;
- на участке выбега скорость толкателя изменяется от максимума до нуля.

На участке холостого хода (для уменьшения объема работы студенту) интервал движения толкателя с постоянной скоростью исключается.

Закон движения толкателя (ведомого звена) определяется следующими данными:

- β_{III} – максимальным ходом толкателя (S_{max});
- $(0 \div \phi_{III})$ – углом рабочего хода ($\phi_{РХ}$);
- $(\phi_{III} \div \phi_{IV})$ – углом дальнего выстоя ($\phi_{ДСТ}$);
- $(\phi_{IV} \div \phi_{VII})$ – углом холостого хода ($\phi_{ХХ}$);
- законами ускорения толкателя для участков рабочего и холостого ходов.

В результате выполнения расчетов по методике (с. 109 – 115), изложенной ранее, студент определяет структурные параметры диаграммы $\beta = \Pi(\phi)$ – координаты основных граничных точек диаграммы:

$$I(\beta_1 \phi_1); II(\beta_2 \phi_2); III(\beta_3 \phi_3); IV(\beta_4 \phi_4); V(\beta_5 \phi_5); VI(\beta_6 \phi_6); VII(\beta_7 \phi_7).$$

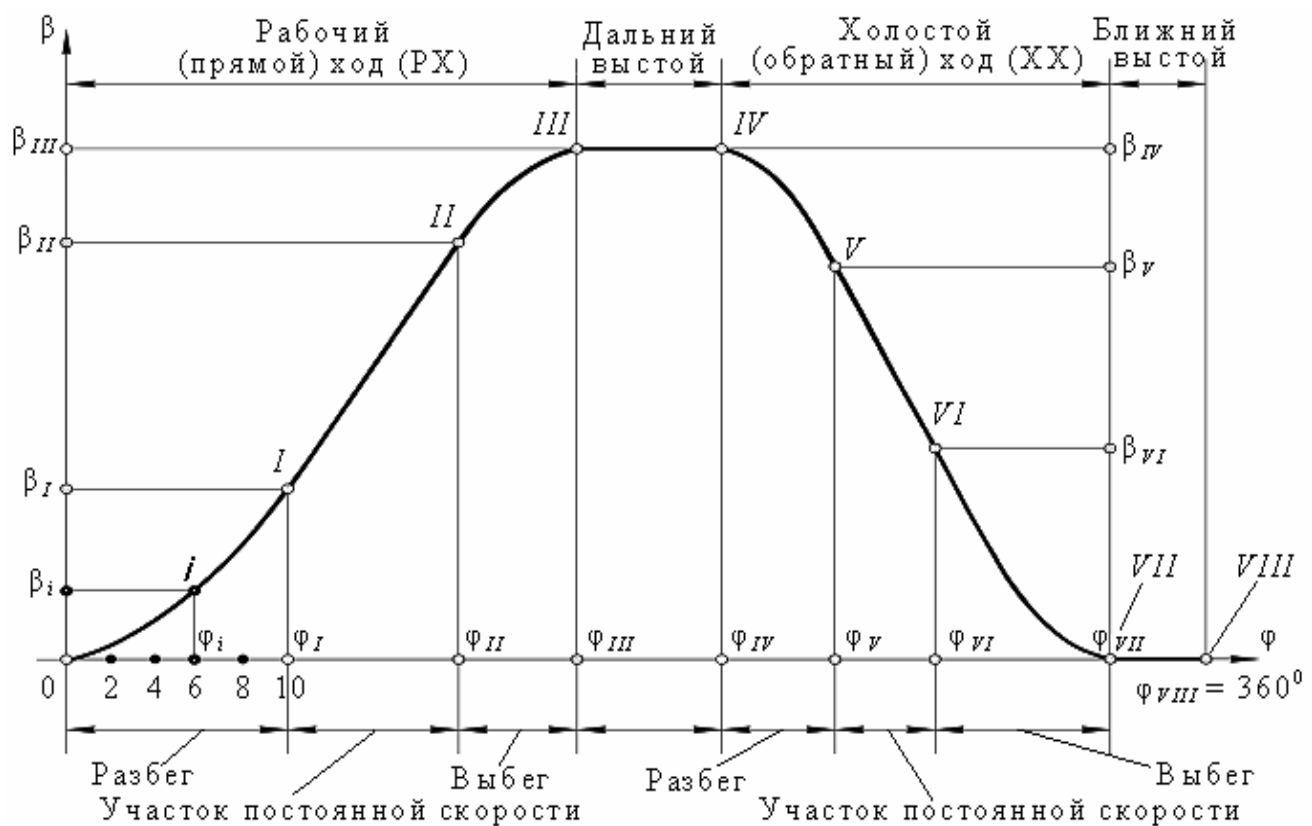


Рис. В.14. Общий вид закона перемещения толкателя

После проверки на ПК контрольного примера студент получает распечатку данных для диаграмм:

$\beta = \Pi(\varphi)$ – перемещения толкателя;

$\beta' = \Pi'(\varphi)$ – первой передаточной функции (аналога скорости);

$\beta'' = \Pi''(\varphi)$ – второй передаточной функции (аналога ускорения).

Студенты заочной формы обучения используют готовые расчетные данные, приведенные в табл. 2.14 – 2.23 данного пособия.

Как уже отмечалось, каждый из участков рабочего и холостого ходов в распечатке по оси абсцисс разделен на 10 равных частей, т. е. имеются 10 точек с соответствующими координатами, по которым строят диаграммы $\beta(\varphi)$, $\beta'(\varphi)$, $\beta''(\varphi)$. Образец подобной распечатки представлен в прил. Д.

Пример подобных диаграмм приведен на рис. В.15.

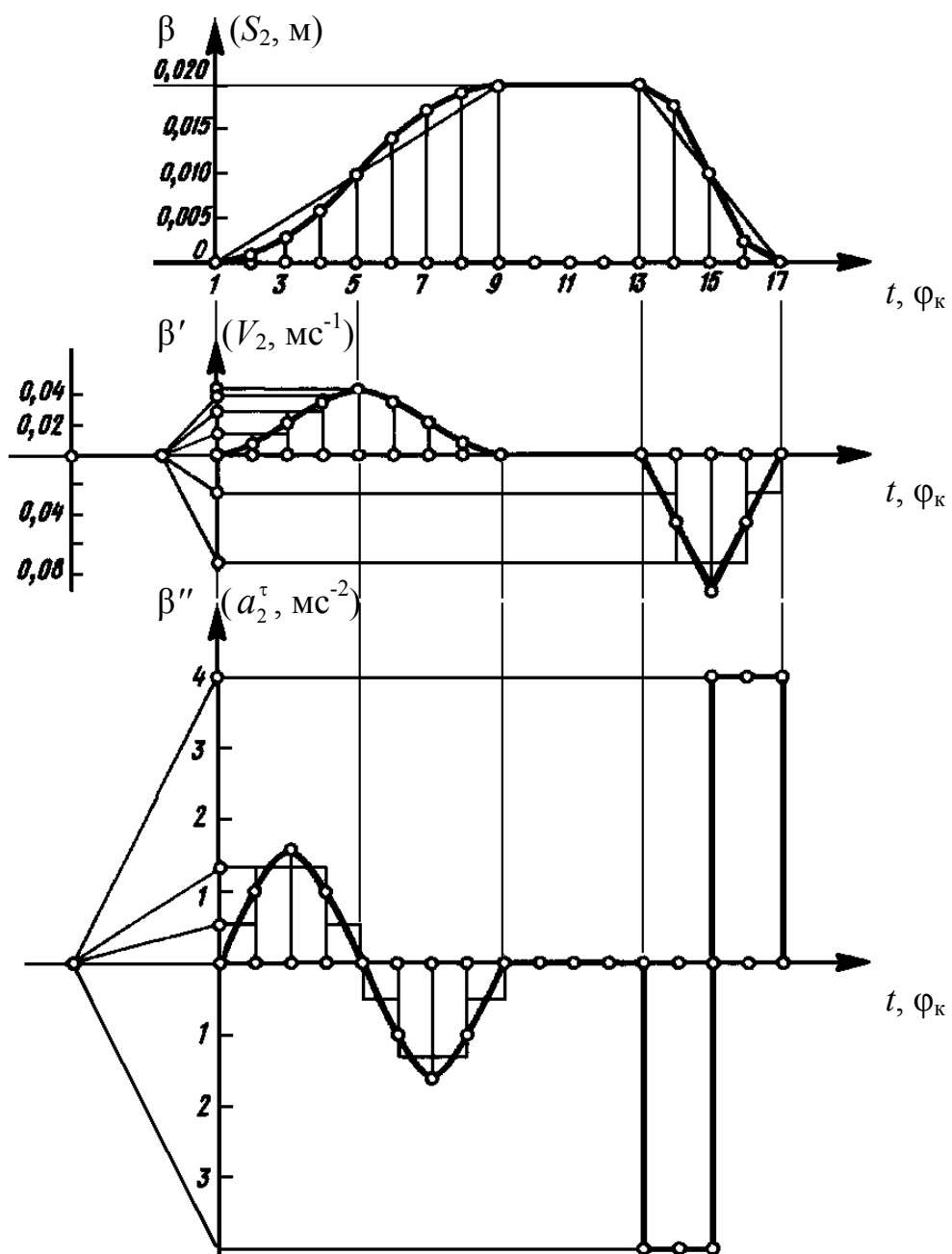


Рис. В.15. Диаграммы функций положения $\beta = \Pi(\phi)$, первой $\beta' = \Pi'(\phi)$ и второй $\beta'' = \Pi''(\phi)$ передаточных функций

Понятие о методе обращенного движения

Для нахождения профиля кулачка любой конструкции механизма удобно использовать метод *обращенного движения*. Суть метода состоит в том, что всей системе (кулачок и толкатель) задается дополнительное движение вокруг оси вращения кулачка с угловой скоростью $(-\omega_k)$. Кулачок, имея фактическую угловую скорость $(-\omega_k)$ и получив дополнительную угловую скорость $(-\omega_k)$,

Продолжение прил. В

останавливается, а толкатель движется вокруг кулачка в противоположном ему направлении со скоростью $(-\omega_k)$.

При обращенном движении характер относительных перемещений между кулачком и толкателем остается таким же, как и при обычном движении.

Графоаналитический метод синтеза профиля кулачка. Синтез профиля кулачка при поступательном движении толкателя

Рассмотрим синтез профиля кулачка для *нецентрального (внекентренного) кулачкового механизма*.

При синтезе профиля кулачка используются следующие данные:

- r_0 – радиус начальной шайбы практического профиля;
- ρ – радиус ролика;
- $R_0 = r_0 + \rho$ – радиус начальной шайбы теоретического профиля;
- e – эксцентриситет;
- $\beta = \Pi(\phi)$ – данные диаграммы перемещения толкателя (см. распечатку).

Синтез профиля кулачка начнем с выбора масштаба K_M исходя из планируемого размера будущего чертежа (*рис. В.16, б*). Из центра O_1 строим окружность радиусом R_0 . От O_1 на расстоянии, равном эксцентриситету « e », проведем линию движения центра ролика толкателя. На пересечении этой прямой и проведенной окружности получаем точку β_0 .

Эта точка соответствует нулевому (исходному) положению центра ролика толкателя. От точки β_0 на траектории центра ролика отложим в масштабе K_M максимальный ход толкателя и обозначим точку β_{III} . Соединим точку β_{III} с центром O_1 .

Зададим системе «кулак-толкатель» обращенное движение вокруг центра с угловой скоростью $(-\omega_k)$. При этом кулак останавливается, а толкатель будет вращаться вокруг центра O_1 со скоростью $(-\omega_k)$. Точка β_{III} будет двигаться по окружности радиуса $O_1\beta_{III}$, последовательно проходя углы ϕ_i . Отметим на построенной окружности концы дуг соответствующих углов поворота как φ_i^* .

Линия движения центра ролика должна всегда находиться на расстоянии эксцентриситета « e » от центра O_1 . Для выполнения этого условия проведем из центра O_1 окружность радиусом $O_1K_0 = e$. Касательные к этой окружности в обращенном движении будут являться линиями движения центра ролика толкателя.

Далее в качестве примера рассмотрим построение фрагмента профиля кулачка только для одного положения механизма (*рис. В.16, а*).

При реверсе кулачка для построении его профиля *рис. В.16* переворачиваем зеркально относительно вертикальной оси.

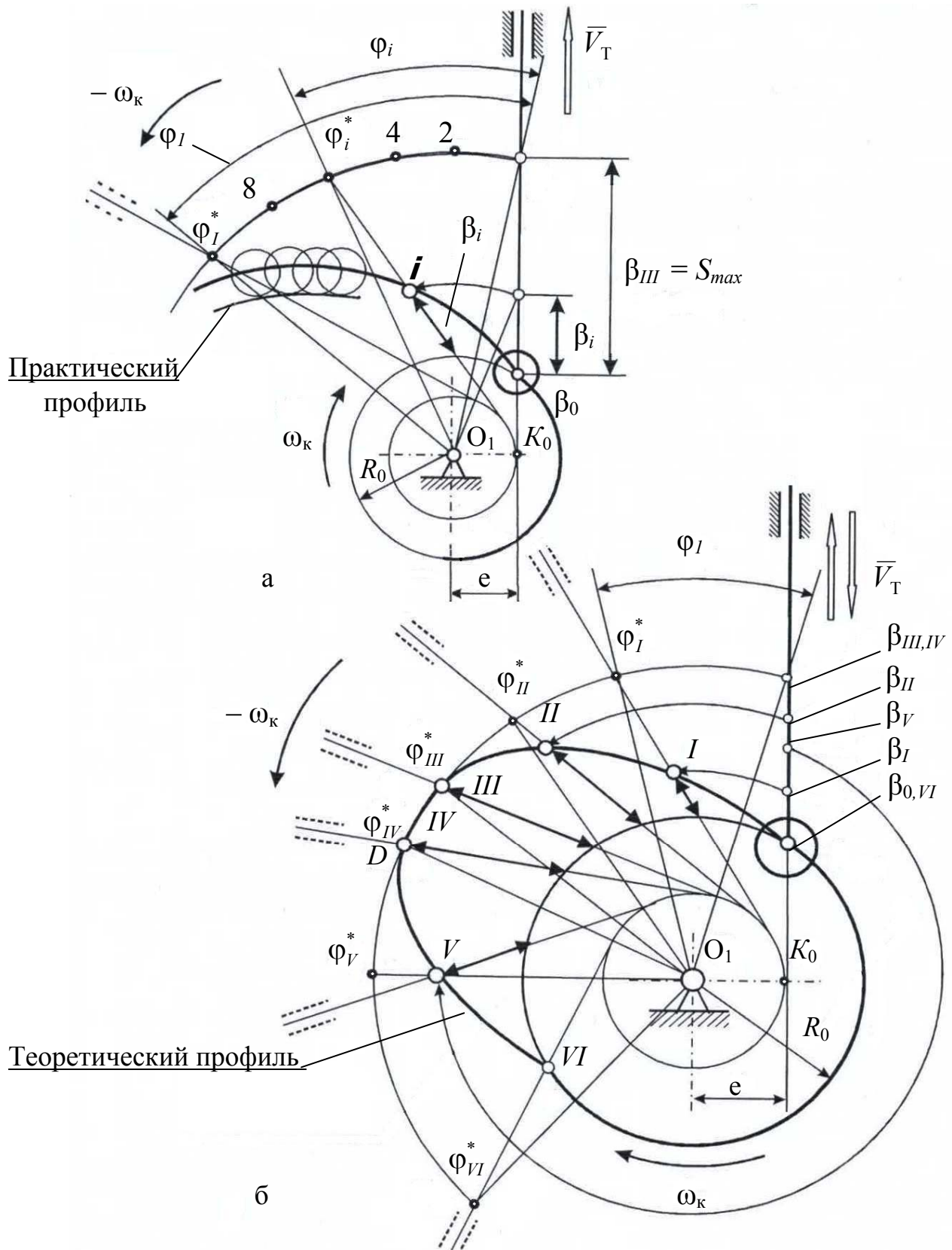


Рис. В.16. Построение профиля в нецентральном кулачковом механизме:
а – фрагмент построения i -й точки профиля; б – построение всего профиля

Продолжение прил. В

Построение профиля кулачка для i-го положения внецентренного кулачкового механизма производится в следующей последовательности:

- 1) на окружности, проведенной радиусом $O_1\beta_{III}$, от точки β_{III} в направлении $(-\omega_k)$ отложим дугу, соответствующую поворотному углу φ_i и обозначим ее конец Φ_i^* ;
- 2) из этой точки проведем касательную к окружности радиуса $O_1K_0 = e$;
- 3) от точки β_0 вдоль траектории толкателя отложим его перемещение β_i . Затем из O_1 проведем дугу радиусом $O_1\beta_i$ в направлении угловой скорости $(-\omega_k)$ до пересечения с касательной. Полученная точка пересечения – текущая точка теоретического профиля кулачка для положения **i**.

*Здесь следует отметить, что точку **i** можно построить, отложив расстояние $\beta_0 \beta_i$ на касательной от точки ее пересечения с окружностью начальной шайбы. Этот способ точнее, так как исключает графическую погрешность при построении дуги большого радиуса (при вычерчивании возможен сдвиг циркуля, игла которого поставлена в центр окружности радиуса $O_1\beta_i$).*

При вычерчивании рекомендуется сначала построить основные точки профиля кулачка, которые будут соответствовать границам участков разбега, постоянной скорости и выбега для рабочего и холостого ходов, а затем согласно распечатке достроить промежуточные точки на этих участках.

Для построения основных точек профиля кулачка (*рис. В.16, б*) на траектории точки β_{III} , принадлежащей толкателю при движении ее в обращенном движении вокруг центра O_1 , отложим дуги, соответствующие поворотным углам $\varphi_I, \varphi_{II}, \varphi_{III}, \varphi_{IV}, \varphi_V, \varphi_{VI}, \varphi_{VII}$. Концы этих дуг обозначим символами

$$\Phi_I^*, \Phi_{II}^*, \Phi_{III}^*, \Phi_{IV}^*, \Phi_V^*, \Phi_{VI}^*, \Phi_{VII}^*.$$

Из полученных точек проведем касательные к окружности радиуса эксцентрикитета «e». Эти прямые будут линиями движения центра ролика толкателя в обращенном движении. Здесь максимальный ход толкателя – до $(\cdot) D$.

Затем на траектории центра ролика от точки β_0 отложим в масштабе K_M перемещения $\beta_I, \beta_{II}, \beta_{III}, \beta_{IV}, \beta_V, \beta_{VI}, \beta_{VII}$ и проведем из центра O_1 дуги радиусами $O_1\beta_I, O_1\beta_{II}, O_1\beta_{III}, O_1\beta_{IV}, O_1\beta_V, O_1\beta_{VI}, O_1\beta_{VII}$ до пересечения с соответствующими линиями действия толкателя в обращенном движении. Полученные точки пересечения **I, II, III, IV, V, VI** – основные точки теоретического профиля кулачка. На каждом из участков профиля кулачка (согласно распечатке) можно получить 10 промежуточных точек, построение которых аналогично построению точки **i**.

Для получения кривой теоретического профиля построенные точки соединяют лекальной кривой и затем методом обкатки получают эквидистантный (равноудаленный) практический профиль (*рис. В.17*).

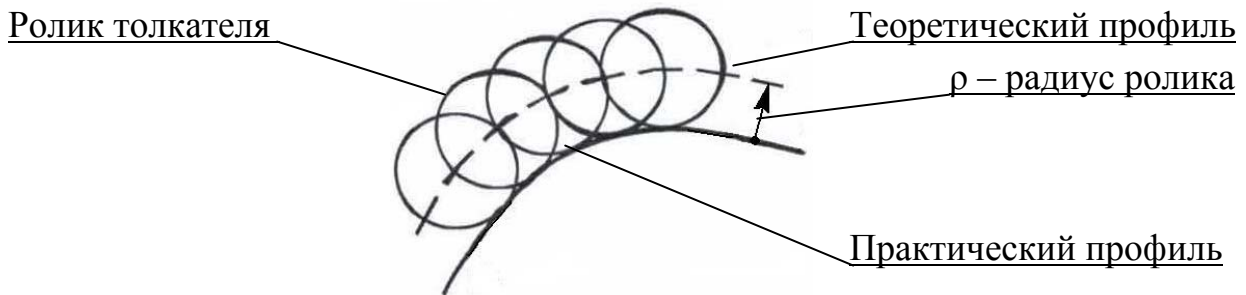


Рис. В.17. Применение метода обкатки

Синтез профиля кулачка при вращательном движении толкателя

Рассмотрим синтез профиля кулачка для коромыслового механизма.

При синтезе профиля кулачка используются следующие данные:

- r_0 – радиус начальной шайбы практического профиля;
- ρ – радиус ролика;
- $R_0 = r_0 + \rho$ – радиус начальной шайбы теоретического профиля;
- ℓ – длина коромысла;
- X_{02}, Y_{02} – координаты оси вращения толкателя-коромысла;
- $\beta(\phi)$ – данные диаграммы перемещения толкателя (см. распечатку).

В зависимости от условий поставленной задачи перемещение толкателя может быть выражено в градусах, радианах или длиной дуги траектории центра ролика толкателя. Рассмотрим случай, когда перемещение толкателя (коромысла) задано в градусах.

Синтез профиля кулачка начинаем с выбора масштаба K_M исходя из планируемого размера чертежа (рис. 18, б). Из центра O_1 проводим окружность радиусом R_0 . Из центра O_2 проводим дугу радиусом, равным длине коромысла ℓ . На пересечении этой дуги и окружности получаем точку β_0 . Данная точка соответствует нулевому положению центра ролика толкателя. Соединив точку β_0 с центром O_2 , получим нулевое положение толкателя.

Зададим системе «кулак-толкатель» обращенное движение вокруг центра O_1 с угловой скоростью $(-\omega_k)$. При этом кулачок останавливается, а толкатель вместе со стойкой O_2 будет вращаться вокруг центра O_1 со скоростью $(-\omega_k)$. Точка O_2 будет, проходя последовательно дуги, соответствующие поворотным углам ϕ_i , перемещаться по окружности радиуса O_1O_2 .

Построение профиля кулачка для i -го положения коромыслового механизма производится в следующей последовательности:

- 1) на окружности, проведенной радиусом O_1O_2 , от точки O_2 отложим дугу в направлении $(-\omega_k)$, соответствующую поворотному углу ϕ_i и обозначим ее конец O_{2*}^i ;

Продолжение прил. В

2) из точки O_2^i проведем дугу радиусом, равным длине коромысла ℓ . На этой дуге должна быть находиться точка теоретического профиля кулачка;

3) от нулевого положения толкателя $O_2\beta_0$ отложим перемещение толкаталя β_i , в данном случае в градусах, и проведем дугу радиусом $O_1\beta_i$ до пересечения с дугой, проведенной из точки O_2^i радиусом, равным длине коромысла ℓ .

Полученная точка пересечения дуг – точка теоретического профиля кулачка для положения **i** (рис. 18, а).

При вычерчивании также рекомендуется сначала построить основные точки профиля кулачка для рабочего и холостого ходов, которые должны соответствовать границам участков разбега, постоянной скорости и выбега на рабочем и холостом ходах, а затем согласно распечатке получить промежуточные точки на данных участках.

Для построения основных точек профиля воспользуемся правилом построения **i**-й точки профиля, описанным выше.

1. На окружности, проведенной радиусом O_1O_2 в направлении ($-\omega_k$) от прямой O_1O_2 , отложим дуги, соответствующие поворотным углам

$$\Phi_I, \Phi_{II}, \Phi_{III}, \Phi_{IV}, \Phi_V, \Phi_{VI}, \Phi_{VII}$$

и обозначим концы их дуг как

$$O_{2^*}^I, O_{2^*}^{II}, O_{2^*}^{III}, O_{2^*}^{IV}, O_{2^*}^V, O_{2^*}^{VI}.$$

2. Из точек $O_{2^*}^i$ проведем дуги радиусом, равным длине коромысла ℓ . На этих дугах должны находиться точки теоретического профиля кулачка.

3. От нулевого положения толкателя $O_2\beta_0$ отложим перемещения толкаталя $\beta_I, \beta_{II}, \beta_{III}, \beta_{IV}, \beta_V, \beta_{VI}, \beta_{VII}$ и проведем дуги радиусом $O_1\beta_i$ до пересечения с дугами, проведенными из точки $O_{2^*}^i$ радиусом, равным длине коромысла ℓ . Полученные точки пересечения этих дуг – основные точки теоретического профиля кулачка **I, II, III, IV, V, VI**.

АНАЛИТИЧЕСКИЙ МЕТОД ПОСТРОЕНИЯ ПРОФИЛЯ КУЛАЧКА ДЛЯ РАЗЛИЧНЫХ ВИДОВ КУЛАЧКОВЫХ МЕХАНИЗМОВ

При проектировании кулачка для ряда последовательных точек его профиля необходимо найти координаты – определить величины радиус-векторов R_i и соответствующих им значений профильных углов γ_i .

Ввиду того, что анализ и синтез профиля кулачка выполняется по его теоретическому профилю, радиус-векторы следует рассчитывать непосредственно для этого профиля. Аналитический метод используется для построения алгоритма вычислений, подготовки данных и последующего изготовления профилей кулачков на фрезерных станках с ЧПУ.

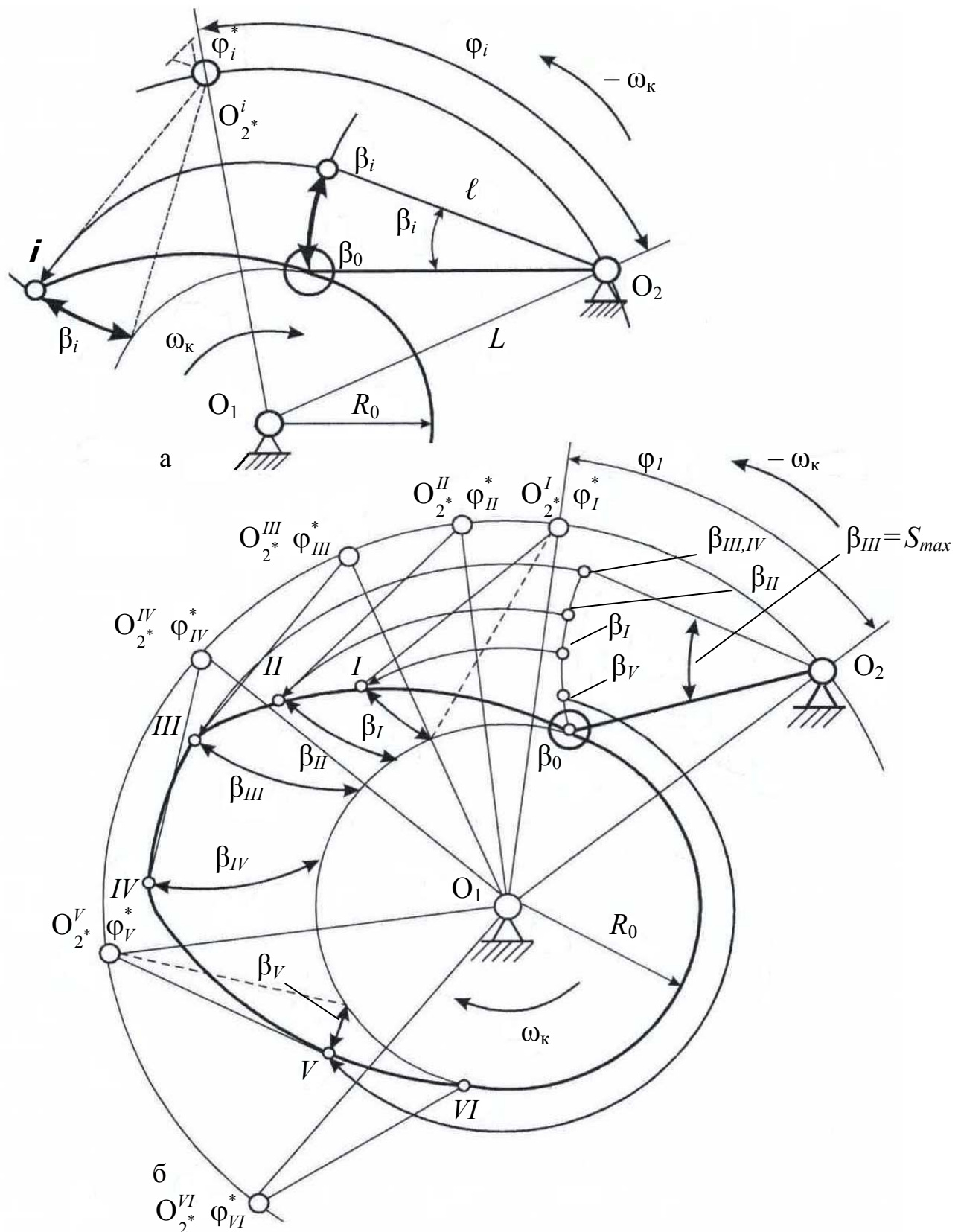


Рис. В.18. Построение профиля в коромысловом кулачковом механизме:
а – фрагмент построения i -й точки профиля; б – построение всего профиля
124

Нецентральный кулачковый механизм

Для расчета параметров профиля кулачка введем следующие обозначения:

- R_i – искомый радиус-вектор профиля кулачка;
- γ_i – искомый профильный угол;
- β_i – перемещение толкателя из положения «0» в положение « i »;
- φ_i – поворотный угол;
- θ_i – дополнительный угол;
- R_0 – радиус начальной шайбы теоретического профиля;
- e – эксцентризитет.

Радиус-вектор R_i определим при рассмотрении треугольника O_1A_iC , откуда (рис. В.19)

$$R_i = \sqrt{(O_1C)^2 + (CA_i)^2},$$

где $O_1C = e$; $CA_i = \beta_i + \sqrt{R_0^2 - e^2}$.

В этом случае $R_i = \sqrt{e^2 + (\beta_i + \sqrt{R_0^2 - e^2})^2}$.

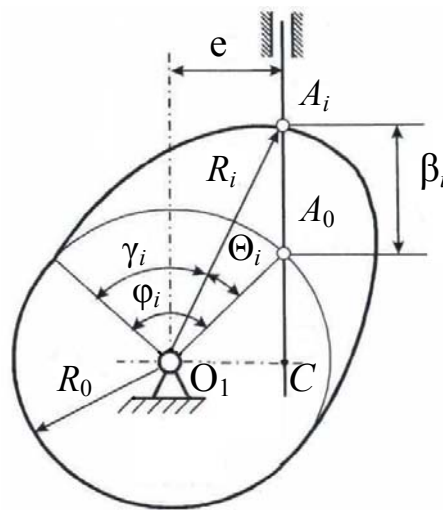


Рис. В.19. К аналитическому расчету профиля кулачка *нецентрального* (*внецентренного*) кулачкового механизма

Профильный угол γ_i зависит от поворотного угла φ_i и добавочного угла θ_i . Поворотный угол φ_i соответствует тому положению механизма, для которого производится расчет. Здесь

$$\gamma_i = \varphi_i \pm \Theta.$$

В этом выражении для участка удаления толкателя принимаем знак «+», для участка его возвращения в исходное положение – знак «-».

Добавочный угол Θ_i определим из зависимости

$$\Theta_i = \arccos \frac{R_i^2 + R_0^2 - \beta_i^2}{2R_i R_0}.$$

Коромысловый кулачковый механизм

Для расчета параметров профиля кулачка примем следующие обозначения:

- R_i – искомый радиус-вектор профиля кулачка;
- γ_i – искомый профильный угол;
- β_i – перемещение толкателя из положения «0» в положение « i »;
- φ_i – поворотный угол;
- θ_i – дополнительный угол;
- R_0 – радиус начальной шайбы теоретического профиля;
- ℓ – длина толкателя-коромысла;
- L – межосевое расстояние;
- ψ – угол между нулевым положением коромысла (A_0O_2) и межосевым расстоянием O_1O_2 ;
- $\beta_i^* = \beta_i + \psi$ – угол между линией, соответствующей межосевому расстоянию O_1O_2 , и коромыслом в положении « i ».

Радиус-вектор R_i определим из треугольника $O_1A_iO_2$ (рис. В.20).

$$R_i = \sqrt{L^2 + \ell^2 - 2L\ell \cos \beta_i^*},$$

где β_i – известный угол поворота кулачка для рассматриваемого положения механизма. Угол ψ определим из треугольника $O_1A_0O_2$ как

$$\psi = \arccos \frac{\ell^2 + L^2 - R_0^2}{2\ell L}.$$

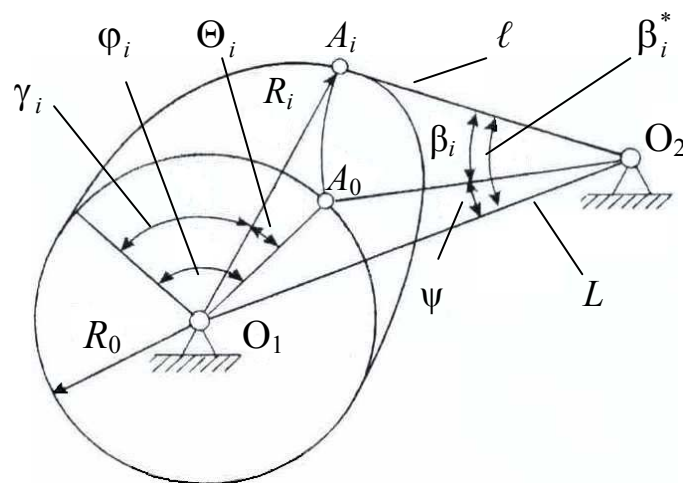


Рис. В.20. К аналитическому расчету профиля кулачка *коромыслового* кулачкового механизма

Профильный угол γ_i определим как сумму двух углов

$$\gamma_i = \varphi_i \pm \Theta_i.$$

В этом выражении для участка удаления коромысла принимаем знак «+», для участка его возвращения в исходное положение – знак «-».

Добавочный угол Θ_i определим из условия, при котором, приравнивая длины хорд A_0-A_i , определенные из двух треугольников, получим соотношение вида

$$\Theta_i = \arccos \frac{R_i^2 + R_0^2 - 4\ell^2 \sin^2(\beta_i/2)}{2R_i R_0}.$$

ГРАФОАНАЛИТИЧЕСКИЙ МЕТОД ОПРЕДЕЛЕНИЯ УГЛОВ ДАВЛЕНИЯ ДЛЯ РАЗЛИЧНЫХ ТИПОВ КУЛАЧКОВЫХ МЕХАНИЗМОВ

При конструировании кулачковых механизмов существуют определенные ограничения по КПД и конструктивным размерам. КПД зависит, в основном, от сил трения в кинематических парах. Габариты механизма определяются радиусом начальной шайбы и длиной подшипниковой опоры (для механизмов с поступательным движением толкателя). Как КПД, так и габариты механизма связаны с максимальными углами давления в нем.

При работе механизма движение передается от кулачка 1 к толкателю 2. В высшей кинематической паре (кулак–ролик толкателя) возникает реакция R_{1-2} , которая без учета сил трения направлена по нормали $n-n$ к профилю кулачка. Разложим эту реакцию на две составляющие (*рис. В.21*):

P – полезная составляющая преодолевает сопротивление, связанное с выполнением технологического процесса и является величиной известной;

H – вредная составляющая вызывает повышенное трение в опорах толкателя, что, в частности, способствует его возможному заклиниванию. Большие величины вредных составляющих могут привести к деформации и последующему разрушению деталей кулачкового механизма. Эффект при этом напоминает пиление материала пилой-ножковкой в случае ее перекоса и зажима в пазу.

Угол α , заключенный между нормалью $n-n$ к профилю кулачка и «линией действия» скорости толкателя, называется углом давления в кулачковом механизме.

При проектировании кулачковых механизмов необходимо принимать меры к уменьшению составляющей *H*, т. е. к минимизации значений угла α .

При силовом замыкании входное звено (кулачок) является ведущим только на фазе удаления. На фазе возвращения кулачок является либо ведомым, либо ведущим в зависимости от соотношения между замыкающей силой, силой инерции и внешними факторами, действующими на кулачок. В этом случае угол давления целесообразно определять только на участке удаления.

При геометрическом замыкании входное звено может быть ведущим как на фазе удаления, так и на фазе возвращения. В этом случае угол давления определяется на обеих фазах.

В настоящее время различают два основных случая выбора допускаемого угла давления в кулачковом механизме:

- требуется получить малые габариты механизма;
- требуется получить высокий КПД (η).

Для получения малых габаритов следует уменьшить радиус начальной шайбы теоретического профиля R_0 , но при этом увеличивается угол давления, а следовательно, возрастают реакции в кинематических парах. Оценить это возрастание реакций можно коэффициентом возрастания усилий v , определяемым из выражения

$$v = \frac{R_{1-2}}{P},$$

где R_{1-2} – величина реакции со стороны кулачка (ролика) на ведомый толкатель;

P – величина силы сопротивления, действующей на толкатель, и включающей силу полезного сопротивления, вес, силу инерции и силу упругости замыкающей пружины (*полезная составляющая*).

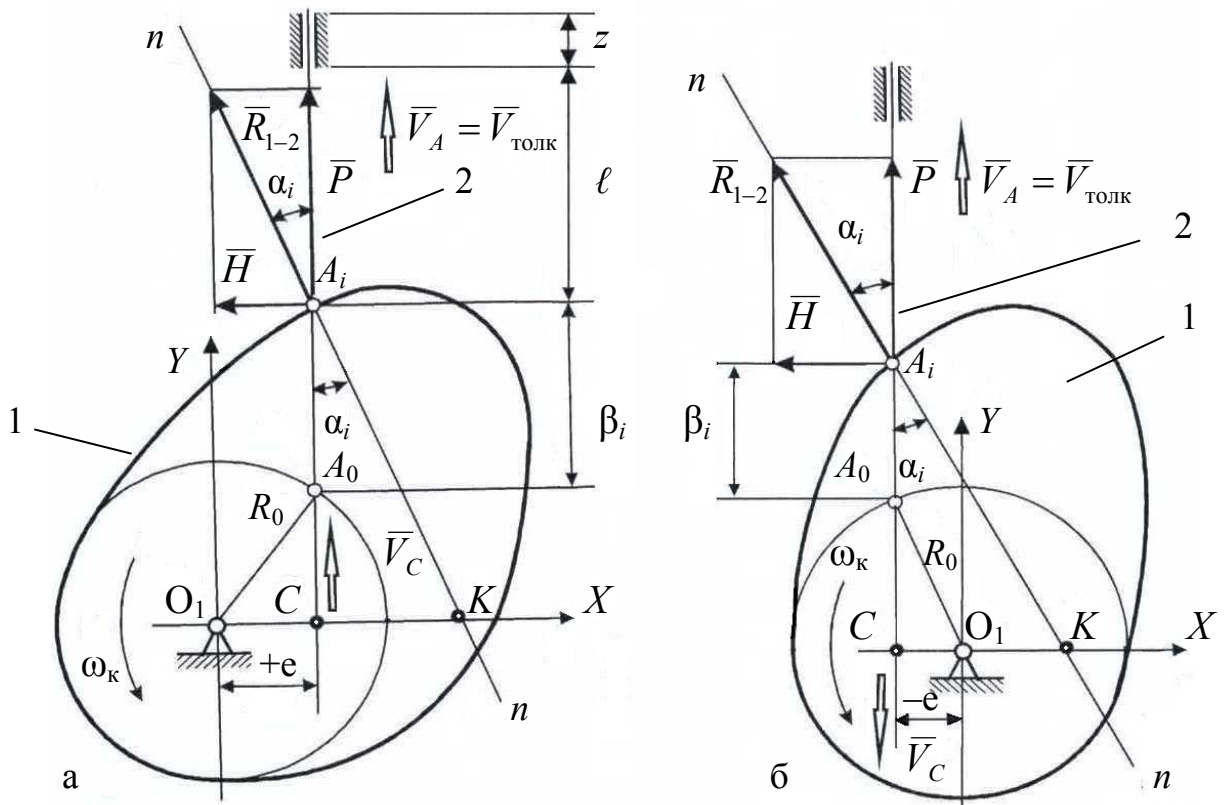


Рис. В.21. К определению углов давления при поступательном движении толкателя:

a – при положительном эксцентрикиситете; *б* – при отрицательном эксцентрикиситете

Продолжение прил. В

Силовой расчет кулачкового механизма позволяет определить коэффициент возрастания усилий из выражения

$$v = [\cos \alpha - f(1 + 2z/l) \sin \alpha]^{-1},$$

где α – угол давления;

f – коэффициент трения скольжения в паре;

z, l – длины опоры и консоли – линейные размеры механизма (рис. В.21, а).

Отсюда, задаваясь предельным значением коэффициента возрастания усилия v_{max} , получим выражение для определения допускаемого угла давления

$$v_{max}^{-1} = \cos \alpha_{\text{доп}} - f(1 + 2z/l) \sin \alpha_{\text{доп}}.$$

Для получения достаточно высокого КПД при небольших габаритах выберем оптимальное значение мгновенного КПД ($\eta_{\text{опт}}$) и после подстановок при $\alpha = \alpha_{\text{доп}}$ получим

$$\alpha_{\text{доп}} = \arctg \frac{1 - \eta_{\text{опт}}}{f(1 + 2z/l)}.$$

Например, при $\eta_{\text{опт}} = 0,85$, $f = 0,3$ и $z = 0$ получим $\alpha_{\text{доп}} \approx 28^0$.

В первом случае выбора допускаемого угла давления (наименьшие габариты) можно принять довольно большие значения допускаемого угла давления, которые, однако, значительно меньше угла, соответствующего самоторможению.

Во втором случае (получение высокого КПД) допускаемый угол давления не должен превышать 30^0 . Это значение угла давления обычно и считается допустимым.

На практике в кулачковом механизме с поступательным толкателем потери на трение в кинематической паре толкатель-стойка достаточно велики. Для исключения заклинивания и последующего излома толкателя допускаемое значение угла давления здесь следует принимать в пределах $[\alpha] = 30 \div 40^0$.

Для коромыслового кулачкового механизма потери на трение в паре (коромысло-стойка) значительно меньше, поэтому здесь $[\alpha] = 45 \div 50^0$.

Нецентральный (внекентранный) кулачковый механизм (с поступательным движением толкателя)

Для расчета угла давления необходимо наличие следующих параметров:

- профиль кулачка известен;
- β_i – перемещение толкателя из нулевого положения в положение « i »;
- R_0 – радиус начальной шайбы теоретического профиля, мм;
- $e (\pm)$ – эксцентриситет с учетом знака, мм;
- $\Pi'(\phi)$ – первая передаточная функция, мм.

Продолжение прил. В

Рассмотрим случаи расчета угла давления с учетом знака «е».

Случай 1. Эксцентризитет «е» > 0 (рис. В.21, а)

Для кулачка с известным профилем построим систему координат с ее началом в центре вращения кулачка O_1 . На расстоянии эксцентризитета «е» от O_1 проведем линию действия толкателя. Для определения угла давления α_i проведем нормаль $n-n$ через i -ю точку контакта толкателя и теоретического профиля кулачка. Далее из центра O_1 проведем прямую перпендикулярно линии действия толкателя до пересечения её с нормалью $n-n$. Точку пересечения прямых обозначим « K ». Точку пересечения линии действия толкателя с прямой O_1K обозначим « C ». В этом случае направления \bar{V}_A и \bar{V}_C совпадают.

В курсе ТММ доказывается, что отрезок O_1K , выполненный в масштабе схемы K_M , численно равен величине первой передаточной функции $\Pi'(\phi)$.

Из треугольника ACK имеем

$$\operatorname{tg} \alpha_i = \frac{CK}{AC},$$

где $CK = O_1K - O_1C = \Pi'(\phi) - e$; $AC = \beta_i + \sqrt{R_0^2 - e^2}$.

Теперь формула для расчета угла давления (*al'fa*) примет вид

$$\alpha_i = \operatorname{arctg} \frac{|\Pi'_i(\phi)| - e}{\beta_i + \sqrt{R_0^2 - e^2}}.$$

В зависимости от знака эксцентризитета «е» числитель дроби может быть разностью или суммой. Для доказательства рассмотрим случай 2.

Случай 2. Эксцентризитет «е» < 0 (рис. В.21, б)

Из треугольника ACK имеем

$$\operatorname{tg} \alpha_i = \frac{CK}{AC},$$

где $CK = O_1K + O_1C = \Pi'(\phi) - (-e) = \Pi'(\phi) + e$; $AC = \beta_i + \sqrt{R_0^2 - e^2}$;

$$\alpha_i = \operatorname{arctg} \frac{|\Pi'_i(\phi)| + e}{\beta_i + \sqrt{R_0^2 - e^2}}.$$

Знак «-» в числителе принимают в том случае, если точки « C » и « K » расположены *по одну сторону* от точки O_1 ($e > 0$). Если точки « C » и « K » расположены *по разные стороны* от точки O_1 , то в числителе принимают знак «+» ($e < 0$).

Одно лишь изменение знака эксцентризитета в одном и том же механизме существенно влияет на значения углов давления. Примеры на эту тему даны в прил. Д.

**Коромысловый кулачковый механизм
(с вращательным движением толкателя – коромысла)**

Для расчета угла давления необходимо знать следующие величины:

- профиль кулачка и, следовательно, β_i – перемещение толкателя из нулевого положения в положение « i »;
- R_0 – радиус начальной шайбы теоретического профиля, мм;
- ℓ – длину коромысла, мм;
- L – межосевое расстояние, мм;
- $\Pi'(\varphi)$ – первую передаточную функцию.

Коромысловый кулачковый механизм представлен на рис. В.22. Для определения угла давления проведем нормаль $n-n$ в i -й точке контакта толкателя и теоретического профиля кулачка. Из точки O_1 проведем прямую перпендикулярно линии действия вектора скорости толкателя, т. е. параллельно коромыслу $AO_2 = \ell$ до ее пересечения с нормалью $n-n$. Точку пересечения этих прямых обозначим "K".

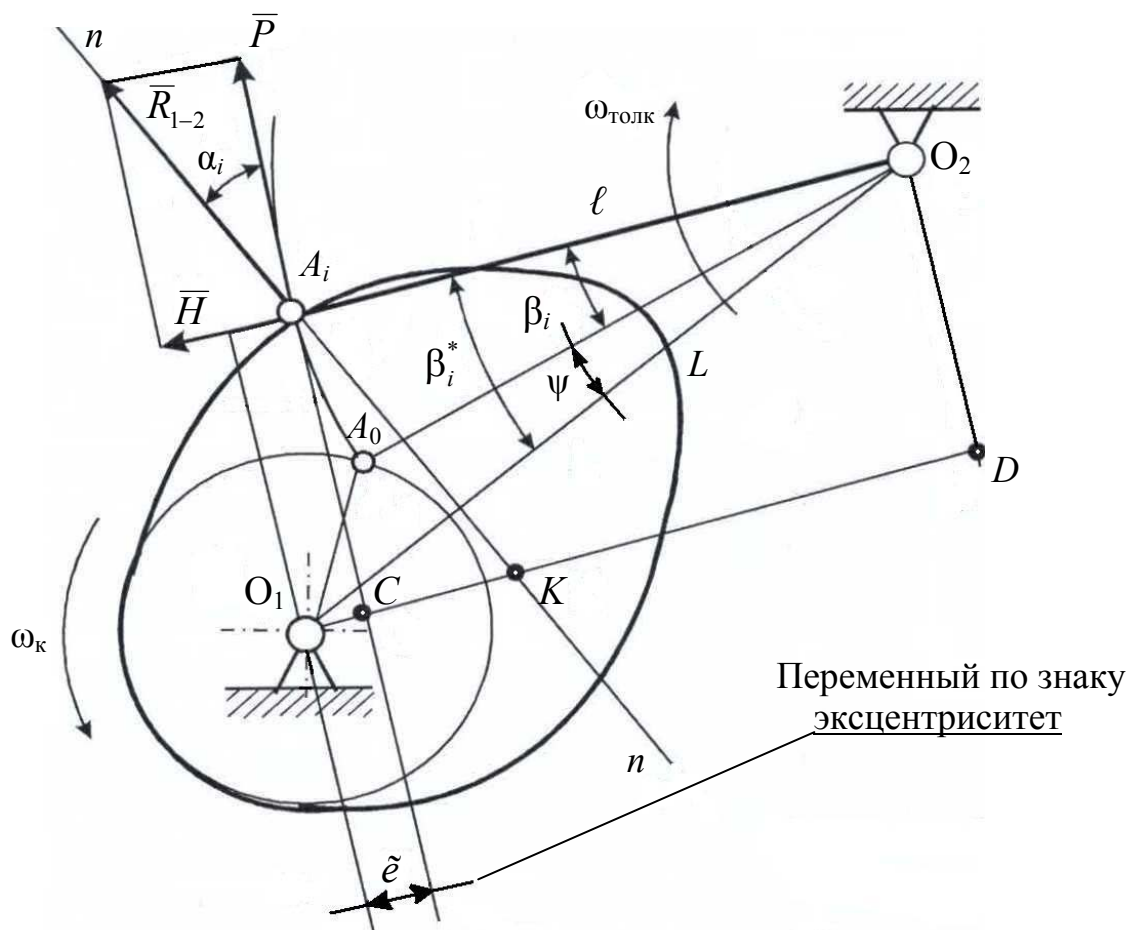


Рис. В.22. К определению углов давления при вращательном движении толкателя (коромысла)

Продолжение прил. В

Точку пересечения линии действия вектора скорости толкателя с прямой O_1K обозначим "C". Из треугольника ACK имеем

$$\operatorname{tg} \alpha_i = \frac{CK}{AC}.$$

Для определения отрезков CK и AC соединим центры вращения кулачка и толкателя и обозначим межцентровое расстояние $O_1O_2 = L$.

Опустим перпендикуляр из центра вращения толкателя O_2 на продолжение прямой O_1K и поставим точку "D". Далее запишем

$$AC = O_2D = L \sin \beta_i^*; \quad CK = O_1K - O_1C,$$

где $O_1K = \Pi'_i \ell$; $O_1C = L \cos \beta_i^* - \ell = \tilde{e}$.

β_i^* – угол между коромыслом и прямой, соединяющей O_1 и O_2 , определяемый суммой

$$\beta_i^* = \beta_i + \psi.$$

Угол ψ определим с помощью теоремы косинусов из треугольника $O_1A_0O_2$

Для коромыслового кулачкового механизма отрезок O_1C является *переменным эксцентриситетом* \tilde{e} , который может принимать как положительное, так и отрицательное значения, т. е. находиться слева или справа от точки O_1 ,

$$CK = O_1K - O_1C = \Pi'_i \ell - \tilde{e}.$$

С учетом полученных выражений и последующих подстановок получим расчетную формулу для определения угла давления « α » в « i » положении механизма

$$\alpha_i = \operatorname{arctg} \frac{|\Pi'_i| \ell - (L \cos \beta_i^* - \ell)}{L \sin \beta_i^*} = \operatorname{arctg} \frac{|\Pi'_i| \ell - \tilde{e}}{L \sin \beta_i^*}.$$

При $\tilde{e} > 0$ в числителе будет разность, при $\tilde{e} < 0$ – сумма, т. е.

$$\alpha_i = \operatorname{arctg} \frac{|\Pi'_i| \ell \pm \tilde{e}}{L \sin \beta_i^*}.$$

Знак "+" в числителе принимают в том случае, когда точки "C" и "K" расположены по разные стороны от точки O_1 ; знак "-" там же в случае, когда точки C и K расположены по одну сторону от точки O_1 .

Возрастание углов давления в коромысловых механизмах ведет к нагружению коромысла вдоль его продольной оси (его растяжению или сжатию). Но, как правило, коромысло за счет размеров поперечного сечения имеет значительный запас продольной устойчивости. Продольная сила (*вредная составляющая* H) в этом случае лишь увеличивает момент трения во вращательной паре O_i , несколько уменьшая механический КПД всего механизма.

Этот момент определим из формулы

$$M_{\text{тр}} = fH\rho^*,$$

где f – коэффициент трения скольжения в трущейся паре;
 H – величина вредной составляющей полной реакции R_{1-2} ;
 ρ^* – радиус цапфы шарнира (рис. В.23).

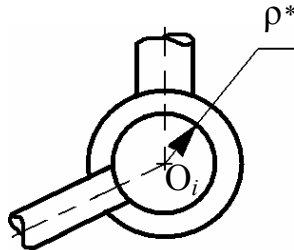


Рис. В.23. К определению момента трения во вращательной паре

Следует заметить, что значения допускаемых углов давления можно повысить подбором материалов кинематических пар, шероховатостью поверхностей, дающими меньший коэффициент трения, а также обеспечением обильной смазки в трущейся паре.

ОПРЕДЕЛЕНИЕ ОСНОВНЫХ РАЗМЕРОВ КУЛАЧКА ИСХОДЯ ИЗ УСЛОВИЙ ОГРАНИЧЕНИЙ УГЛА ДАВЛЕНИЯ

Проектируя новый механизм и выбирая его габаритные размеры, необходимо учитывать допускаемые значения углов давления. При исследовании работы существующего механизма может появиться необходимость определения максимальных углов давления и сравнения их с допускаемыми значениями. Превышение допускаемых углов ведет к резкому росту сил сопротивления в механизме, затрудненной его работе и остановке (заклиниванию).

Кулачковый механизм с поступательным движением толкателя

Случай 1. Определение минимального радиуса начальной шайбы $R_{0 \min}$ и эксцентрикситета «е» при известных значениях углов давления $[\alpha]$.

Определению подлежат:

- R_0 – радиус начальной шайбы теоретического профиля;
- e – эксцентрикситет.

Для выполнения расчета необходимо иметь:

- β_{III} – максимальное перемещение толкателя;
- $\beta(\varphi)$ – график перемещения центра ролика толкателя;
- $\beta' = \Pi'(\varphi)$ – график изменения первой передаточной функции;
- $[\alpha]$ – допускаемые углы давления;
- K_M – масштаб схемы механизма (мм/мм черт.).

Продолжение прил. В

Предположим, что для кулачкового механизма с поступательным движением толкателя в результате выполнения его кинематического анализа построен график $\beta' = \Pi'(\varphi)$ для шести положений (рис. В.24). На траектории движения центра ролика толкателя от точек A_i перпендикулярно к направлению движения толкателя (горизонтально) из точек 0, 1, 2, 3, 4, 5, 6 ($A_0 - A_6$) отложим отрезки h_i , представляющие собой численные значения функции $\Pi'(\varphi)$, мм, в масштабе механизма K_M (рис. В.25).

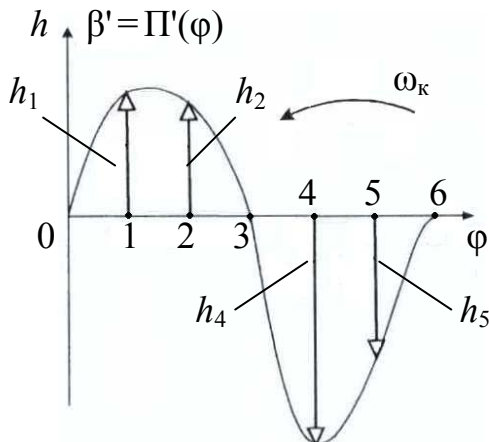


Рис. В.24. График первой передаточной функции $\beta' = \Pi'(\varphi)$

Искомые отрезки определим из данных в табл. 2.14÷2.23 ($\beta' = \Pi'(\varphi)$).

$$h_1 = \frac{\Pi'_1(\varphi)}{K_M}, h_2 = \frac{\Pi'_2(\varphi)}{K_M}, \dots, h_i = \frac{\Pi'_i(\varphi)}{K_M}.$$

Отрезки h_i отложим согласно правилу:

На фазах удаления и возврата толкателя h_i следует повернуть по отношению к вектору его скорости на 90° в сторону угловой скорости кулачка ω_k .

В примере (рис. В.25) на участке удаления (прямой ход толкателя) отрезки h_i отложим влево, на участке возвращения (обратный ход толкателя) – вправо.

Соединим концы отрезков h_i плавной кривой в замкнутую фигуру (годограф). Затем проведем к этой кривой две касательные под углами $[\alpha]$ к линии действия вектора скорости толкателя для участков удаления и возвращения толкателя.

Пересечение проведенных касательных определит новое положение центра вращения кулачка O_1 , величину радиуса начальной шайбы теоретического профиля кулачка $R_{0\ min}$ и эксцентриситета «е», обеспечивающих работу механизма с углами давления, не превышающими допустимых значений.

В данном случае получается нецентральный (внекентральный) кулачковый механизм с эксцентриситетом «е».

Прямой (рабочий) ход
толкателя

Обратный (холостой) ход
толкателя

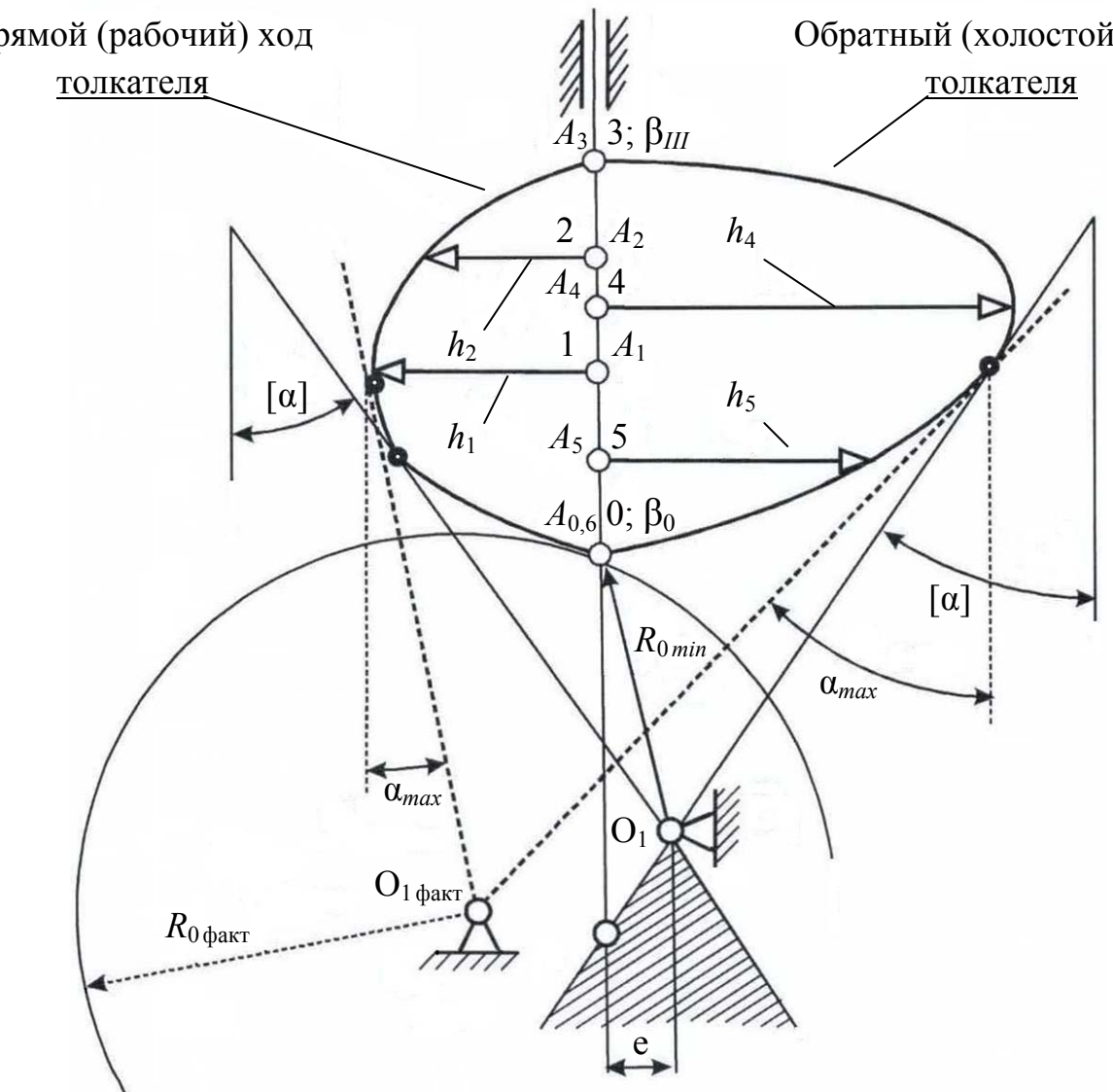


Рис. В.25. К определению габаритов кулачкового механизма с поступательным движением толкателя

Для получения центрального кулачкового механизма необходимо центр вращения кулачка выбрать в заштрихованной области на линии движения толкателя. При этом радиус начальной шайбы увеличивается в сравнении с предыдущим вариантом. При выборе центра вращения кулачка в заштрихованной области получим механизм, в котором углы давления также не превышают допустимых значений.

Следует заметить, что в практике (ввиду наличия некоторых трудно-учитываемых и случайных факторов) максимальные углы давления не всегда соответствуют максимальным значениям первой передаточной функции.

Продолжение прил. В

Случай 2. При исследовании работы существующих механизмов может возникнуть задача определения фактических максимальных углов давления и сравнения их с допускаемыми значениями.

Рассмотрим вариант, когда известно положение центра кулачка O_1 факт и необходимо определить максимальные значения углов давления α_{max} .

Для этого из центра вращения кулачка O_1 факт проведем касательные к замкнутой фигуре, построение которой рассмотрено выше. Затем через эти точки касания проведем прямые параллельные между собой линии, соответствующие направлению движения толкателя. Углы, образованные этими прямыми и касательными, – максимальные углы давления α_{max} на участках удаления и возврата толкателя.

Данное построение на *рис. В.25* выполнено штриховыми линиями.

Кулачковый механизм с вращательным движением толкателя

При вращательном движении толкателя определяются:

- R_0 – радиус начальной шайбы теоретического профиля;
- $L = O_1O_2$ – межосевое расстояние.

Для выполнения расчета необходимо знать следующие величины:

- β_{III} – максимальное перемещение толкателя;
- $\beta(\varphi)$ – функцию положения центра ролика толкателя;
- $\beta' = \Pi'(\varphi)$ – график изменения первой передаточной функции;
- ℓ – длину коромысла;
- $[\alpha]$ – допускаемые углы давления;
- K_M – масштаб схемы механизма.

Методика расчёта здесь та же, что и для нецентрального механизма. Передаточные функции для этого механизма являются величинами безразмерными. Чтобы отрезки h_i имели размерность «мм», необходимо значения первой передаточной функции умножить на длину коромысла в мм, т. е.

$$h_1 = \frac{\Pi'_1(\varphi)\ell}{K_M}, \quad h_2 = \frac{\Pi'_2(\varphi)\ell}{K_M}, \dots, \quad h_i = \frac{\Pi'_i(\varphi)\ell}{K_M}.$$

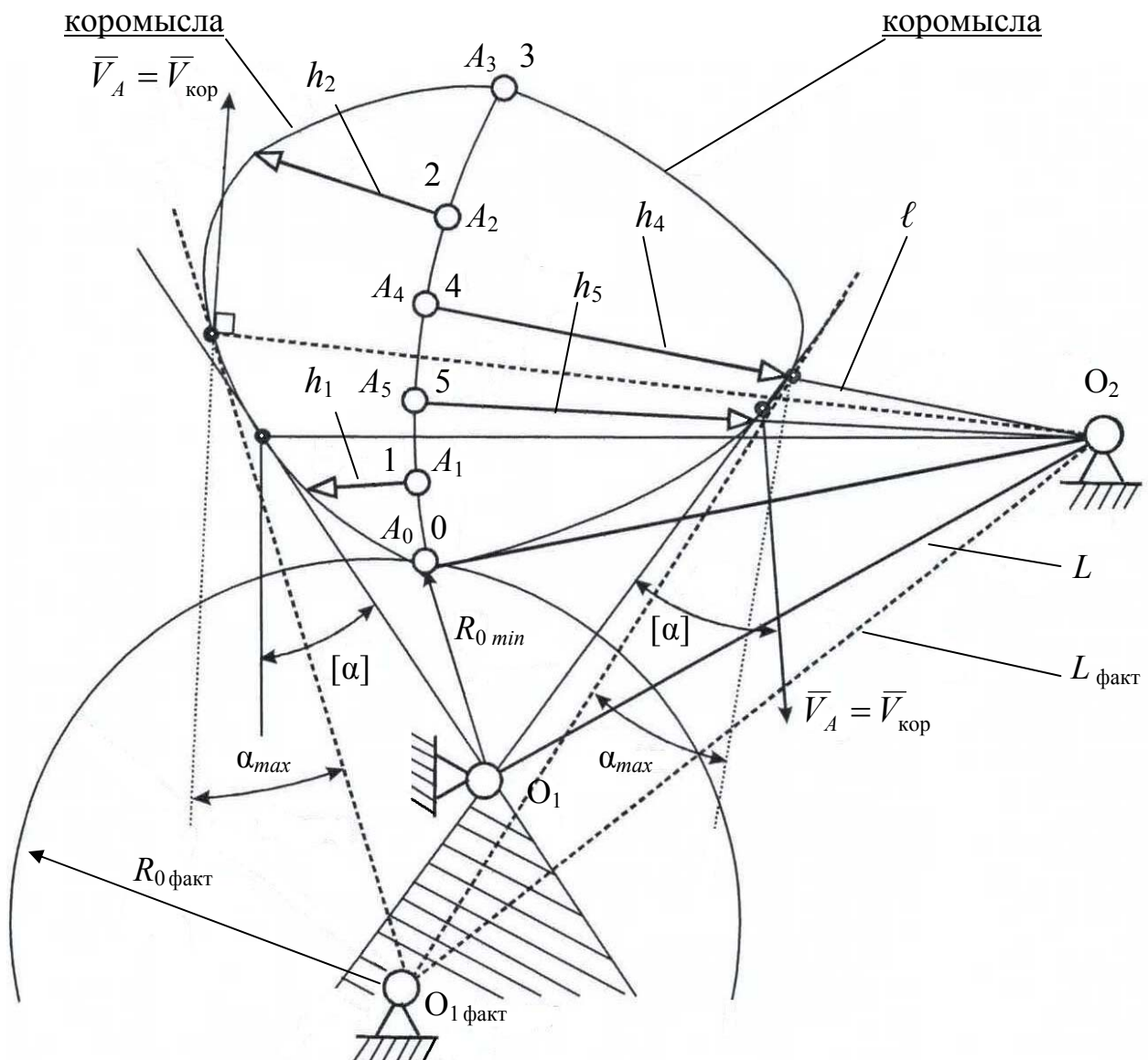
Отрезки h_i откладываются на траектории движения (дуге) свободного конца коромысла с учетом правила их поворота вдоль продольной оси этого коромысла в ту или иную сторону .

Для схемы механизма, изображенной на *рис. В.26*, на участке удаления коромысла (рабочий ход) отрезки h_i отложим влево, на участке возвращения (холостой ход) – вправо.

Если максимальные углы давления α_{max} фиксированы, то центр вращения кулачка O_1 факт находится на пересечении касательных. Тем самым определяют величину R_0 факт и межосевое расстояние $O_1O_2 = L$ факт.

Данное построение выполнено также на *рис. В.26* штриховыми линиями.

Прямой (рабочий) ход коромысла



Обратный (холостой) ход коромысла

Рис. В.26. К определению габаритов кулачкового механизма с вращательным движением толкателя

Выбор радиуса ролика

Радиус ролика (радиус скругления рабочего участка толкателя) «р» чаще всего выбирают по условию контактной прочности с учетом непрерывности контакта между роликом и кулачком, толщины ролика, механических характеристик материалов рабочих поверхностей и заданной долговечности всего механизма.

Геометрическим ограничением в передачах являются допустимые ошибки воспроизведения функции положения (отскок ролика от профиля кулачка) и отсутствие самопересечения профиля кулачка в случае, когда радиус ролика на

Продолжение прил. В

каком-либо участке профиля назначается больше, чем минимальный радиус кривизны (ρ_{min}^{kp}) профиля кулачка.

На рис. В.27 приведены 3 варианта выбора радиуса ролика ρ :

1. $\rho_1 < \rho_{min}^{kp}$ – кривизна профиля не достигает некоторого предельного значения (профиль 1);
2. $\rho_2 = \rho_{min}^{kp}$ – имеет место теоретическое заострение профиля (профиль 2);
3. $\rho_3 > \rho_{min}^{kp}$ – в этом случае возникает самопересечение профиля (профиль 3 на рис. В.27 выполнен тонкой штрихпунктирной линией).

В практике обычно принимают

$$\rho \leq 0,7\rho_{min}^{kp},$$

где ρ_{min}^{kp} – минимальный радиус кривизны профиля кулачка, определяемый экспериментально на отсутствие его заострения.

В дополнение к этому радиус ролика ограничивается условием

$$\rho \leq 0,4(r_0 + \rho),$$

по которому величина « ρ » не должна превышать 40 % величины радиуса начальной шайбы теоретического профиля кулачка (R_0).

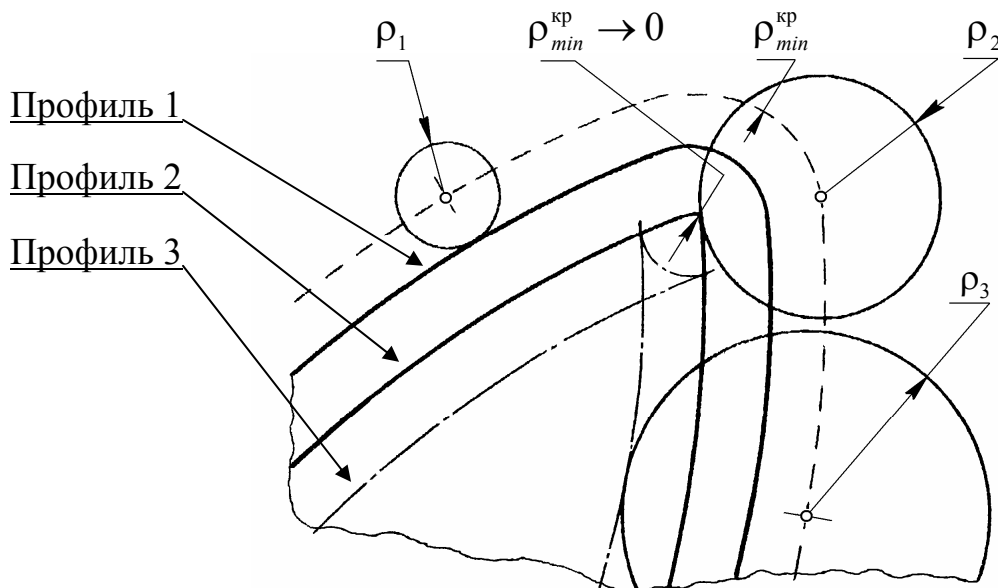


Рис. В.27. К определению минимального размера радиуса ролика

В окончательном варианте « ρ » выбирают как меньшее из двух заданных условий в соответствии со стандартным рядом диаметров и длин, принятым в машиностроении.

Некоторые примеры использования кулачковых механизмов в узлах и деталях машин представлены на рис. В.28 – В.46.

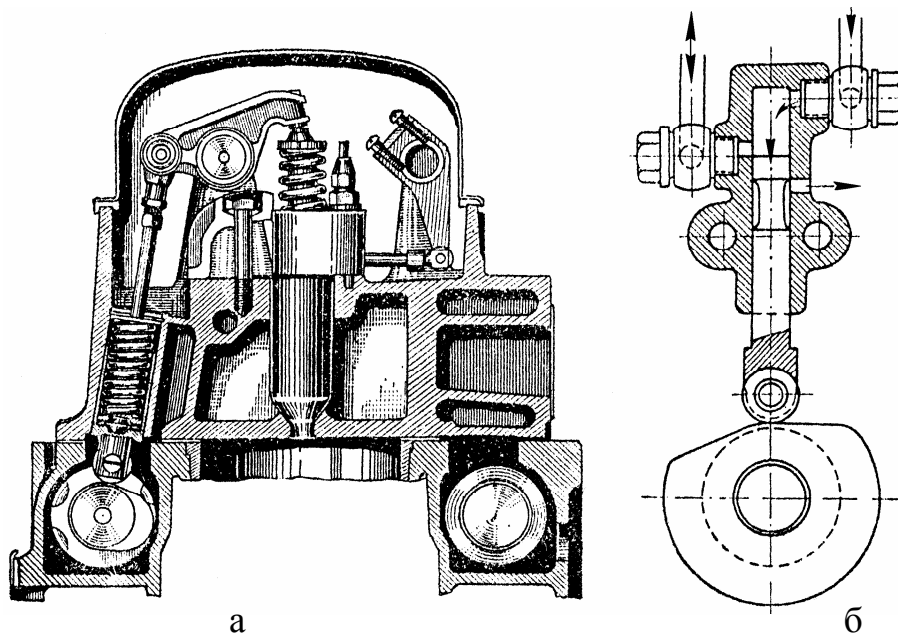


Рис. В.28. Кулачковый механизм (КМ):
 а – в ДВС со средним расположением распределительного вала;
 б – в механизме пускового золотника

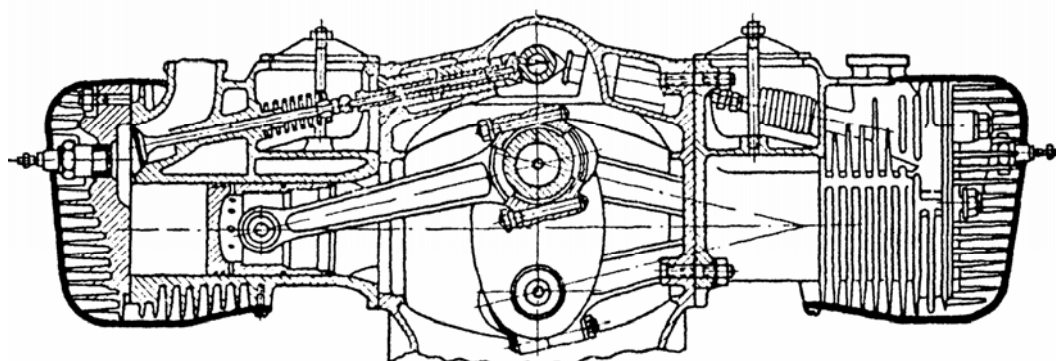


Рис. В.29. Привод боковых клапанов горизонтального ДВС

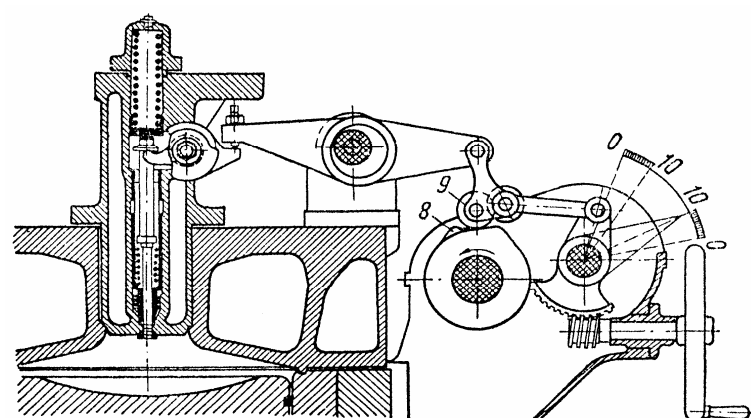


Рис. В.30. Реверсивный механизм с двумя комплектами роликов

Продолжение прил. В

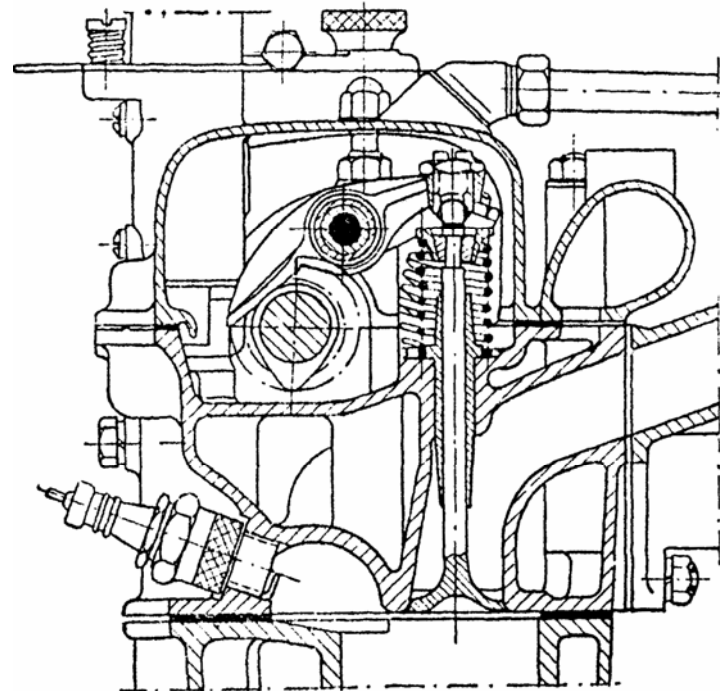


Рис. В.31. Привод подвесных клапанов с плоским вращающимся толкателем

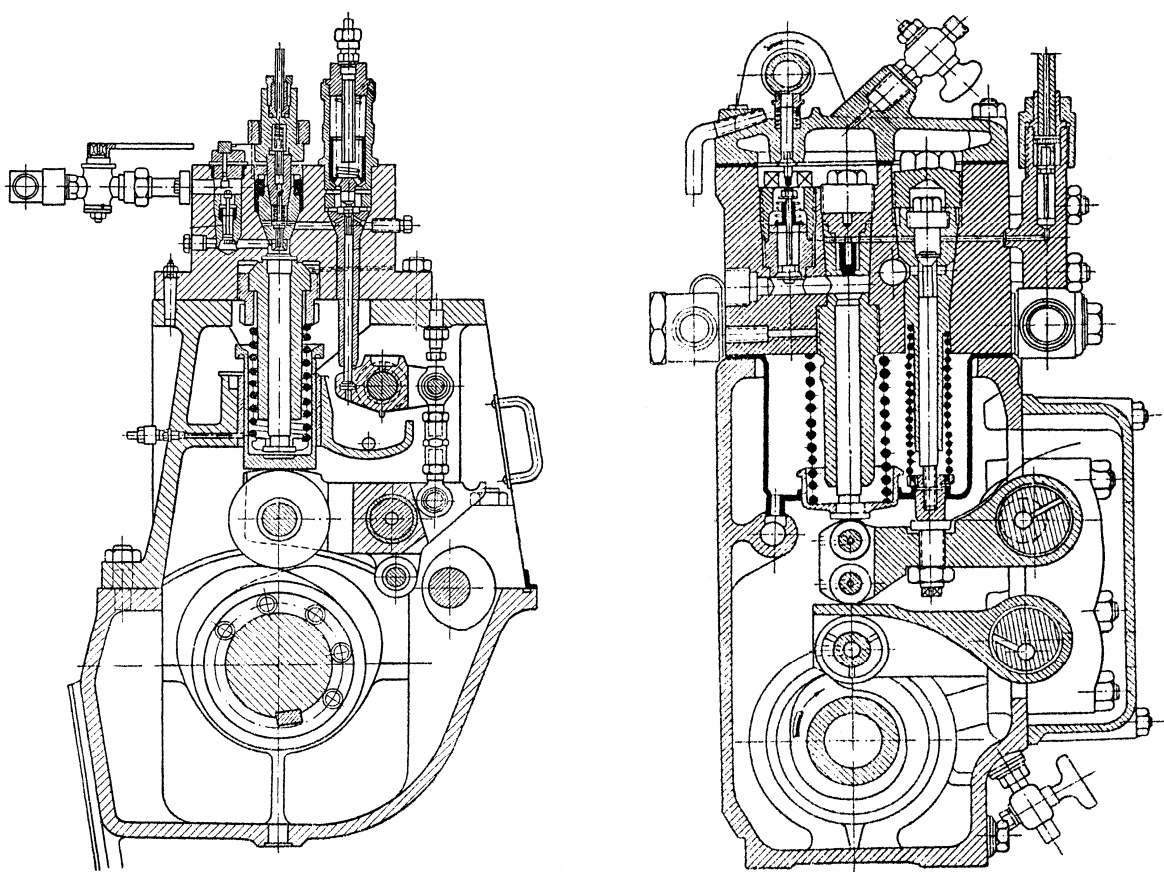


Рис. В.32. КМ в топливных насосах

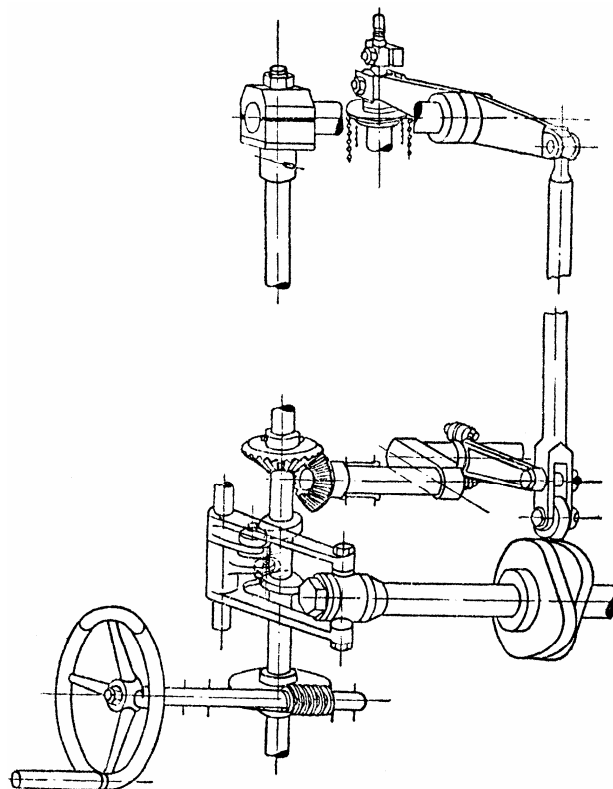


Рис. В.33. Реверсирование осевым передвижением кулачков в машинах малой и средней мощностей

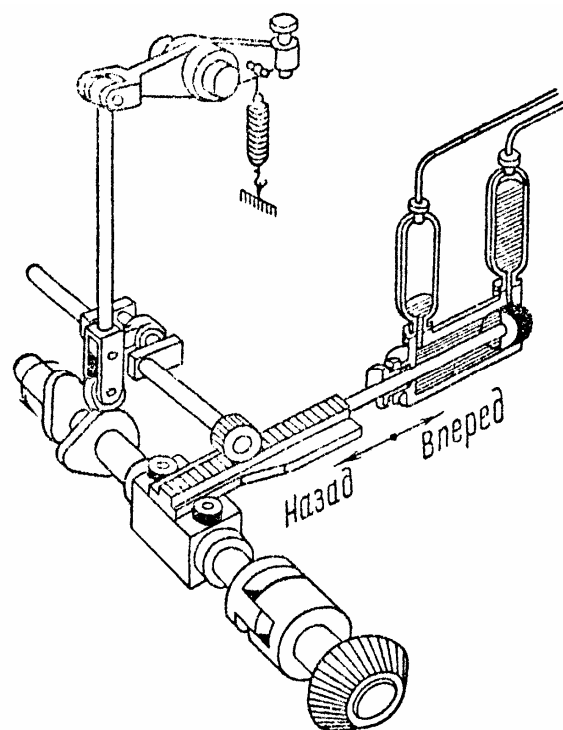


Рис. В.34. Реверсирование осевым передвижением кулачков в машинах большой мощности

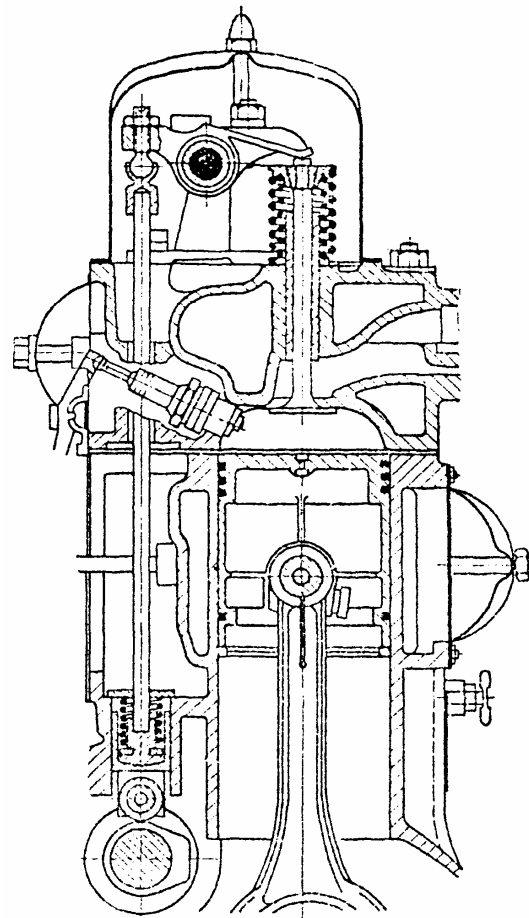


Рис. В.35. Привод подвесных клапанов с роликовым толкателем

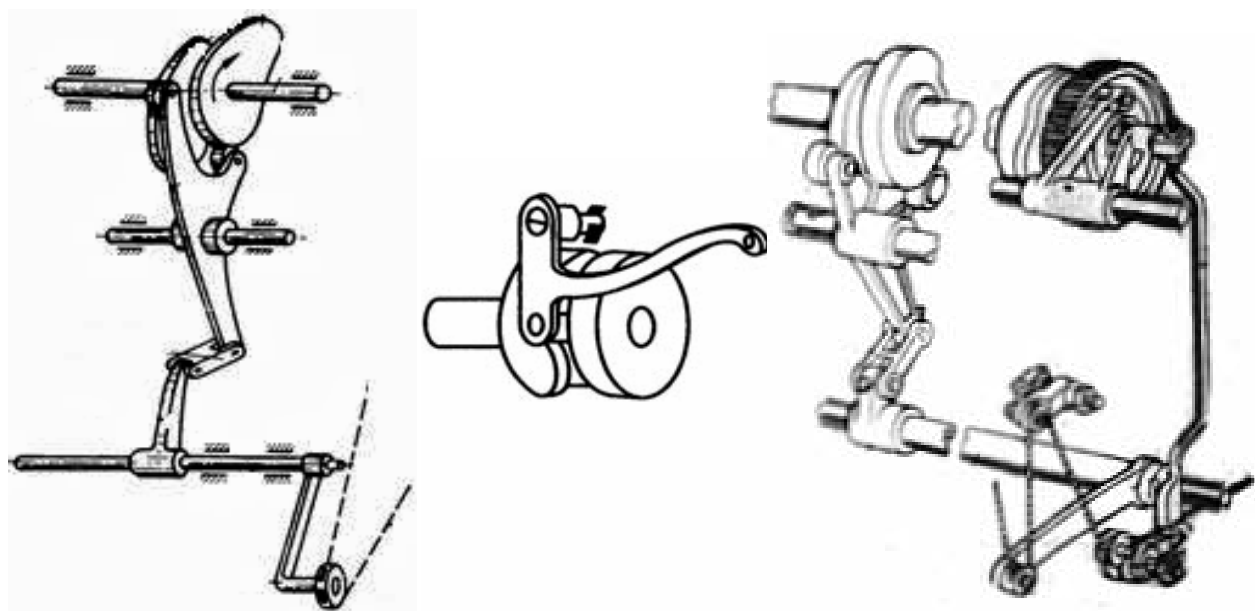


Рис. В.36. КМ в текстильных машинах



Рис. В.37. Кулакковая муфта



Рис. В.38. Пломбирователь с КМ сжатия



Рис. В.39. Пространственный КМ

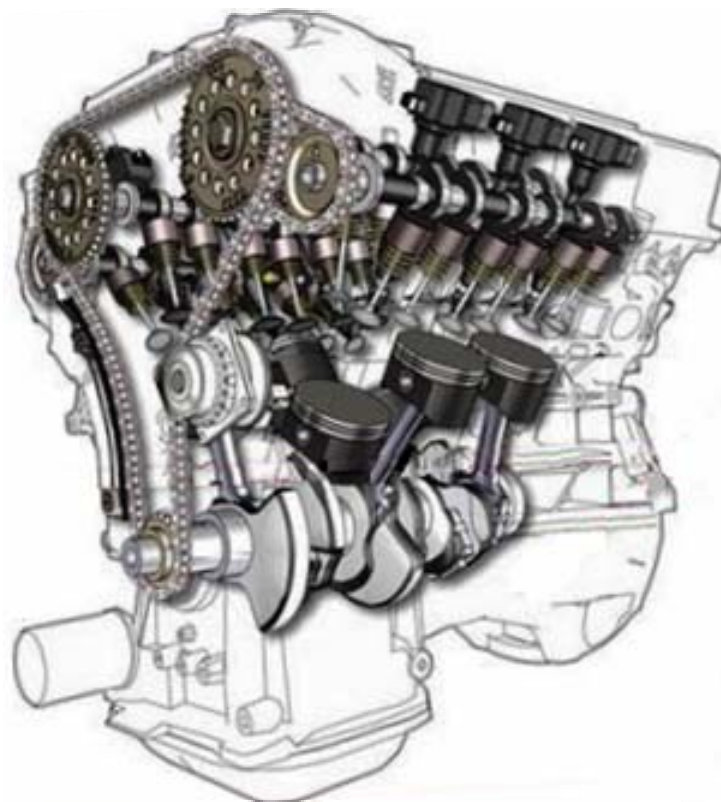


Рис. В.40. *V*-образная схема расположения цилиндров ДВС, в которой цилиндры и КМ размещаются в ряд с развалом от 10° до 120° в форме латинской буквы «*V*»

Продолжение прил. В

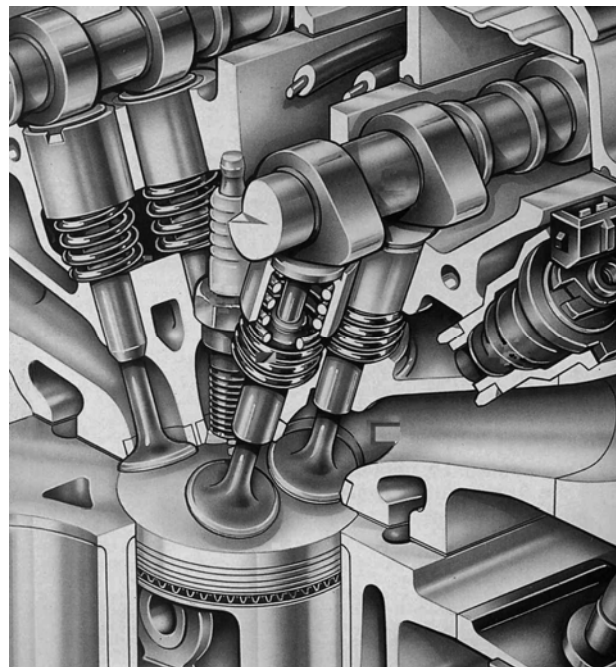


Рис. В.41. КМ газораспределения в ДВС



Рис. В.42. Кулачковая коробка передач



Рис. В.43. Слесарный инструмент с КМ

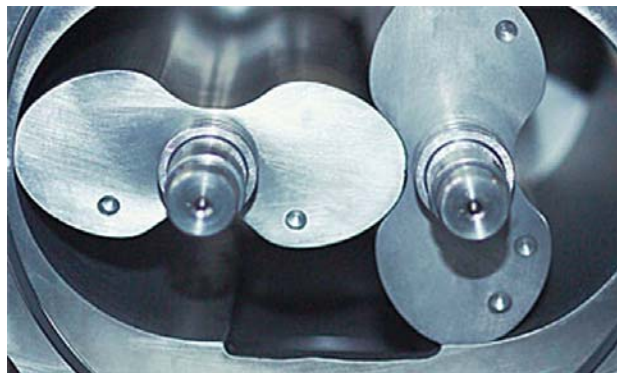


Рис. В.44. Кулачковый (зубчатый) механизм в насосах



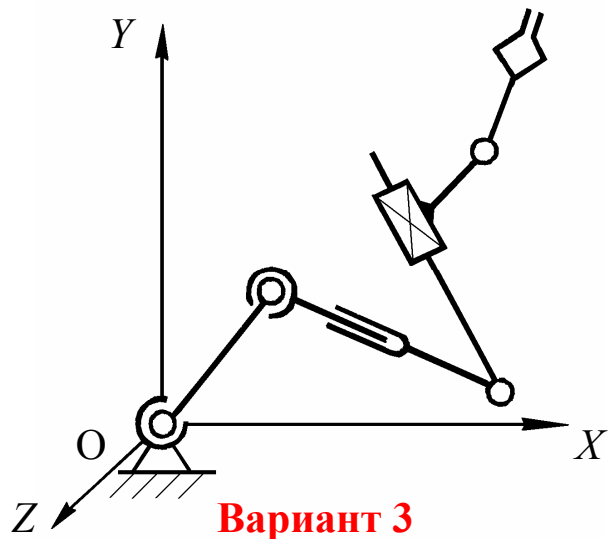
Рис. В.45. Молот, приводимый в движение с помощью кулачка.
Музей Леонардо да Винчи в Риме



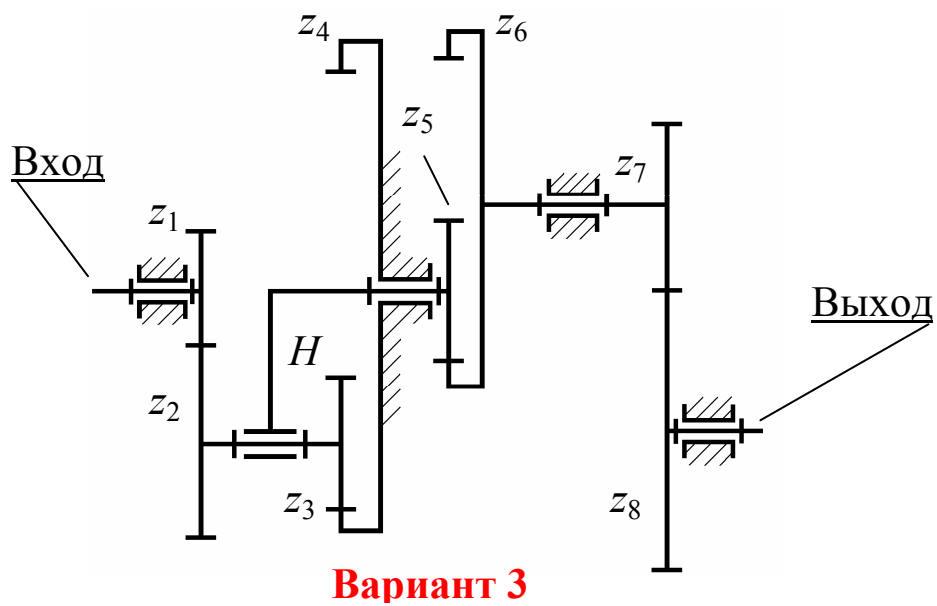
Рис. В.46. КМ в музыкальных инструментах

ПРИМЕР
выбора задания для контрольной работы и курсового проекта
 Шифр студента **XXXXX 03.**

Задание 1 (контрольная работа)
 Расчетная схема манипулятора (*рис. 1.6, с. 15*)



Задание 2 (контрольная работа)
 Расчетная схема планетарного зубчатого механизма (*рис. 1.7, с. 17*)



Числовые значения исходных данных для решения задачи по кинематике зубчатых механизмов – 10 (*табл. 1.1, вар. задания 3 – с. 19*):

$$n_1 = 6 \text{ c}^{-1}; z_1 = 30; z_2 = 55; z_3 = ?; z_4 = 115; z_5 = 50; z_6 = 120; z_7 = 45; z_8 = 55.$$

Определению подлежат: $W, z_3, u_{1-8}, n_H, n_3, n_8$.

Продолжение прил. Г

Министерство образования и науки Российской Федерации

Федеральное государственное бюджетное образовательное учреждение
высшего профессионального образования

«САНКТ-ПЕТЕРБУРГСКИЙ ГОСУДАРСТВЕННЫЙ УНИВЕРСИТЕТ ПРОМЫШЛЕННЫХ
ТЕХНОЛОГИЙ И ДИЗАЙНА»

Кафедра «Теоретическая и прикладная механика»

Исполнитель
проекта _____
(Фамилия, И. О.)

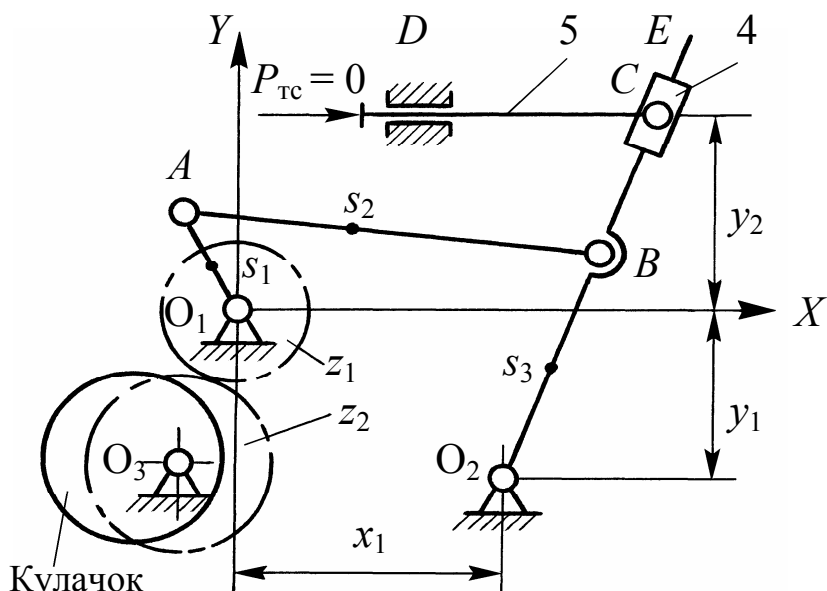
Руководитель
проекта (работы) _____

Группа _____

Дата выдачи задания _____ 20 г.

Принял к исполнению _____
(Дата, подпись и шифр студента)

ЗАДАНИЕ 3



Частота вращения входного звена

$$n_1 = 4,7 \text{ с}^{-1}.$$

Содержание работы

Лист 1. Кинематический анализ рычажного механизма.

Лист 2. Синтез кулачкового механизма.

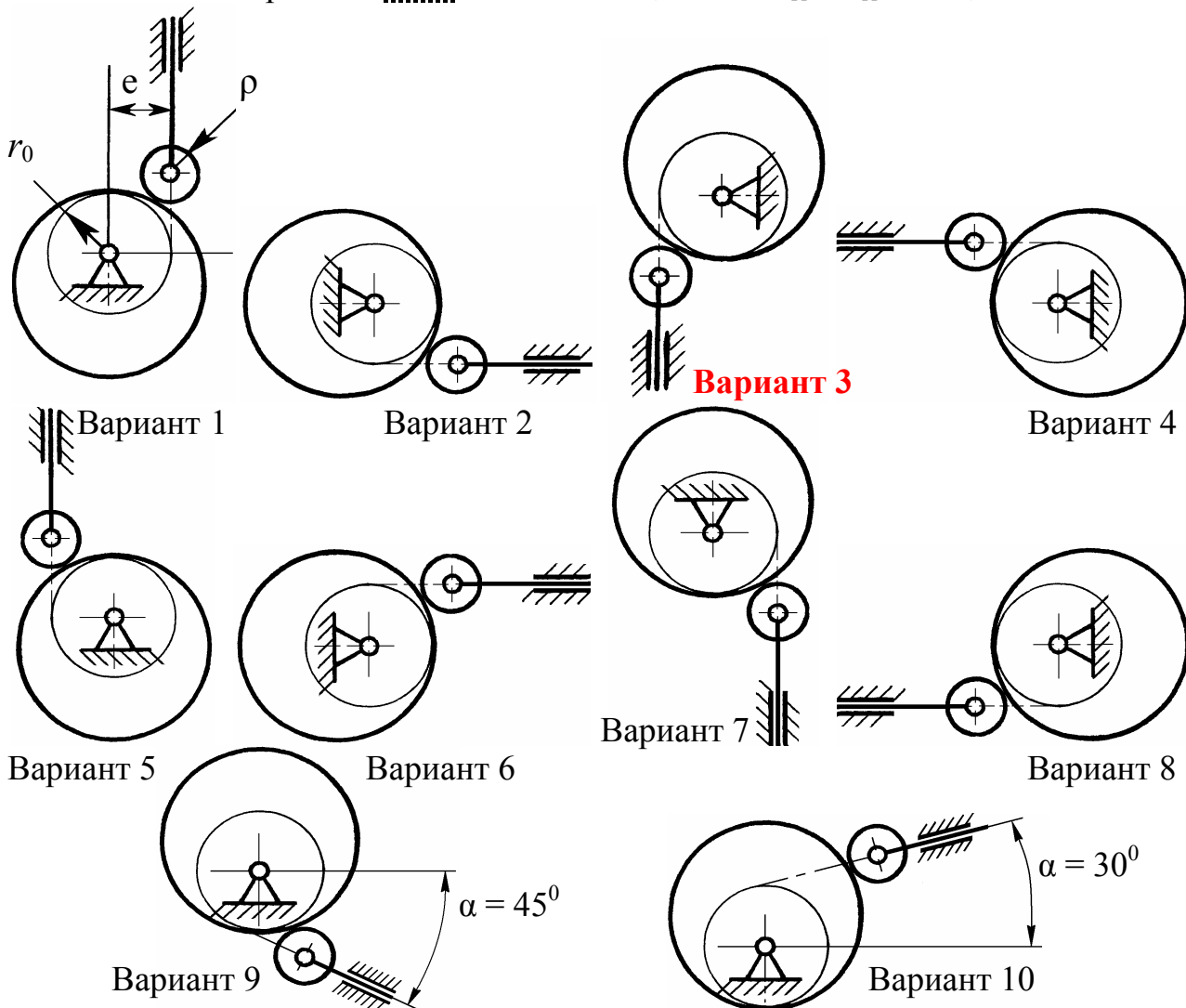
Таблица 2.3. Параметры рычажного механизма, м (с. 28 и 36)

O_1A	AB	BO_2	EO_2	x_1	y_1	y_2	O_1s_1	As_2	O_2s_3
0,09	0,2	0,18	0,3	0,2	0,11	0,14	—	—	—

Окончание прил. Г

Т а б л и ц а 2.12. Параметры кулачкового механизма для шифра 03
 (с. 38, табл. 2.12; с. 39, табл. 2.13 и с. 60 – 62, табл. 2.23)

Варианты *схем* механизмов (последняя цифра шифра зачетки)



Приложение Д

Результаты расчета параметров кулачка с ПК

22/12/2015 16:06:19 Кулачковый механизм (толкатель поступательный beta(метры))

Исходные данные:	B3= 0.06	fds= 10.0	R0=0.082	e = 0.020
Прямой ход:	fi3=160.0	lam=1.250	db= 0.150	s11 = 0.50
Обратный ход:	fi3=130.0	lam=1.000	db= 0.000	s11 = 0.00
			s21 = 0.50	s13 = 0.25
			s21 = 1.00	s13 = 0.30
			s23 = 0.30	s23 = 0.25

Рабочий (прямой) ход толкателя					
Teta1'max = 2.00000	Teta3'max = 1.96812	Teta1"max = 3.14159	Teta3"max = 2.45972		
fi1 = 73.66640	fi2 = 86.73558	beta1 = 0.02536	beta2 = 0.03436		
fi	beta	beta'	beta"	al'fa	
Участок разбега					
+0.00e+000	+0.00000e+000	+0.00000e+000	+0.00000e+000	-1.41e+001	
+9.21e+000	+8.0865e-005	+1.50172e-003	+1.84472e-002	-1.31e+001	
+1.84e+001	+6.3212e-004	+5.77824e-003	+3.40859e-002	-1.01e+001	
+2.76e+001	+2.0525e-003	+1.21785e-002	+4.45354e-002	-5.48e+000	
+3.68e+001	+4.6086e-003	+1.97282e-002	+4.82047e-002	-1.85e-001	
+4.60e+001	+8.3938e-003	+2.72778e-002	+4.45354e-002	+4.73e+000	
+5.52e+001	+1.3315e-002	+3.36781e-002	+3.40859e-002	+8.38e+000	
+6.45e+001	+1.9105e-002	+3.79546e-002	+1.84472e-002	+1.03e+001	
+7.37e+001	+2.5365e-002	+3.94563e-002	+0.00000e+000	+1.05e+001	
Участок постоянной скорости					
+7.37e+001	+2.5365e-002	+3.94563e-002	+0.00000e+000	+1.05e+001	
+7.53e+001	+2.6490e-002	+3.94563e-002	+0.00000e+000	+1.04e+001	
+7.69e+001	+2.7615e-002	+3.94563e-002	+0.00000e+000	+1.03e+001	
+7.86e+001	+2.8740e-002	+3.94563e-002	+0.00000e+000	+1.02e+001	
+8.02e+001	+2.9865e-002	+3.94563e-002	+0.00000e+000	+1.01e+001	
+8.18e+001	+3.0990e-002	+3.94563e-002	+0.00000e+000	+9.98e+000	
+8.35e+001	+3.2115e-002	+3.94563e-002	+0.00000e+000	+9.89e+000	
+8.51e+001	+3.3240e-002	+3.94563e-002	+0.00000e+000	+9.79e+000	
+8.67e+001	+3.4365e-002	+3.94563e-002	+0.00000e+000	+9.69e+000	
Участок выбега					
+8.67e+001	+3.4365e-002	+3.94563e-002	-0.00000e+000	+9.69e+000	
+9.59e+001	+4.0566e-002	+3.75102e-002	-2.34761e-002	+8.30e+000	
+1.05e+002	+4.6189e-002	+3.24760e-002	-3.72498e-002	+5.67e+000	
+1.14e+002	+5.0891e-002	+2.63401e-002	-3.85638e-002	+2.78e+000	
+1.23e+002	+5.4609e-002	+2.01761e-002	-3.85638e-002	+7.52e-002	
+1.33e+002	+5.7341e-002	+1.40122e-002	-3.85638e-002	-2.51e+000	
+1.42e+002	+5.9088e-002	+7.84820e-003	-3.85638e-002	-5.01e+000	
+1.51e+002	+5.9875e-002	+2.29869e-003	-2.72687e-002	-7.24e+000	
+1.60e+002	+6.0000e-002	+0.00000e+000	-0.00000e+000	-8.16e+000	
Холостой (обратный) ход толкателя					
Teta1'max = 1.57080	Teta3'max = 2.03293	Teta1"max = 2.46740	Teta3"max = 2.54071		
fi1 = 72.39780	fi2 = 72.39780	beta1 = 0.03716	beta2 = 0.03716		
fi	beta	beta'	beta"	al'fa	
Участок разбега					
+1.70e+002	+6.0000e-002	-0.00000e+000	-5.74216e-002	-8.16e+000	
+1.79e+002	+5.9286e-002	-9.01143e-003	-5.63182e-002	-1.18e+001	
+1.88e+002	+5.7172e-002	-1.76766e-002	-5.30506e-002	-1.54e+001	
+1.97e+002	+5.3738e-002	-2.56624e-002	-4.77443e-002	-1.89e+001	
+2.06e+002	+4.9117e-002	-3.26620e-002	-4.06032e-002	-2.23e+001	
+2.15e+002	+4.3486e-002	-3.84065e-002	-3.19017e-002	-2.54e+001	
+2.24e+002	+3.7062e-002	-4.26750e-002	-2.19743e-002	-2.83e+001	
+2.33e+002	+3.0092e-002	-4.53035e-002	-1.12024e-002	-3.08e+001	
+2.42e+002	+2.2843e-002	-4.61911e-002	-0.00000e+000	-3.29e+001	
Участок выбега					
+2.42e+002	+2.2843e-002	-4.61911e-002	+0.00000e+000	-3.29e+001	
+2.50e+002	+1.7153e-002	-4.35000e-002	+4.06032e-002	-3.33e+001	
+2.57e+002	+1.2073e-002	-3.70033e-002	+5.74216e-002	-3.19e+001	
+2.64e+002	+7.8759e-003	-2.97872e-002	+5.74216e-002	-2.97e+001	
+2.71e+002	+4.5860e-003	-2.25711e-002	+5.74216e-002	-2.68e+001	
+2.78e+002	+2.2029e-003	-1.53550e-002	+5.74216e-002	-2.34e+001	
+2.86e+002	+7.2626e-004	-8.17179e-003	+5.54650e-002	-1.93e+001	
+2.93e+002	+9.6823e-005	-2.27835e-003	+3.49560e-002	-1.56e+001	
+3.00e+002	+0.00000e+000	-0.00000e+000	+0.00000e+000	-1.41e+001	

Конец счета.

Окончание прил. Д

*Изменение углов давления (α/α) в том же КМ при смене
одного лишь знака его эксцентрикитета*

18/12/2015 19:59:03 Кулакковый механизм (толкатель поступательный beta(метры))

Исходные данные: B3= 0.06 fds= 10.0 R0=0.082 e= - 0.020
Прямой ход: fi3=160.0 lam=1.250 db= 0.150 s11= 0.50 s21= 0.50 s13= 0.25 s23= 0.30
Обратный ход: fi3=130.0 lam=1.000 db= 0.000 s11= 0.00 s21= 1.00 s13= 0.30 s23= 0.25

Рабочий (прямой) ход толкателя					
Teta1'max = 2.00000	Teta3'max = 1.96812	Teta1"max = 3.14159	Teta3"max = 2.45972		
fi1 = 73.66640	fi2 = 86.73558	beta1 = 0.02536	beta2 = 0.03436		
fi	beta	beta'	beta"		al'fa
+0.00e+000	+0.00000e+000	+0.00000e+000	+0.00000e+000	+1.41e+001	
+9.21e+000	+8.0865e-005	+1.50172e-003	+1.84472e-002	+1.51e+001	
+1.84e+001	+6.3212e-004	+5.77824e-003	+3.40859e-002	+1.78e+001	
+2.76e+001	+2.0525e-003	+1.21785e-002	+4.45354e-002	+2.15e+001	
+3.68e+001	+4.6086e-003	+1.97282e-002	+4.82047e-002	+2.53e+001	
+4.60e+001	+8.3938e-003	+2.72778e-002	+4.45354e-002	+2.83e+001	
+5.52e+001	+1.3315e-002	+3.36781e-002	+3.40859e-002	+3.00e+001	
+6.45e+001	+1.9105e-002	+3.79546e-002	+1.84472e-002	+3.04e+001	
+7.37e+001	+2.5365e-002	+3.94563e-002	+0.00000e+000	+2.95e+001	
	Участок разбега				
+7.37e+001	+2.5365e-002	+3.94563e-002	+0.00000e+000	+2.95e+001	
+7.53e+001	+2.6490e-002	+3.94563e-002	+0.00000e+000	+2.93e+001	
+7.69e+001	+2.7615e-002	+3.94563e-002	+0.00000e+000	+2.90e+001	
+7.86e+001	+2.8740e-002	+3.94563e-002	+0.00000e+000	+2.88e+001	
+8.02e+001	+2.9865e-002	+3.94563e-002	+0.00000e+000	+2.85e+001	
+8.18e+001	+3.0990e-002	+3.94563e-002	+0.00000e+000	+2.83e+001	
+8.35e+001	+3.2115e-002	+3.94563e-002	+0.00000e+000	+2.80e+001	
+8.51e+001	+3.3240e-002	+3.94563e-002	+0.00000e+000	+2.78e+001	
+8.67e+001	+3.4365e-002	+3.94563e-002	+0.00000e+000	+2.76e+001	
	Участок постоянной скорости				
+8.67e+001	+3.4365e-002	+3.94563e-002	+0.00000e+000	+2.95e+001	
+9.59e+001	+4.0566e-002	+3.75102e-002	-2.34761e-002	+2.56e+001	
+1.05e+002	+4.6189e-002	+3.24760e-002	-3.72498e-002	+2.27e+001	
+1.14e+002	+5.0891e-002	+2.63401e-002	-3.85638e-002	+1.96e+001	
+1.23e+002	+5.4609e-002	+2.01761e-002	-3.85638e-002	+1.67e+001	
+1.33e+002	+5.7341e-002	+1.40122e-002	-3.85638e-002	+1.40e+001	
+1.42e+002	+5.9088e-002	+7.84820e-003	-3.85638e-002	+1.14e+001	
+1.51e+002	+5.9875e-002	+2.29869e-003	-2.72687e-002	+9.09e+000	
+1.60e+002	+6.00000e-002	+0.00000e+000	-0.00000e+000	+8.16e+000	
	Участок выбега				
+8.67e+001	+3.4365e-002	+3.94563e-002	-0.00000e+000	+2.76e+001	
+9.59e+001	+4.0566e-002	+3.75102e-002	-2.34761e-002	+2.56e+001	
+1.05e+002	+4.6189e-002	+3.24760e-002	-3.72498e-002	+2.27e+001	
+1.14e+002	+5.0891e-002	+2.63401e-002	-3.85638e-002	+1.96e+001	
+1.23e+002	+5.4609e-002	+2.01761e-002	-3.85638e-002	+1.67e+001	
+1.33e+002	+5.7341e-002	+1.40122e-002	-3.85638e-002	+1.40e+001	
+1.42e+002	+5.9088e-002	+7.84820e-003	-3.85638e-002	+1.14e+001	
+1.51e+002	+5.9875e-002	+2.29869e-003	-2.72687e-002	+9.09e+000	
+1.60e+002	+6.00000e-002	+0.00000e+000	-0.00000e+000	+8.16e+000	
Холостой (обратный) ход толкателя					
Teta1'max = 1.57080	Teta3'max = 2.03293	Teta1"max = 2.46740	Teta3"max = 2.54071		
fi1 = 72.39780	fi2 = 72.39780	beta1 = 0.03716	beta2 = 0.03716		
fi	beta	beta'	beta"		al'fa
+1.70e+002	+6.00000e-002	-0.00000e+000	-5.74216e-002	+8.16e+000	
+1.79e+002	+5.9286e-002	-9.01143e-003	-5.63182e-002	+4.53e+000	
+1.88e+002	+5.7172e-002	-1.76766e-002	-5.30506e-002	+9.74e-001	
+1.97e+002	+5.3738e-002	-2.56624e-002	-4.77443e-002	-2.43e+000	
+2.06e+002	+4.9117e-002	-3.26620e-002	-4.06032e-002	-5.62e+000	
+2.15e+002	+4.3486e-002	-3.84065e-002	-3.19017e-002	-8.51e+000	
+2.24e+002	+3.7062e-002	-4.26750e-002	-2.19743e-002	-1.10e+001	
+2.33e+002	+3.0092e-002	-4.53035e-002	-1.12024e-002	-1.30e+001	
+2.42e+002	+2.2843e-002	-4.61911e-002	-0.00000e+000	-1.44e+001	
	Участок разбега				
+2.42e+002	+2.2843e-002	-4.61911e-002	+0.00000e+000	-1.44e+001	
+2.50e+002	+1.7153e-002	-4.35000e-002	+4.06032e-002	-1.37e+001	
+2.57e+002	+1.2073e-002	-3.70033e-002	+5.74216e-002	-1.05e+001	
+2.64e+002	+7.8759e-003	-2.97872e-002	+5.74216e-002	-6.39e+000	
+2.71e+002	+4.5860e-003	-2.25711e-002	+5.74216e-002	-1.75e+000	
+2.78e+002	+2.2029e-003	-1.53550e-002	+5.74216e-002	+3.25e+000	
+2.86e+002	+7.2626e-004	-8.17179e-003	+5.54650e-002	+8.38e+000	
+2.93e+002	+9.6823e-005	-2.27835e-003	+3.49560e-002	+1.25e+001	
+3.00e+002	+0.00000e+000	-0.00000e+000	+0.00000e+000	+1.41e+001	

Конец счета

ОГЛАВЛЕНИЕ

ВВЕДЕНИЕ	3
ЧАСТЬ 1. КОНТРОЛЬНАЯ РАБОТА.	
СТРУКТУРНЫЙ И КИНЕМАТИЧЕСКИЙ	
АНАЛИЗ МЕХАНИЗМОВ	3
ЧАСТЬ 2. КУРСОВАЯ РАБОТА.	
КИНЕМАТИЧЕСКОЕ ИССЛЕДОВАНИЕ	
МЕХАНИЗМОВ	23
ВОПРОСЫ для самоконтроля по курсу	
«Теория механизмов и машин»	62
ЗАКЛЮЧЕНИЕ	64
БИБЛИОГРАФИЧЕСКИЙ СПИСОК	65
ПРИЛОЖЕНИЕ А	66
ПРИЛОЖЕНИЕ Б	76
ПРИЛОЖЕНИЕ В	92
ПРИЛОЖЕНИЕ Г	146
ПРИЛОЖЕНИЕ Д	149

Учебное издание

ТЕОРИЯ МЕХАНИЗМОВ И МАШИН

**ПОСОБИЕ ДЛЯ ВЫПОЛНЕНИЯ
КОНТРОЛЬНОЙ И КУРСОВОЙ РАБОТ**

ЧАСТИ 1 И 2

Учебное пособие

Оригинал-макет подготовлен автором

Издательский редактор Т. Н. Козлова

Подписано в печать 11.04.2016 г. Формат 60 х 84 1/16.
Усл. печ. л. 9. Печать трафаретная. Тираж 100 экз. Заказ 41/16
http://publish.sutd.ru

Отпечатано в типографии ФГБОУВО «СПбГУПТД»
191028, Санкт-Петербург, ул. Моховая, 26